

MINISTERUL EDUCATIEI SI INVATAMINTULUI
INSTITUTUL POLITEHNIC "TRAIAN VUIA" TIMISOARA
FACULTATEA DE ELECTROTEHNICA

ING. PETRICA IULIU\$

ACTIONAREA COMPRESOARELOR PENTRU AER CU
MOTOARE SINCRONE LA PARAMETRI OPTIMI

- TEZA DE DOCTORAT -

BIBLIOTeca CENTRALA
UNIVERSITATEA "POLITEHNICA"
TIMISOARA

CONDUCATOR STIINTIFIC
PROF.DR.ING.EUGEN SERACIN

- TI.MISOARA 1987 -

INSTITUTUL POLITEHNIC TIMISOARA	
BIBLIOTeca CENTRALA	
Volumu	359
Dulap	4

CUPRINS

1. INTRODUCERE	1
2. PROBLEMELE DE BAZA ALE ACTIONARII ELECTRICE A COMPRESOARELOR PENTRU AER CU PISTON.	9
2.1. Caracteristici și parametri funcționali. : :	9
2.2. Sisteme de acționare.	37
2.3. Noțiuni de bază privind calculul acționării .	46
2.4. Compensarea puterii reactive în stațiile de distribuție cu motoarele sincrone de acționare	51
3. OPTIMIZAREA REGIMULUI DE FUNCȚIONARE AL MOTOARELOR SINCRONE DIN STAȚIILE DE COMPRESOARE.	61
3.1. Determinarea puterii reactive optime a motorului sincron.	62
3.2. Repartiția optimă a puterii reactive între motoarele sincrone.	73
4. REGLAREA AUTOMATA A EXCITATIEI MOTORULUI SINCRON.	86
4.1. Considerații generale.	86
4.2. Motorul sincron ca obiect al reglării automate.	89
4.3. Circuitele de bază ale reglării automate a excitării motorului sincron.	92
4.4. Sisteme de reglare automată a excitării motorului sincron.	95
5. MODELAREA PRIM SIMILITUDINE A ACTIONARILOR ELECTRICE.	101
5.1. Punerea problemei.	101
5.2. Modelarea motorului sincron.	102
6. MODELUL EXPERIMENTAL AL SISTEMULUI DE ACTIONARE AL UNEI STAȚII DE COMPRESOARE.	108
6.1. Punerea problemei.	108
6.2. Schema bloc a modelului experimental.	109
6.3. Motoarele sincrone.	113
6.4. Traductoarele de putere reactivă.	124
6.5. Blocul de însumare.	130

1. INTRODUCERE

In procesele tehnologice moderne, aerul comprimat, ca purtător de energie, este utilizat pe scară tot mai largă. Enumerarea completă a proceselor tehnologice în care este utilizat, este dificilă; alături de energia electrică, aerul comprimat reprezintă unul din principalii agenți energetici, datorită unor avantaje deosebite pe care le oferă: producere și transport simple, siguranță mare în exploatare a instalațiilor, control ușor al parametrilor energetici, posibilitate de stocare, mașini de utilizare simple cu putere specifică mare, etc. Printre procesele tehnologice mari consumatoare de aer comprimat pot fi citate: afinarea oțelului, elaborarea fontei, extractarea minereurilor și a cărbunelui, desbaterea pieselor turante, etc.

Adeseori peste 10% din necesarul de energie electrică al unei întreprinderi industriale este folosit pentru producerea aerului comprimat [127], iar în unele sectoare cifra este încă mai mare. Deși utilizarea aerului comprimat ca agent energetic este convenabilă sub aspectele arătate mai sus, sub aspect energetic utilizarea lui este neeconomică. Astfel, aerul comprimat se produce cu un consum specific de energie ridicat ($0,1-0,125 \text{ kWh/Nm}^3$ aer comprimat la 6-7 at) iar acțiunările pneumatice au un randament de folosire a energiei electrice consumate la producerea aerului comprimat de numai 10% [9]. Acestea arată importanța deosebită a producerii aerului comprimat în condiții economice cît mai avantajoase.

In aceste condiții, de o maximă importanță este cunoașterea necesarului de aer comprimat al întreprinderii, pe baza căruia se poate stabili apoi [131] puterea instalată în stațiile de compresoare și amplasarea lor optimă în perimetruл întreprinderii. Aceasta presupune culegerea de date în legătură cu numărul, parametrii și amplasarea consumatorilor de aer comprimat, și repartizarea apoi a acestora pe diferite stații de compresoare.

Mărimea compresoarelor dintr-o stație de compresoare se alege astfel ca debitul necesar de aer comprimat la presiunea corespunzătoare să fie asigurat de un număr de 3-5 compresoare, mărindu-se astfel gradul de siguranță al alimentării cu aer comprimat al consumatorilor și permitîndu-se o planificare

judicioasă a reparațiilor.

Deoarece în întreprinderile industriale aerul comprimat se produce în exclusivitate cu ajutorul compresoarelor pentru aer cu piston, se consideră utilă o succintă prezentare a acestora, pentru încadrarea mai clară a problemei abordate. Astfel, după principiul de funcționare, se întâlnesc următoarele tipuri:

- compresoare centrifuge (turbocompressoare);
- compresoare axiale;
- compresoare cu piston (volumice).

Compressoarele centrifuge se utilizează pînă la presiuni de 150 N/cm^2 și debit relativ mare (peste $10.000 \text{ m}^3/\text{h}$), altfel folosirea lor nu este economică [105]. Rădamentul este cuprins între 0,4 și 0,7, compresia realizîndu-se în mai multe trepte (peste 5), raportul de compresie fiind aproximativ 1,3 pe treaptă. Acest tip de compresor se utilizează în special în turnătoare, cocserii, uzine chimice, acționarea lor realizîndu-se în special cu turbine cu abur (se folosesc turații ridicate, pînă la 11.000 rot/min). În cazul acționării electrice, este preferat motorul asincron trifazat, cu doi poli și bare înalte [105]. Momentul de inerție este ridicat, datorită transmisiei ridicătoare de turație dintre motor și compresor; aceasta duce la creșterea timpului de pornire al compresorului, și deci la o dimensionare corespunzătoare a sistemului de acționare folosit.

Compressoarele axiale funcționează pe principiul turbinelor axiale; ele se utilizează destul de rar pentru producerea aerului comprimat.

Compresorul de bază utilizat în întreprinderile industriale pentru producerea aerului comprimat este compresorul cu piston. Acesta acoperă un domeniu larg de presiuni, fiind utilizat de la 30 N/cm^2 pînă la 10.000 N/cm^2 . Compressoarele pentru aer cu piston pot fi clasificate după următoarele criterii [29]:

a) debit:

- compresoare cu debite mici (sub $0,5 \text{ m}^3/\text{min}$);
- compresoare cu debite mijlocii ($0,5 - 10 \text{ m}^3/\text{min}$);
- compresoare cu debite mari ($10 - 50 \text{ m}^3/\text{min}$);
- compresoare cu debite foarte mari (peste $50 \text{ m}^3/\text{min}$).

b) presiunea maximă de refulare:

- compresoare de presiune joasă (sub 100 N/cm^2);
- compresoare de presiune medie ($100-1000 \text{ N/cm}^2$);

- compresoare de presiune înaltă (peste 1000 N/cm²).

c) schema de funcționare:

- cu un etaj;

- polietajate.

La construcțiile actuale de compresoare pentru aer cu piston, numărul de etaje de comprimare funcție de presiunea finală de refulare este de obicei [29]:

- 1 etaj pentru presiuni de pînă la 50 N/cm²;

- 2 etaje pentru presiuni de la 50 N/cm² pînă la 1000 N/cm²;

- 2-3 etaje pentru presiuni de la 100 N/cm² pînă la 500 N/cm²;

- 3-4 etaje pentru presiuni de la 500 N/cm² pînă la 1000 N/cm².

Din punct de vedere constructiv, funcție de numărul de trepte și de destinația compresorului, s-au dezvoltat mai multe tipuri constructive, cele mai importante [105] fiind arătate în figura 1.1.

In momentul de față pentru producerea aerului comprimat industrial de joasă presiune (50-100 N/cm²) se utilizează frecvent compresoare realizate în două etaje (trepte), cu dispunerea cilindrilor în unghi drept (fig.1,d), spațiul dintre cilindri fiind ocupat de răcitorul intermediar de aer. In acest fel rezultă o construcție compactă, de gabarit minim. Aceste compresoare se realizează pentru debite cuprinse între 20 m³/min și 100 m³/min; se pot cita în acest sens compresoarele fabricate la I.C.M. Reșița de tip L 25-8, L 50-8 și L 100-8 (de 25,50 și 100 m³/min și presiune de refulare 8 atm), compresoarele sovietice de tip VP-20/8, 5VP-30/8, 5G-100/8(de 20,30 și 100 m³/min, presiune de refulare 8 atm), compresorul "ATLAS-COPCO"-ASEA(Suedia, de 98 m³/min și 8 atm),etc.

ACTIONAREA COMPROSOARELOR PENTRU AER CU PISTON, MAI ALES A CELOR STĂIONARE, SE REALIZEAZĂ ÎN EXCLUSIVITATE CU MOTORE ELECTRICE, DATORITĂ AVANTAJELOR PE CARE LE ARE ACEST TIP DE ACTIONARE: PREȚ DE COST REDUS AL MOTORULUI ELECTRIC, POSIBILITĂȚI COMODE DE UTILIZARE A COMENZII AUTOMATE, ÎNTREȚINERE UȘOARĂ, SIGURANȚĂ MARE ÎN EXPLOATARE, ETC.

LA PUTERI MICI, ACTIONAREA COMPRESORULUI SE REALIZEAZĂ PRIN INTERMEDIUL UNOR CUPLAJE ELASTICE, LA PUTERI MAI MARI (PESTE 50 kW), MOTORUL ELECTRIC SE CUPLEAZĂ DIRECT CU COMPRESOR-

rul prin intermediul unei flanșe. La compresoarele mari, fabricate în serie, arborele compresorului servește și ca arbore

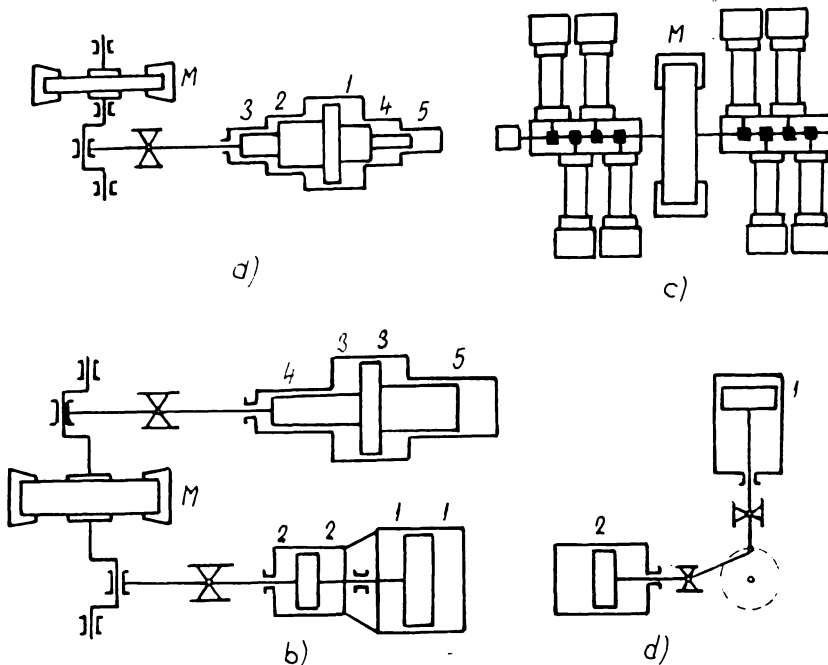


Fig.1.1. Tipuri constructive de compresoare: a) cu cinci trepte și un mecanism bielă-manivelă; b) cu cinci trepte și două mecanisme bielă-manivelă; c) cu cilindri orizontali opuși; d) cu cilindri dispuși în unghi drept (tip L).

pentru motorul electric (compresoarele de tip L fabricate la I.C.M. Reșița); se obține astfel un agregat compact, de gabarit și greutate minime.

ACTIONAREA COMPRESOARELOR PENTRU AER CU MOTOARE DE CURENT CONTINUU ESTE PUȚIN UTILIZATĂ, FOLOSINDU-SE NUMAI ÎN CAZURI SPECIALE, CUM AR FI COMPRESOARELE DE PE LOCOMOTIVE, TROLEIBUZE ȘI NU PREZINTĂ INTERES ÎN CAZUL COMPRESOARELOR MARI, STĂIONARE.

ÎN CAZUL COMPRESOARELOR INDUSTRIALE STĂIONARE, ACTIONAREA SE REALIZEAZĂ LA PUTERI MICI CU MOTOARE ELECTRICE ASINCRONE. LA PUTERI MARI, ÎN ULTIMUL TEMP S-A IMPUS CA ȘI CEL MAI POTRIVIT MOTORUL ELECTRIC SINCRON, DATORITĂ AVANTAJELOR PE CARE LE ARE ACTIONAREA CU ASTFEL DE MOTOARE;

- funcționează cu factor de putere unitar, iar supraexicitat furnizează energie reactivă în rețea;
- are randament mai bun decât motorul asincron;
- prezintă siguranță mai mare în exploatare, având întrefierul de 2-4 ori mai mare decât al motorului asincron;
- la puteri peste 200 kW și turații sub 600 rot/min are prețul de cost mai mic decât al motorului asincron [129]. În figura 1.2 este arătată, comparativ, dependența randamentului de puterea nominală și de turația sincronă, pentru motoarele sincrone și asincrone. [129].

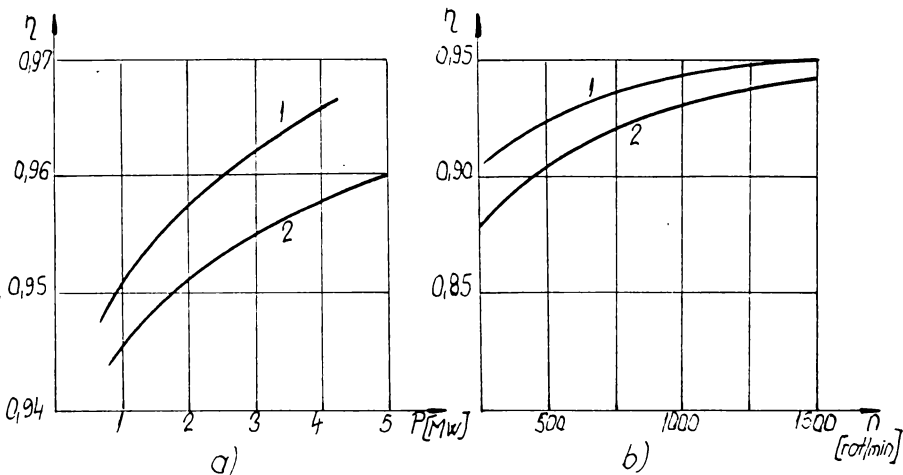


Fig.1.2. Curbele $\eta = f(P_N)$ și $\eta = f(n)$ pentru motoare sincrone (1) și asincrone (2).

Totuși, deși acționarea compresoarelor pentru aer cu motoare sincrone este superioară celei cu motoare asincrone, datorită parametrilor tehnici ridicați, acționarea cu motoare sincrone ridică unele probleme tehnice deosebite, cum ar fi:

- motorul sincron prezintă tendință de ieșire din sincronism în cazul șocurilor de sarcină sau a căderilor de tensiune în rețeaua de alimentare;
- necesită aparataj de pornire și automatizare mai complicat;
- necesită un volum mai mare de muncă și personal de întreținere cu calificare superioară.

Producerea aerului comprimat se realizează în momentul de față aproape în exclusivitate cu compresoare cu piston, acționate cu motoare electrice sincrone. Utilizarea compresorului cu

piston este justificată de necesitatea obținerii de presiuni ridicate. Deoarece compresorul cu piston nu necesită modificarea turăției, modificarea debitului realizându-se comod prin alte procedee [29], cu atât mai mult motorul sincron s-a impus în prezent ca fiind cel mai potrivit pentru acționare. Puterea motoarelor sincrone utilizate la acționarea compresoarelor pentru aer este ridicată, ea se situează de obicei în domeniul 100-700 kW. Puterea totală instalată a motoarelor sincrone din stațiile de compresoare, comparativ cu puterea totală instalată a întreprinderii, este de asemenea mare. Astfel, în cazul întreprinderilor miniere din județul Caraș-Severin, puterea instalată a motoarelor sincrone de acționare ale compresoarelor pentru aer prezintă 30-70% din puterea totală instalată [136,139].

Indiferent de motorul de acționare utilizat, sistemul de acționare trebuie să se distingă prin consum specific de energie redus, pierderi mici de energie, robustețe și siguranță în funcționare a echipamentului utilizat, preț de cost redus, întreținere simplă. O asemenea soluție se poate obține numai printr-o analiză amănunțită, extinsă asupra întregii stații de compresoare, împreună cu sistemul de alimentare cu energie electrică aferent, luând în considerare și ceilalți consumatori de energie, astfel ca în final să se adopte o soluție optimă. Între acestea, reducerea la minim a pierдерilor de energie în stațiile existente, prin optimizarea regimului de funcționare al motoarelor sincrone, prezintă în prezent, în contextul crizei energetice, o importanță deosebită.

Problema optimizării acționării electrice a compresoarelor pentru aer cu piston, ca de altfel problema optimizării în general, este o problemă complexă, dat fiind numărul mare al parametrilor acționării electrice, dintre care se poate alege cel care va fi sau cei care vor fi supuși optimizării. Adoptarea soluției optime este uneori îngrădită de anumite considerante, cum ar fi: impunerea unui gabarit maxim admis al motorului, a unei valori maxime admise a oscilației curentului, etc. În aceste condiții, precum și datorită dependenței complexe a parametrilor care caracterizează acționarea, alegerea soluției optime este foarte dificilă. Determinarea parametrilor optimi ai acționării (cuplu nominal, putere nominală, moment de inerție) este prezentă amănunțit într-o serie de lucrări de date recentă [22,23,106].

• In întreprinderile miniere în special, în care, aşa cum s-a arătat, ponderea puterii instalate în motoarele de acționare a compresoarelor pentru aer este mare, acestea sunt grupate obișnuit în stații de compresoare, care cuprind 2-5 agregate. Alimentarea motoarelor se realizează din stații de distribuție, la ale căror bare sunt racordați și alți consumatori, în special motoare asincrone de mare putere, care consumă o cantitate însemnată de putere reactivă. Compensarea acestei puteri reactive, în vederea realizării unei anumite valori a factorului de putere la barele stației, impusă de furnizorul de energie electrică, se poate realiza, în condiții avantajoase, prin utilizarea capacitatii de compresoare a motoarelor sincrone. Analiza efectuată asupra regimului de funcționare a motoarelor sincrone din stațiile de compresoare a două întreprinderi miniere din județul Caraș-Severin [136,139], precum și din cadrul unor întreprinderi constructoare de mașini și siderurgice [137,138], au arătat că există rezerve din acest punct de vedere.

Pornind de la cele arătate mai sus, lucrarea de față își propune ca pe baza cercetărilor teoretice și experimentale efectuate, să contribuie la îmbunătățirea, sub aspectul reducerii consumului de energie, a regimului de funcționare al stațiilor de compresoare pentru aer acționate cu motoare sincrone. Sub acest aspect, în lucrare motoarele sincrone de acționare a compresoarelor pentru aer, împreună cu celelalte motoare electrice alimentate de la aceleasi bare ale stației, precum și linia de alimentare sunt considerate ca un ansamblu unitar, urmărindu-se funcționarea motoarelor sincrone în acel regim, considerat optim, care asigură pierderi minime pe ansamblul considerat, numit în lucrare "stația de compresoare". Rezultatele teoretice obținute în lucrare au fost aplicate, în cadrul unor contracte de cercetare deja amintite mai sus, în cadrul unor întreprinderi miniere, dar ele pot fi aplicate în orice altă stație de compresoare, în care se utilizează pentru acționare motoare sincrone, ca și la orice acționare cu motoare sincrone în general.

Pentru a adînci posibilitățile de investigare experimentală, s-a realizat, pornind de la modelarea pe baza teoriei similarității, un model experimental de laborator al unei stații de compresoare. Rezultatele experimentărilor efectuate pe model, avînd în vedere teoria similarității, se pot extinde la stațiile reale de compresoare similare.

Lucrarea este structurată pe șase capitole(2-7). În capitolul al doilea sînt prezentate, sub formă sintetică, principalele probleme ale acționării compresoarelor pentru aer cu piston. Se prezintă astfel caracteristicile și parametrii funcționali ai compresoarelor, sistemele de acționare și calculul acționării, cu referire în special la determinarea parametrilor optimi ai acționării. În finalul capitolului se analizează problemele compensării puterii reactive cu motoarele sincrone.

În capitolul 3 se prezintă problematica optimizării regimului de funcționare al motoarelor sincrone din stațiile de compresoare. Problema determinării puterii reactive optime a motorului sincron prezentată aici este originală. Se prezintă apoi repartitia optimă a puterii reactive între motoarele sincrone care participă la compensare. Se prezintă rezultatele aplicării metodei de optimizare în stații de compresoare.

În capitolul 4 se analizează problemele legate de reglarea automată a excitației motorului sincron, urmărindu-se în special determinarea funcțiilor de transfer pentru circuitul curentului de excitație și al puterii reactive.

În capitolul 5 se prezintă problema modelării prin similaritatea acționărilor electrice, cu referire directă la modelarea motorului sincron. Acest capitol este în întregime original.

În capitolul 6 se prezintă modelul experimental al stației de compresoare, care este o realizare în întregime originală. Sînt descrise elementele principale ale modelului: motoarele sincrone, traductoarelor de putere reactivă, blocurile de însumare și de formare a semnalului de comandă, redresoarele comandate, sistemul de reglare automată a excitației. În finalul capitolului se prezintă fotografii ale modelului.

În capitolul 7 se prezintă rezultatele încercările experimentale efectuate pe model; pentru a nu exagera volumul lucrării s-au prezentat cele mai importante din oscilogramele ridicate, iar rezultatele sînt date sub formă tabelară.

Teza elaborată constituie rezultatul unei activități susținute din partea autorului, sub îndrumarea competență și plină de înțelegere a conducețorului, prof.dr.ing.Eugen Seraciu. Pentru sfaturile și îndrumările primite pe întreaga durată a pregătirii doctoratului, pentru sprijinul profesional și moral acordat cu prilejul elaborării lucrării, autorul îi aduce calde mulțumiri și îi rămîne profund îndatorat.

2. PROBLEMELE DE BAZA ALE ACȚIONARII ELECTRICE A COMPRESOARELOR PENTRU AER CU PISTON

2.1. Caracteristici și parametri funcționali

In cadrul acestui subcapitol se prezintă elementele de bază ale procesului tehnologic de producere a aerului comprimat, precum și caracteristicile și parametrii compresoarelor cu piston, necesari determinării puterii de acționare și abordării în continuare, în capitoalele 3-7, a problemei optimizării regimului de funcționare a sistemului de acționare electrică a stațiilor de compresare.

Procesele de aspirație, compresie și refulare care au loc în cursul unei singure rotații a arborelui cotit formează ciclul de funcționare al compresorului. Ciclul teoretic de funcționare al compresorului se definește ținând seama de următoarele ipoteze simplificatoare [29]:

- volumul spațiului mort este nul;
- la trecerea aerului prin supapele de aspirație și de refulare nu se produc pierderi de energie, deci presiunea în timpul aspirației (p_1) și presiunea în timpul refulării (p_2) rămân constante;
- nu se produc pierderi prin neetanșeitate;
- aerul se comportă ca un gaz perfect.

In aceste condiții, diagrama p-V (V fiind volumul) a ciclului teoretic al unui compresor într-o singură treaptă este cea din figura 2.1, și cuprinde următoarele faze:

- aspirația (1-2); pistonul se deplasează din punctul mort interior (PMI) în punctul mort exterior (PME);
- compresia (2-3); pistonul se deplasează din punctul mort exterior pînă în punctul 3 cînd se atinge presiunea de refulare p_2 și are loc deschiderea supapei de refulare;
- refularea (3-4); pistonul se deplasează din punctul 3 în punctul mort interior;
- scăderea presiunii din cilindru, de la valoarea presiunii de refulare p_2 la valoarea presiunii de aspirație (4-1).

Ciclul de funcționare corespunde la două curse ale pistonului, deci la o rotație a arborelui cotit. Lucrul mecanic necesar pentru realizarea ciclului teoretic descris este dat de suprafața hașurată cuprinsă în interiorul ciclului. Curba 2-3

corespunzătoare compresiei depinde de natura schimbului de căldură dintre aer și cilindru. Astfel, dacă compresia se realizează fără cedare de căldură spre exterior, este compresie adiabatică, și decurge după curba 2-3a, arătată în figura 2.2. Dacă com-

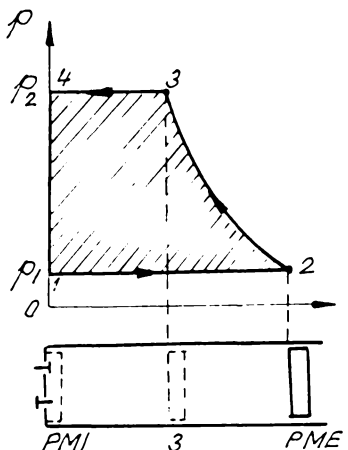


Fig.2.1. Ciclul teoretic al compresorului cu piston.

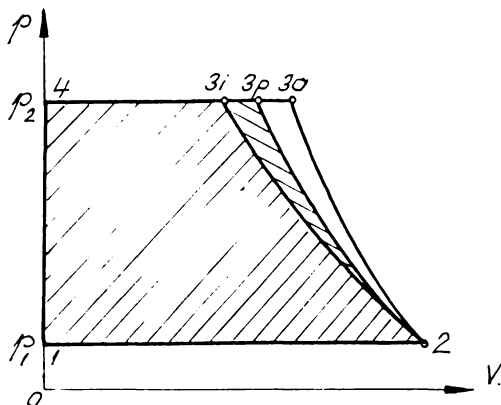


Fig.2.2. Ciclul teoretic la diferite moduri de realizare al schimbului de căldură între aer și cilindru.

presia are loc la temperatură constantă a aerului (căldura dezvoltată fiind preluată de fluidul de răcire al cilindrului), compresia este izotermă ($pV = \text{const.}$), și decurge după curba 2-3i. În cazurile reale, compresia se realizează după o politropă (curba 2-3p), corespunzător relației $pV^n = \text{const.}$, unde n este exponentul politropic ($1 < n < 1,4$). Diagrama din figura 2.2 evidențiază clar că lucrul mecanic minim se consumă atunci cînd compresia are loc după o izotermă, și este maxim în cazul compresiei adiabatice.

Lucrul mecanic consumat de un compresor la care compresia se realizează după o politropă este dat de expresia [29]:

$$L_p = \frac{n}{n-1} p_1 V_2 \left[\left(\frac{p_2}{p_1} \right)^{\frac{n-1}{n}} - 1 \right] \quad (2.1)$$

în care:

n este exponentul politropic;

p_1 : presiunea de aspirație, [N/m^2];

p_2 : presiunea de refulare, [N/m^2];

V_2 : volumul ocupat de aer în cilindru cînd pistonul se șiesește în PME, [m^3].

Dacă compresia este izotermă, lucrul mecanic este dat de relația:

$$L_i = p_1 V_2 \ln \left(\frac{p_2}{p_1} \right) \quad (2.2)$$

Este util să se precizeze totuși că lucrul mecanic consumat în cazul compresiei izoterme nu este cel mai mic posibil, deoarece, dacă cilindrul compresorului este răcărit intens, astfel încât temperatura la sfîrșitul compresiei să fie mai mică decât cea de la începutul ei, se poate obține o curbă de compresie sub izoterma 2-3i, rezultând evident un lucru mecanic consumat mai mic. Analog, lucrul mecanic consumat pentru compresia adiabatică nu este cel mai mare posibil; la încălzirea cilindrului (pierderi mari prin frecări, etc.), nu numai că nu se cedează căldura rezultată în urma compresiei spre exterior, dar aerul se încălzește suplimentar, exponentul politropic devenind mai mare decât cel al adiabatei, curba de compresie situându-se deasupra adiabatei 2-3a.

Puterea necesară în cazul diagramei teoretice la compresie politropă este dată de relația [105]:

$$P_p = \frac{n}{n-1} G \cdot p_1 \cdot v_1 \left[\left(\frac{p_2}{p_1} \right)^{\frac{n-1}{n}} - 1 \right] \quad (2.3)$$

unde:

G este debitul compresorului, $[N/s]$;

v_1 : volumul specific al aerului la aspirație, $[m^3/N]$.

In cazul în care compresia este izotermă, puterea necesară este:

$$P_i = G \cdot p_1 \cdot v_1 \ln \left(\frac{p_2}{p_1} \right) \quad (2.4)$$

In construcția compresoarelor, la capătul cursei de refulare a pistonului (PMI), în cilindru rămîne un volum de aer V_m la presiunea p_2 , care constituie spațiul mort. Ca urmare, diagrama ciclului teoretic a unui compresor cu spațiu mort arată ca în figura 2.3. In timpul cursei de întoarcere a pistonului, aerul din spațiul mort se destinde pînă la presiunea de aspirație (punctul 1, fig. 2.3). Procesul de aspirație începe din acest punct și decurge după linia 1-2.

Raportul dintre volumul de aer efectiv absorbit V_a și volumul teoretic V_t reprezintă cœficientul de volum [132] :

$$\lambda_o = \frac{V_a}{V_t} \quad (2.5)$$

iar $V_t = S \cdot c$, unde:

S este suprafața pistonului, [m^2];
 c este cursa pistonului, [m],

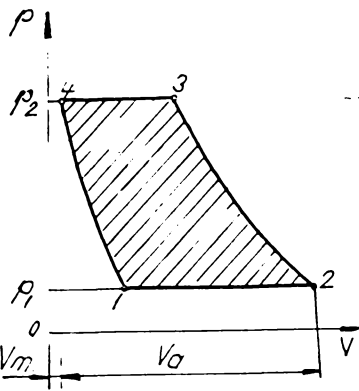


Fig.2.3. Ciclul teoretic al unui compresor cu spațiu mort.

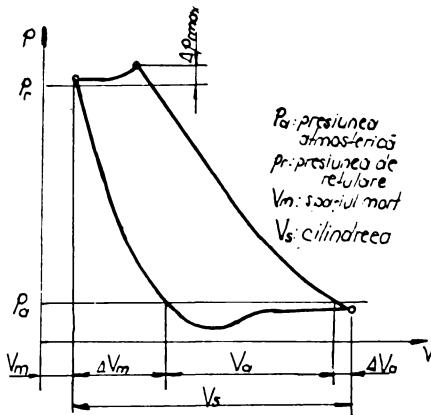


Fig.2.4. Diagrama indicată a compresorului cu o treaptă de compresie.

Diagrama reală a compresorului (numită și diagrama indicată) se abate de la diagramă teoretică din următoarele cauze:

- existența spațiului mort, care reprezintă 2-5% din volumul teoretic V_t ;
- aspirația se realizează la o presiune cu circa 5% mai mică decât presiunea atmosferică, iar refularea se realizează la o presiune cu circa 3% mai mare decât cea din rezervorul tampon (datorită rezistențelor dinamice în supape);
- pierderi prin neetanșeitate, etc.

In figura 2.4 este arătată diagrama indicată a compresorului cu o treaptă de compresie.

In cazul unui compresor cu două trepte de compresie, dacă compresia este politropică, lucrul mecanic consumat este dat de relația [29]:

$$L_{2p} = \frac{n}{n-1} p_1 V_2 \left[\left(\frac{p_1}{p_1} \right)^{\frac{n-1}{n}} + \left(\frac{p_2}{p_1} \right)^{\frac{n-1}{n}} - 2 \right] \quad (2.6)$$

în care p_i este presiunea intermediară (presiunea de refulare pentru primul etaj și de aspirație pentru al doilea).

Relațiile (2.1) și (2.6) evidențiază că lucrul mecanic consumat de fiecare etaj al compresorului depinde numai de gradul de compresie al etajului respectiv. Pentru ca lucrul mecanic

consumat de etajele compresorului să fie egal, caz în care funcționarea acestuia ar fi mai economică [29], rapoartele de compresie ale etajelor trebuie să fie egale. Astfel, raportul de compresie al unui etaj este:

$$\sigma = \sqrt{\frac{p_2}{p_1}}, \quad (2.7)$$

unde z este numărul de etaje.

Dacă se ține seama că diagrama indicată se abate de la diagrama ciclului teoretic, se poate defini randamentul izotermic [29] :

$$\eta_i = \frac{P_i}{P_{ind}} \quad (2.8)$$

unde:

P_i este puterea izotermică, corespunzătoare ciclului izotermic;

P_{ind} : puterea indicată, corespunzătoare diagramei indicate.

Randamentul izotermic dă indicații în legătură cu gradul de perfectiune al diagramei indicate. Valoarea lui depinde de raportul de compresie și de modul de răcire, fiind cuprins între 0,75 și 0,78 la compresoare având raportul de compresie 2,4-3,1 și între 0,65 și 0,68 la compresoare având raportul de compresie 6-7. Valoarea randamentului izotermic scade odată cu creșterea turăției.

Randamentul mecanic este raportul între puterea indicată P_{ind} și puterea cerută la arborele compresorului P_c :

$$\eta_m = \frac{P_{ind}}{P_c} \quad (2.9)$$

Valoarea randamentului mecanic este influențată de tipul constructiv al compresorului, de calitatea fabricației și de gradul de încărcare, fiind cuprins între 0,85-0,95, valorile mai mici corespunzând compresoarelor cu debite mici și turăție mare.

Dacă se utilizează și o transmisie între compresor și motor, randamentul acesteia este:

$$\eta_t = \frac{P_c}{P_m}, \quad (2.10)$$

P_m fiind puterea la arborele motorului de acționare. La construcțiile uzuale, randamentul transmisiei are valori cuprinse între 0,96 și 0,99. La majoritatea compresoarelor cu debite peste 15 m^3/min , realizate în prezent, motorul se montează direct pe

arborele compresorului, eliminindu-se astfel transmisia.

Rândamentul total al compresorului este:

$$\eta = \eta_i \eta_m \eta_t = \frac{P_i}{P_m} \quad (2.11)$$

și este cuprins între 0,45 și 0,71.

Puterea necesară la arborele motorului de acționare rezultă:

$$P_m = \frac{P_i}{\eta} = \frac{P_{ind}}{\eta_m \eta_t} \quad (2.12)$$

In figura 2.5 este arătată [29] legătura între puterea specifică P_s corespunzătoare unui debit de $1 \text{ m}^3/\text{min}$, și presiunea de refulare.

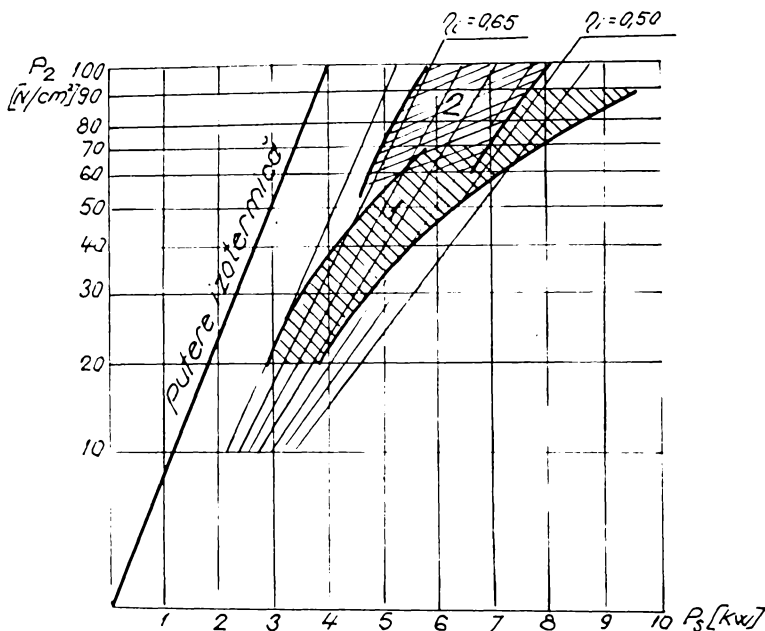


Fig.2.5. Legătura între puterea specifică P_s și presiunea de refulare p_2 pentru compresoare cu piston

Domeniul 1 din figură corespunde compresoarelor cu un etaj, iar domeniul 2 compresoarelor cu două etaje. Limita superioară a fiecărei zone hașurate corespunde compresoarelor de puteri mari, răcite cu apă, iar limita inferioară compresoarelor de puteri mici, răcite cu aer.

In timpul funcționării compresorului, presiunea aerului din cilindri și forțele de inertie ale maselor mecanismului bi-elă-manivelă produc forțe variabile periodice, care solicită piezile fixe ale compresorului precum și un cuplu cu caracter

de asemenea periodic, care este aplicat arborelui cotit. Forțele periodice se transmit batiului compresorului și produc vibrații, însotite de un consum sporit de putere. Determinarea diagramei de sarcină a compresorului necesită cunoașterea ansamblului de forțe care solicită mecanismul bielă-manivelă. Acestea pot fi împărțite în două grupe:

- forță care acționează asupra pieselor în mișcare liniară alternativă;
- forțe care acționează asupra pieselor în mișcare de rotație.

După cum este cunoscut, în compunerea mecanismului bielă-manivelă intră pistonul cu bolțul său, biela și manivela cuprinsă în arborele cotit. Pistonul și bolțul execută o mișcare rectilinie alternativă, iar arborele cotit o mișcare de rotație cu viteză unghiulară constantă. În schimb biela, fiind lagată cu un capăt de piston și cu celălalt capăt de arborele cotit, are o mișcare complexă. Din acest motiv, pentru simplificarea calculelor, se descompune masa bielei în două mase, una considerindu-se atașată pistonului și cealaltă atașată manetonului arborelui cotit. Descompunerea se realizează astfel încât centrul de greutate al ansamblului celor două mase să se găsească în aceeași poziție față de punctele de articulație ale bielei ca și centrul de greutate al bielei reale.

Asupra pieselor în mișcare liniară alternativă acționează următoarele forțe:

- forță datorată presiunii aerului comprimat, exercitată asupra pistonului;
- forțele de inerție ale maselor în mișcare liniară alternativă;
- forțele de frecare ale pieselor în mișcare liniară alternativă.

Asupra pieselor aflate în mișcare de rotație acționează următoarele forțe:

- forță tangențială ce se aplică prin bielă la manetonul manivelei, datorită acțiunii rezultantei forțelor de la piesele în mișcare liniară alternativă;
 - forță centrifugă a maselor în mișcare de rotație;
 - forțele de fricare ale pieselor în mișcare de rotație.
- Forța datorită presiunii aerului comprimat se obține din diagrama indicată a compresorului, și este funcție de poziția

manivelei. Diagrama indicată se poate determina prin calcul, sau, la un compresor dat, experimental. În calcule mai puțin pretențioase, se poate utiliza diagrama teoretică.

Forțele de inertie ale maselor în mișcare alternativă rezultă din studiul cinematicii și dinamicii mecanismului bielă-manivelă [20]. Astfel, dacă se notează cu:

m_a : masa pieselor în mișcare liniară alternativă (piston, bolt și masa corespunzătoare a bielei);

r : raza manivelei;

l : lungimea bielei;

λ : raportul $\frac{r}{l}$;

Ω : viteza unghiulară a arborelui cotit;

α : unghiul dintre manivela arborelui cotit și axa cilindrului, expresia vitezei punctului de atac al manivelei este [20]:

$$v = r \cdot \Omega \left[\sin \alpha + \frac{r}{2l} - \frac{\sin 2\alpha}{1 - \left(\frac{r}{l} \right)^2 \sin^2 \alpha} \right] \quad (2.13)$$

Forța de inertie este dată de relația:

$$F_i = m_a \frac{dv}{dt} \quad (2.14)$$

Deoarece în construcțiile practice de compresoare raportul λ are valori cuprinse în domeniul $\frac{1}{6} \dots \frac{1}{8}$, iar $\sin \alpha \leq 1$, rezultă că se poate approxima

$$\sqrt{1 - \left(\frac{r}{l} \right)^2 \sin^2 \alpha} \approx 1,$$

și deci pentru forța de inertie se obține expresia:

$$F_i = m_a \cdot r \cdot \Omega^2 (\cos \alpha + \lambda \cos 2\alpha) \quad (2.15)$$

Forța de frecare rezultantă care acționează asupra pistonului este variabilă și îndreptată în sens invers mișcării pistonului.

Însimind aceste forțe pentru diverse poziții succesive ale pistonului, dependente de unghiul α , se obține forța rezultantă care acționează asupra pistonului $F_p(\alpha)$.

Forța tangențială aplicată manetonului F_t rezultă din forța rezultantă aplicată pistonului F_p , prin descompunerea acesteia în două componente, ca în figura 2.6: o componentă F_b în direcția bielei și o componentă F_n perpendiculară pe axa cilindrului. Componenta F_n produce cuplul de basculare $C_b = F_n \cdot A$,

care provoacă vibrația compresorului. Ea este echilibrată de reacțiunea peretelui cilindrului.

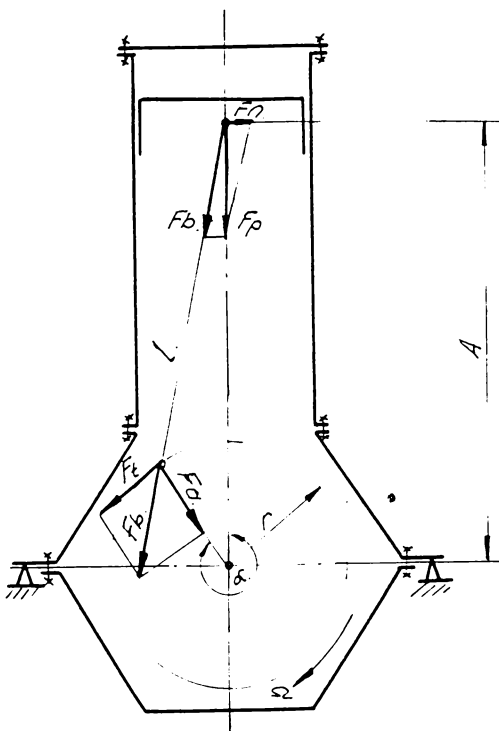


Fig.2.6. Forțele care acționează asupra mecanismului compresorului.

52° 35° 90°

Componenta F_b se transmite prin bielă la maneton, și se decompune, la rîndul său, în două componente: o componentă tangentă la cercul pe care se deplasează manetonul F_t , și o componentă normală pe acesta F_a . Componenta F_a este echilibrată de reacțiunea lagărelor, iar componenta F_t produce cuplul mecanismului C'_s , care este acoperit de motorul de acționare:

$$C'_s = F_t \cdot r \quad (2.16)$$

Se observă că, la o altă scară, curba $F_t(\alpha)$ reprezintă și curba $C'_s(\alpha)$.

Forța centrifugă corespunzătoare maselor în mișcare de rotație este dată de expresia:

$$F_c = m_r \cdot r \cdot \Omega^2, \quad (2.17)$$

în care m_r este masa pieselor în mișcare de rotație, reduse la centrul manetonului.

Forțele de frecare ale pieselor în mișcare de rotație se consideră acționind asupra manetonului cu o valoare constantă,

opusă mișcării. Ele dă naștere unui cuplu de frecare C_f , care însumat cu cel produs de forța tangențială F_t , C'_s dă cuplul rezistent total C_s :

$$C_s = C'_s + C_f \quad (2.18)$$

In figura 2.7 este arătată curba $C_s = f(\alpha)$ pentru un compresor cu două trepte de compresie, tip L 50 (50 m³/min, 8 at, $P_N = 330$ kW) fabricat de I.C.M.Reșița.

Având în vedere necesitatea realizării unui moment de inerție ridicat, motoarele pentru acționarea compresoarelor se execută cu diametru al rotorului mare (pasul polar mare), rezultând un raport între lungimea l a părții active și pasul polar τ mic. Astfel, la motoarele de construcție recentă raportul l/τ este cuprins între 0,8 și 1,6 (la motorul MS 1900/270, de $P_N = 620$ kW, al compresorului de tip L 100 fabricat la I.C.M.Reșița raportul $l/\tau = 270/259,2 = 1,04$).

La construcțiile mai vechi mărirea momentului de inerție se realiza prin adăugarea unui volant pe arborele agregatului, sau prin fixarea unei coroane din fontă lateral pe rotor, de diametru mai mare decât acesta. S-au realizat deasemenea și motoare cu rotorul exterior, la care se poate obține cu ușurință momentul de inerție necesar; totuși, deasemenea construcții nu s-au extins, datorită dificultăților pe care le ridică la montaj și reparații.

Cel mai răspândit este astăzi motorul sincron cu poli aparenti, care se pretează bine unei realizări cu număr de perechi de poli mare, având în vedere turată relativ joasă a compresoarelor (300...750 rot/min). Rotorul este executat de obicei din fontă turnată, pe care se fixează polii, realizati din tablă de oțel moale, prin ștanțare. În tălpile polare este plasată înfășurarea de pornire, realizată din cupru sau alamă și servind și ca înfășurare de amortizare.

La unele construcții, la care excitația motorului sincron este asigurată de un generator de curent continuu, acesta este acționat chiar de către motorul sincron, prin cuplare directă sau prin transmisie cu curele (compresoarele de tipul V fabricate de I.C.M. Reșița). La unele tipuri de compresoare generatorul de curent continuu este acționat separat de către un motor asincron , formind grupul de excitație(compresoarele de tip L). Recent, la construcțiile mai noi, excitația se realizează de la redresare [30, 127] .

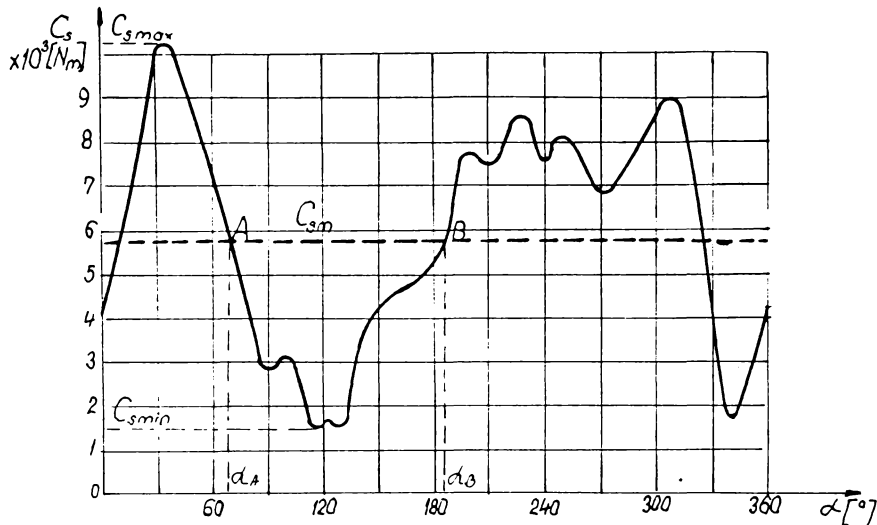


Fig.2.7. Curba $C_s = f(\alpha)$ pentru compresorul L 50.

La acționarea compresoarelor pentru aer cu piston, pornirea nu ridică probleme deosebite, dacă se face în gol. Dacă însă pornirea se face în plină sarcină, atunci motorul de acționare este puternic solicitat la pornire. În figura 2.8 sunt prezentate caracteristicile mecanice, în valori relative, pentru un compresor obișnuit. Curba 1 corespunde pornirii în gol a compresorului, iar curba 2 în plină sarcină. Din acest motiv porni-

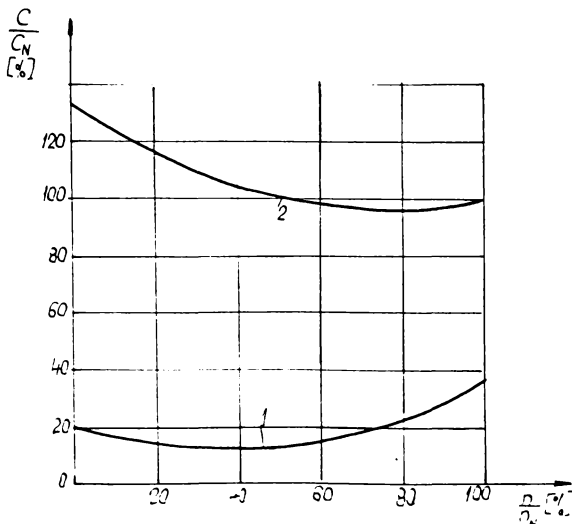


Fig.2.8. Caracteristicile mecanice ale unui compresor.

rea compresoarelor pentru aer cu piston se realizează de obicei în gol, prin ridicarea supapei de aspirație sau punerea în

legătură cu atmosfera a conductei de refuzare. La motoarele sincrone pentru acționarea compresoarelor, ca de altfel la marea majoritate a motoarelor sincrone utilizate azi, pornirea se realizează în asincron, datorită avantajelor pe care le prezintă:

- simplitate în realizarea schemei electrice;
- nu necesită mașini auxiliare;
- posibilitate de resincronizare simplă a motorului, în cazul ieșirii acestuia din sincronism;
- colivia de pornire îmbunătățește comportarea dinamică a motorului.

Caracteristica mecanică asincronă $C_a = f(s)$ a motorului sincron nu se deosebește de cea a unui motor asincron cu rotorul în scurtcircuit. Caracteristica $C_a = f(s)$ trebuie să îndeplinească următoarele cerințe:

- cuplul asincron trebuie să asigure accelerarea motorului pînă la o turație subsincronă egală cu aproximativ 95% din turația sincronă;

- la alunecare $s = 0,05$, cuplul asincron trebuie să aibă o valoare suficient de mare pentru a participa cu eficacitate la intrarea motorului în sincronism. Pentru calculul caracteristicii cuplului asincron al motorului sincron în timpul pornirii sunt date în literatură mai multe metode [27,116,129]. Dacă se notează parametrii motorului sincron, raportați la stator și exprimăți în unități relative (u.r.) cu:

r_1 - rezistența de fază a înfășurării statorice, în curent alternativ;

$x_{\phi 1}$ - reactanța de scăpări pe fază;

x_{ad} - reactanța utilă corespunzătoare fluxului de reacție longitudinală a indușului;

x_{aq} - reactanța utilă corespunzătoare fluxului de reacție transversală a indușului;

$x_d = x_{ad} + x_{\phi 1}$ - reactanța sincronă longitudinală;

$x_q = x_{aq} + x_{\phi 1}$ - reactanța sincronă transversală;

r_e - rezistența înfășurării de excitație;

x_e - reactanța înfășurării de excitație;

$x_{je} = x_e - x_{ad}$ - reactanța de scăpări a înfășurării de excitație;

r_d - rezistența înfășurării de pornire, după axa longitudinală;

r_q - rezistența înfășurării de pornire, după axa transversală;

x_{jd} - reactanța de scăpări a înfășurării de amortizare, după axa longitudinală (pentru inele de scurtcircuitare complete);

$x_{\sigma q}$ - reactanța de scăpare a înfășurării de amortizare, după axa transversală (pentru inele de scurtcircuitare complete), ca mărime de raportare pentru stator fiind impedanța de bază

$$Z_b = \frac{U_{LN}}{I_{LN}}, \text{ iar pentru parametrii rotorului raportați la stator}$$

- criteriile de raportare sunt cele care se bazează pe respectarea egalităților între fundamentalele tensiunilor magnetice, pierderilor și energiilor magnetice ale rotorului real și ale celui echivalent [27], atunci calculul caracteristicii cuplului asincron al motorului sincron se poate face utilizând relații de calcul relativ simple, care au fost stabilite pe baza teoriei dublei reacții a mașinii sincrone [27, 79]. Astfel, pe baza parametrilor motorului sincron precizați mai sus se determină succesiiv impedanțele complexe definite prin relațiile [27]:

- impedanțele înfășurării de amortizare după axe longitudinale și transversale:

$$z_{\sigma d} = \frac{r_d}{s} + jx_{\sigma d} ; z_{\sigma q} = \frac{r_q}{s} + jx_{\sigma q} \quad (2.19)$$

- impedanța înfășurării de excitație:

$$z_{\sigma e} = \frac{r_e}{s} + jx_{\sigma e} \quad (2.20)$$

Utilizând relațiile (2.19) și (2.20) se determină impedanțele echivalente după axe longitudinală și transversală [27]:

$$z_{ad} = \frac{1}{\frac{1}{jx_{ad}} + \frac{1}{z_{\sigma d}} + \frac{1}{z_{\sigma e}}} ; z_{aq} = \frac{1}{\frac{1}{jx_{aq}} + \frac{1}{z_{\sigma q}}} \quad (2.21)$$

iar, în continuare impedanțele pentru componenta de succesiune directă, după cele două axe [27]:

$$z_{dl} = z_{ad} + r_1 + jx_{\sigma l} ; z_{ql} = z_{aq} + r_1 + jx_{\sigma l} \quad (2.22)$$

și impedanțele pentru componenta de succesiune inversă, după cele două axe [27]:

$$z_{d3} = z_{ad} + \frac{1}{2s-1} + jx_{\sigma l} ; z_{q3} = z_{aq} + \frac{1}{2s-1} + jx_{\sigma l} \quad (2.23)$$

In continuare, utilizând relațiile (2.21) și (2.23), se determină impedanța echivalentă definită prin relația [27]:

$$z_{2e} = \frac{1}{2} \left[(z_{ad} + z_{aq}) - \frac{(z_{ad} - z_{aq})^2}{z_{d3} + z_{q3}} \right] = r_{2e} + jx_{2e} \quad (2.24)$$

Cu relațiile (2.22) și (2.23) se determină valorile complexe ale curentilor de succesiune directă și inversă, considerind că prima se face la tensiunea nominală ($U = I_u \cdot r$) (valori

relative) [27]:

$$\underline{I}_1 = U \frac{\underline{z}_{d3} + \underline{z}_{q3}}{\underline{z}_{dl}\underline{z}_{q3} + \underline{z}_{d3}\underline{z}_{ql}} = \frac{\underline{z}_{d3} + \underline{z}_{q3}}{\underline{z}_{dl}\underline{z}_{q3} + \underline{z}_{d3}\underline{z}_{ql}} = \underline{I}_{1a} + j\underline{I}_{1r} \quad (2.25)$$

$$\underline{I}_3 = U \frac{\underline{z}_{dl} - \underline{z}_{ql}}{\underline{z}_{dl}\underline{z}_{q3} + \underline{z}_{d3}\underline{z}_{ql}} = - \frac{\underline{z}_{dl} - \underline{z}_{ql}}{\underline{z}_{dl}\underline{z}_{q3} + \underline{z}_{d3}\underline{z}_{ql}} = \underline{I}_{3a} + j\underline{I}_{3r} \quad (2.26)$$

cu \underline{I}_{1a} , \underline{I}_{1r} și \underline{I}_{3a} , \underline{I}_{3r} notîndu-se componentele active și reacțiile ale curentului de succesiune directă, respectiv inversă, în unități relative, și în continuare pătratele modulelor curenților de succesiune directă și inversă, în unități relative, sînt:

$$\underline{I}_1^2 = \underline{I}_{1a}^2 + \underline{I}_{1r}^2 ; \quad \underline{I}_3^2 = \underline{I}_{3a}^2 + \underline{I}_{3r}^2 \quad (2.27)$$

Cu aceste valori se poate determina acum caracteristica cuplului asincron(cuplul electromagnetic mediu) $C_e = f(s)$ a motorului sincron (u.r.) [27]:

$$\underline{C}_e = \frac{\underline{C}_e}{\underline{C}_N} = \frac{1}{\gamma_N \cos \gamma_N} \left(r_{2e} \underline{I}_1^2 + \frac{r_1}{2s-1} \underline{I}_3^2 \right), \quad (2.28)$$

C_N fiind cuplul nominal la arbore al motorului, dat de relația:

$$C_N = \frac{P_N}{\omega_N} \quad (2.29)$$

In timpul pornirii, curentul absorbit de motor din rețea variază conform relației:

$$\underline{I} = \sqrt{\underline{I}_1^2 + \underline{I}_3^2} \cdot [u.r.], \quad (2.30)$$

iar curentul din înfășurarea de excitație este:

$$\underline{I}_{ex} = \sqrt{(\underline{I}_{1a} + \underline{I}_{3a})^2 + (\underline{I}_{1r} + \underline{I}_{3r})^2} \cdot \frac{|z_{ad}|}{|z_{re}|} [u.r.] \quad (2.31)$$

Pe baza relațiilor (2.19)...(2.28) se poate determina, pentru $s=0,05$, valoarea cuplului de intrare în sincronism, C_{ei} , precum și cuplul de pornire C_{ep} ($s=1$), putîndu-se în acest fel aprecia că motorul corespunde scopului propus. Reprezentarea grafică a caracteristicilor de mai sus, pentru un motor sincron de 400 kW, 6kV, 1000 rot/min, cu poli aparenți, este arătată în figura 2.9 - 27.

. Metoda de determinare a caracteristicii cuplului asincron al motorului sincron prezentată mai sus este laborioasă și presupune cunoașterea unui număr mare de parametri ai motorului,

care adesea nu sînt la îndemîna celui care proiectează acționarea. Din acest motiv, în practică, pentru calcule mai puțin

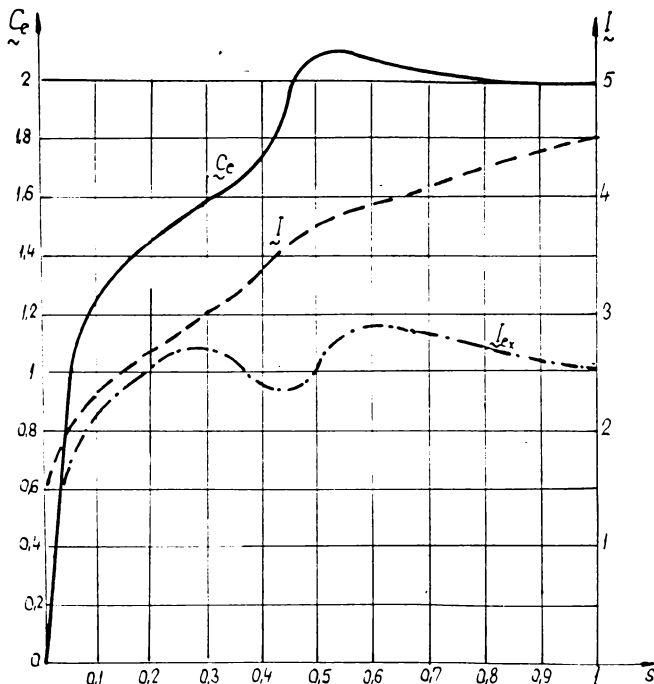


Fig.2.9. Caracteristicile de pornire în asincron
 $\tilde{C}_e = f(s)$, $\tilde{I} = f(s)$ și $\tilde{I}_{ex} = F(s)$ ale unui
 motor sincron de 400 kW, 6 kV, 1000 rot/min.

pretențioase, această caracteristică se poate determina cu relația [116,127] :

$$\tilde{C}_a = \frac{\tilde{C}_a}{\tilde{C}_N} = \frac{2D_N}{\frac{s_k}{s} + \frac{s}{s_k}} \quad (2.32)$$

în care cu \tilde{C}_a s-a notat cuplul asincron la arbore, iar $D_N = \frac{C_{a\max}}{C_N}$ este raportul de suprasarcină al motorului, și se determină cu relația [116] :

$$D_N \approx \frac{S_N}{2P_N} \left(k_i - \frac{2}{x_d + x_q} \right), \quad (2.33)$$

unde $k_i = \frac{I_p}{I_N} = \frac{I_p}{I_N}$ este raportul dintre curentul de pornire și cel nominal al motorului.

Alunecarea critică s_k se determină din relația (2.32) dacă se cunoaște raportul dintre cuplul de pornire și cuplul nominal, pentru $s=1$:

$$\frac{C_{ap}}{C_N} = \frac{2D_N}{s_k + \frac{1}{s_k}},$$

de unde:

$$s_k = \frac{D_N}{C_{ap}} - \sqrt{\left(\frac{D_N}{C_{ap}}\right)^2 - 1} \quad (2.34)$$

Aceste relații sunt valabile dacă motorul este alimentat la tensiunea nominală.

In momentul pornirii, viteza rotorului fiind zero, dacă bobinajul de excitație este deschis, în el se induce o tensiune de valoare ridicată (3...20 kV), care poate duce la străpungerea izolației acestuia. Din acest motiv, în timpul pornirii în asincron, bobinajul de excitație se închide printr-o rezistență: rezistență de descărcare. Introducerea rezistenței de descărcare îmbunătățește caracteristica asincronă a motorului, reducind efectul monoaxial. Astfel, dacă se notează $m = \frac{R_d}{R_e}$ raportul dintre rezistență de descărcare R_d și rezistență înfășurării de excitație R_e , atunci influența valorii lui R_d asupra caracteristicii asincrone a motorului sincron, în domeniul alunecărilor mici ($s=0...0,1$) este arătată în figura 2.10. [129]. Acest domeniu este

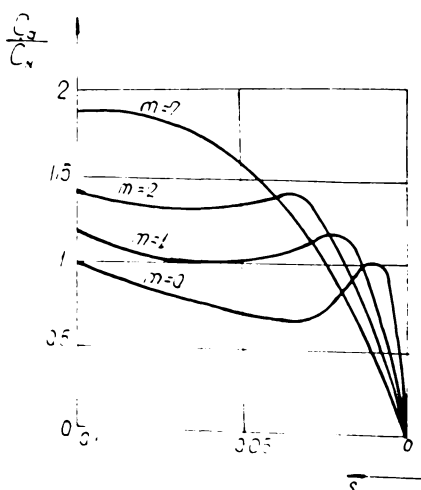


Fig.2.10. Influența raportului $m = \frac{R_d}{R_e}$ asupra caracteristicii asincrone a motorului sincron în domeniul alunecărilor mici.

important deoarece aici are loc sincronizarea motorului. Se vede că prin creșterea lui m se reduce concauitatea din curba cuplului asincron, crescînd și valoarea cuplului corespunzător alune-

cării $s=0,05$. Influența valorii raportului m asupra caracteristicii asincrone în ansamblu, precum și asupra cuplului de pornire și de intrare în sincronism se poate vedea în figura 2.11 [129].

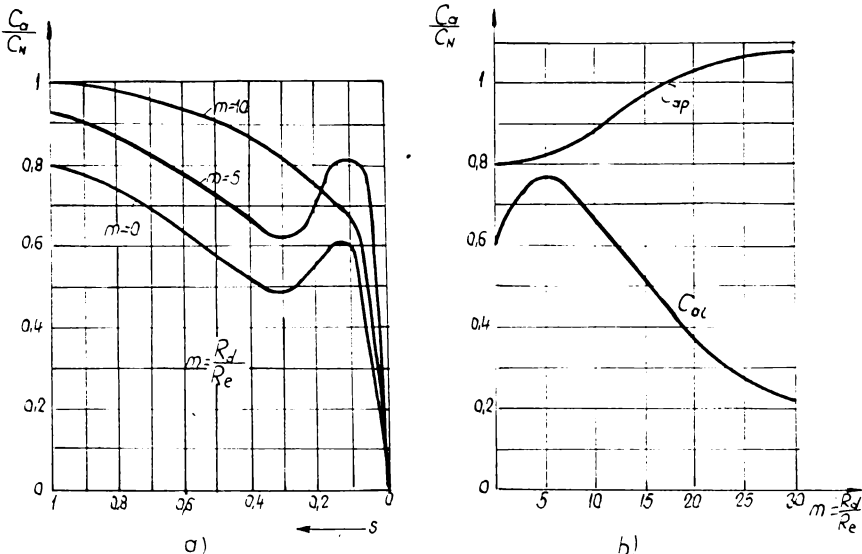


Fig.2.11. Influența raportului $m = \frac{R_d}{R_e}$ asupra: a) caracteristicii asincrone $\frac{C_a}{C_N} = f(s)$; b) cuplului de pornire C_{ap} și cuplului de intrare în sincronism C_{ai} .

Din cele arătate mai sus rezultă că prezența rezistenței de descărcare în circuitul de excitație al motorului are următoarele efecte favorabile [129]:

- micșorează valoarea tensiunii induse în înfășurarea de excitație în timpul pornirii;
- mărește valoarea medie a cuplului asincron, reducind timpul de accelerare;
- îmbunătățește caracteristica $C_a = f(s)$ în domeniul alunecărilor mici, asigurînd sincronizarea ușoară a motorului;
- reduce efectul monoaxial;
- asigură stingerea cîmpului după deconectarea motorului de la rețea.

După cum rezultă din caracteristicile reprezentate în figurile 2.9 și 2.10, valoarea cea mai favorabilă a rezistenței de descărcare este:

$$R_d = (8 \dots 10) R_e \quad (2.35)$$

Rezistența de descărcare se poate lega în circuitul de excitație în serie sau paralel (figura 2.12). Legarea serie se utilizează la motoare sincrone de putere mică și medie (pînă la

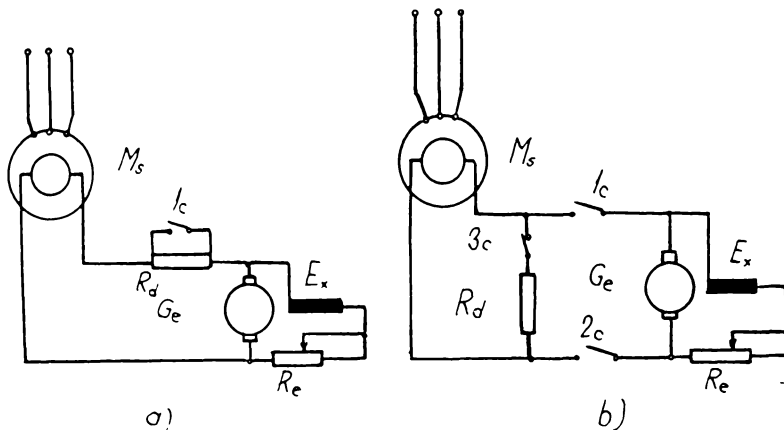


Fig.2.12. Legarea rezistenței de descărcare: a) serie; b) paralel.

700 kW), iar legarea paralel la motoare de putere mare.

O altă metodă care evită apariția tensiunilor periculoase care apar la pornire în infășurarea de excitație, constă în legarea directă a excitației motorului sincron la indusul excitatoarei (schemă de pornire fără comutație rotorică). Schema este simplă, dar cuplul asincron are valoare mai redusă, efectul monoaxial este mai puternic, cuplul asincron de intrare în sincronism mai redus, datorită concavitatei din caracteristica asincronă în domeniul alunecărilor mici.

La schemele care utilizează redresoare de excitație se utilizează în ultimul timp rezistențe neliniare [127], care prezintă valoare mică la tensiune ridicată, și își crește mult valoarea la valori ale tensiunii de ordinul de mărime al tensiunii de excitație.

După ce motorul atinge o anumită turăție subsincronă (la $s \approx 0,05$), se deconectează rezistența de descărcare și se conectează sursa de curent continuu la bornele infășurării de excitație. În acest fel apare un cuplu sincron care variază sinusoidal cu unghiul intern δ al motorului, producind oscilații ale rotorului. În timpul procesului oscilator variază alunecarea, unghiul intern, curentul statorie și puterea absorbită de

motor din rețea. Procesul continuă pînă la atingerea turației de sincronism și sincronizarea motorului, cînd oscilațiile dispar. Amplitudinea oscilațiilor și durata procesului tranzitoriu de intrare în sincronism depind de următorii factori:

- cuplul asincron al motorului;
- cuplul rezistent al compresorului;
- momentul de inerție al agregatului;
- alunecarea inițială;
- unghiul intern inițial (în momentul în care se conectează excitația);
- cuplul sincron al motorului (currentul de excitație).

Procesul de sincronizare al motorului decurge în bune condițiuni dacă excitația se couplează la alunecări mici; în acest caz, amplitudinea oscilațiilor va fi mică, iar procesul de intrare în sincronism de scurtă durată. Condițiile cele mai favorabile de intrare în sincronism se obțin la valori mici ale următoarelor mărimi:

- alunecarea inițială;
- unghiul intern inițial;
- cuplul rezistent;
- momentul de inerție al agregatului.

Pentru pornirea motorului sincron în asincron se utilizează în general două metode: pornirea directă și pornirea indirectă.

In cazul pornirii directe, motorul se conectează direct la rețea, conform schemei de principiu din figura 2.13. Curentul de pornire al motorului în acest caz se poate determina cu

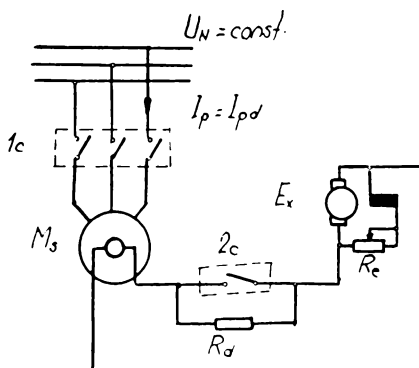


Fig.2.13. Pornirea directă a motorului sincron.

relația (2.30), fiind de 5...9 ori mai mare decît curentul nomi-

nal al motorului.

Această metodă a primit azi cea mai largă răspândire, fiind aplicată în toate cazurile cînd rețeaua de alimentare suportă şocul de curent la pornire și cînd motorul este construit cu reprezentator. Ea se pretează bine în cazul motoarelor sincrone utilizate la acționarea compresoarelor pentru aer, care avînd turări mici au reactanță de scurtcircuit mare și ca urmare au curentul de pornire mic.

Pornirea indirectă a motorului sincron se utilizează atunci cînd este necesară reducerea curentului de pornire. În acest scop se folosesc bobine de reactanță sau autotransformație. Schema de principiu utilizată pentru pornirea indirectă cu bobine de reactanță este arătată în figura 2.14.

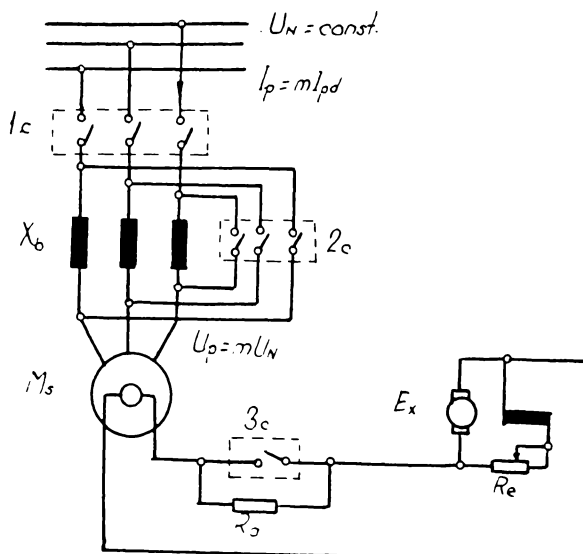


Fig.2.14. Pornirea indirectă cu bobine de reactanță a motorului sincron.

Datorită introducerii în circuit a reactanței suplimentare X_b , tensiunea la bornele motorului scade la valoarea:

$$U_p = m U_N , \quad (2.36)$$

iar curentul de pornire va fi:

$$I_p \approx m I_{pd} , \quad (2.37)$$

unde m este un coeficient de reducere a tensiunii, care se de-

termină pe baza cuplului de pornire al motorului. Astfel, dacă se notează cuplul asincron de pornire la tensiunea nominală cu C_{apN} și cuplul asincron de pornire la tensiunea U_p cu C_{ap} , se poate scrie relația:

$$\frac{C_{ap}}{C_{apN}} = \left(\frac{U_p}{U_N} \right)^2 = m^2, \quad (2.38)$$

de unde:

$$m = \sqrt{\frac{C_{ap}}{C_{apN}}} \quad (2.39)$$

Pentru ca pornirea să fie posibilă, este necesar să fie îndeplinită condiția:

$$C_{ap} > C_{pc}, \quad (2.40)$$

C_{pc} fiind cuplul de pornire al compresorului.

Pornirea indirectă a motorului sincron prin autotransformator este arătată în schema de principiu din figura 2.15.

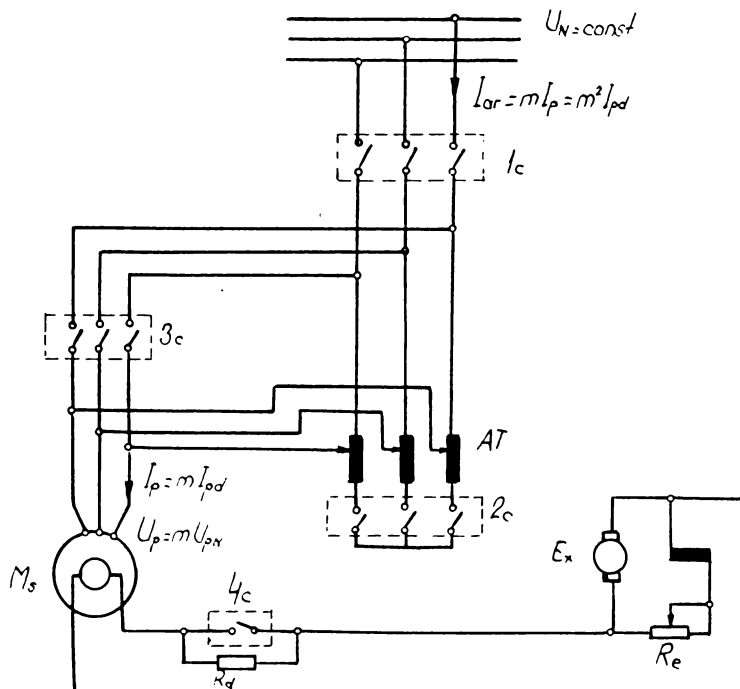


Fig.2.15. Pornirea indirectă cu autotransformator a motorului sincron.

Dacă tensiunea redusă obținută de la autotransformator are valoarea $U_p = m U_N$, curentul de pornire al motorului va fi:

$$I_p \approx m \cdot I_{pd}$$

Curentul absorbit din rețeaua de alimentare, ținând seama de raportul m de reducere a tensiunii autotransformatorului, rezultă:

$$I_{ar} = m I_p = m^2 I_{pd} \quad (2.41)$$

Raportul cuplurilor de pornire este:

$$\frac{C_{ap}}{C_{apN}} = \left(\frac{U_p}{U_N} \right)^2 = m^2,$$

de unde:

$$C_{ap} = m^2 C_{apN} \quad (2.42)$$

Comparind între ele cele trei metode descrise, se pot trage următoarele concluzii:

a) pornirea directă se poate aplica la:

- motoare sincrone de putere mică;
- motoare sincrone de putere mare și turatie joasă, atunci cînd se alimentează de la o rețea puternică;

b) pornirea indirectă se aplică la:

- motoare sincrone de putere mare și turatie înaltă;
- motoare sincrone de putere mare și turatie joasă, atunci cînd se conectează la o rețea slabă.

Dacă se ține seama că puterile uzuale ale motoarelor sincrone pentru antrenarea compresoarelor pentru aer cu piston sunt cuprinse în domeniul 150...1000 kW, iar turatie între 750...3000 rot/min, precum și de faptul că în ultimii ani puterea rețelelor a crescut considerabil, rezultă că metoda ratională de pornire a motoarelor sincrone de acționare a compresoarelor pentru aer cu piston este metoda pornirii directe. Metoda poate fi aplicată chiar și în cazul motoarelor de puteri mari, deoarece compresoarele pentru aer funcționînd de regulă grupate în stații de compresoare, se poate asigura întotdeauna pornirea în gol a compresorului.

Pentru motoarele sincrone utilizate la acționarea compresoarelor pentru aer, se recomandă [129] ca raportul între cuplul de pornire asincron C_{ap} și cuplul nominal al motorului C_N să fie $C_{ap}/C_N = 0,3...0,8$, iar raportul între cuplul de intrare în sincronism C_{ai} și cuplul nominal să fie $C_{ai}/C_N = 0,4...1,2$.

. Procesul de pornire în asincron al motorului sincron cuprindă, după cum s-a mai arătat, două etape distințe:

- în prima etapă, motorul sincron, funcționând ca motor asincron, accelerează de la turația zero pînă în apropierea turației de sincronism (aproximativ 95%) din turația sincronă;

- în etapa a doua, care începe din momentul conectării excitației, are loc un proces tranzitoriu de intrare în sincronism, după care motorul trece la funcționare sincronă.

Oscilograma curentului statoric al unui motor sincron în perioada pornirii este arătată în figura 2.16.

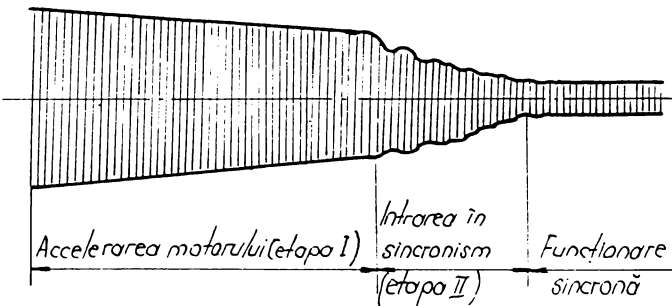


Fig.2.16. Oscilograma curentului de pornire al motorului sincron.

Analizarea completă a comportării motorului sincron în timpul primei etape a pornirii asincrone presupune examinarea următoarelor mărimi:

- curentul statoric în perioada de pornire;
- variația tensiunii la bornele motorului în timpul procesului de pornire;
- variația tensiunii induse în bobinajul de excitație al motorului;
- curentul în infășurarea de excitație;
- timpul de accelerare al motorului.

In tabelul 2.1 se dă valorile raportului dintre curentul de pornire și cel nominal I_p/I_N pentru cîteva motoare sincrone de fabricație sovietică (URSS) și fabricate la noi în țară (ICMR), utilizate pentru acționarea compresoarelor pentru aer cu piston.

Tabelul 2.1

Puterea nominală, kW										
	120	170	175	250	330	620	790	1400	2500	3450
abro.	URSS	URSS	ICMR	URSS	ICMR	ICMR	URSS	URSS	URSS	URSS
t _p	10	14	8	4	14	18	6	10	12	24
j _p /I _N	4	3,9	6,4	4,5	5	5,5	4,8	4,2	4,6	4

Curentul de pornire produce încălzirea bobinajului statoric. Temperatura bobinajului statoric se poate determina în primă aproximare, cu relația [85] :

$$\theta_s = \frac{j \left(\frac{t_p}{I_N} \right)^2}{175 \cdot 10^6} t_p \quad (2.43)$$

în care:

θ_s este temperatura statorului, [$^{\circ}$ C];

j : densitatea de curent, [A/m^2]; (la motoare cu

$U_N = 6$ kV,

$j = 4,5 \sqrt{lo^6} \dots 5,2 \cdot 10^6 A/m^2$);

t_p : timpul de pornire, [s].

In timpul pornirii motoarelor sincrone de putere mare se produc căderi importante de tensiune la barele stației de alimentare. Pentru a nu deraja alți consumatori legați la aceeași bare, căderea de tensiune permisă în timpul pornirii este la maximum 20% din tensiunea nominală a rețelei, iar undeori, dacă la sistemul de bare se alimentează consumatori deosebit de sensibili la variații de tensiune, căderea de tensiune admisă se limitează la maximum 10% [129]. Pentru reducerea căderii de tensiune la bare, se utilizează limitatoare de curent la pornire (bobine, autotransformator) sau se recurge la legarea în serie a motorului cu o bobină de reactanță X_p care nu se scurtează după pornire (fig. 2.17). Valoarea reactanței bobinei X_p se alege astfel ca să fie îndeplinite condițiile:

- să se reducă căderea de tensiune în timpul pornirii;
- să nu se reducă prea mult tensiunea la bornele motorului de pornire și în funcționare.

Dacă cele două cerințe sunt contradictorii, se alege pentru X_p o valoare de compromis care să satisfacă ambele cerințe.

In timpul pornirii în înfășurarea rotorică de pornire

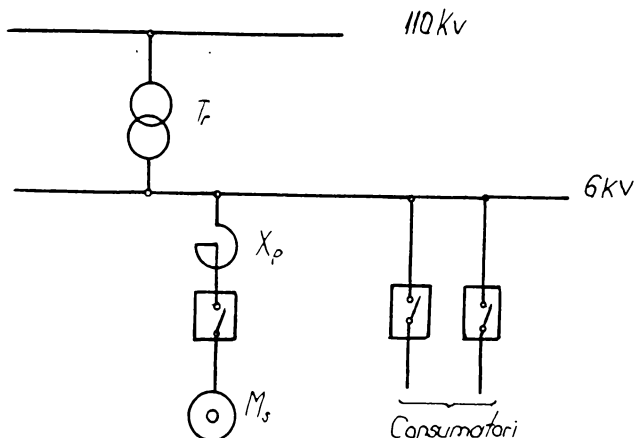


Fig.2.17. Legarea
motorului
sincron la
bare.

se induc tensiuni care produc curenți de valoare ridicată, care produc solicitări termice însemnate. Calculul încălzirii înfășurării de pornire în timpul pornirii în asincron este cu mult mai complicat decât cel al înfășurării statorice. În cazul motorului cu poli aparenți cu înfășurare de pornire și inel de scurtcircuitare, se admite că procesul de încălzire are loc fără cedare de căldură, căldura acumulându-se în colivie. Cu aceste simplificări, în practică, pentru calculul încălzirii coliviei (barelor) din cupru sau aluminiu se poate folosi relația aproximativă [127]:

$$\theta_b = 1250 \frac{T_m \cdot P_N}{n_N \cdot M_b} \cdot \frac{C_{am}}{C_{am} - C_{sm}} \quad (2.44)$$

în care:

θ_b este temperatura de încălzire a barelor înfășurării de pornire, [$^{\circ}\text{C}$];

P_N : puterea nominală a motorului, [kW];

T_m : constanta de timp electromecanică a agregatului, [s];

n_N : turăția nominală, [rot/min];

M_b : masa înfășurării de pornire, [kg];

C_{am} : cuplul asincron mediu în timpul pornirii, în unități relative (față de C_N);

C_{sm} : cuplul rezistent mediu în timpul pornirii, în unități relative.

Valorile $\frac{C_a}{C_N}$ și $\frac{C_s}{C_N}$ se calculează grafoanalitic din curbele $\frac{C_a}{C_N} = f(s)$ și $\frac{C_s}{C_N} = f_s(s)$. În figura 2.18 s-au

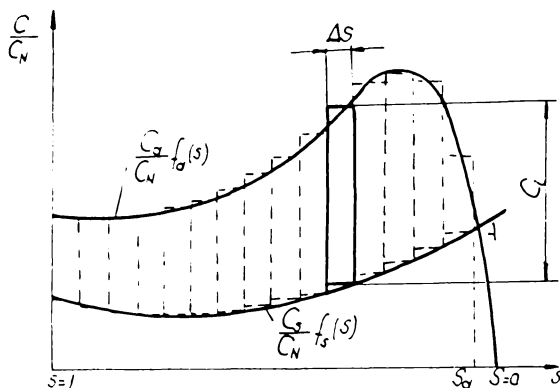


Fig.2.18. Curbele

$$\frac{C_a}{C_N} = f_a(s) \text{ și}$$

$$\frac{C_s}{C_N} = f_s(s) \text{ la}$$

pornirea în gol
a unui compresor.

reprezentat curbele $\frac{C_a}{C_N} = f_a(s)$ și $\frac{C_s}{C_N} = f_s(s)$ la pornirea în gol a unui compresor, C_a fiind cuprul asincron dezvoltat de motor în timpul pornirii, C_s cuprul rezistent al compresorului și C_N cuprul nominal al motorului. Punctului A de intersecție dintre cele două caracteristici îi corespunde alunecarea s_a , care reprezintă alunecarea stabilă în regim asincron.

Ecuatia de mișcare este dată de relația:

$$C_a - C_s = J \frac{d\omega}{dt} \quad (2.45)$$

în care J este momentul de inerție al motorului sincron și al compresorului redus la arborele motorului și ω viteza unghiulară a motorului.

Timpul de accelerare t_a de la $s=1$ la $s=s_a$ se obține din ecuația de mișcare:

$$t_a = \int_0^{\omega_a} \frac{J}{C_a - C_s} d\omega \quad (2.46)$$

prin integrare grafică sau rezolvare analitică.

Timpul de accelerare se poate obține și prin înlocuirea integralei printr-o sumă de variații finite, ca în figura 2.18. Intervalul de la $s=1$ pînă la $s=s_a$ se împarte în n intervale de lățime Δs , obținîndu-se n trapeze care se înlocuiesc cu n dreptunghiuri de arie egală, cu laturile Δs și C_i . Rezultă:

$$t_a = T_A \cdot \Delta s \cdot \sum_1^n \frac{1}{C_i} \quad (2.47)$$

în care:

$$T_A = \frac{J_0}{C_N} \text{ este timpul specific de accelerare.}$$

Pentru caracterizarea comportării dinamice a motorului în timpul proceselor tranzitorii, precum și a funcționării sistemelor de automatizare a acționării, prezintă interes cunoașterea parametrilor și a constantelor de timp ale regimului tranzitoriu al motorului sincron.

Parametrii care caracterizează regimul tranzitoriu sunt [27] :

- Reactanța tranzitoriu longitudinală:

$$x_d' = x_{\sigma l} + \frac{1}{\frac{1}{x_{ad}} + \frac{1}{x_{\sigma e}}} \quad (2.48)$$

- Reactanța tranzitorie transversală:

$$x_q' \approx x_q \quad (2.49)$$

- Reactanța supratranzitorie longitudinală:

$$x_d'' = x_{\sigma l} + \frac{1}{\frac{1}{x_{ad}} + \frac{1}{x_{\sigma e}} + \frac{1}{x_{\sigma d}}} \quad (2.50)$$

Reactanța supratranzitorie transversală:

$$x_q'' = x_{\sigma l} + \frac{1}{\frac{1}{x_{aq}} + \frac{1}{x_{\sigma q}}} \quad (2.51)$$

Evoluția în timp a proceselor electromagnetice este determinată de constantele de timp a diferitelor circuite. Pentru motorul sincron cu poli aparenti se definesc următoarele constante de timp [27] :

- Constanta de timp a înfășurării de excitație, considerată ca circuit unic (înfășurarea statorică deschisă, iar înfășurarea de amortizare lipsește); ea determină viteza de creștere a tensiunii înfășurării de excitație:

$$T_e = \frac{x_e}{2\pi f_l r_e} \quad [s], \quad (2.52)$$

unde f_l este frecvența tensiunii rețelei.

- Constanta de timp corespunzătoare curentilor tranzitorii din stator și rotor (constantă de timp a înfășurării de excitație, în cazul înfășurării statorului în scurtcircuit și supracondutore, iar înfășurarea de amortizare longitudinală lipsește);

ea determină procesele de reglare a excitării, și influențează puternic viteza de amortizare a componentelor pulsatorii ale cuplului de rotație:

$$T_d' = T_e \frac{x_d'}{x_d} \quad (2.53)$$

- Constanta de timp a înfășurării de amortizare, după axa longitudinală, cind înfășurarea de excitare este scurtcircuitată iar înfășurarea statorului este deschisă:

$$T_{dd}' = \frac{x_d'}{2\pi f_1 r_d} \quad (2.54)$$

în care:

$$x_{cd}' = x_{cd} + \frac{1}{\frac{1}{x_{ad}} + \frac{1}{x_{se}}} \quad (2.55)$$

este reactanța tranzitorie a înfășurării de amortizare longitudinală.

Constanta de timp corespunzătoare curentilor supratranzitorii din stator (constantă de timp a înfășurării de amortizare după axa longitudinală, cind ambele înfășurări longitudinale - statorică și de excitare - sunt scurtcircuitate și supraconductoare); determină viteza cu care se amortizează curenții liberi în înfășurarea de amortizare longitudinală și durata componentei supratranzitorii a curentului alternativ din stator:

$$T_d'' = T_{dd}' \frac{x_d''}{x_d'} \quad (2.56)$$

- Constanta de timp a înfășurării statorului (de amortizare a componentelor aperiodice), cind înfășurările rotorului sunt scurtcircuitate și supraconductoare:

$$T_a = \frac{x_2}{2\pi f_1 r_1} \quad (2.57)$$

unde:

$$x_2 = \frac{x_d'' + x_q''}{2} \quad (2.58)$$

este reactanța inversă, corespunzătoare cazului cind motorul funcționează pe reactanță exterioară mare. În cazul funcționării pe reactanță exterioară mică (scurtcircuit la bornele motorului), reactanța inversă se determină cu relația:

$$x_2 = \sqrt{x_d'' x_q''} \quad (2.59)$$

2.2. Sisteme de acționare

Schemele electrice pentru comanda acționării cu motoare sincrone a compresoarelor pentru aer cu piston sănătate mai complexe decât cele pentru acționare cu motoare asincrone, complexitate care apare în special datorită necesității alimentării excitației motorului sincron, precum și al numărului mare de protecții necesar. Schema se complică și datorită introducerii unor protecții tehnologice legate de procesul de producere al aerului comprimat și de funcționarea compresorului.

Schemele de comandă a acționării cu motoare sincrone se deosebesc între ele prin:

- a) modul de legare al motorului la rețea pe parcursul pornirii;
- b) modul de legare a circuitului rotoric (excitația) pe parcursul pornirii;
- c) sistemul de alimentare al excitației;
- d) modul de reglare al excitației.

După modul de legare al motorului la rețea pe parcursul pornirii se deosebesc: pornirea directă, pornirea cu bobină de reactanță inserată în circuitul statorului și pornirea cu auto-transformator, scheme care au fost analizate la punctul 2.1. Așa cum s-a mai arătat, deoarece în cazul compresoarelor pentru aer cu piston pornirea este posibilă întotdeauna în gol, și deoarece rețelele sănătate astăzi puternice, pornirea directă se aplică de cele mai multe ori.

După modul de legare a circuitului rotoric la pornire se disting următoarele tipuri de scheme, care au fost analizate la punctul 2.1:

- a) cu înfășurarea de excitație legată direct la indusul excitatoarei;
- b) cu înfășurarea de excitație legată la indusul excitatoarei printr-o rezistență suplimentară;
- c) cu înfășurarea de excitație legată la rezistență de descărcare;
- d) cu rezistență neliniară de protecție.

Pentru alimentarea excitației motorului sincron se utilizează:

- a) generatoare de curent continuu (excitatoare), acționate de la arborele motorului sincron, sau prin motor asincron separat, formând astfel un grup de excitație;

b) generatoare sincrone echipate cu redresoare cu semiconductoare rotative, pe același arbore cu motorul sincron(excitărie fără contacte);

c) mutatoare statice (redresoare, redresoare semicomandate).

In momentul de față se găsesc în exploatare un număr mare de motoare sincrone a căror excităcie este alimentată de la generatoare de curenț continuu, însă există tendință înlocuirii acestora cu mutatoare. Sistemul cu generator sincron și redresoare rotative se aplică în prezent la generatoarele sincrone mari și la unele motoare sincrone de mare putere, neutilizându-se la motoarele sincrone destinate acționării compresoarelor pentru aer cu piston.

Sistemele de reglare automată a excitării motorului sincron urmăresc reglarea automată a curentului de excitare al motorului, după un anumit criteriu de reglare; aceste sisteme vor fi analizate într-un capitol următor.

In continuare se analizează cîteva scheme tipice de comandă a motoarelor sincrone, folosite la acționarea compresoarelor pentru aer cu piston.

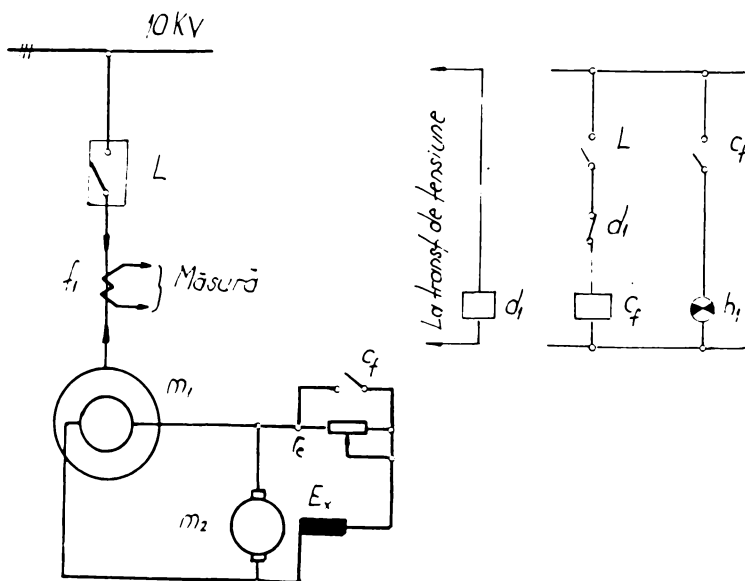


Fig.2.19. Schema de comandă a motorului sincron fără comutație rotorică.

In figura 2.19 este reprezentată o schemă de principiu în care excitația motorului sincron este legată direct la excitațioare (fără comutație în circuitul de excitație). Motorul sincron este legat la rețea direct, prin închiderea întrerupătorului de înaltă tensiune L_0 . La scăderea tensiunii sub o anumită valoare, d_1 comandă contactorul de forțare c_f , care scurtcircuitează reostatul de excitație. În acest fel se asigură forțarea excitației motorului sincron, și menținerea sa în sincronism chiar la scăderea pronunțată a tensiunii rețelei.

Schema descrisă prezintă avantajul unei realizări simple a circuitului de excitație al motorului, prin eliminarea rezistenței de descărcare și a aparatajului de comutație aferent; în schimb, așa cum s-a mai arătat, intrarea în sincronism a motorului este dificilă.

In figura 2.20 este reprezentată o schemă de principiu care elimină dezavantajul schemei anterioare, prin introducerea în serie în circuitul de excitație pe parcursul pornirii a rezistenței de descărcare r_d . La această schemă cuplarea excitației la motorul sincron se realizează automat, funcție de curentul absorbit de motor din rețea. Pornirea motorului sincron m_1 are loc prin trecerea cheii b_1 din circuitul 1 în poziția I. Prin contactorul c_1 este alimentată bobina s_1 a electromagnetului care comandă închiderea întrerupătorului principal L , care comută contactele sale auxiliare din circuitele 6 și 7. Curentul de pornire fiind mare, releul de curent minim d_1 anclanșează și pune sub tensiune bobina releului de timp d_2 , care va comanda cu întârziere releul de timp d_3 . La o viteză apropiată de cea de sincronism, curentul absorbit de motor din rețea scade, și releul d_1 declanșează, deschizând contactul său din circuitul 3. Ca urmare, prin contactele releelor de timp d_2 și d_3 din circuitul 6 aflate pentru un timp scurt în poziție închisă, se aplică un impuls de tensiune bobinei electromagnetului de închidere s_{12} a contactorului de excitație c_2 , care se închide, zăvorîndu-se mecanic. În acest fel rezistența r_d este scurtcircuitată și motorul intră în sincronism prin stabilirea curentului de excitație. La deconectarea motorului, prin aducerea cheii de comandă b_1 în poziția 0, se închide contactul auxiliar al întrerupătorului L din circuitul 7 și prin contactul închis al lui c_2 se alimentează bobina electromagnetului de declanșare s_{d2} a contactorului de excitație c_2 , care provoacă deschiderea acestuia.

La noi în țară, în prezent, necesarul de aer comprimat al celor mai multe întreprinderi este asigurat de compresoare pentru aer cu piston de tipul L (L25, L50 și L 100) sau V(1V-15, 2V-30 și 3V-45) de fabricație I.C.M.Reșița. Pentru compresoarele de tip L schema electrică de principiu este reprezentată în figura 2.21. În schemă nu sînt arătate circuitele de protecție, semnalizare și măsură, și nu este prezentat sistemul de reglare automată a excitației, care va fi analizat într-un alt capitol. Procesul de sincronizare al motorului se poate realiza automat sau manual. Pentru sincronizarea automată comutatorul b_3 se pune în poziția "Automat"(A), sincronizarea fiind comandată de către releul de curent minim d_1 .

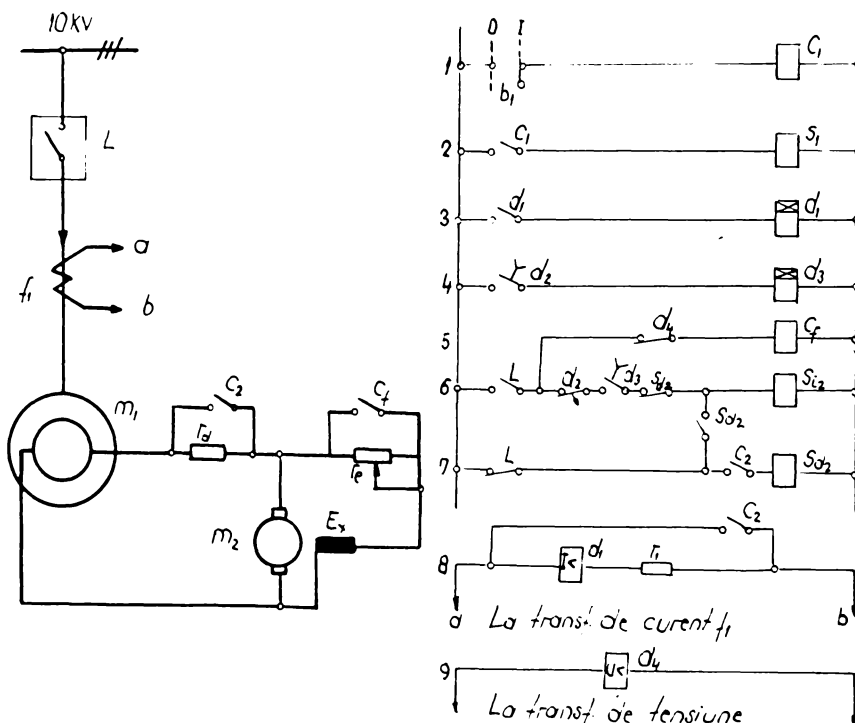


Fig.2.20. Schema de comandă a motorului sincron cu rezistență de descărcare serie.

Sincronizarea manuală se realizează cu b_3 în poziția "Manual"(M), comanda de sincronizare dîndu-se manual prin b_4 , funcție de

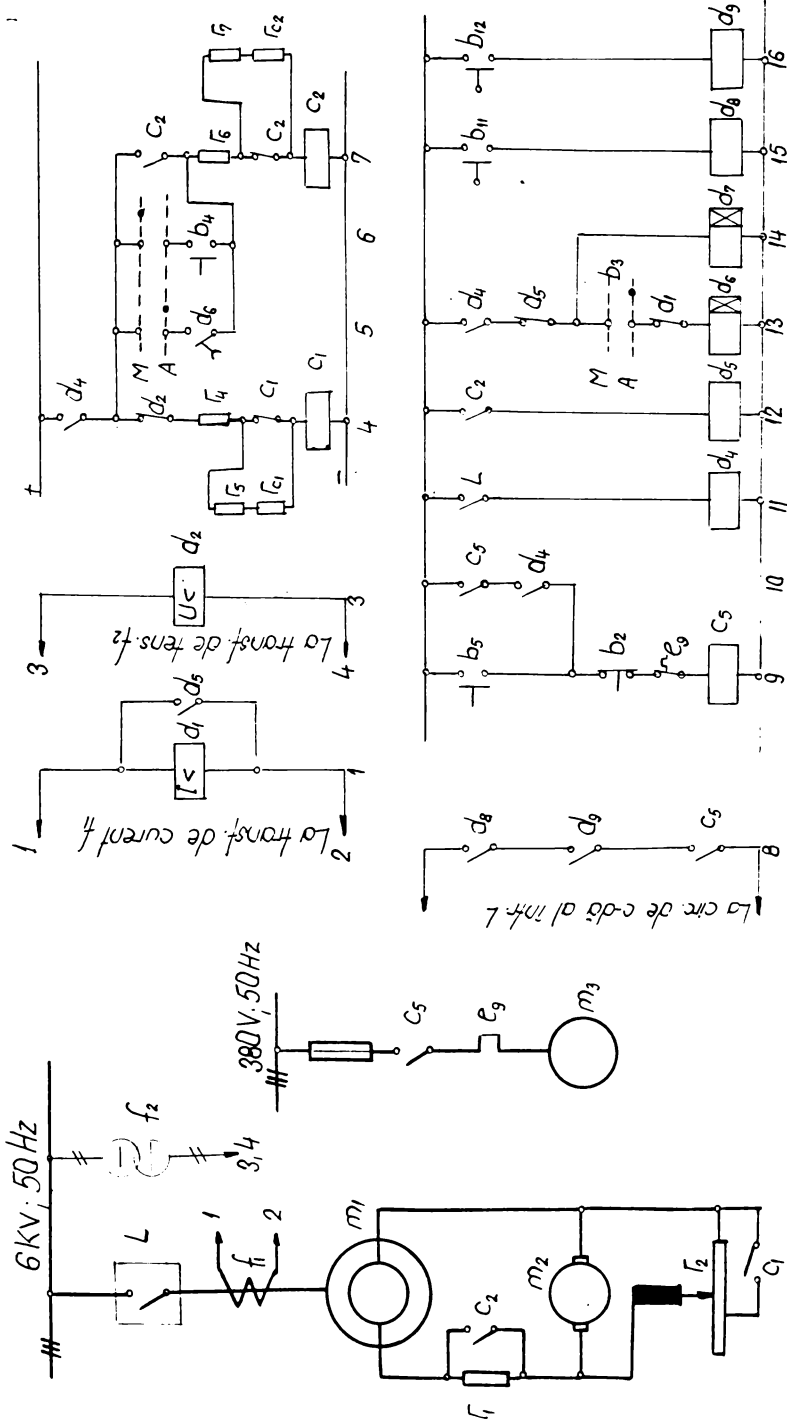


Fig. 2.21. Schema electrică de acționare a compresoarelor de tip L.

currentul absorbit de motor, la momentul ales de operator. Schema asigură deasemenea forțarea excitației, precum și toate protecțiile impuse de funcționarea corectă a motorului și compresorului.

In figura 2.22. este reprezentată schema de principiu a acționării compresorului pentru aer de tip "ATLAS-COPCO" (fabricat în Suedia; $S_N = 560 \text{ kVA}$). Alimentarea excitării motorului

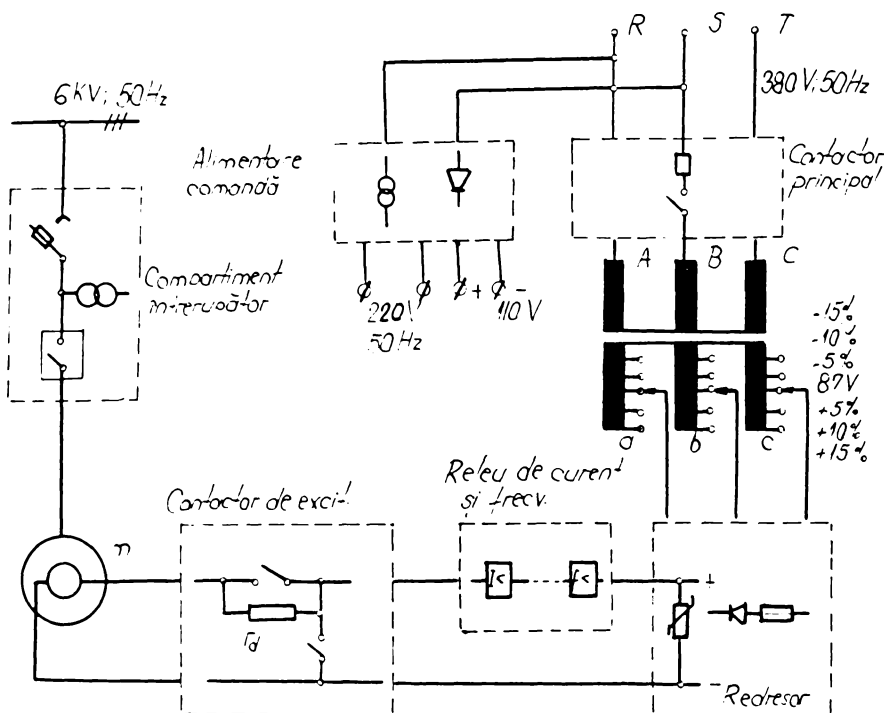


Fig.2.22. Schema electrică de principiu a acționării compresorului "ATLAS-COPCO".

Sincron se realizează de la un redresor trifazat în punte, prin intermediul unui contactor de excitație care asigură și introducerea și scoaterea din circuit a rezistenței de descărcare r_d . Sincronizarea este asigurată de un releu de curenț și frecvență, care comandă cuplarea alimentării excitației la motor atunci când frecvența curentului induș în înfășurarea de excitație scade sub o anumită valoare, corespunzătoare alunecării de intrare în sincronism. Protecția redresorului este asigurată de o rezistență nelinieră. Modificarea curentului de excitație se

realizează în trepte de la transformatorul de alimentare al redresorului de excitație.

Schemele prezentate mai sus sănt astăzi tot mai rar folosite. Astfel, utilizarea generatoarelor de curenț continuu prezintă inconvenientul aplicării dificile a unui sistem de reglare automată a excitației, datorită constantei de timp mari a circuitului de excitație. În plus, grupul de excitație are gabarit mare, randament inferior unui mutator [127], întreținere pretențioasă. Redresoarele de tipul celui prezentat în figura 2.21 au preț de cost redus, gabarit minim, nu necesită operații de întreținere, dar în schimb, prin faptul că nu permit introducerea reglării automate a excitației, prezintă indici tehnico-economi ci inferiori.

Sistemul care în momentul de față se impune este alimentarea excitației de la redresoare cu tiristoare, datorită indiciilor tehnico-economi ci superio ri celorlalte sisteme. Se utilizează trei tipuri de scheme de principiu:

a) legarea directă a înfășurării de excitație a motorului la redresor, protecția fiind asigurată de o rezistență ne-liniară r_p (fig.2.23.a), pe parcursul pornirii tiristoarele din punte fiind blocate;

b) legarea în perioada de pornire, a înfășurării de excitație la rezistența de descărcare r_d , după care se aplică tensiunea de excitație și se scoate din circuit rezistența de descărcare (fig.2.23,b);

c) legarea directă a înfășurării de excitație la redresor și la rezistența de descărcare r_d , pe parcursul pornirii rezistența de descărcare fiind introdusă în circuitul înfășurării de excitație prin tiristoarele T_1 și T_2 , comandate de tensiunea indușă în înfășurarea de excitație prin rezistențele r_1 , r_2 , r_3 și r_4 (fig.2.23,c). După terminarea pornirii, se aplică impulsurile de comandă tiristoarelor din punte, asigurînd astfel alimentarea excitației motorului sincron.

Din cele prezentate mai sus rezultă că la acționarea compresoarelor pentru aer cu piston cu motoare sincrone se impune ca schemă de bază schema de pornire directă a motorului sincron. Problema principală a acționării o constituie sistemul de excitație folosit. Criteriile de apreciere a sistemelor de excitație a motoarelor sincrone sănt:

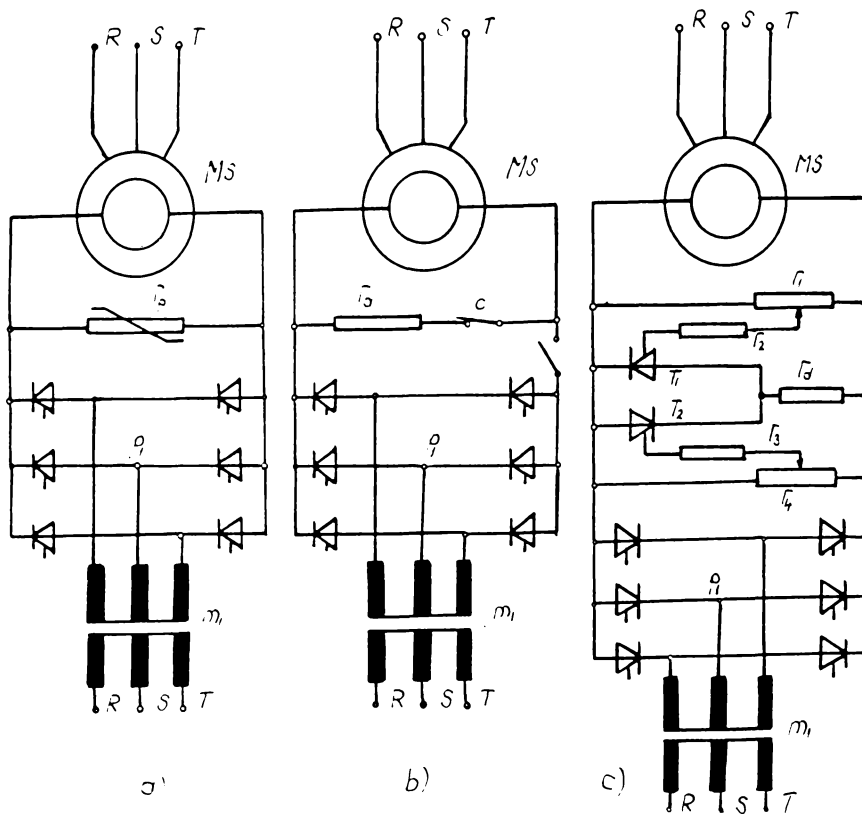


Fig.2.23. Alimentarea excitației motorului sincron de la redresoare cu tiristoare:a)direct, cu rezistență neliniară de protecție; b) cu comutație, cu rezistență de descărcare;c) fără comutație, cu rezistență de descărcare.

- acțiunea rapidă a sistemului;
- siguranță în exploatare;
- indicatorii energetici (η , $\cos \varphi$);
- costul instalației.

Principalul avantaj al sistemelor de excitație cu tiristoare constă, aşa cum s-a mai arătat, în acțiunea lor rapidă. Constanta de timp a înfășurării de excitație a generatoarelor de curent continuu se află în limitele 0,1-0,5 s, iar a redresoarelor cu tiristoare în limitele 0,005-0,01 s. Inerția ridicată a sistemelor de excitație cu generatoare de curent continuu, chiar în prezența unui sistem de reglare automată a excitației, nu permite folosirea integrală a particularităților de exploatare a

motoarelor sincrone: reducerea amplitudinii variațiilor tensiunii la bare, reducerea pierderilor de energie electrică în sistem, stabilitatea sistemului, și nu asigură o capacitate statică și dinamică de suprasarcină a motoarelor sincrone propriuzise. Acțiunea rapidă a sistemului de excitație este deosebit de favorabilă în timpul proceselor tranzitorii.

In sistemele de reglare automată folosirea excitației statice cu tiristoare permite extinderea considerabilă a limitei de stabilitate a sistemului de acționare. Valoarea limită a factorului de amplificare al sistemului cu excitație statică la reglarea în funcție de unghiul intern λ_s este dată de relația [127]:

$$K_{\lim} = U_N \frac{x_d - x_d^!}{x_d^k} \sin \lambda_s, \quad (2.60)$$

λ_s fiind unghiul intern corespunzător regimului staționar. Pentru motorul sincron tip MS650/321-8, de acționare a compresorului tip L-25(I.C.M.Reșița), datele tehnice sunt: $P_N = 175$ kW, $U_N = 6000$ V, $x_d = 0,684$, $x_d^! = 0,156$; considerind pentru unghiul intern valoarea $\lambda_s = 45^\circ$, se obține $K_{\lim} = 18692$ V/grd. Calculele făcute și pentru alte motoare sincrone dau valorii ale factorului limită de amplificare de același ordin de mărime. Or, la sistemele de reglare automată realizate valoarea factorului de amplificare este mult mai mică, constatăre care permite concluzia importantă că sistemele de excitație statică cu tiristoare prevăzute cu reglare automată a excitației sunt întotdeauna stabile, și deci nu necesită folosirea unor mijloace speciale de stabilizare.

Principalul factor care mărește siguranța în exploatare a sistemelor de excitație statică este lipsa părților rotative. Calculele efectuate [127] au arătat că probabilitatea de defectare este de circa 1,5 ori mai mare în cazul sistemelor de excitație cu generator de curent continuu decât în cazul sistemului de excitație statică, calcul confirmat de experiența de exploatare.

Sistemele de excitație statică au indici economici mai ridicăți decât sistemele de excitație cu generatoare de curent continuu. Astfel, calculele efectuate la înlocuirea sistemului de excitație cu motor asincron-generator de curent continuu cu un sistem de excitație statică pentru un motor sincron având

parametrii de excitație $U_e = 93$ V, $I_e = 252$ A, au evidențiat reducerea pierderilor de la 8,5 kW la 2,54 kW, adică o creștere a randamentului de la 0,782 la 0,963. Factorul de putere al sistemului de excitație statică este însă mai mic (0,5 față de 0,89) ca urmare a unghiului de aprindere al tiristoarelor. Însă, deoarece motorul sincron este el însuși un generator de putere reactivă, iar puterea sistemului de excitație este neînsemnată față de puterea motorului, acest lucru nu este esențial în alegerea sistemului de excitație statică.

Dacă se au în vedere cele arătate mai sus, precum și prețul în continuă scădere al dispozitivelor semiconductoare de putere, rezultă că soluția cea mai avantajoasă pentru alimentarea excitației motorului sincron o reprezintă redresorul cu tiristoare, adică excitația statică.

2.3. Noțiuni de bază privind calculul actionării

Actionarea compresoarelor cu piston ridică probleme deosebite, datorită variației periodice a cuplului rezistent. Din acest motiv rotorul motorului are oscilații, viteza variind între Ω_{\max} și Ω_{\min} , corespunzătoare lui $C_s \min$ și $C_s \max$ (fig.2,7). Aceste oscilații forțate ale rotorului produc și oscilații ale curentului, ale puterii electromagnetice și chiar ale tensiunii la bare, dacă motorul este conectat la o rețea slabă. Dacă oscilațiile sunt mari, fenomenul poate deveni supărător pentru alți consumatori alimentați de la aceeași bare. Din acest punct de vedere, se consideră ca satisfăcătoare [132] valoarea de 33% pentru variația de curent ΔI , definită prin relația:

$$\Delta I = \frac{I_{\max} - I_{\min}}{I_N} \cdot 100 \quad (2.61)$$

Gradul de neuniformitate al actionării se definește prin relația [24]:

$$\delta = \frac{\Omega_{\max} - \Omega_{\min}}{\Omega_1} \quad (2.62)$$

în care Ω_{\max} și Ω_{\min} reprezintă vitezele unghiulare maximă și minimă ale motorului, iar Ω_1 este viteza unghiulară sincronă. Pentru gradul de neuniformitate δ se recomandă [110,128] valoările: 1/80 pentru $P_N < 250$ kW și 1/100 ... 1/250 pentru $P_N > 250$ kW.

Determinarea aproximativă a momentului de inertie J al volantului se poate face pe baza curbei cuplului rezistent $C_s = f(\alpha)$ (Fig.2.7). Astfel, dacă se ține seama [105,19] că suprafețele cuprinse între curba cuplului rezistent C_s și linia cuplului mediu C_{sm} sunt o măsură a energiei acumulate, respectiv cedate de volant în timpul unui ciclu, atunci considerind energia corespunzătoare suprafeței maxime, de exemplu între punctele A și B:

$$W = \int_{\alpha_A}^{\alpha_B} (C_s - C_{sm}) d\alpha \quad (2.63)$$

și ținând seama că energia cedată de volant este dată și de relația:

$$W = \frac{1}{2} J (\Omega_{max}^2 - \Omega_{min}^2), \quad (2.64)$$

se obține pentru momentul de inertie al volantului expresia:

$$J = \frac{W}{\Omega_{med}^2} \quad (2.65)$$

unde $\Omega_{med} = \frac{\Omega_{max} + \Omega_{min}}{2}$

Cuplul mediu raportat la arborele motor va fi:

$$C_m = \frac{C_{sm}}{\eta \cdot \gamma} \quad (2.66)$$

unde η este randamentul iar γ raportul de transmisie. În primă aproximatie cuplul nominal al motorului de acționare se poate considera [105]:

$$C_N = (1,1 \dots 1,3) C_m \quad (2.67)$$

Metoda prezentată, care are la bază energia maximă care trebuie cedată de către volant în timpul unui ciclu, nu are în vedere proprietățile motoarelor de acționare. Pentru determinări mai exacte ale momentului de inertie al volantului sunt indicate în literatură [24,105] metode bazate pe analiza armonnică a cuplului rezistent. Astfel, în cazul compresoarelor pentru aer, cuplul rezistent variind periodic în timp poate fi descompus în armonici după relația:

$$C_s = C_{sm} + \sum C_{s, \max} \sin (\gamma \omega_{sl} t - \varphi_\gamma) \quad (2.68)$$

în care C_{sm} este valoarea medie a cuplului rezistent (fig.2.7), ω_{sl} este pulsărea cuplului, iar γ este ordinul armonicii.

Din punct de vedere al acționării trebuie avute în vedere următoarele probleme [24]:

- șocurile provocate de sarcină să nu scoată mașina din sincronism;
- pentru evitarea fenomenului de rezonanță, este necesar ca frecvența oricărei armonici a oscilației să fie diferită de frecvența oscilațiilor libere a instalației;
- amplitudinea oscilațiilor să fie limitată la valoarea determinată de gradul de neuniformitate admis, care a fost definit prin relația (2.62).

Funcționarea stabilă a motorului sincron în regim de sarcină constantă sau lent variabilă, adică stabilitatea statică, este asigurată atunci cînd cuplul mecanismului C_s este mai mic decît cuplul maxim C_{max} pe care îl poate dezvolta motorul corespunzător unghiul intern $\delta = 90^\circ$, la limită stabilitatea statică este asigurată pentru $C_s = C_{max}$. Analiza stabilității dinamice arată [98] că suprasarcina admisă în regim dinamic este cu aproximativ 10% mai mare decît în regim static. Aceasta conduce la concluzia că alegind motorul pe baza relației $C_s \leq C_{max}$, condiția de stabilitate dinamică este asigurată.

Pentru evitarea fenomenului de rezonanță este necesar ca modulul de rezonanță definit prin relația:

$$k_{av} = \frac{1}{1 - \left(\frac{T_y}{T_o}\right)^2} \quad (2.69)$$

să fie cuprins în domeniul $3 > k_{av} > 2$, ceea ce este echivalent cu condiția $0,8 > \frac{T_y}{T_o} > 1,2$. Aici, T_y este perioada armonicii de ordinul ν al oscilației forțate, iar T_o este perioada oscilației libere la mers în sarcină, determinată cu relația:

$$T_o = \sqrt{\frac{pC_{sin\alpha}}{J} - \left(\frac{pD}{2J}\right)^2} \quad (2.70)$$

în care α este valoarea unghiului intern în jurul căreia au loc oscilațiile, determinată de cuplul rezistent mediu C_{sm} , p este numărul de perechi de poli, $C_{sin\alpha} = C_{max} \cos \alpha$ este cuplul de sincronizare, iar $D = \frac{C_{a5}}{15,7}$, C_{a5} fiind cuplul asincron corespunzător alunecării $s = 0,05$.

Dacă excitația mașinii este constantă, atunci unghiul intern ϑ se poate scrie în forma:

$$\vartheta = \vartheta_0 + \beta \quad (2.71)$$

iar ecuația mișcării pentru mașina sincronă cu poli înecați este [24]:

$$\frac{J}{p} \frac{d^2\beta}{dt^2} + D \frac{d\beta}{dt} + C_{\sin \vartheta_0} \beta + C_{\max} \sin \vartheta = C_{sm} + \sum C_{sy \max} \cdot \sin(\gamma \omega_{sl} t - \varphi_y) \quad (2.72)$$

sau, ținând seama că $C_{\max} \sin \vartheta = C_{sm}$, rezultă ecuația diferențială a oscilațiilor forțate:

$$\frac{J}{p} \frac{d^2\beta}{dt^2} + D \frac{d\beta}{dt} + C_{\sin \vartheta_0} \beta = \sum C_{sy \max} \sin (\gamma \omega_{sl} t - \varphi_y) \quad (2.73)$$

Soluția acestei ecuații este:

$$\beta = \frac{C_{sy \max}}{\sqrt{(C_{\sin \vartheta_0} - \frac{J}{p} \omega_{sy}^2)^2 + D^2 \omega_{sy}^2}} \sin(\omega_{sy} t - \varphi_y - \psi_y) \quad (2.74)$$

unde $\omega_{sy} = \gamma \omega_{sl}$, iar

$$\psi_y = \arctg \frac{D \omega_{sy}}{C_{\sin \vartheta_0} - \frac{J}{p} \omega_{sy}^2} \quad (2.75)$$

este unghiul de defazare a oscilației forțate față de oscilația cuplului mecanismului.

Dacă se negligează acțiunea cuplului de amortizare ($D=0$), atunci pentru variația maximă în timp a unghiului electric de oscilație a armonicii de ordinul γ rezultă expresia:

$$\left| \frac{d\beta_y}{dt} \right|_{\max} = \frac{\omega_{sy} C_{sy \max}}{C_{\sin \vartheta_0} - \frac{J}{p} \omega_{sy}^2} \quad (2.76)$$

iar pentru amplitudine oscilației expresia:

$$\beta_{y \max} = \frac{C_{sy \max}}{C_{\sin \vartheta_0} - \frac{J}{p} \omega_{sy}^2} \quad (2.77)$$

In figura 2.24 este reprezentată grafic variația mărilor $\left| \frac{d\beta_y}{dt} \right|_{\max}$ și $\beta_{y \max}$ funcție de momentul de inertie J .

Fenomenul de rezonanță apare atunci cînd

$$C_{\sin \vartheta_0} = \frac{J}{p} \omega_{sy}^2 \quad (2.78)$$

Se observă că la o valoare dată a lui $\left| \frac{d\beta_s}{dt} \right|_{\max}$ sau $\beta_{s\max}$

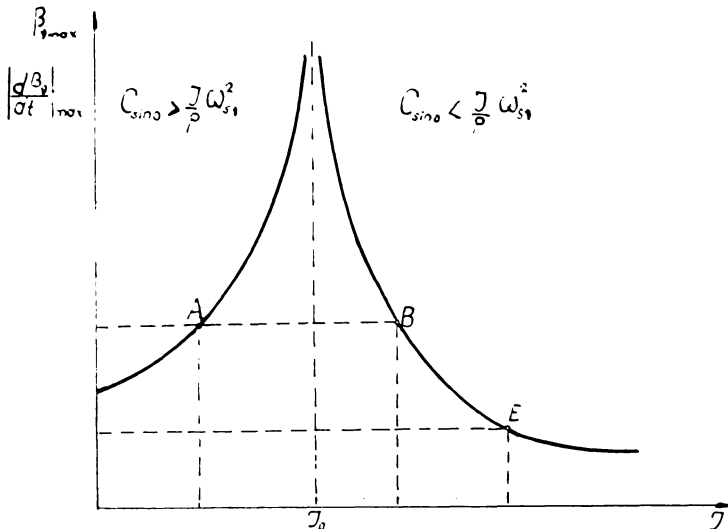


Fig.2.24. Variația mărimilor $\left| \frac{d\beta_s}{dt} \right|_{\max}$ și $\beta_{s\max}$ în funcție de J_s .

corespond pentru J_s fie două valori (punctele A și B), fie o singură valoare (punctul E).

Introducind notațiile:

$$\Omega_{s\max} = \Omega_1 + \Delta\Omega_{s\max}$$

$$\Omega_{s\min} = \Omega_1 - \Delta\Omega_{s\max}$$

și ținând seama că

$$\Delta\Omega_{s\max} = \frac{1}{p} \left| \frac{d\beta_s}{dt} \right|_{\max},$$

pe baza relațiilor (2.62) și (2.76) se obține pentru gradul de neuniformitate expresia:

$$C_s = \pm \frac{\omega_{s\gamma}}{\Omega_1} \frac{2C_{s\gamma\max}}{p C_{\sin\alpha} - J \omega_{s\gamma}^2}, \quad (2.79)$$

în care semnul din față expresiei se ia astfel încât gradul de neuniformitate să rezulte pozitiv.

Pe baza relațiilor (2.77) și (2.79) se obține legătura dintre amplitudinea oscilației și gradul de neuniformitate sub forma:

$$\beta_{s\max} = \frac{p \Omega_1}{2 \omega_{s\gamma}} C_s \quad (2.80)$$

Momentul de inerție rezultă din relația (2.79):

$$J = \frac{p}{2} C_{sv} \sin \phi \pm \frac{2C_{sv} v_{max}}{\omega_{sv} \Omega_1 \sqrt{J}} \quad (2.81)$$

în care se ia în considerare semnul plus dacă termenul al doilea este mai mare decât primul termen, iar dacă termenul al doilea este mai mic decât primul termen se iau în considerare ambele semne, astfel ca pentru J să rezulte valori pozitive.

Cu valoarea astfel determinată se verifică modulul de rezonanță, care ținând seama de expresia (2.69) și de relația $T_v = \frac{2\pi}{\sqrt{\Omega_1}}$, primește forma:

$$k_{av} = \frac{1}{1 - \frac{p C_{sv} \sin \phi}{\omega_{sv}^2 J}} \quad (2.82)$$

2.4. Compensarea puterii reactive în stațiile de distribuție cu motoarele sincrone de acționare

In rețelele de distribuție ale întreprinderilor, de la aceleași bare ale unei stații de distribuție se alimentează consumatori de energie cu un caracter al sarcinii foarte diferit: activ, reactiv-inductiv sau reactiv-capacitiv. Prezența motoarelor sincrone în asemenea situații permite compensarea în întregime sau parțială a puterii reactive cerute de ceilalți consumatori. O situație tipică o prezintă întreprinderile miniere, care au stații de distribuție izolate, alimentate prin linii lungi, de la care se alimentează motoarele sincrone de acționare ale compresoarelor pentru aer, precum și motoare asincrone, cu sarcină constantă sau variabilă în limite largi: pompe, ventilatoare, mașini de extracție, etc. Consumul de putere reactivă de către diferite tipuri de consumatori produce efecte economice negative, care în principal sunt evidențiate prin:

a) Apar pierderi suplimentare de putere activă în rezistențele R ale circuitului:

$$\Delta P_i = I^2 R = \frac{P^2 R}{U^2} + \frac{Q^2 R}{U^2} = \Delta P_a + \Delta P_r \quad (2.83)$$

unde:

ΔP_a sunt pierderi datorate transportului puterii active;

ΔP_r : pierderi datorate transportului puterii reactive.

b) Ca urmare a creșterii curentului total, elementele

circuitelor electrice (stație, linie de transport, rețea de distribuție, etc) trebuie să fie supradimensionate, ceea ce scumpește instalația.

c) Se produc căderi suplimentare de tensiune pe linia de alimentare. Pentru o porțiune de rețea cu rezistență R și reactanță X căderea de tensiune este:

$$\Delta U = I R \cos \varphi + I R \sin \varphi = \frac{S \cos \varphi}{U} R + \frac{S \sin \varphi}{U} X = \\ = \frac{PR}{U} + \frac{QX}{U} = \Delta U_a + \Delta U_r \quad (2.84)$$

unde:

ΔU_a este căderea de tensiune determinată de transportul puterii active;

ΔU_r : căderea de tensiune determinată de transportul puterii reactive.

d) Se limitează capacitatea de încărcare a transformatoarelor de alimentare.

Sursele de putere reactivă utilizate în întreprinderi pot fi împărțite în două grupe:

a) surse pentru care producerea energiei reactive constituie o funcție auxiliară; acestea sunt generatoarele sincrone și motoarele sincrone supraexcitate;

b) surse ale căror scop unic este producerea energiei reactive; acestea sunt bateriile de condensatoare și compensatoarele sincrone.

Dacă se iau în considerare cheltuielile de investiții și de exploatare, atunci energia reactivă produsă de un generator sincron rezultă cea mai ieftină [36]. Cu toate acestea, transportul ei la locul de consum se dovedește în mare parte a cauzelor neeconomic. Cercetările efectuate au dovedit că, chiar în cazul rețelelor de distribuție ale întreprinderii, curenții reactivi pot deveni atât de mari încât compensarea lor devine rentabilă numai în nodurile de sarcină [136, 137, 139]. Aceasta presupune, în ultimă analiză, plasarea surselor de energie reactivă la locul de consum al acestor.

Compensarea puterii reactive a unei întreprinderi este impusă de necesitatea realizării unui anumit factor de putere k_p , definit prin relația:

$$k_p = \frac{P}{\sqrt{P^2 + Q^2 + D^2}} , \quad (2.85)$$

în care D este puterea deformantă. În regim sinusoidal, cind

D=0, factorul de putere devine:

$$\cos \varphi = \frac{P}{\sqrt{P^2 + Q^2}} \quad (2.86)$$

In întreprinderi se utilizează frecvent [28] noțiunea de factor de putere mediu, determinat pe baza consumurilor de energie activă W_a și reactivă W_r , într-un anumit interval de timp (oră, zi, lună, an):

$$\cos \varphi_m = \frac{W_a}{\sqrt{W_a^2 + W_r^2}} \quad (2.87)$$

Factorul de putere realizat de consumator în absența surselor specializate de compensare a puterii reactive este factorul de putere natural. Valoarea minimă a factorului de putere pe care trebuie să o realizeze consumatorul pentru a fi scutit de plata energiei reactive este factorul de putere neutral $\cos \varphi_n$. Consumatorii industriali importanți trebuie să realizeze o compensare pînă la un $\cos \varphi_n$ de minimum 0,92. Compensarea poate depăși valoarea de 0,92 dacă prin aceasta se realizează economii la investițiile în rețelele proprii și dacă regimul local al tensiunilor permite acest lucru.

Cresterea factorului de putere presupune, în primul rînd, reducerea consumului de energie reactivă, ceea ce se poate realiza prin eliminarea mersului în gol al motoarelor asincrone, înlocuirea motoarelor asincrone și a transformatoarelor neîncărcate, etc. În al doilea rînd, după epuizarea mijloacelor naturale, creșterea factorului de putere se realizează, așa cum s-a mai arătat, prin compensarea puterii reactive. Determinarea puterii reactive a instalației de compensare, pentru creșterea factorului de putere de la valoarea naturală $\cos \varphi_1$ la valoarea cerută $\cos \varphi_2$, se poate face cu relația [28]:

$$Q_c = \frac{W_a (\tan \varphi_1 - \tan \varphi_2)}{T_{an}} \quad (2.88)$$

unde:

W_a este energia reactivă consumată de întreprindere într-un an;

T_{an} : numărul de ore de funcționare al întreprinderii într-un an.

Valoarea puterii reactive a instalației de compensare determinată din relația (2.88) corespunde unui factor de putere

mediu anual; însă, în condițiile în care sarcina este variabilă în cursul unei zile, puterea reactivă a instalației de compensare nu asigură valoarea impusă a factorului de putere. În perioadele de sarcină maximă va apărea un deficit de putere reactivă (compensare incompletă), iar în perioadele de sarcină minimă un excedent de putere reactivă (supracompensare). Dacă sunt cunoscute consumul de energie activă $W_{a \max}$ și reactivă $W_{r \max}$ pentru perioada sarcinilor maxime, de putere reactivă, precum și durata T_{\max} a acestei perioade, atunci puterea instalației de compensare în acest caz este [67]:

$$Q_{c \max} = \frac{W_{a \max}}{T_{\max}} \left(\frac{W_{r \max}}{W_{a \max}} - \operatorname{tg} \gamma_2 \right) \quad (2.89)$$

În mod analog, pentru regimul corespunzător sarcinii minime, puterea instalației de compensare va fi:

$$Q_{c \min} = \frac{W_{a \min}}{T_{\min}} \left(\frac{W_{r \min}}{W_{a \max}} - \operatorname{tg} \gamma_2 \right) \quad (2.90)$$

Ca urmare, pentru realizarea unei compensări corespunzătoare, o anumită parte din puterea instalației de compensare, a cărei valoare este:

$$Q_{cr} = Q_{c \max} - Q_{c \min} \quad (2.91)$$

trebuie să poată fi modificată în funcție de necesarul de putere reactivă existent.

Aprecierea gradului de reducere al pierderilor de putere activă la compensarea puterii reactive într-un nod de sarcină al sistemului de alimentare cu energie electrică a întreprinderii se poate face pe baza echivalentului economic al puterii reactive K_r , definit cu relația [67]:

$$K_r = \frac{\Delta P}{Q_c} = \frac{P_1 - P_2}{Q_c} = \frac{\frac{Q_1^2 \cdot R \cdot 10^{-3} - Q_2^2 \cdot R \cdot 10^{-3}}{U^2}}{Q_c} = \frac{Q_1 + Q_2}{U^2} R \cdot 10^{-3} = \\ = \frac{2 Q_1 - Q_c}{U^2} \cdot R \cdot 10^{-3}, \quad [\text{kW/kVAr}] \quad (2.92)$$

unde:

ΔP este reducerea pierderilor de putere activă ca urmare a compensării puterii reactive;

P_1, P_2 - pierderile de putere activă în rețea pînă la și după compensare;

R - rezistența tuturor elementelor legate în serie de la generatoarele centralei și pînă la locul de consum al puterii reactive;

Q_c - puterea reactivă compensată;

Q_1, Q_2 - puterea reactivă consumată pînă la și după compensare.

Dacă este cunoscut echivalentul economic K_r , atunci scădereea generală a pierderilor de putere activă la compensarea puterii reactive se determină cu relația:

$$\Delta P = K_r \cdot Q_c \quad (2.93)$$

Relația (2.92) evidențiază că echivalentul economic al compensării depinde de distanța dintre centrală și punctul de consum al puterii reactive, crescînd cu distanța. Determinarea sa prin calcul este laborioasă și dificilă atunci cînd numărul treptelor de transformare este mare. Valoarea lui variază de la 0,02, în cazul alimentării de la generatoarele centralei, pînă la 0,2...0,25 în cazul consumatorilor alimentați după 3-4 trepte de transformare [67]. În calculele practice se lucrează cu o valoare medie, indicată în general în normative [142,143].

După cum se cunoaște, în întreprinderi se folosesc ca surse de putere reactivă baterii de condensatoare, compensatoare sincrone și în ultimul timp, ca urmare a extinderii acționării cu motoare sincrone la o serie de aggregate, motoarele sincrone supraexcitate.

Față de alte surse de putere reactivă, bateriile de condensatoare prezintă o serie de avantaje:

- au pierderi specifice de putere activă mici, comparativ cu alte surse de putere reactivă (3,5 kW/MVar, la condensatoarele fabricate în prezent în țară);

- montare, exploatare și întreținere simplă;

- amplasare la locul de consum al puterii reactive.

In schimb, utilizarea bateriilor de condensatoare prezintă următoarele inconveniente:

- dependența puterii reactive de pătratul tensiunii, ceea ce provoacă variații mari ale puterii reactive, la variația tensiunii pe bare;

- supracurenți și supratensiuni la conectarea și deconectarea lor;

- posibilitatea de modificare numai în trepte a puterii

reactive;

- imposibilitatea folosirii lor ca și consumatori de putere reactivă, ceea ce, în anumite regimuri poate să aibă importanță deosebită.

- investiție suplimentară.

Compensatoarele sincrone prezintă avantajul că pot fi folosite atât ca sursă de putere reactivă, cât și pentru consumarea puterii reactive. Totuși, datorită pierderilor specifice indicate, care se reduc numai la puteri unitare mari (de peste 10 MVar), utilizarea compensatoarelor sincrone în întreprinderi la care puterea instalată este de valori medii (0,5-2,5 MW) nu este justificată economic datorită prețului ridicat al unei asemenea mașini. În astfel de caz se situează întreprinderile mici, unde dintr-o stație se alimentează consumatori a căror putere totală se încadrează între limitele indicate. O parte însemnată a puterii instalate în astfel de stații este constituită din puterea motoarelor sincrone de acționare a compresoarelor pentru aer [136;139]. În asemenea situații, soluția cea mai avantajoasă este aceea de a utiliza motoarele sincrone pentru compensarea puterii reactive. Față de compensatoarele sincrone, motoarele sincrone au pierderi mai reduse, având în același timp toate avantajele compensatorului sincron.

Atunci cînd motorul sincron este utilizat ca sursă de putere reactivă, este foarte important din punct de vedere practic cunoașterea valorii puterii reactive pe care motorul sincron o poate furniza. Aceasta se poate determina ușor prin capacitatea de compensare a motorului sincron, definită ca raport între puterea reactivă dată de motor în rețea și puterea aparentă nominală a motorului [115]:

$$q = \frac{Q}{S_N} \quad (2.94)$$

Pornind de la diagrama vectorială a motorului sincron cu poli aparenti, în care s-a neglijat rezistența statorului, se obține pentru capacitatea de compensare a motorului sincron expresia:

$$\begin{aligned} q = & \frac{\underline{U}_d \underline{U}_e}{x_d} \cos \varphi + \frac{\underline{U}^2}{2} \left(\frac{1}{x_d} - \frac{1}{x_q} \right) \cos 2\varphi - \\ & - \frac{\underline{U}^2}{2} \left(\frac{1}{x_q} + \frac{1}{x_d} \right) \end{aligned} \quad (2.95)$$

în care:

$$\tilde{U} = \frac{U}{U_N} \text{ este tensiunea rețelei, u.r.}$$

$$\tilde{U}_e = \frac{U_e}{U_{eN}} : \text{tensiunea electromotoare indușă, u.r.}$$

Relația (2.95) arată că, la tensiunea a rețelei constantă ($U=ct$) și sarcină constantă ($\lambda = ct$), capacitatea de compensare a motorului sincron depinde de curentul de excitație I_e prin intermediul lui $U_e = f(I_e)$, micșorarea curentului de excitație ducând la reducerea capacitatii de compensare a motorului sincron. Deasemenea, relația (2.95) permite studierea influenței sarcinii la arborele motorului sincron asupra capacitatii sale de compensare. Reducerea sarcinii duce la scăderea puterii aparente, dar în același timp scade și unghiul λ , ceea ce conduce la creșterea puterii reactive dată de motorul sincron. Această creștere este totuși mică, și depinde $\cos \varphi_N$ al motorului. Astfel, de exemplu, la $\cos \varphi_N = 0,8$ și sarcină nominală, capacitatea de compensare este $q_N = 0,6$, și crește pentru regimul de mers în gol la $q_0 = 0,75$ (pentru $U=U_N$ și $I_e = I_{eN}$); corespunzător, la $\cos \varphi_N = 0,9$, $q_N = 0,437$ și $q_0 = 0,53$ [115].

In practică, pentru simplificarea calculelor, este util ca motorul sincron cu poli aparenți să se înlocuiască cu un motor echivalent cu poli înecați, a cărui reactanță sincronă este egală cu reactanța longitudinală a motorului cu poli aparenți reali. In aceste condiții, tensiunea electromotoare a excitației, obținută din diagrama fazorială, este:

$$U_e = \sqrt{U^2 + 2I_r X_d U + I_r^2 X_d^2 + I_a^2 X_d^2} \quad (2.96)$$

unde I_a , I_r sunt componente ale curentului statoric.

Pentru $U=U_N$, relația (2.96) se poate scrie în unități relative în forma:

$$\tilde{U}_e = \sqrt{1 + 2qx_d + q^2x_d^2 + p x_d^2}, \quad (2.97)$$

în care q este capacitatea de compensare a motorului la curent de excitație diferit de cel nominal, iar $p = \frac{P}{S_N}$ este sarcina activă a motorului.

Din relația (2.97) rezultă capacitatea de compensare:

$$q = \frac{\sqrt{U_e^2 - p^2 x_d^2} - 1}{x_d} \quad (2.98)$$

La regim nominal ($Q=Q_N$, $P=P_N$, $I_e=I_{eN}$) tensiunea electromotoare este:

$$U_{eN} = \sqrt{1 + 2 x_d \sin \varphi_N + x_d^2} \quad (2.99)$$

care înlocuită în (2.98) conduce la:

$$q = \frac{\sqrt{1 + 2 x_d \sin \varphi_N + x_d^2(1-p^2)} - 1}{x_d} \quad (2.100)$$

relație care permite determinarea capacitatii de compensare a motorului sincron la curent de excitație nominal și la sarcină activă diferită de cea nominală.

De multe ori în practică se determină nu capacitatea de compensare q a motorului sincron, ci încărcarea relativă a statorului motorului în putere reactivă $\alpha' = \frac{Q}{Q_N}$ la $I_e = I_{eN}$ [116].

Tinând seama că $Q_N = S_N \sin \varphi_N$, relațiile (2.96) și (2.100) se pot scrie:

$$U_e = \sqrt{1 + 2 \alpha' x_d \sin \varphi_N + \alpha'^2 x_d^2 \sin^2 \varphi_N + \beta^2 x_d^2 \cos^2 \varphi_N} \quad (2.101)$$

$$\alpha' = \frac{\sqrt{1 + 2 x_d \sin \varphi_N + x_d^2(1 - \beta^2 \cos^2 \varphi_N)} - 1}{x_d \sin \varphi_N} \quad (2.102)$$

unde $\beta = \frac{P}{P_N}$ este încărcarea activă relativă a motorului.

Producerea de putere reactivă cu motorul sincron este însoțită de pierderi suplimentare de putere activă în motor. Pentru analizarea eficienței economice a compensării, este importantă cunoașterea dependenței acestor pierderi de puterea reactivă produsă. Astfel, în regim nominal de funcționare al motorului, pierderile de putere activă în motor se exprimă prin relația:

$$P_{iN} = P_{mfe} + 3I_{LN}^2 R_1 + I_{eN}^2 R_e = P_{mfe} + P_{sN} + P_{eN} \quad (2.103)$$

unde:

P_{mfe} sunt pierderile mecanice și în fier;

I_{LN}, I_{eN} : curenții nominali statoric și de excitație;

R_1 : rezistența fazelor statorului;

R_e : rezistența înfășurării de excitație;

P_{sN}, P_{eN} : pierderile nominale în stator și excitație.

Intr-un regim diferit de cel nominal, pierderile în motor se pot exprima prin relația:

$$P_i = P_{mfe} + P_{SN} \left(\frac{I_1}{I_{1N}} \right)^2 + P_{eN} \left(\frac{I_e}{I_{eN}} \right)^2 = \\ = P_{mfe} + P_{SN} (\beta^2 \cos^2 \varphi_N + \alpha^2 \sin^2 \varphi_N) + P_{eN} k_e^2 \quad (2.104)$$

în care: $k_e = \frac{I_e}{I_{eN}}$ este raportul între curentul de excitație și curentul de excitație nominal;

$$\left(\frac{I_1}{I_{1N}} \right)^2 = \left(\frac{I_{1a}}{I_{1N}} \right)^2 + \left(\frac{I_{1r}}{I_{1N}} \right)^2 = \left(\frac{P}{P_N} \right)^2 \cos^2 \varphi_N + \left(\frac{Q}{Q_N} \right)^2 \sin^2 \varphi_N = \\ = \beta^2 \cos^2 \varphi_N + \alpha^2 \sin^2 \varphi_N,$$

I_{1a} și I_{1r} fiind componentele activă și reactivă ale curentului statoric, iar

$\alpha = \frac{Q}{Q_N}$ este raportul între puterea reactivă produsă de motor la $I_e \neq I_{eN}$ și puterea reactivă nominală.

Determinarea lui k_e se poate face pe cale grafo-analitică, folosind diagrama Potier și caracteristica de mers în gol a motorului [116]. Pentru calcule practice, k_e se poate determina cu relația:

$$k_e = k_{el} + (1 - k_{el}) \frac{Q}{\alpha' Q_N} = k_{el} + (1 - k_{el}) \frac{\alpha}{\alpha'} \quad (2.105)$$

unde k_{el} este raportul dintre curentul de excitație la $Q=0$ ($\cos \varphi = 1$) și curentul de excitație nominal, și se poate determina cu relația:

$$k_{el} = \frac{I_{el}}{I_{eN}} = \sqrt{\frac{1 + \beta^2 x_d^2 \cos^2 \varphi_N}{1 + x_d^2 + 2x_d \sin \varphi_N}} \quad (2.106)$$

Introducând relațiile (2.105) și (2.106) în relația (2.104) pentru pierderile de putere în motor se obține relația:

$$P_i = P_{mfe} + \frac{P_{eN}}{1 + x_d^2 + 2x_d \sin \varphi_N} + \frac{P_{eN} x_d^2 \cos^2 \varphi_N}{1 + x_d^2 + 2x_d \sin \varphi_N} \beta^2 + P_{SN} \beta^2 \cos^2 \varphi_N + \\ + \left(P_{SN} \sin^2 \varphi_N + \frac{1 - k_{el}}{\alpha'} P_{eN} \right) \alpha'^2 + \frac{2P_{eN} k_{el} (1 - k_{el})}{\alpha'} \alpha \quad (2.107)$$

Separând pierderile, și considerind $P_{mfe} = ct$, se obțin pierderile care depind de producerea puterii reactive:

= 6θ =

$$P_r = A \alpha^2 + B \alpha = A \left(\frac{Q}{Q_N} \right)^2 + B \frac{Q}{Q_N} \quad (2.108)$$

undes:

$$A = P_{SN} \sin^2 \gamma_N + \frac{1 - k_{el}}{\alpha'} P_{eN} \quad (2.109)$$

$$B = \frac{2 P_{eN} k_{el} (1 - k_{el})}{\alpha'} \quad (2.110)$$

3. OPTIMIZAREA REGIMULUI DE FUNCTIONARE AL MOTOARELOR SINCRONE DIN STATIILE DE COMPRESOARE

O problemă deosebită care se pune frecvent în exploatare, este aceea de a alege și a menține cea mai rațională valoare a puterii reactive debitată de motorul sincron. În momentul de față, sistemele de excitație utilizate pentru motoarele sincrone de acționare a compresoarelor pentru aer, ca de altfel și pentru acționarea altor utilaje, sunt fie sisteme la care valoarea curentului de excitație se modifică manual, operatorul stabilind o valoare a acestuia astfel ca motorul să funcționeze la factor de putere unitar sau supraexcitat, fie sisteme echipate cu dispozitive de reglare automată, prin care se asigură menținerea constantă a puterii reactive produse, a factorului de putere, a tensiunii pe bare, etc. Aceste sisteme vor fi analizate în capitolul 4.

Pentru motoarele sincrone utilizate la acționarea compresoarelor pentru aer, se utilizează în prezent aproape în exclusivitate modificarea manuală a curentului de excitație. Acest sistem, care a fost urmărit îndeaproape de autor la diferite întreprinderi din țară [136, 137, 138, 139], nu asigură funcționarea cea mai corespunzătoare a motorului sincron, valoarea curentului de excitație al motorului sincron stabilindu-se arbitrar.

In contextul reducerii consumului de energie pe ansamblul economiei naționale, și având în vedere puterea însemnată folosită pentru producerea aerului comprimat, este deosebit de oportună abordarea problemei optimizării regimului de funcționare al motoarelor sincrone sub aspectul consumului de energie electrică. Considerînd motoarele sincrone din stația de compresoare, împreună cu ceilalți consumatori alimentați de la aceleași bare, precum și linia de alimentare a stației drept un ansamblu funcțional unitar, se stabilește în prezența lucrare drept criteriu de optimizare a regimului de funcționare al motoarelor sincrone, acel regim care asigură pe ansamblul definit mai sus, pierderi minime de energie.

3.1. Determinarea puterii reactive optime a motorului sincron

In multe stații de compresoare întâlnite în diferite întreprinderi, funcționează un anumit timp, din diferite motive, un singur compresor. Motorul sincron de acționare al acestuia se alimentează de la aceleasi bare la care sunt racordați și alți consumatori care consumă o cantitate însemnată de energie reactivă, care încarcă inutil linia de transport. Într-o asemenea situație, problema primește din punct de vedere al criteriului de optimizare stabilit, următorul aspect: determinarea puterii reactive optime care trebuie asigurată de motorul sincron, pentru ca pe ansamblul stației de compresoare, inclusiv linia de alimentare, ansamblu definit mai sus, pierderile de putere să fie minime.

Schema monofilară a unei stații de compresoare, întâlnită frecvent în industria minieră, este reprezentată în figura 3.1.[139]. Pe schemă s-a reprezentat numai motorul sincron MS al

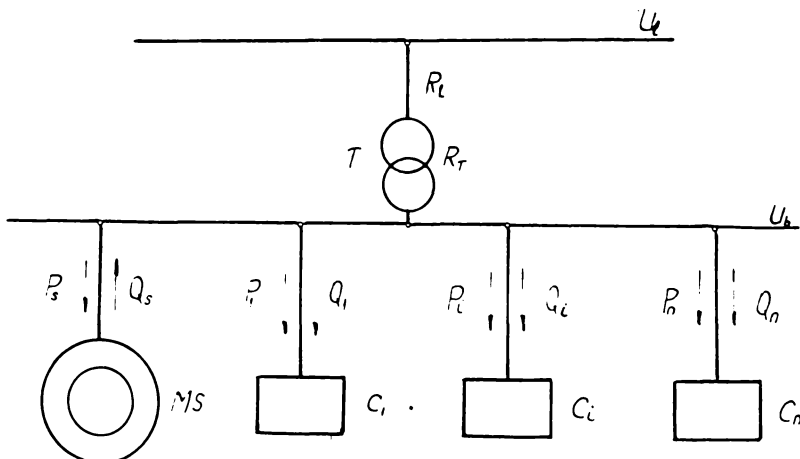


Fig.3.1. Schema electrică monofilară a stației de compresoare.

compresorului în funcțiune, iar prin $C_1, C_2, \dots, C_i, \dots, C_n$ s-au reprezentat ceilalți consumatori. Urmărirea în timp a funcționării unei asemenea stații a arătat că tensiunea la bare U_b se păstrează aproape constantă, variațiile de valoare mică fiind compensate prin prizele transformatorului T ; ca urmare, se poate admite ipoteza $U_b = \text{ct}$. Dacă se neglijă pierderile pe cablurile de alimentare ale motorului sincron și ale celorlalți consumatori,

atunci pierderile totale pe ansamblul stației pot fi puse sub formă:

$$P_t = \Delta P_{as} + \Delta P_{rs} + \sum \Delta P_i + P_{fer} + \Delta P_l \quad (3.1)$$

unde s-au notat:

ΔP_{as} : pierderile din motorul sincron datorate producării puterii active (s-au inclus și cele în fier);

ΔP_{rs} : pierderile în motorul sincron datorate producerii puterii reactive;

$\sum \Delta P_i$: pierderile în ceilalți consumatori, $C_1, \dots, C_i, \dots, C_n$;

P_{fer} : pierderile în fierul transformatorului

ΔP_l : pierderile pe linia de transport aferentă stației.

In relația (3.1) s-au neglijat pierderile pe cablurile de racord la barele stației ale motoarelor sincrone și ale celorlalți consumatori, față de linia de alimentare a stației, deoarece lungimea acestor cabluri este cu mult mai mică decât lungimea liniei de alimentare a stației.

Având în vedere relațiile (2.83) și (2.108), relația (3.1) se poate scrie:

$$P_t = \Delta P_{as} + \frac{A}{Q_N^2} Q_s^2 + \frac{B}{Q_N} Q_s + \sum \Delta P_i + P_{fer} + \frac{P^2}{U_b^2} R + \frac{Q^2}{U_b^2} R \quad (3.2)$$

în care:

A,B sunt parametri ai motorului sincron, determinați ca la punctul 2.4;

$P = \sum_i^n P_i + P_s$ - puterea activă transportată pe linie

$Q = \sum_i^n Q_i - Q_s$ - puterea reactivă transportată pe linie

R - rezistența echivalentă a liniei, determinată cu relația:

$$R = R_l + R_T \quad (3.3)$$

unde R_l este rezistența liniei, raportată la tensiunea la barele stației:

$$R_l = r_o \cdot l \left(\frac{U_b}{U_l} \right)^2, \quad (3.4)$$

r_o fiind rezistența specifică a liniei și l lungimea acesteia, iar

$$R_T = \frac{\Delta P_{sc} \cdot U_b^2}{S_N^2} \cdot 10^{-3} \quad (3.5)$$

este rezistența echivalentă a transformatorului [28], raportată

la tensiunea de la barele stației, ΔP_{sc} [kW] fiind pierderile în scurtcircuit ale transformatorului, S_N [MVA] este puterea aparentă nominală și U_b [kV] tensiunea la barele stației.

Separând din relația (3.2) pierderile care depind numai de puterea reactivă produsă de motorul sincron și de circulația puterii reactive totale pe linia de alimentare, și considerînd pierderile în fierul transformatorului constantă, atunci pierderile produse numai de puterea reactivă vor fi:

$$\Delta P_r = a Q_s^2 + b Q_s + \frac{(\sum Q_i - Q_s)^2}{U_b^2} R \quad (3.6)$$

unde:

$$a = \frac{A}{Q_s^2} ; \quad b = \frac{B}{Q_N} \quad (3.7)$$

adică pierderile produse depind numai de puterea reactivă produsă de motorul sincron Q_s . Derivînd și egalînd cu zero expresia (3.6) se obține:

$$\frac{d(\Delta P_r)}{dQ_s} = 2a Q_s + b - \frac{2R}{U_b^2} (\sum Q_i) + \frac{2R}{U_b^2} Q_s = 0 \quad (3.8)$$

Soluția ecuației (3.7), care minimizează expresia (3.6) este:

$$Q_{s \text{ opt}} = \frac{\sum Q_i - b \frac{U_b^2}{2R}}{1 + a \frac{U_b^2}{R}} \quad (3.9)$$

Relația (3.9), care dă valoarea puterii reactive optime a motorului sincron $Q_{s \text{ opt}}$, evidențiază clar că soluția compensării totale a puterii reactive a celorlalți consumatori (metodă care se aplică frecvent în exploatare) nu este cea optimă, deoarece egalitatea $Q_{s \text{ opt}} = \sum Q_i$ are loc numai în cazul teoretic cînd $R \rightarrow \infty$ (practic, linie de alimentare foarte lungă). Ori, în cazul liniilor de lungimi uzuale, rezultă $Q_{s \text{ opt}} < \sum Q_i$. Avînd în vedere că motorul sincron poate dezvolta o putere reactivă maximă, egală cu puterea reactivă nominală Q_{sN} , rezultă că puterea reactivă maximă care poate fi absorbită de ceilalți consumatori în condițiile respectării criteriului de optimizare propus este:

$$(\sum Q_i)_{\max} = Q_{sN} \left(1 + a \frac{U_b^2}{R} \right) + b \frac{U_b^2}{2R}, \quad (3.10)$$

adică mai mare decît Q_{sN} .

Deoarece motorul sincron nu poate funcționa în regim inductiv, rezultă că cea mai mică putere reactivă cerută de ceilalți consumatori, în condițiile respectării aceluiași criteriu

coresponde lui Q_s opt = 0 :

$$(\sum Q_i)_{\min} = b \frac{U_b^2}{2R} \quad (3.11)$$

Analizînd relaîiile (3.10) și (3.11) rezultă că atît limita inferioară cît și cea superioară a puterii reactive depind de parametrii liniei de transport și de cei ai motorului sincron.

Metoda propusă a fost aplicată. Într-o staîie de compresoare [139] a cărei schemă monofilară este prezentată în figura 3.2. În staîie sînt montate două compresoare, dintre care

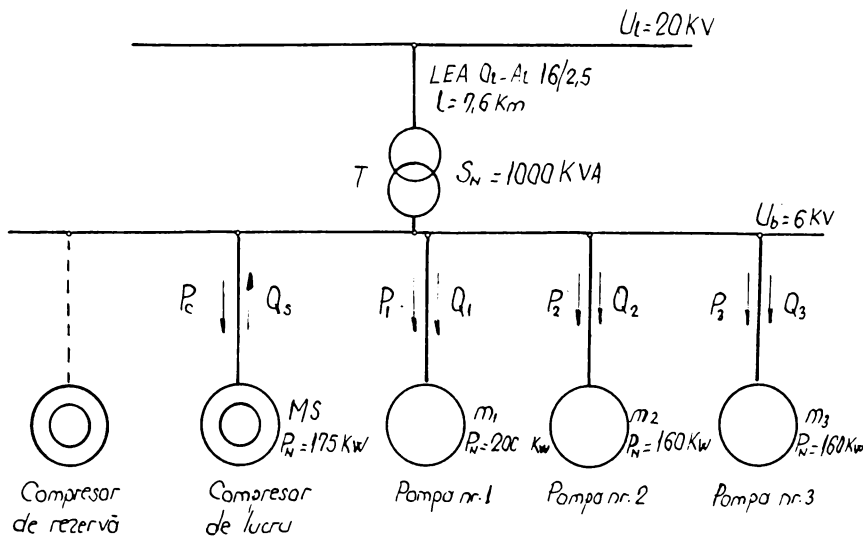


Fig.3.2. Schema electrică a staîiei de compresoare.

unul de rezervă; acesta nu s-a luat în considerare. Pe lîngă cele două compresoare, de la aceleasi bare sînt alimentate și motoarele asincrone de acîzionare ale unor pompe. Staîia este alimentată din sistemul energetic naîonal printr-o linie electrică aeriană LEA și un transformator T.

Datele nominale și cele determinate prin măsurători ale motoarelor și transformatorului sînt:

Compresor de lucru

Motor sincron tip. MS 650/321 - 8

Date de catalog

$P_N = 175 \text{ kW}$

$U_N = 6000 \text{ V}$

$I_N = 18,75 \text{ A}$

Date măsurate

$P_c = 174 \text{ kW}$

$R_1 = 3,09 \Omega \text{ (la cald)}$

$R_e = 0,293 \Omega \text{ (la cald)}$

$$\cos \varphi_N = 0,9 \text{ cap}$$

$$S_N = 195 \text{ kVA}$$

$$n_N = 750 \text{ rot/min}$$

$$U_{eN} = 42 \text{ V}$$

$$I_{eN} = 143 \text{ A}$$

$$x_d = 0,789 \text{ u.r.}$$

$$Q_N = 86 \text{ kVAr}$$

Pompa nr.1

Motor asincron tip MIB 2 x 400 V 100 - 4

Date de catalog

$$P_N = 200 \text{ kW}$$

$$U_N = 6000 \text{ V}$$

$$I_N = 24,5 \text{ A}$$

$$\cos \varphi_N = 0,87$$

Date măsurate

$$P_1 = 195 \text{ kW}$$

$$Q_1 = 120 \text{ kVAr}$$

Pompa nr.2 și nr.3

Motor asincron tip MIB 2 x 400 V 100 - 4

Date de catalog

$$P_N = 160 \text{ kW}$$

$$U_N = 6000 \text{ V}$$

$$I_N = 20 \text{ A}$$

$$\cos \varphi_N = 0,86$$

Date măsurate

$$P_2 = 152 \text{ kW}$$

$$Q_2 = 102 \text{ kVAr}$$

$$P_3 = 154 \text{ kW}$$

$$Q_3 = 100 \text{ kVAr}$$

Pe baza acestor date se determină:

- Pierderile nominale în infăşurarea statorului

$$P_{sN} = 3 \cdot I_N^2 \cdot R_1 \cdot 10^{-3} = 3,258 \text{ kW}$$

- Pierderile nominale în infăşurarea de excitație:

$$P_{eN} = U_{eN} \cdot I_{eN} \cdot 10^{-3} = 6 \text{ kW}$$

In continuare se determină parametrii A și B ai motorului sincron. Pentru a vedea influența sarcinii active a motorului și supra valorii acestor parametri, calculele se efectuează pentru trei valori ale încărcării: 50%, 75% și 100% din sarcina activă nominală ($\beta = 0,5$; $\beta = 0,75$ și $\beta = 1$). Utilizând relațiile (2.106), (2.107); (2.109) și (2.110) se obține:

a) $\beta = \frac{P}{P_N} = 0,5$

$$k_{el} = \sqrt{\frac{1+\beta^2 x_d^2 \cos^2 \gamma_N}{1+x_d^2 + 2x_d \sin \gamma_N}} = \sqrt{\frac{1+0,5 \cdot 0,789^2 \cdot 0,9^2}{1+0,789^2 + 2 \cdot 0,789 \cdot 0,435}} = 0,698$$

$$\alpha' = \frac{\sqrt{1+2 \cdot x_d \cdot \sin \gamma_N + x_d^2 (1-\beta^2 \cos^2 \gamma_N)} - 1}{x_d \cdot \sin \gamma_N}$$

$$= \frac{\sqrt{1+2 \cdot 0,789 \cdot 0,435 + 0,789^2 (1-0,5^2 \cdot 0,9^2)}}{0,789 \cdot 0,435} = 1,39$$

$$A = P_{SN} \sin^2 \gamma_N + \left(\frac{1-k_{el}}{\alpha'}\right)^2 P_{eN} = 3,258 \cdot 0,435^2 + \left(\frac{1-0,698}{1,39}\right)^2 \cdot 6 = 0,899 \text{ kW}$$

$$B = \frac{2 \cdot P_{eN} \cdot k_{el} (1-k_{el})}{\alpha'} = \frac{2 \cdot 0,698 (1-0,698)}{1,39} = 1,819 \text{ kW}$$

$$\text{b) } \beta = \frac{P}{P_N} = 0,75$$

$$k_{el} = \sqrt{\frac{1+\beta^2 x_d^2 \cos^2 \gamma_N}{1+x_d^2 + 2x_d \sin \gamma_N}} = \sqrt{\frac{1+0,75^2 \cdot 0,789^2 \cdot 0,9^2}{1+0,789^2 + 2 \cdot 0,789 \cdot 0,435}} = 0,745$$

$$\alpha' = \frac{\sqrt{1+2 \cdot x_d \cdot \sin \gamma_N + x_d^2 (1-\beta^2 \cos^2 \gamma_N)} - 1}{x_d \cdot \sin \gamma_N}$$

$$= \frac{\sqrt{1+2 \cdot 0,789 \cdot 0,435 + 0,789 (1-0,75^2 \cdot 0,9^2)} - 1}{0,789 \cdot 0,435} = 1,213$$

$$A = P_{SN} \sin^2 \gamma_N + \left(\frac{1-k_{el}}{\alpha'}\right)^2 P_{eN} = 3,258 \cdot 0,435^2 + \left(\frac{1-0,745}{1,213}\right)^2 \cdot 6 = 0,881 \text{ kW}$$

$$B = \frac{2 \cdot P_{eN} \cdot k_{el} (1-k_{el})}{\alpha'} = \frac{2 \cdot 0,745 (1-0,745)}{1,213} = 1,879 \text{ kW}$$

$$\text{c) } \beta = \frac{P}{P_N} = 1 \text{ (sarcină nominală)}$$

$$k_{el} = \sqrt{\frac{1+\beta^2 x_d^2 \cos^2 \gamma_N}{1+x_d^2 + 2x_d \sin \gamma_N}} = \sqrt{\frac{1+0,789^2 \cdot 0,9^2}{1+0,789^2 + 2 \cdot 0,789 \cdot 0,435}} = 0,807$$

$$\alpha' = \frac{\sqrt{1+2 \cdot x_d \sin \gamma_N + x_d^2 (1-\beta^2 \cos^2 \gamma_N)} - 1}{x_d \cdot \sin \gamma_N}$$

$$= \frac{\sqrt{1+2 \cdot 0,789 \cdot 0,435 + 0,789^2 (1-0,9^2)} - 1}{0,789 \cdot 0,435} = 1$$

$$A = P_{eN} \sin^2 \gamma_N + \left(\frac{1-k_{el}}{\alpha'} \right)^2 P_{eN} = 3,258 \cdot 0,435^2 + \left(\frac{1-0,807}{1} \right)^2 \cdot 6 = \\ = 0,84 \text{ kW}$$

$$B = \frac{2 P_{eN} k_{el} (1 - k_{el})}{\alpha'} = \frac{2 \cdot 6 \cdot 0,807 (1-0,807)}{1} = 1,87 \text{ kW}$$

Valorile determinate mai sus pentru parametrii A și B ai motorului sincron arată că aceștia depind în mică măsură de sarcina motorului. Ca urmare, în calculele următoare se vor considera valorile A = 0,84 kW și B = 1,87 kW, care corespund sarcinii nominale a motorului sincron, deoarece sarcina reală a motorului este foarte apropiată de cea nominală.

Cu aceste valori, din relațiile (3.7) rezultă parametrii a și b ai motorului sincron:

$$a = \frac{A}{Q_N^2} = \frac{0,84}{84,76^2} = 1,17 \cdot 10^{-4} \text{ kW/kVAr}^2$$

$$b = \frac{B}{Q_N} = \frac{1,87}{84,76} = 2,2 \cdot 10^{-2} \text{ kW/kVAr}$$

Rezistența liniei de alimentare, conform relației (3.4) este:

$$R_l = r_0 l \left(\frac{U_b}{U_i} \right)^2 = 1,88 \cdot 7,6 \cdot \left(\frac{6}{20} \right)^2 = 1,286 \Omega$$

Rezistența echivalentă a transformatorului, conform relației (3.5) este:

$$R_T = \frac{\Delta P_{sc} \cdot U_b^2}{S_N^2} \cdot 10^{-3} = \frac{12,6 \cdot 6^2}{1^2} \cdot 10^{-3} = 0,432 \Omega$$

Rezistența echivalentă a rețelei de alimentare este:

$$R = R_l + R_T = 1,286 + 0,432 = 1,718 \Omega$$

Puterea reactivă absorbită de motoarele asincrone ale pompelor este:

$$\sum Q_1 = Q_1 + Q_2 + Q_3 = 120 + 102 + 100 = 322 \text{ kVAr}$$

Puterea reactivă optimă a motorului sincron rezultă din relația (3.9):

$$Q_{s \text{ opt}} = \frac{\sum Q_i - b \frac{U_b^2}{2R}}{1 + a \frac{U_b^2}{R}} = \frac{322 \cdot 10^3 - 2,2 \cdot 10^{-2} \frac{6000^2}{2 \cdot 1,718} \cdot 10^{-3}}{1 + 1,17 \cdot 10^{-4} \cdot 10^{-3} \frac{6000^2}{1,718}} = 26,514 \text{ kVAr},$$

valoare care este mult mai mică decât $\sum Q_i$. Aceasta se explică prin valoarea relativ redusă a rezistenței echivalente R a liniei de alimentare. Se observă că, cu cât crește R, adică lungimea liniei, cu atât va fi mai mare puterea reactivă pe care va trebui să o asigure, la regim optim, motorul sincron, deoarece, prin creșterea lungimii liniei, cresc pierderile pe aceasta, devenind mai mari decât pierderile suplimentare din motorul sincron, datorate producerii de putere reactivă. Rezultă deci că această metodă este aplicabilă în cazul stațiilor alimentate prin linii lungi.

Valoarea obținută pentru $Q_s \text{ opt}$ se încadrează în domeniul de putere reactivă care poate fi furnizată de motorul sincron, și ca urmare, având în vedere că $\beta = P_c/P_N = 174/175 \approx 1$, curentul de excitație $I_{e \text{ opt}}$ corespunzător lui $Q_s \text{ opt}$ rezultă din relațiile (2.105) și (2.106):

$$\alpha_{\text{opt}} = \frac{Q_s \text{ opt}}{Q_N} = \frac{26,514}{84,76} = 0,313$$

$$k_{e \text{ opt}} = k_{el} + (1 - k_{el}) \frac{\alpha_{\text{opt}}}{\alpha'} = 0,807 + (1 - 0,807) \frac{0,313}{1} = 0,867$$

$$I_{e \text{ opt}} = k_{e \text{ opt}} \cdot I_{eN} = 0,867 \cdot 143 = 123,9 \text{ A}$$

Pentru a avea posibilitatea de apreciere a eficienței metodei propuse, în tabelul 3.1 sunt arătate pierderile în sistem care depind de puterea reactivă, determinate conform relației (3.6), notîndu-se cele trei componente ale pierderilor:

$$\Delta P_1 = a \cdot Q_s^2$$

$$\Delta P_2 = b \cdot Q_s$$

$$\Delta P_3 = \frac{(\sum Q_i - Q_s)^2}{U_b^2} R , \quad (3.12)$$

iar cu δp s-au notat pierderile suplimentare față de regimul optim:

$$\delta p = \Delta P - \Delta P_{\text{opt}} \quad (3.13)$$

Din tabelul 3.1 rezultă că pentru regimul de funcționare al motorului sincron la $Q_s \text{ opt}$ determinat ca mai sus, factorul de putere la barele stației este $\cos \varphi = 0,916$, valoare care nu convine, fiind mai mică decât factorul de putere neutral $\cos \varphi_n = 0,92$. Ca urmare, se stabilește pentru motorul

Tabelul 3.1

Q_s [kVAr]	ΔP_4 [kW]	ΔP_2 [kW]	ΔP_3 [kW]	ΔP [kW]	\hat{P} [kW]	$\cos \varphi$
0	0	0	4,947	4,947	0,119	0,902
10	0,0117	0,22	4,645	4,876	0,048	0,907
20	0,0468	0,44	4,352	4,838	0,01	0,913
26,514	0,0822	0,58	4,166	4,828	0	0,916
30	0,105	0,66	4,068	4,833	0,005	0,918
34,452	0,138	0,758	3,945	4,841	0,013	0,92
50	0,292	1,1	3,53	4,922	0,094	0,927
70	0,573	1,54	3,03	5,143	0,315	0,936
84,76	0,84	1,864	2,686	5,39	0,562	0,944

sincron puterea reactivă $Q_s^{\text{opt}} = 34,452 \text{ kVAr}$, care asigură la barele stației factorul de putere neutral. În aceste condiții, reducerea de pierderi pe ansamblul stației, față de situația inițială cînd motorul sincron a funcționat la curent de excitație nominal ($Q_{sN} = 84,76 \text{ kVAr}$), este:

$$\hat{P}_r = \hat{P}_N - \hat{P}' = 0,562 - 0,013 = 0,549 \text{ kW}$$

Avînd în vedere timpul de funcționare al stației $T_f = 5000 \text{ ore/an}$, economia de energie este:

$$W = T_f \cdot \hat{P}_r = 5000 \cdot 0,549 = 2745 \text{ kWh}$$

ceea ce înseamnă o reducere a consumului de energie electrică pe ansamblul stației de circa 1%.

Metoda de determinare a puterii reactive optime a motorului sincron propusă mai sus este simplă și poate fi aplicată atunci cînd funcționarea utilajelor alimentate de la barele stației are loc la sarcină constantă, astfel ca și puterile reactive corespunzătoare să fie constante. În caz contrar, problema se poate rezolva cu un sistem de reglare automată a excitației, sistem care va fi prezentat într-un alt capitol.

De multe ori în practică utilizatorului îi lipsesc datele necesare pentru calculul parametrilor A și B ai motorului sincron. În asemenea situații propun determinarea acestora pe cale experimentală. Pentru motorul sincron în cauză se determină prin măsurători:

- rezistența de fază a statorului (la cald): R_1
- rezistența infășurării de excitație (la cald): R_e

- la sarcină constantă a motorului sincron, apropiată de cea nominală, se determină caracteristicile: $Q=f(I_e)$, $I_1=f(I_e)$ în domeniul $I_{eo} < I_e < I_{eN}$. Pe baza rezultatelor măsurătorilor se calculează:

- pierderile în stator și excitație corespunzătoare la $Q = 0$:

$$P_o = I_{eo}^2 R_e + 3 I_{lo}^2 R_l \quad (3.14)$$

- pierderile în stator și excitație corespunzătoare producerii de către motorul sincron a puterilor reactive $Q_1 < Q_N$ și $Q_1 < Q_2 < Q_N$ (cărora le corespund curentii de excitație I_{el} și respectiv I_{e2}).

$$P_1 = I_{el}^2 R_e + 3 I_{l1}^2 R_l \quad (3.15)$$

$$P_2 = I_{e2}^2 R_e + 3 I_{l2}^2 R_l$$

- creșterile de pierderi corespunzătoare producerii de către motorul sincron a puterilor reactive Q_1 și Q_2 :

$$\Delta P_1 = P_1 - P_o$$

$$\Delta P_2 = P_2 - P_o$$

Se formează sistemul de ecuații:

$$\left. \begin{aligned} \Delta P_1 &= A \left(\frac{Q_1}{Q_N} \right)^2 + B \frac{Q_1}{Q_N} \\ \Delta P_2 &= A \left(\frac{Q_2}{Q_N} \right)^2 + B \frac{Q_2}{Q_N} \end{aligned} \right\}, \quad (3.16)$$

prin a cărui rezolvare se obțin A și B.

Pentru motorul sincron tip MS 650/321-8, din stația de compresoare analizată mai înainte s-au obținut $R_e = 0,293 \Omega$ și $R_l = 3,09 \Omega$, iar în tabelul 3.2 sunt trecute rezultatele măsurătorilor și ale calculelor celorlalte mărimi. În figura 3.3 sunt reprezentate grafic caracteristicile $Q=f(I_e)$ și $I_1=f(I_e)$. Măsurătorile s-au făcut la $P=174$ kW. Pentru valorile curentului de excitație $I_{el} = 120$ A și $I_{e2} = 129,2$ A, cu valorile corespunzătoare ale puterii reactive produse $Q_1 = 15,2$ kVAr și $Q_2 = 43$ kVAr se formează sistemul de ecuații (3.16):

$$\left. \begin{aligned} 0,361 &= A \left(\frac{15,2}{86} \right)^2 + B \frac{15,2}{86} \\ 1,164 &= A \left(\frac{43}{86} \right)^2 + B \frac{43}{86} \end{aligned} \right\}$$

Tabelul 3.2

I_e [A]	I_1 [A]	Q [kVAr]	P_e [kW]	P_s [kW]	ΔP [kW]	Obs.
143	18,75	84,76	5,971	3,564	2,824	$Q = Q_N$ $I_e = I_{eN}$
139	18,00	72,75	5,641	3,285	2,215	
129,2	17,20	43,00	4,875	3,000	1,164	$I_e = I_{e2}$
125	16,96	31,00	4,562	2,916	0,767	
120	16,80	15,20	4,207	2,865	0,361	$I_e = I_{el}$
115,3	16,70	0	3,883	2,828	0	$I_e = I_{eo}$

Rezolvînd sistemul, se obțin $A = 0,842$ kW și $B = 1,9$ kW, valori foarte apropiate de cele obținute din relațiile (2.109) și (2.110) ($A=0,84$ kW, $B=1,87$ kW).

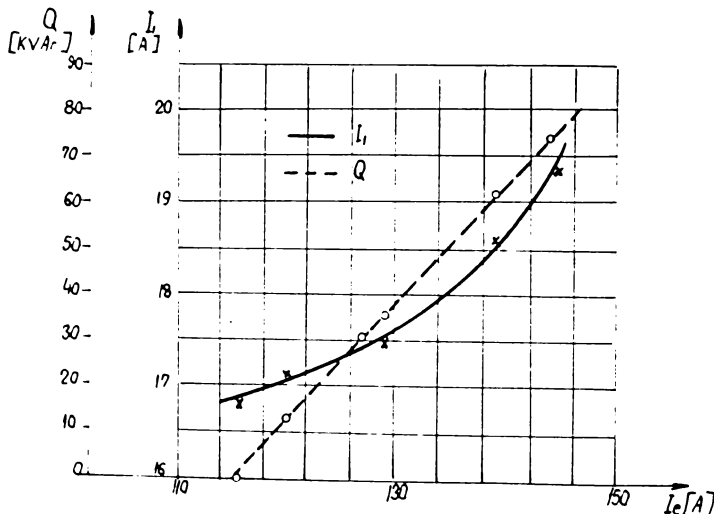


Fig.3.3. Caracteristicile $Q = f(I_e)$ și $I_1 = f(I_e)$ ale motorului sincron tip MS 650/321 - 8.

3.2. Repartitia optimă a puterii reactive între motoarele sincrone

In paragraful anterior s-a considerat în funcțiune un singur motor sincron și s-au minimizat pierderile pe ansamblul stației, inclusiv linia de alimentare a acesteia. În practică însă, cel mai frecvent se întâlnesc stații de compresoare în care funcționează simultan două sau mai multe motoare sincrone, care se alimentează de la aceleași bare cu alți consumatori [136,139]. Într-un astfel de caz, motoarele sincrone produc putere reactivă care acoperă consumul de putere reactivă al celorlalți consumatori, și deci pe linia de alimentare a stației pierderile vor fi minime.

Schela de principiu a unei astfel de stații de compresoare la care ne vom referi în continuare este cea din figura 3.4. De la barele stației se alimentează consumatorii $C_1, C_2, \dots, C_j, \dots, C_m$, care consumă puterile reactive $Q_{c1}, Q_{c2}, \dots, Q_{cj}, \dots, Q_{cm}$. De la aceleași bare se alimentează și motoarele sin-

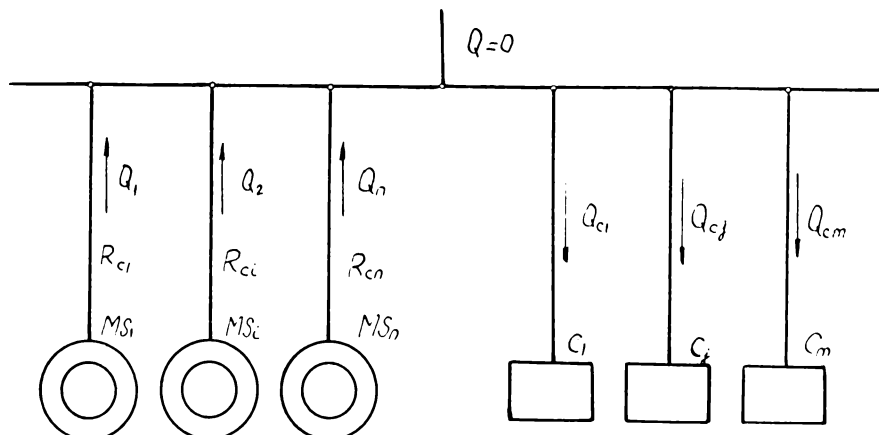


Fig.3.4. Schema de principiu a stației de compresoare.

crone de acționare a compresoarelor pentru aer MS₁, MS₂, ..., MS₁, ..., MS_n, care produc puterile reactive Q₁, Q₂, ..., Q₁, ..., Q_n. Considerind că motoarele sincrone acoperă necesarul de putere reactivă a celorlalți consumatori, adică este valabilă relația:

$$\sum_{i=1}^n Q_i = \sum_{j=1}^m Q_j = Q_t \quad (3.17)$$

pierderile de energie pe linia de alimentare vor fi minime, deoarece puterea reactivă transportată pe linie este nulă. În aceste condiții, linia de alimentare a stației nu se mai ia în considerare. Ca urmare, pe baza criteriului de optimizare enunțat anterior, problema de optimizare primește în acest caz următorul aspect: în condițiile respectării egalității (3.17), să se determine acele valori ale puterilor produse de motoarele sincrone $Q_1 \text{ opt}, Q_2 \text{ opt}, \dots, Q_i \text{ opt}, \dots, Q_n \text{ opt}$, care minimizează pierderile pe ansamblul stației.

Dacă motoarele sincrone sunt alimentate prin cabluri de lungime însemnată, atunci pierderile pe cablul de alimentare al motorului, datorate transportului puterii reactive produse Q_i vor fi:

$$P_{rci} = \frac{Q_i^2 R_{ci}}{U_b^2} \quad (3.18)$$

unde R_{ci} este rezistența cablului.

Având în vedere și relația (2.108), pierderile în motorul sincron și cablul său aferent, datorate producerii și transportului puterii reactive Q_i vor fi:

$$\begin{aligned} P_{ri} &= A_i \left(\frac{Q_i}{Q_{Ni}} \right)^2 + B_i \frac{Q_i}{Q_{Ni}} + \frac{Q_i^2 R_{ci}}{U_b^2} = \\ &= Q_i^2 \left(\frac{A_i}{Q_{Ni}^2} + \frac{R_{ci}}{U_b^2} \right) + Q_i \frac{B_i}{Q_{Ni}} \end{aligned} \quad (3.19)$$

Pe ansamblul stației de compresoare, pierderile totale care depind de producerea de către motoarele sincrone a puterii reactive și transportul acestora pînă la barele stației vor fi:

$$P_{tr} = \sum_{i=1}^n \left[Q_i^2 \left(\frac{A_i}{Q_{Ni}^2} + \frac{R_{ci}}{U_b^2} \right) + Q_i \frac{B_i}{Q_{Ni}} \right]. \quad (3.20)$$

Pentru a determina sirul de valori $Q_1 \text{ opt}, Q_2 \text{ opt}, \dots, Q_i \text{ opt}, \dots, Q_n \text{ opt}$ care minimizează expresia (3.19), cu respectarea condiției (3.17), se va utiliza metoda extremului condiționat, bazată pe multiplicatorii lui Lagrange [134]. Astfel, pentru găsirea extremului unei funcții de n variabile $f(x, y, z, \dots)$,

atunci cînd variabilele sînt legate între ele prin k condiții ($k < n$) de forma:

$$\Upsilon_1(x, y, z, \dots) = 0; \quad \Upsilon_2(x, y, z, \dots) = 0, \dots \quad \Upsilon_k(x, y, z, \dots) = 0,$$

se introduce funcția:

$$F(x, y, z \dots) = f(x, y, z \dots) + \lambda_1 \varphi_1(x, y, z, \dots) + \lambda_2 \varphi_2(x, y, z \dots) + \dots + \lambda_k \varphi_k(x, y, z, \dots),$$

unde $\lambda_1, \lambda_2, \dots, \lambda_k$ sunt constante (multiplicatorii lui Lagrange).

Condițiile necesare ale extremității condiționat rezultă din rezolvarea sistemului (3,21) de $(n+k)$ -ecuații și $(n+k)$ necunoscute $(x, y, z, \dots, \lambda_1, \lambda_2, \dots, \lambda_k)$:

$$\left. \begin{array}{l} \varphi_1 = 0; \varphi_2 = 0, \dots \varphi_k = 0 \\ \frac{\partial F}{\partial x} = 0; \frac{\partial F}{\partial y} = 0; \frac{\partial F}{\partial z} = 0, \dots \end{array} \right\} \quad (3.21)$$

Pentru problema considerată, $f(x,y,z,\dots)$ fiind (3.20), avem:

$$\Upsilon(Q_1, Q_2, \dots, Q_i, \dots, Q_n) = Q_1 + Q_2 + \dots + Q_i + \dots + Q_n - Q_t = 0 \quad (3.22)$$

$$F(Q_1, Q_2, \dots, Q_i, \dots, Q_n, \lambda) = \sum_{i=1}^n \left[Q_i^2 \left(\frac{A_i}{Q_{Ni}^2} + \frac{R_{ci}}{U_b^2} \right) + Q_i \frac{B_i}{Q_{Ni}} \right] + \lambda \left(\sum_{i=1}^n Q_i - Q_t \right) \quad (3.23)$$

Conform cu relațiile (3.21), din relațiile (3.22) și (3.23) se obține sistemul de ecuații:

Sistemul de ecuații (3.24) conține $n+1$ necunoscute. Eliminând între primele n ecuații pe λ , și păstrând ultima ecuație, se obține sistemul:

$$\left. \begin{aligned} 2Q_1 \left(\frac{A_1}{Q_{N1}^2} + \frac{R_{c1}}{U_b^2} \right) + \frac{B_1}{Q_{N1}} &= 2Q_2 \left(\frac{A_2}{Q_{N2}^2} + \frac{R_{c2}}{U_b^2} \right) + \frac{B_2}{Q_{N2}} \\ 2Q_2 \left(\frac{A_2}{Q_{N2}^2} + \frac{R_{c2}}{U_b^2} \right) + \frac{B_2}{Q_{N2}} &= 2Q_3 \left(\frac{A_3}{Q_{N3}^2} + \frac{R_{c3}}{U_b^2} \right) + \frac{B_3}{Q_{N3}} \\ \dots &\dots \\ 2Q_{i-1} \left(\frac{A_{i-1}}{Q_{Ni-1}^2} + \frac{R_{ci-1}}{U_b^2} \right) + \frac{B_{i-1}}{Q_{Ni-1}} &= 2Q_i \left(\frac{A_i}{Q_{Ni}^2} + \frac{R_{ci}}{U_b^2} \right) + \frac{B_i}{Q_{Ni}} \\ \dots &\dots \\ 2Q_{n-1} \left(\frac{A_{n-1}}{Q_{Nn-1}^2} + \frac{R_{cn-1}}{U_b^2} \right) + \frac{B_{n-1}}{Q_{Nn-1}} &= 2Q_n \left(\frac{A_n}{Q_{Nn}^2} + \frac{R_{cn}}{U_b^2} \right) + \frac{B_n}{Q_{Nn}} \\ Q_1 + Q_2 + \dots + Q_i + \dots + Q_n - Q_t &= 0 \end{aligned} \right\} \quad (3.25)$$

Rezolvând sistemul de ecuații (3.25), se obțin expresiile puterilor reacțive optime pe care trebuie să le asigure cele n motoare sincrone:

$$\begin{aligned} Q_t &= \left(\frac{b_1 - b_2}{a_2} + \frac{b_1 - b_3}{a_3} + \dots + \frac{b_1 - b_n}{a_n} \right) \\ Q_{1 \text{ opt}} &= \frac{1}{1 + \frac{a_1}{a_2} + \frac{a_1}{a_3} + \dots + \frac{a_1}{a_n}} \\ Q_{2 \text{ opt}} &= \frac{a_1 Q_{1 \text{ opt}} + b_1 - b_2}{a_2} \quad (3.26) \\ Q_{3 \text{ opt}} &= \frac{a_1 Q_{1 \text{ opt}} + b_1 - b_3}{a_3} \\ \dots &\dots \\ Q_{i \text{ opt}} &= \frac{a_1 Q_{1 \text{ opt}} + b_1 - b_i}{a_i} \\ \dots &\dots \\ Q_{n \text{ opt}} &= \frac{a_1 Q_{1 \text{ opt}} + b_1 - b_n}{a_n} \end{aligned}$$

unde s-au folosit notațiile:

$$a_i = 2 \left(\frac{A_i}{Q_{Ni}^2} + \frac{R_{ci}}{U_b^2} \right) ; \quad b_i = \frac{B_i}{Q_{Ni}} \quad (3.27)$$

La deducerea relațiilor (3.26), care dă repartiția optimă a puterii reactive între cele n motoare sincrone care participă la compensare, în condițiile respectării criteriului enunțat, nu s-au avut în vedere limitările impuse valorii puterii reactive produse de către motorul sincron. Ori, din motive de încălzire, puterea reactivă a motorului sincron nu poate fi mai mare decât cea nominală. Deasemenea, din motive de stabilitate, nu se recomandă funcționarea motorului în regim inductiv. Deci, puterea reactivă produsă de motorul sincron trebuie să se încadreze în domeniul:

$$0 \leq Q_i \leq Q_{Nk}$$

Că urmare, dacă pentru unul din motoarele sincrone, MS_k , rezultă pe baza relațiilor (3.26) $Q_k \text{ opt} > Q_{Nk}$, urmează ca acestui motor să î se repartizeze o putere reactivă egală cu cea nominală a sa, $Q_k \text{ opt} = Q_{Nk}$. În continuare, diferența de putere reactivă $Q_t - Q_{Nk}$ se va repartiza, pe baza acelorași relații (3.26), celorlalte $(n-1)$ motoare sincrone, procedindu-se astfel pînă la capăt.

Dacă, dimpotrivă, pentru unul din motoarele sincrone rezultă $Q_k \text{ opt} < 0$, acest motor nu va participa la compensare, el urmînd să funcționeze cu $Q_k \text{ opt} = 0$. Puterea reactivă totală Q_t va fi distribuită în acest caz celorlalte $(n-1)$ motoare, procedînd analog ca mai sus.

Metoda propusă de repartiție optimă a puterii reactive între motoarele sincrone a fost aplicată într-o stație de compresoare pentru aer și pompe, la o întreprindere minieră [139]. Schema monofilară de alimentare a consumatorilor racordați la barele stației, aflați în funcțiune, este reprezentată în figura 3.5.

Deoarece motoarele sincrone utilizate pentru acționarea compresoarelor pentru aer din stație au fost motoare construite pentru a funcționa la $\cos \varphi = 1$, care însă în exploatare erau utilizate curent pentru producerea puterii reactive, s-a determinat, pentru fiecare motor sincron în parte, puterea reactivă maximă pe care o poate produce, fără ca încălzirea să depășească valoarea admisă pentru clasa sa de izolație. Determinarea încălzirii s-a făcut măsurînd rezistențele înfășurărilor, la rece și la cald. Astfel, pentru motorul sincron MSID - 200, rezistența de fază la temperatură ambientă

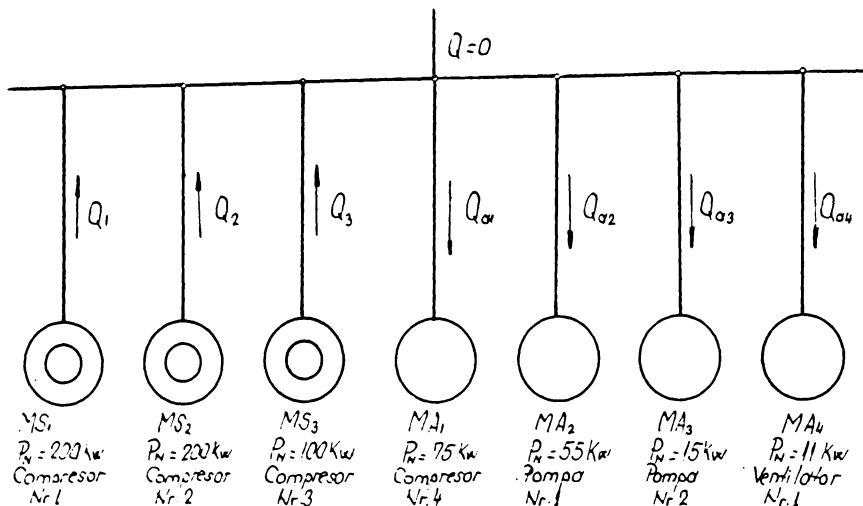


Fig.3.5. Schema de alimentare monofilară a consumatorilor din stația de compresoare.

($\theta_a = 15^\circ\text{C}$), măsurată cu puntea Thomson, a fost $R_{15} = 0,0166 \Omega$. După funcționarea îndelungată a motorului la $P_1 = 195,2 \text{ kW}$ și $\cos \varphi = 1$, s-a măsurat din nou rezistență de fază, imediat după oprirea motorului, găsindu-se $R_1 = 0,02 \Omega$. Temperatura θ_1 a înfășurării motorului a fost determinată din relația [31] :

$$R = R_{15} [1 + 0,004 (\theta_1 - 15)]$$

găsindu-se $\theta_1 = 79^\circ\text{C}$. Având în vedere că motorul este executat în clasa de izolație E conform STAS 6247-60, pentru care temperatura maximă admisă este $\theta_{max} = 120^\circ\text{C}$, cu aceeași relație s-a determinat valoarea rezistenței de fază R_{max} corespunzătoare lui θ_{max} , găsindu-se valoarea $R_{max} = 0,023 \Omega$. Ca urmare, încărcarea cu putere reactivă a motorului sincron s-a făcut pînă la o valoare la care, după funcționare îndelungată, rezistența de fază R_f măsurată a fost $R_f < R_{max}$. Valorile astfel determinate pentru curentul de excitație, curentul statoric și puterea reactivă sunt considerate în cele de mai jos ca date nominale, și trecute la rubrica "mărimi măsurate". Toate datele motoarelor de acționare sunt trecute mai jos, în stînga datele nominale, de catalog iar în dreapta cele măsurate, unde s-au notat cu R_f rezistența de fază și cu R_e rezistența înfășurării de excitație.

Compresor nr.1

Tip: 2V-30

Motor sincron tip MSI-D-200

Date de catalog

$$P_N = 200 \text{ kW}$$

$$I_N = 335 \text{ A}$$

$$\cos \gamma_N = 1$$

$$U_{eN} = 42 \text{ V}$$

$$I_{eN} = 137 \text{ A}$$

$$U_N = 380 \text{ V}$$

Conexiune Y

Date măsurate

$$P_1 = 196,8 \text{ kW}$$

$$I_{1N} = 372,2 \text{ A}$$

$$\cos \gamma_{1N} = 0,902 \text{ cap.}$$

$$U_{e1N} = 52 \text{ V}$$

$$I_{e1N} = 183 \text{ A}$$

$$Q_{1N} = 106,78 \text{ kVAr}$$

$$R_{f1} = 0,0228 \Omega$$

$$R_{e1} = 0,283 \Omega$$

Cablu de alimentare:

$$3 \times 185 \text{ mm}^2, l_{c1} = 18 \text{ m}$$

$$R_{c1} = 1,746 \cdot 10^{-3} \Omega$$

Compresor nr.2

Tip: 2V-30

Motor sincron tip MSI-D-200

Date de catalog

$$P_N = 200 \text{ kW}$$

$$I_N = 335 \text{ A}$$

$$\cos \gamma_N = 1$$

$$U_{eN} = 42 \text{ V}$$

$$I_{eN} = 137 \text{ A}$$

$$U_N = 380 \text{ V}$$

Conexiune Y

Date măsurate

$$P_2 = 195,2 \text{ kW}$$

$$I_{2N} = 369 \text{ kW}$$

$$\cos \gamma_{2N} = 0,908 \text{ cap.}$$

$$U_{e2N} = 51 \text{ V}$$

$$I_{e2N} = 182 \text{ A}$$

$$Q_{2N} = 101,54 \text{ kVAr}$$

$$R_{f2} = 0,0219 \Omega$$

$$R_{e2} = 0,28 \Omega$$

Cablu de alimentare:

$$3 \times 185 \text{ mm}^2, l_{c2} = 14 \text{ m}$$

$$R_{c2} = 1,358 \cdot 10^{-3} \Omega$$

Compresor nr.3

Tip: 1V-15

Motor sincron tip MSI-D-100

Date de catalog

$$P_N = 100 \text{ kW}$$

$$I_N = 173 \text{ A}$$

$$U_{eN} = 27 \text{ V}$$

Date măsurate

$$P_3 = 99,8 \text{ kW}$$

$$I_{3N} = 192,2 \text{ A}$$

$$\cos \gamma_{3N} = 0,9 \text{ cap.}$$

$I_{eN} = 144 \text{ A}$

$U_N = 380 \text{ V}$

Coneksiune Y

$U_{e3N} = 33 \text{ V}$

$I_{e3N} = 195 \text{ A}$

$Q_{3N} = 55,13 \text{ kVAr}$

$R_{f3} = 0,0508 \Omega$

$R_{e3} = 0,1685 \Omega$

Cablu de alimentare:

$3 \times 70 \text{ mm}^2, l_{c3} = 12 \text{ m}$

$R_{c3} = 3,0 \cdot 72 \cdot 10^{-3} \Omega$

Compresor nr.4

Tip: EC-lo

Motor asincron tip AFI 280 M 75-4

Date de catalog

$P_N = 75 \text{ kW}$

$I_N = 143 \text{ A}$

$\cos \varphi_N = 0,86$

$U_N = 380 \text{ V}$

Date măsurate

$P_4 = 68 \text{ kW}$

$I_4 = 125 \text{ A}$

$Q_{al} = 46,3 \text{ kVAr}$

Pompa nr.1

Tip: JIUL

Motor asincron tip ASI 250 M 65-4

Date de catalog

$P_N = 55 \text{ kW}$

$I_N = 106 \text{ A}$

$\cos \varphi_N = 0,87$

$U_N = 380 \text{ V}$

Date măsurate

$P_5 = 43,2 \text{ kW}$

$I_5 = 80 \text{ A}$

$Q_{a2} = 30,1 \text{ kVAr}$

Pompa nr.2

Tip: JIUL

Motor asincron tip 180 L-48-4

Date de catalog

$P_N = 15 \text{ kW}$

$I_N = 30,68 \text{ A}$

$\cos \varphi_N = 0,845$

$U_N = 380 \text{ V}$

Date măsurate

$P_6 = 14,7 \text{ kW}$

$I_6 = 30 \text{ A}$

$Q_{a3} = 13,18 \text{ kVAr}$

Ventilator nr.1

Tip: VM-11

Motor asincron tip ASI 160 M-42-2

Date de catalog

$P_N = 11 \text{ kW}$

$I_N = 22,89 \text{ A}$

Date măsurate

$P_5 = 10,4 \text{ kW}$

$I_5 = 21 \text{ A}$

$$\cos \varphi_N = 0,84$$

$$U_N = 380 \text{ V}$$

$$Q_{a4} = 9,1 \text{ kVAR}$$

Deasemenea, s-au determinat prin măsurători, pentru fiecare motor sincron, caracteristicile: curentul statotic funcție de curentul de excitație $I_1 = f(I_e)$, puterea reactivă produsă funcție de curentul de excitație $Q = f(I_e)$, și s-au determinat prin calcul, pe baza măsurătorilor efectuate, conform relațiilor (3.14) și (3.15), pierderile în excitație P_e , pierderile în stator P_1 , pierderile totale $P_t = P_e + P_1$, precum și pierderile datorate producerii de către motorul sincron de putere reactivă $\Delta P = P_t - P_{to}$, P_{to} fiind pierderile totale în cazul funcționării motorului sincron la $Q=0$. Rezultatele măsurătorilor sunt prezentate în tabelele 3.3., 3.4. și 3.5. (măsurările s-au efectuat numai în domeniul $0 < Q < Q_N$, funcționarea motorului sincron în domeniul inductiv hepatentind interes practic în acest caz). Caracteristicile $I_1 = f(I_e)$ și $Q = f(I_e)$ pentru fiecare motor sincron sunt prezentate în anexa 1.

Tabelul 3.3. (Motor $MS_1, P_N = 200 \text{ kW}$)

I_e [A]	I_1 [A]	Q [kVAR]	P_e [kW]	P_1 [kW]	$P_t = P_1 + P_e$ [kW]	ΔP [kW]
136,7	336	0	5,288	7,722	13,01	0
150	339,5	37	6,367	7,883	14,25	1,24
170,2	357,6	82,328	8,198	8,746	16,944	3,934
183	372,2	106,78	9,477	9,475	18,952	5,942

Tabelul 3.4. (Motor $MS_2, P_N = 200 \text{ kW}$)

I_e [A]	I_1 [A]	Q [kVAR]	P_e [kW]	P_1 [kW]	$P_t = P_1 + P_e$ [kW]	ΔP [kW]
137,2	335,2	0	5,27	7,381	12,651	0
148	337,7	27	6,133	7,492	13,625	0,974
168	354	74,916	7,902	8,233	16,135	3,484
182	369	101,54	9,274	8,945	18,219	5,569

Tabelul 3.5. (Motor $MS_3, P_N = 100 \text{ kW}$)

I_e [A]	I_1 [A]	Q [kVAR]	P_e [kW]	P_1 [kW]	$P_t = P_1 + P_e$ [kW]	ΔP [kW]
145	173	0	3,542	4,561	8,103	0
165	177	24	4,587	4,774	9,361	1,258

185	186	45	5,767	5,272	11,039	2,936
195	192,2	55,13	6,407	5,629	12,036	3,933

Pe baza rezultatelor din tabelele 3.3., 3.4., 3.5., se determină pentru fiecare motor sistemul de ecuații (3.16), din care se calculează parametrii A_i și B_i pentru fiecare motor.

Motorul sincron MS₁

$$\left\{ \begin{array}{l} \left(\frac{37}{106,78} \right)^2 A_1 + \frac{37}{106,78} B_1 = 1,24 \\ \left(\frac{82,328}{106,78} \right)^2 A_1 + \frac{82,328}{106,78} B_1 = 3,934 \end{array} \right.$$

Rezultă: $A_1 = 3,591 \text{ kW}$
 $B_1 = 2,335 \text{ kW}$

Motor sincron MS₂

$$\left\{ \begin{array}{l} \left(\frac{27}{101,54} \right)^2 A_2 + \frac{27}{101,54} B_2 = 0,974 \\ \left(\frac{74,916}{101,54} \right)^2 A_2 + \frac{74,916}{101,54} B_2 = 3,484 \end{array} \right.$$

Rezultă: $A_2 = 2,244 \text{ kW}$
 $B_2 = 3,066 \text{ kW}$

Motor sincron MS₃

$$\left\{ \begin{array}{l} \left(\frac{24}{55,13} \right)^2 A_3 + \frac{24}{55,13} B_3 = 1,258 \\ \left(\frac{45}{55,13} \right)^2 A_3 + \frac{45}{55,13} B_3 = 2,936 \end{array} \right.$$

Rezultă: $A_3 = 1,857 \text{ kW}$
 $B_3 = 2,083 \text{ kW}$

Se determină apoi cu relațiile (3.27) pentru fiecare motor sincron parametrii a_i și b_i :

Motor sincron nr.1

$$a_1 = 2 \left(\frac{A_1}{U_b^2} + \frac{R_{cl}}{U_b^2} \right) = 2 \left(\frac{3,591}{106,78^2} + \frac{1,746 \cdot 10^{-3}}{380^2} \cdot 10^3 \right) = 654,07 \cdot 10^{-6} \frac{\text{kW}}{\text{kVAr}^2}$$

$$b_1 = \frac{B_1}{Q_{N1}} = \frac{2,335}{106,78} = 218,6739 \cdot 10^{-4} \frac{\text{kW}}{\text{kVAr}}$$

Motor sincron nr.2

$$a_2 = 2 \left(\frac{2,244}{101,54^2} + \frac{1,358 \cdot 10^{-3}}{380^2} \cdot 10^3 \right) = 454,09 \cdot 10^{-6} \frac{\text{kW}}{\text{kVAr}^2}$$

$$b_2 = \frac{3,066}{101,54} = 301,9499 \cdot 10^{-4} \frac{\text{kW}}{\text{kVAr}}$$

Motor sincron nr.3

$$a_3 = 2 \left(\frac{1,857}{55,13^2} + \frac{3,072 \cdot 10^{-3}}{380^2} \cdot 10^3 \right) = 1264,524 \cdot 10^{-6} \frac{\text{kW}}{\text{kVAr}^2}$$

$$b_3 = \frac{2,083}{55,13} = 377,834 \cdot 10^{-4} \frac{\text{kW}}{\text{kVAr}}$$

Puterea reactivă totală absorbită de motoarele asincrone și care urmează a fi distribuită celor trei motoare sincrone este:

$$Q_t = Q_{a1} + Q_{a2} + Q_{a3} + Q_{a4} = 98,68 \text{ kVAr}$$

Puterile reactive optime ale celor trei motoare sincrone sunt date de relațiile (3.26):

$$Q_{1\text{ opt}} = \frac{Q_t - \frac{b_1 - b_2}{a_2} + \frac{b_1 - b_3}{a_3}}{1 + \frac{a_1}{a_2} + \frac{a_1}{a_3}} = \\ = \frac{98,68 - \left(\frac{218,6739 - 301,9499}{454,09 \cdot 10^{-6}} \cdot 10^{-4} + \frac{218,6739 - 377,834}{1264,524 \cdot 10^{-6}} \cdot 10^{-4} \right)}{1 + \frac{654,07 \cdot 10^{-6}}{454,09 \cdot 10^{-6}} + \frac{654,07 \cdot 10^{-6}}{1264,524 \cdot 10^{-6}}} = 43,818 \text{ kVAr}$$

$$Q_{2\text{opt}} = \frac{a_1 Q_{1\text{opt}} + b_1 - b_2}{a_2} = \\ = \frac{654,07 \cdot 10^{-6} \cdot 43,818 + 218,6739 \cdot 10^{-4} - 301,9499 \cdot 10^{-4}}{454,09 \cdot 10^{-6}} = 44,776 \text{ kVAr} \\ Q_{3\text{opt}} = \frac{a_1 Q_{1\text{opt}} + b_1 - b_3}{a_3} = \\ = \frac{654,07 \cdot 10^{-6} \cdot 43,818 + 218,6739 \cdot 10^{-4} - 377,834 \cdot 10^{-4}}{1264,524 \cdot 10^{-6}} = 10,078 \text{ kVAr.}$$

Din caracteristicile $Q=f(I_e)$, reprezentate în anexa 1, se obțin valorile optime ale curentului de excitare pentru

fiecare motor:

$$I_{e1opt} = 152 \text{ A}$$

$$I_{e2opt} = 155,2 \text{ A}$$

$$I_{e3opt} = 153,4 \text{ A}$$

Pentru a putea aprecia eficiența repartiției optime a puterii reactive, vom considera pe lîngă varianta optimă de repartitie a puterii reactive, calculată mai sus, și următoarele trei variante de repartitie, care se utilizează uneori în practică:

Varianta 1 (un singur motor sincron participă la compensare)

$$Q_1 = Q_t = 98,68 \text{ kVAr}$$

$$Q_2 = 0$$

$$Q_3 = 0$$

Varianta 2 (repartiție egală a puterii reactive)

$$Q_1 = \frac{1}{3} Q_t = 32,893 \text{ kVAr}$$

$$Q_2 = \frac{1}{3} Q_t = 32,893 \text{ kVAr}$$

$$Q_3 = \frac{1}{3} Q_t = 32,893 \text{ kVAr}$$

Varianta 3 (proporțional cu P_N)

$$Q_1 = \frac{2}{5} Q_t = 39,472 \text{ kVAr}$$

$$Q_2 = \frac{2}{5} Q_t = 39,472 \text{ kVAr}$$

$$Q_3 = \frac{1}{5} Q_t = 19,736 \text{ kVAr}$$

Pentru cele patru variante vom determina pierderile de putere în motoarele sincrone și cablurile aferente datorate puterii reactive produse și transportate, cu relația:

$$P_{ri} = A_i \frac{Q_i^2}{Q_{Ni}^2} + B_i \frac{Q_i}{Q_{Ni}} + \frac{Q_i^2 R_{ci}}{U_b^2} \cdot 10^3 \quad (3.28)$$

cu A_i [kW/kVAr²], Q_i , Q_{Ni} [kVAr], B_i [kW/kVAr], R_{ci} [Ω], U_b [V], P_{ri} [kW].

Se determină apoi pierderile totale $P_{rt} = \sum_{i=1}^3 P_{ri}$

datorate producerii și transportului pe cabluri a puterii reacti-

ve, precum și creșterea de pierderi $\Delta P_{rt} = P_{rt} - P_{rtopt}$ față de pierderile corespunzătoare criteriului optim. Aceste mărimi sunt concentrate în tabelul 3.6. În tabel se mai indică și consumul de energie suplimentar W_s , calculat pentru un timp de funcționare $t_f = 3000$ ore/an a stației.

Tabelul 3.6.

Varianta	P_{rl} [kW]	P_{r2} [kW]	P_{r3} [kW]	P_{rt} [kW]	ΔP_{rt} [kW]	W_s [kWh/an]	W_s [%]
Optimă	1,585	1,806	0,444	3,835	0	0	0
1	5,343	0	0	5,343	1,508	4524	0,25
2	1,073	1,248	1,927	4,248	0,413	1239	0,07
3	1,372	1,545	0,991	3,908	0,073	220	0,012

Din datele centralizate în tabelul 3.6 reiese clar că cea mai dezavantajoasă este situația în care puterea reactivă este compensată cu un singur motor, celelalte neparticipând la compensare.

Metoda de repartiție a puterii reactive între motoarele sincrone, în forma prezentată mai sus, poate fi aplicată cu ușurință în orice stație de compresoare, sau la alte acționări cu motoare sincrone, cu condiția ca atât motoarele sincrone cît și ceilalți consumatori să funcționeze timp îndelungat la sarcină constantă, sau cu variații rare în trepte, provocate de intrarea sau ieșirea din funcțiune a unor motoare de acționare. În asemenea situații, se poate determina pentru fiecare caz posibil de funcționare, repartiția optimă a puterii reactive. Stațiile de compresoare, pompe, ventilatoare din industria minerală se încadrează prin excelentă în cerințele enunțate mai sus.

Dacă puterea reactivă absorbită de consumatorii alimentați de la aceleași bare cu motoarele sincrone are variații frecvente, atunci problema se poate rezolva cu un sistem de comandă și reglare automată. O realizare concretă a unui astfel de sistem se prezintă în unul din capitolele următoare.

4. REGLAREA AUTOMATA A EXCITATIEI MOTORULUI SINCRON

4.1. Consideratii generale

In sistemele moderne de actionare cu motoare sincrone, reglarea automată a excitației motorului sincron este o cerință impusă atât de desfășurarea corectă a procesului tehnologic, cât și de functionarea corespunzătoare a motorului în cadrul sistemului energetic. Dispozitivele de reglare automată a excitației motorului sincron realizează în general următoarele cerințe:

- forțarea automată a excitației motorului sincron, pentru evitarea ieșirii din sincronism a motorului la căderi adînc ale tensiunii rețelei de alimentare;
- reglarea automată a curentului de excitație al motorului sincron după un criteriu stabilit.

Necesitatea reglării automate a excitației motorului sincron rezultă analizînd diagrama fazorială simplificată a motorului sincron cu poli înecați reprezentată în figura 4.1.,a.

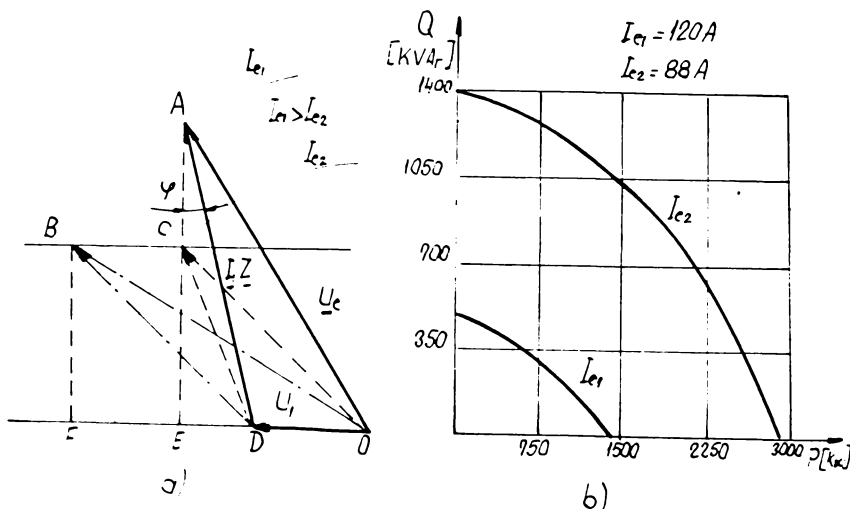


Fig.4.1.a) Diagrama fazorială simplificată a motorului sincron cu poli înecați; b) Dependența $Q=f(P)$ la $I_e=ct$ pentru un motor sincron de 2100 kW.

Tensiunea electromotoare indușă U_e este reprezentată prin segmentul CA (la altă scară reprezentă pe I_e), tensiunea

de alimentare a motorului prin segmentul OD, iar căderea de tensiune prin segmentul AD(la altă scară reprezintă curentul motorului I_1). Segmentul AE este proporțional cu puterea activă a motorului, iar segmentul ED este proporțional cu puterea reactivă a motorului. Dacă încărcarea motorului scade și curentul de excitație rămîne constant (I_{e1}), atunci punctul A se deplasează pe cercul corespunzător pînă în B; puterea reactivă dată de motor va fi mai mare, deoarece $DF > DE$. Pentru ca motorul să dezvolte aceeași putere reactivă ca în punctul A, curentul de excitație trebuie să scadă pînă la valoarea I_{e2} , punctul B se deplasează pînă în punctul C, unde motorul dezvoltă aceeași putere reactivă ca în punctul A (segmentul DE) și o putere activă egală cu cea corespunzătoare punctului B($BF = EC$). În figura 4.1.,b este prezentată variația puterii reactive Q în funcție de puterea activă P la un motor sincron de 2100 kW, pentru două valori ale curentului de excitație [129].

Cele arătate mai sus evidențiază clar că, la motorul sincron, în cazul în care se produce variația sarcinii și curentul de excitație se menține constant, se modifică corespunzător puterea reactivă a motorului. Aceasta impune introducerea unui sistem de reglare automată a curentului de excitație după un criteriu de reglare corespunzător scopului urmărit.

Forțarea excitației motorului sincron rezultă din expresia cuplului motorului sincron trifazat cu poli înecăți:

$$C = \frac{3U_1 U_e}{X \Omega_1} \sin \lambda \quad (4.1)$$

în care X este reactanța sincronă iar U_e este tensiunea electromotoare indușă într-o fază a infășurării statorului, dependentă de excitație.

Dacă se ține seama că motorul sincron se mai poate menține în sincronism pentru

$$C_{\text{smax}} = C_{\text{max}} = \frac{3U_1 U_e}{X \Omega_1} , \quad (4.2)$$

atunci la funcționarea motorului la cuplu nominal C_N și la curent de excitație nominal, cînd $U_e = U_{eN}$, rezultă tensiunea minimă a rețelei la care motorul se mai poate menține în sincronism:

$$U_{\text{min}} = \frac{C_N X \Omega_1}{3 U_{eN}} \quad (4.3)$$

Relația (4.3) arată că pentru menținerea în sincronism a motorului în condițiile precizate, dacă tensiunea rețelei scade la o valoare $U < U_{\min}$, este necesar ca $U_e > U_{eN}$, adică este necesară forțarea excitației, prin creșterea curentului de excitație la o valoare $I_e > I_{eN}$.

Pentru studiul diferitelor sisteme de reglare a excitației, este importantă stabilirea mărimilor de bază care caracterizează funcționarea motorului sincron. Analizând diagrama fazorială simplificată a motorului sincron cu poli înecați, reprezentată în figura 4.2, rezultă:

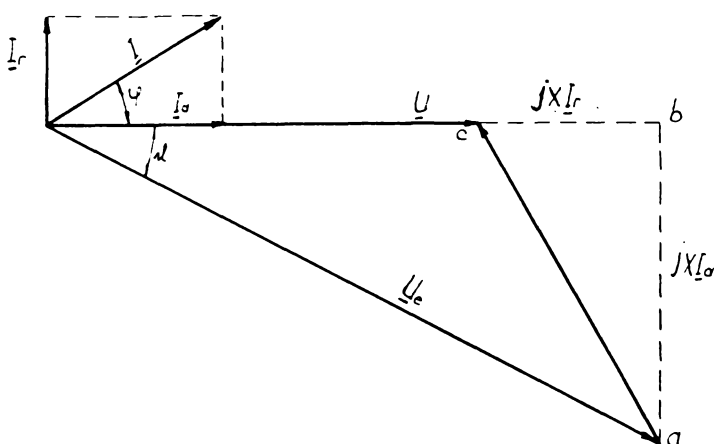


Fig.4.2. Diagrama fazorială simplificată a motorului sincron cu poli înecați.

- Componenta reactivă a curentului statoric:

$$I_r = \frac{bc}{X} = \frac{U_e \cos \lambda - U_1}{X} \quad (4.4)$$

- Componenta reactivă a curentului statoric la sarcină nominală a motorului sincron:

$$I_{rN} = \frac{U_{eN} \cos \lambda_N - U_1}{X} \quad (4.5)$$

- Puterea reactivă în unități relative:

$$Q = \frac{Q}{Q_N} = \frac{I_r}{I_{rN}} = \frac{U_e \cos \lambda - U_1}{U_{eN} \cos \lambda_N - U_1} \quad (4.6)$$

- Componenta activă a curentului statoric:

$$I_a = \frac{ab}{X} = \frac{U_e \sin \lambda}{X} \quad (4.7)$$

→ Componenta activă a curentului statoric la sarcină nominală a motorului sincron:

$$I_{aN} = \frac{U_{eN} \sin \lambda_N}{X} \quad (4.8)$$

→ Puterea activă a motorului sincron, în unități relative:

$$\tilde{P} = \frac{P}{P_N} = \frac{I_a}{I_{aN}} = \frac{U_e \sin \lambda}{U_{eN} \sin \lambda_N} = \frac{U_e}{U_{eN}} \lambda_N \sin \lambda, \quad (4.9)$$

unde s-au introdus notațiile:

$$\tilde{U}_e = \frac{U_e}{U_{eN}}$$

$\lambda_N = \frac{P_{maxN}}{P_N} = \frac{1}{\sin \lambda_N}$ este coeficientul de supraîncărcare al motorului sincron la t.e.m. U_{eN} .

→ Coeficientul de supraîncărcare al motorului sincron la t.e.m.

U_e :

$$\lambda = \frac{P_{max}}{P_N} = \frac{P_{maxN}}{P_N} \cdot \frac{U_e}{U_{eN}} = \lambda_N \tilde{U}_e \quad (4.10)$$

→ Legătura între tensiunea rețelei U_1 și t.e.m U_{eN} :

$$U_1 = U_{eN} (\cos \lambda_N - \sin \lambda_N \operatorname{tg} \varphi_N) \quad (4.11)$$

Introducind în relația (4.6) expresiile lui U_1 și $\sin \lambda$ obținute din relațiile (4.9) și (4.11), se obține pentru puterea reactivă în unități relative Q , expresia:

$$Q = \frac{\sqrt{\tilde{U}_e \lambda_N^2 - \xi^2} - \sqrt{\lambda_N^2 - 1} + \operatorname{tg} \varphi_N}{\operatorname{tg} \varphi_N} \quad (4.12)$$

de unde rezultă:

$$\tilde{U}_e = \frac{\sqrt{P^2 + [(Q-1)\operatorname{tg} \varphi_N + \sqrt{\lambda_N^2 - 1}]^2}}{N} \quad (4.13)$$

Relațiile (4.12) și (4.13) permit calcularea variației mărimilor Q și \tilde{U}_e în procesul de reglare, dacă este precizat principiul de reglare al excitației.

4.2. Motorul sincron ca obiect al reglării automate

Funcția de transfer a motorului sincron poate fi determinată în următoarele ipoteze [122] :

- alimentarea motorului sincron se realizează de la o sursă de putere infinită, având tensiunea rețelei $U_r = \text{ct.}$, printr-o rețea având reactanță echivalentă x_{re} , în unități relative;

- rezistența înfășurării statorice se neglijeează: $R_1 = 0$;
- circuitul magnetic al motorului este nesaturat.

Pe baza ecuațiilor Blondel-Park scrise în unități relative, pentru axa longitudinală a motorului sincron în regim de mers în gol sănătăabile relațiile:

$$\begin{aligned}\Psi_d &= 1 \\ s \cdot \Psi_e + r_e i_e &= u_e \\ s \cdot \Psi_{ad} + r_{ad} i_{ad} &= 0\end{aligned}\quad (4.14)$$

unde:

Ψ_d este înlătuirea magnetică a statorului după axa longitudinală;

Ψ_e : înlătuirea magnetică a înfășurării de excitație;

r_e, i_e : rezistență, respectiv curentul înfășurării de excitație;

Ψ_{ad} : înlătuirea magnetică echivalentă a circuitului de amortizare după axa longitudinală;

r_{ad}, i_{ad} : rezistență, respectiv curentul înfășurării de amortizare.

Rezolvînd sistemul de ecuații (4.14) în creșteri finite, rezultă funcția de transfer a circuitului curentului de excitație [122]:

$$Y_e(s) = \frac{\Delta i_e(s)}{\Delta u_e(s)} = \frac{1}{r_e} \cdot \frac{T_a s + 1}{(T_d' s + 1)(T_d'' s + 1)} \quad (4.15)$$

în care T_d', T_d'' și T_a sunt constantele de timp definite cu relațiile (2.53), (2.56) și (2.57), iar s este variabila complexă.

Funcția de transfer a circuitului curentului reactiv este:

$$Y_r(s) = \frac{\Delta i_r(s)}{\Delta i_e(s)} = \frac{x_{ad}}{x_d + x_{re}} \cdot \frac{T_{kd}s + 1}{T_a s + 1} = K_R \frac{T_{kd}s + 1}{T_a s + 1}, \quad (4.16)$$

unde T_{kd} este constanta de timp a înfășurării de amortizare după axa longitudinală cînd înfășurările statorice și de excitație sănătăabile deschise, și se determină cu relația [31]:

$$T_{kd} = \frac{x_{kd}}{2\gamma f_1 r_d}, \quad (4.17)$$

iar

$$x_{kd} = x_{ad} + x_{rd} \quad (4.18)$$

este reactanța totală a înfășurării de amortizare după axa longitudinală și i_r este componenta reactivă a curentului statorului.

Funcția de transfer a creșterii de tensiune pe barele de alimentare ale motorului sincron, ca urmare a producerii de către acesta a curentului reactiv i_r este:

$$Y_u(s) = \frac{\Delta u_s(s)}{\Delta i_r(s)} \approx x_{re}, \quad (4.19)$$

u_s fiind tensiunea la bornele motorului.

Cuplul electromagnetic al motorului sincron în unități relative este:

$$c = \frac{p_e}{\omega_1} = \frac{u_s i_a}{\omega_1}, \quad (4.20)$$

unde i_a este componenta activă a curentului statoric, dată de relația [122]:

$$i_a = \omega_1 \frac{u_s}{x_q} \operatorname{tg} \vartheta + i_r \operatorname{tg} \vartheta \quad (4.21)$$

Notând cu i_{ro} și ϑ_0 valorile inițiale, prin diferențierea relației (4.21) se obține:

$$\begin{aligned} d i_a &= \omega_1 \frac{u_s}{x_q} \frac{d}{d\vartheta} (\operatorname{tg} \vartheta) + d i_r \operatorname{tg} \vartheta_0 + i_{ro} \frac{d}{d\vartheta} (\operatorname{tg} \vartheta) = \\ &= \omega_1 \frac{u_s}{x_q} \frac{d \vartheta}{\cos^2 \vartheta_0} + d i_r \operatorname{tg} \vartheta_0 + i_{ro} \frac{d \vartheta}{\cos^2 \vartheta_0} \end{aligned} \quad (4.22)$$

Scriind relația (4.22) în creșteri finite, se obține pentru creșterea curentului activ relația:

$$\Delta i_a = \left(\frac{u_s}{\omega_1 x_q} + i_{ro} \right) \frac{\Delta \vartheta}{\cos^2 \vartheta_0} + \Delta i_r \operatorname{tg} \vartheta_0 \quad (4.23)$$

Comportarea alunecării s_a a motorului la creșterea cuplului și creșterea unghiului intern se exprimă prin relațiile:

$$-\frac{s_a}{\Delta i_a} = \frac{1}{T_j s} \quad (4.24)$$

$$\frac{\Delta \vartheta}{s_a} = \frac{1}{T_a s}. \quad (4.25)$$

unde:

T_j este constanta de timp electromecanică a motorului sincron și compresorului;

$T_a = \frac{1}{p \omega_1}$: constantă de timp, p fiind numărul de perechi de poli ai motorului sincron.

Pe baza relațiilor (4.15), (4.16), (4.19), (4.23), (4.24) și (4.25) scrise mai sus, schema bloc a motorului sincron se poate reprezenta ca în figura 4.3.

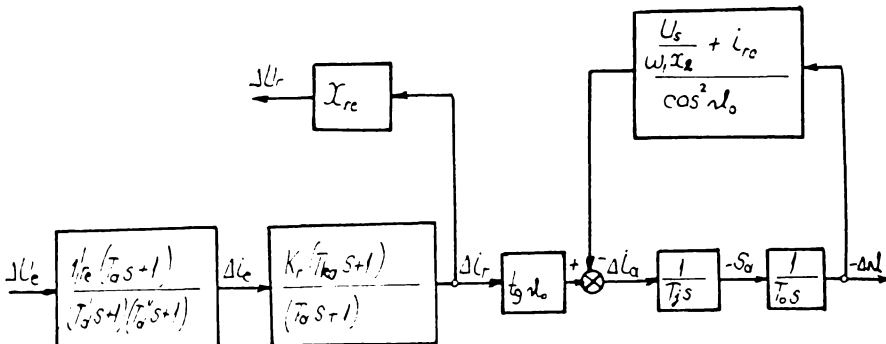


Fig.4.3. Schema bloc a motorului sincron.

4.3. Circuitele de bază ale reglării automate a excitării motorului sincron

Analizînd schema bloc a motorului sincron prezentată în figura 4.3., rezultă că sistemul de reglare automată al excitației motorului sincron cuprinde trei circuite de bază: al curentului de excitație, al curentului reactiv(puterii reactive) și al tensiunii rețelei. În cele ce urmează ne vom referi numai la primele două circuite, cel al tensiunii rețelei neprezentând interes în cadrul acestei lucrări.

Se știe [60] că structura regulatorului trebuie să fie astfel aleasă încît să asigure circuitului deschis o funcție de transfer de forma (criteriul modulului):

$$Y_d(s) = \frac{1}{2 \cdot T_h \cdot s(T_h \cdot s + 1)} \quad (4.26)$$

în care T_m este timpul mort al mutatorului comandat de alimentare a excitării [119].

Constanta de timp T_d'' din relația (4.15), de valoare mică, poate fi înlocuită cu un filtru la intrarea mutatorului și inclusă în constanta de timp necompensată T_A a acestuia [60]. În aceste condiții, circuitul optimizat al curentului de excitare are schema bloc reprezentată în figura 4.4.

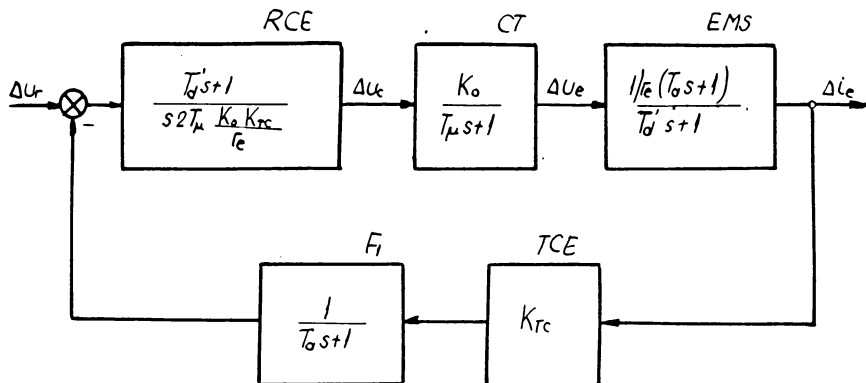


Fig.4.4. Schema bloc a circuitului de reglare a curentului de excităție al motorului sincron.

Funcția de transfer a mutatorului comandat CT este [119]:

$$Y_{CT}(s) = \frac{K_o}{T_a s + 1} , \quad (4.27)$$

unde

$$K_o = \frac{\Delta U_e}{\Delta U_c} \quad (4.28)$$

este coeficientul de transfer al mutatorului comandat.

Filtrul F_1 introdus pe calea de reacție compensează constanta de timp T_a a excitării motorului sincron EMS (zeroul funcției de transfer).

Traductorul curentului de excităție are coeficientul de transfer

$$K_{TC} = \frac{\Delta U_{TC}}{\Delta I_e} , \quad (4.29)$$

Pentru realizarea funcției de transfer a circuitului deschis de forma (4.26), este necesar ca regulatorul curentului de excităție RCE să fie de tip PI, având funcția de transfer:

$$Y_{RCE}(s) = \frac{T_d' s + 1}{s^2 T_m \frac{K_o K_{TC}}{f_e}} \quad (4.30)$$

Funcția de transfer a circuitului închis optimizat al curentului de excităție este [6]:

$$Y_{ICE}(s) = \frac{Y_{cd}(s)}{1 + Y_{cd}(s)Y_{cr}(s)} ,$$

unde $Y_{cd}(s)$ este funcția de transfer a căii directe, formată din elementele RCE, CT și EMS, iar $Y_{cr}(s)$ este funcția de transfer a legăturii de reacție, formată din elementele F_1 și TC (fig.4.4). Înlocuind, se obține:

$$Y_{ice}(s) = \frac{Y_{RCE}(s) \cdot Y_{CT}(s) \cdot Y_{EMS}(s)}{1 + Y_{RCE}(s) Y_{CT}(s) Y_{EMS}(s) Y_{F_1}(s) Y_{TC}(s)} = \\ = \frac{\frac{T_a}{T_a s + 1}}{K_{TC}(2T_a^2 s + 2T_a s + 1)} \quad (4.31)$$

Schema bloc a circuitului de reglare a curentului reactiv este reprezentată în figura 4.5, unde s-au folosit notațiile:

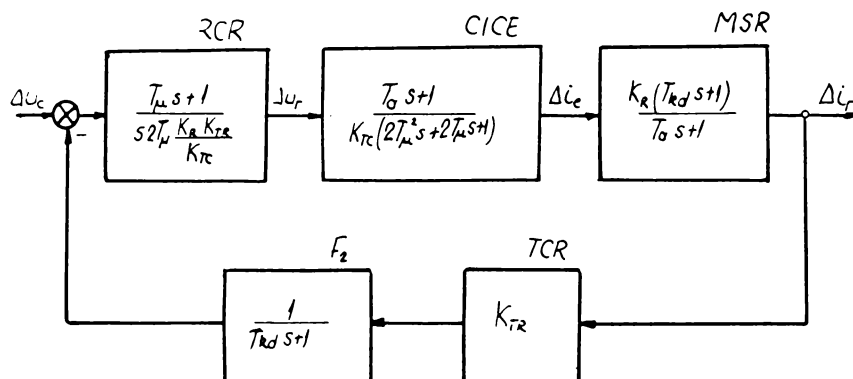


Fig.4.5. Schema bloc a circuitului de reglare a curentului reactiv.

RCR - regulatorul curentului reactiv;

CICE - circuitul închis optimizat al curentului de excitație;

MSR - blocul funcțional al motorului sincron care produce reacția;

F_2 - filtru;

TCR - traductor de curent reactiv.

Compensarea zeroului funcției de transfer a MSR se face prin introducerea filtrului F_2 , având constanta de timp T_{kd} .

Pentru asigurarea și în circuitul de reglare a curentului reactiv un răspuns rapid, ca și în circuitul curentului de excitație, regulatorul curentului reactiv va fi tot de tip PI,

cu funcția de transfer:

$$Y_{RCR}(s) = \frac{T_M s + 1}{s^2 T_M \frac{K_R K_{TR}}{K_{TC}}} \quad (4.32)$$

Astfel, funcția de transfer a circuitului deschis a curentului reactiv rezultă:

$$\begin{aligned} Y_{dCR}(s) &= Y_{RCR}(s) \cdot Y_{iCE}(s) \cdot Y_{MSR}(s) \cdot Y_{TCR}(s) \cdot Y_{F_2}(s) = \\ &= \frac{T_M s + 1}{2T_M s (2T_M^2 s^2 + 2T_M s + 1)} \end{aligned} \quad (4.33)$$

Aproximând $2T_M^2 s^2 + 2T_M s + 1 \approx (T_M s + 1)^2$, funcția de transfer a circuitului deschis al curentului reactiv dată de relația (4.33) este egală cu cea dată de relația (4.26), deci și circuitul curentului reactiv este în acest fel optimizat.

In cele de mai sus ne-am referit la curentul reactiv al motorului sincron. Dacă admitem că tensiunea la barele de alimentare ale motorului este $U_b = ct$, atunci acestea sunt valabile și pentru puterea reactivă a motorului sincron.

La reglarea curentului de excitație a motorului sincron trebuie avut în vedere și limitările impuse acestuia de încălzire respectiv funcționare la $\cos \gamma = 1$, deja discutate anterior.

4.4. Sisteme de reglare automată a excitării motorului sincron

In momentul de față, în industrie se utilizează mai multe sisteme de reglare automată a excitării motorului sincron, sisteme care diferă între ele prin criteriul de reglare ales. Astfel, se întâlnesc:

- reglarea automată a excitării pentru menținerea constantă a puterii reactive produsă de motorul sincron;
- reglarea excitării pentru menținerea constantă a factorului de putere al motorului;
- reglarea excitării pentru menținerea constantă a unghiului intern al motorului;
- reglarea excitării după curentul statoric al motorului;
- etc.

Aceste sisteme sînt analizate pe larg în literatură [44, 71, 129].

Alegerea unuia sau altuia din sistemele de reglare se face avînd în vedere scopul urmărit privind îmbunătățirea indicilor tehnico-economiici ai acționării și ai rețelei electrice de alimentare a motorului.

Deoarece se încadrează în tematica prezentei lucrări, se prezintă în continuare două sisteme de reglare automată a excitației motorului sincron [138, 140].

Astfel în figura 4.6. este prezentată schema bloc a reglării automate a excitației motorului sincron care asigură variația minimă a tensiunii U_b pe barele de alimentare ale stației. În schemă s-au folosit notațiile: MS motor sincron, TCRS-traductor de curent reactiv al motorului sincron, TCE-traductor de curent de excitație al motorului sincron, CT-convertisor cu tiristoare, RCE-regulatorul curentului de excitație, RCR-regulatorul curentului reactiv, BS-bloc de însumare, $MA_1, MA_2, \dots, MA_i, \dots, MA_n$ - motoare asincrone (sau alți consumatori), TCR_1 - traductoare de curent reactiv. S-au mai notat pe schemă parametrii transformatorului T, ai liniei și parametrii echivalenți X_e și R_e ai liniei și transformatorului stației.

Conform cu relația (2.84), căderea de tensiune la barele stației este:

$$\Delta U_b = \sqrt{3} \cdot I_a R_e + \sqrt{3} \cdot I_r X_e \quad (4.34)$$

unde $I_a = \sum_{i=1}^n I_{ai} + I_{as}$ este curentul activ al liniei, iar $I_r = \sum_{i=1}^n I_{ri} + I_{rs}$ curentul reactiv. Punînd condiția ca $\Delta U_b = 0$, din relația (4.34) rezultă:

$$I_{rs} = - \sum_{i=1}^n I_{ri} - \frac{R_e}{X_e} \left(\sum_{i=1}^n I_{ai} + I_{as} \right) \quad (4.35)$$

În practică $R_e < X_e$ și, ca urmare, ultimul termen se poate neglija, ceea ce conduce la:

$$I_{rs} \approx - \sum_{i=1}^n I_{ri} \quad (4.36)$$

relație care exprimă în practică condiția de variație minimă a tensiunii la barele stației. Se vede că aceasta corespunde și situației de compensare totală, adică de funcționare a liniei la $\cos \varphi = 1$, ceea ce conduce la un minim de pierderi pe linia de alimentare.

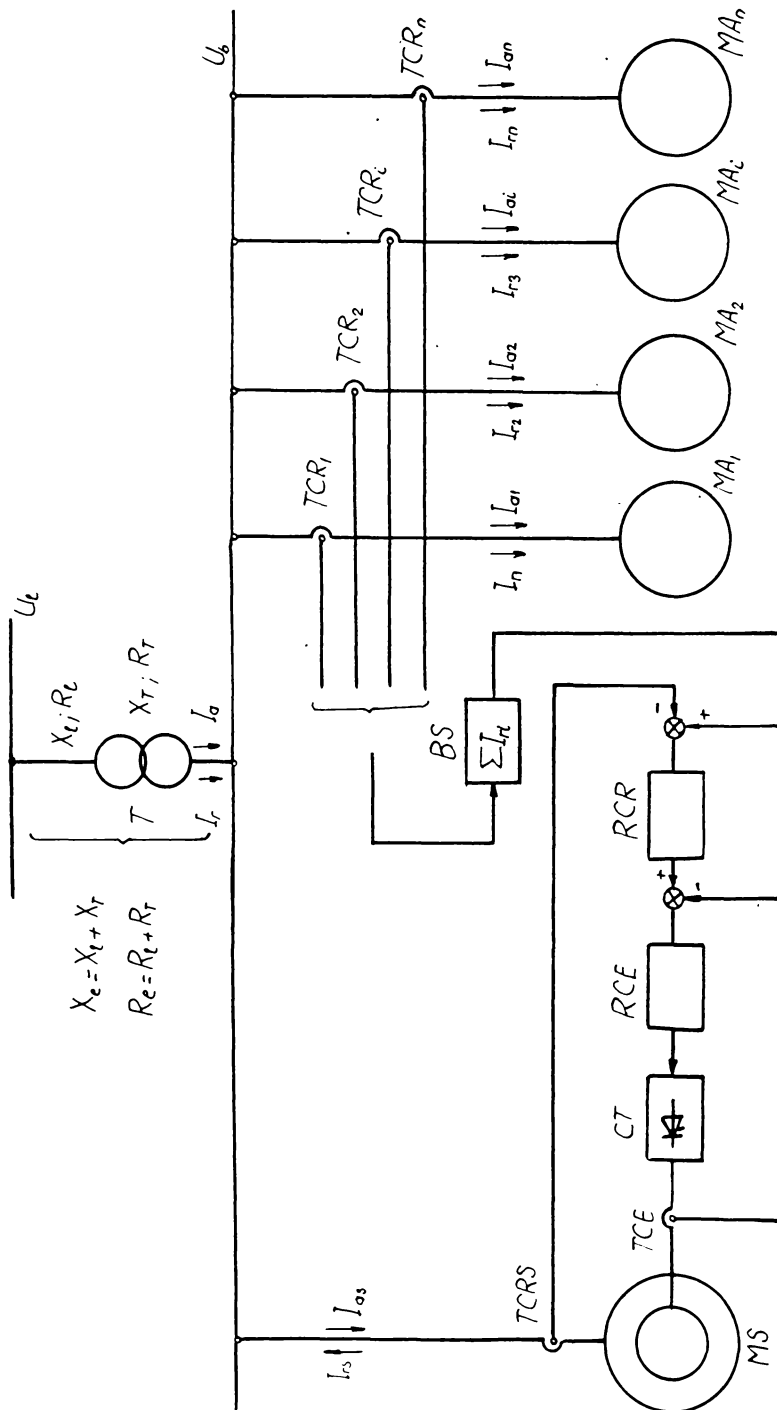


Fig. 4.6. Schema bloc de reglare automată a excitării motorului sincron.

Pentru realizarea condiției (4.36), la intrarea reglatorului curentului reactiv RCR se aplică ca mărime de referință suma curenților reactivi ai celorlalți consumatori, obținută de la blocul de însumare BS. Regulatorul curentului de excitație RCE este subordonat regulatorului curentului reactiv, și ieșirea sa comandă convertizorul cu tiristoare CT care alimentează excitația motorului sincron.

Un astfel de sistem este optim în ceea ce privește pierderile pe linia de alimentare, dar nu are în vedere optimul la nivelul întregii stații.

In figura 4.7. se prezintă schema de principiu a reglării automate a excitației motoarelor sincrone care echipează compresoarele pentru aer de tip L25, L50 și L60 fabricate la I.C.M.Reșița.

Sistemul de reglare automată utilizat este un sistem discontinuu, în trei trepte, care asigură factor de putere unitar al motorului sincron la mers în gol, încărcat cu 50% din sarcina nominală și la sarcină nominală. Comanda automată este asigurată de un distribuitor pneumatic care comandă poziția microîntrerupătoarelor b_{11} și b_{12} , funcție de sarcină(presiunea de refulare a compresorului).

La funcționarea sincronă a motorului contactorul c_2 este anclanșat, contactul său din circuitul 6 punând sub tensiune bobina releului d_5 , care își închide contactul din circuitul 4. La mersul în gol al compresorului, microîntrerupătoarele b_{11} și b_{12} sunt închise de către distribuitorul pneumatic. Ca urmare, releele d_8 și d_9 sunt alimentate și, prin contactele lor normal închise din circuitele 3 și 5, întrerup alimentarea contactoarelor c_3 și c_4 . În circuitul de excitație al excitatoarei G este introdusă toată rezistența reostatului de excitație R_e , excitatoarea asigurând motorului sincron curentul de excitație corespunzător factorului de putere unitar.

Dacă compresorul se încarcă, în momentul în care sarcina atinge 50%, distribuitorul pneumatic deschide microîntrerupătorul b_{12} și, prin intermediul releului d_9 , contactorul C_4 anclanșează, scurtcircuitând o porțiune din reostatul de excitație R_e . Ca urmare, curentul de excitație crește pînă la valoarea la care se asigură din nou motorului sincron factor de putere unitar.

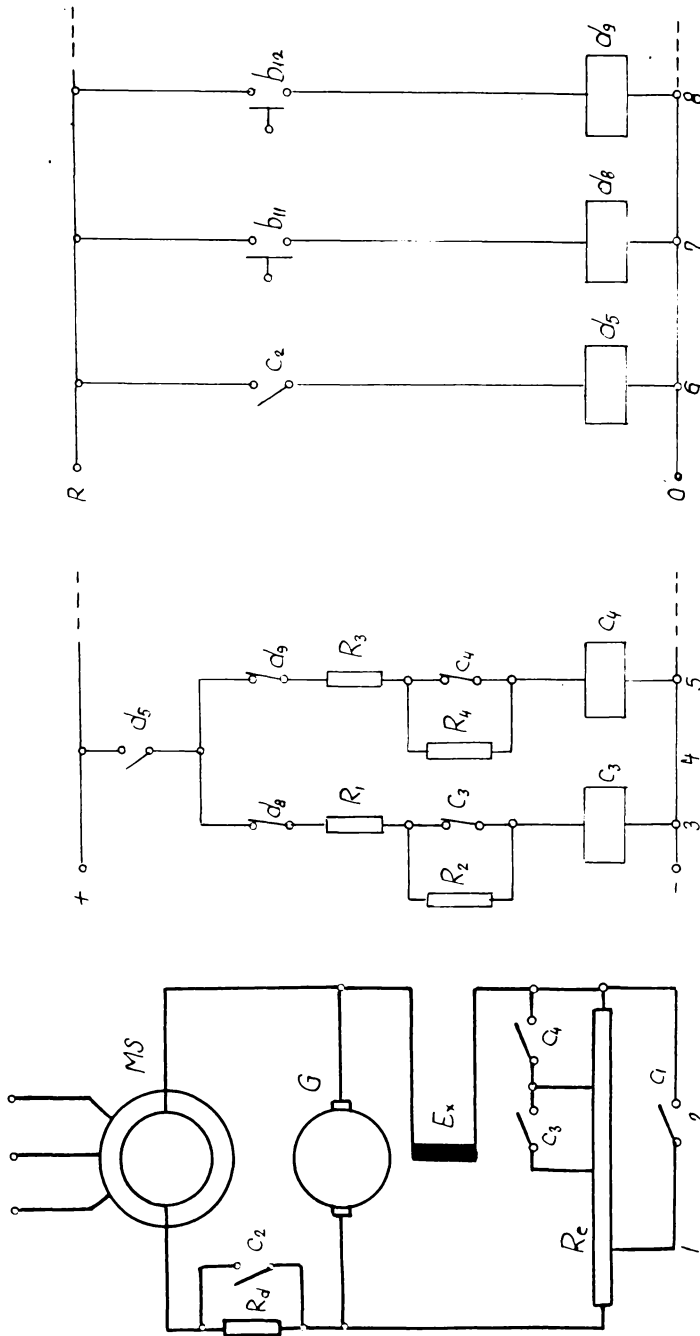


Fig. 4.7. Schema de principiu a reglării automate a excitării la motoarele sincrone de acționare a compresoarelor de tip I.

Dacă sarcina compresorului ajunge la 100 % adică sarcina nominală, atunci se deschide și microîntrerupătorul b_{12} , iar contactorul c_3 scurtcircuitează încă o porțiune a reostatului de excitație, stabilind curentul de excitație la valoarea corespunzătoare factorului de putere egal cu unu.

Sistemul descris prezintă avantajul simplității de realizare, însă este dezavantajos din punct de vedere economic, deoarece la valori intermediare ale sarcinii factorul de putere al motorului se abate de la valoarea optimă, fiind capacitive sau inductive, după cum sarcina motorului scade sau crește, datorită histerezisului sistemului electromecanic de comandă. Din acest motiv, este prevăzută și posibilitatea modificării manuale prin reostatul de excitație al curentului de excitație, în exploatare preferîndu-se acest sistem [136, 137, 138, 139].

.

5. MODELAREA PRIN SIMILITUDINE A ACTIONARILOR ELECTRICE

5.1. Punerea problemei

Modelarea prin similitudine este proceul folosit frecvent în cercetarea experimentală a proceselor ce au loc în sistemele fizice. Prin intermediul criteriilor de similitudine se realizează corespondență biunivocă între parametrii și mărimile modelului și cele ale sistemului original, astfel încit rezultatele experimentale obținute pe model în stare dinamică să fie valabile și pentru sistemul original, în aceleasi condiții de funcționare. Modelarea se aplică atunci cind este dificilă, sau uneori chiar imposibilă, experimentarea pe sistemul real.

In cadrul teoriei similitudinii se precizează [126] că este practic imposibil să se realizeze o similitudine completă, datorită existenței în sistemul original a mai multor fenomene interdependente, ce nu pot fi reproduse în întregime pe model. În aceste condiții, modelarea prin similitudine se realizează incomplet, urmărindu-se ca pe model să fie reproduse principalele stări și fenomene ce prezintă interes pentru sistemul original. Pentru sisteme fizice mai complexe, se recurge uneori la conceperea și realizarea mai multor modele, fiecare model asigurînd studiul unei subclase de fenomene.

In cadrul operației de modelare prin similitudine sînt inevitabile și unele simplificări și aproximării, dar care se acceptă numai dacă nu conduc la erori inadmisibile de mari.

Sistemele electromecanice de acționare a mașinilor și instalațiilor industriale se pretează a fi studiate pe baza modelării prin similitudine fizică, adică prin realizarea unor modele la scară redusă și investigarea acestora în condiții de laborator. Partea centrală a acestor sisteme este motorul electric de acționare. Aceasta poate fi considerat ca un sistem fizic în care au loc fenomene de natură electromagnetică, mecanoenergetică și termică, care au rol determinant în stabilirea condițiilor optime de funcționare. Deasemenea, motorul electric de acționare poate fi privit ca o parte componentă a unui sistem mai larg, sistemul de acționare care urmează a fi înlocuit cu un model similar. In toate cazurile drept punct de plecare se iau

ecuațiile care descriu fenomenele fizice care prezintă interes în modelarea problemei respective.

In literatura de specialitate nu se găsesc referiri la o astfel de problemă, pe care o considerăm deosebit de importantă în abordarea și soluționarea unor probleme practice.

In cele ce urmează ne propunem să stabilim criteriile de similitudine pentru motorul sincron cu poli aparenti, cu scopul modelării motoarelor sincrone reale dintr-o stație de compresoare prin motoare sincrone model de putere mult mai mică, care să permită studiul stației reale de compresoare pe un model de laborator.

5.2. Modelarea motorului sincron

Vom stabili criteriile de similitudine pentru motorul sincron luând în considerare cele trei subclase de fenomene fizice amintite deja: electromagnetice, mecanoenergetice și termice. Ecuațiile le vom scrie în formă restrânsă, cu scopul ca numărul parametrilor care intervin să fie minim. Ca urmare, criteriile de similitudine vor conține unii parametri globali, fără a considera componentele lor. Deasemenea, nu se fac referiri la repartitia spațială a mărimilor de stare ale cîmpului electromagnetic și termic, motorul se consideră simetric, iar din punct de vedere termic se consideră un corp omogen.

In condițiile precizate, fenomenele electromagnetice sunt descrise de ecuațiile [33]:

- Pentru circuitul electric al statorului (o fază):

$$u_1 = R_1 i_1 + \frac{d\psi_1}{dt} \quad (5.1)$$

- Pentru circuitul electric al excitării:

$$U_e = R_e i_e + \frac{d\psi_e}{dt} \quad (5.2)$$

- Pentru circuitul înfășurării de amortizare (după axe/ed și q):

$$0 = R_d i_d + \frac{d\psi_d}{dt} \quad (5.3)$$

$$0 = R_q i_q + \frac{d\psi_q}{dt}$$

Fenomenele de natură mecanoenergetică sunt descrise de ecuația mișcării [24]:

$$\frac{J}{p} \frac{d^2\lambda}{dt^2} + D \frac{d\lambda}{dt} + C_{max} \sin \lambda + \xi C_{max} \sin 2\lambda = C_s \quad (5.4)$$

unde:

J este momentul de inerție raportat la arborele motorului;

C_s : cuplul rezistent;

p : numărul de perechi de poli;

α : unghiul intern al motorului sincron;

$D = \frac{M_5}{15,7}$, M_5 fiind cuplul asincron corespunzător al unei cării $s = 0,05$, iar

$$C_{\max} \sin \alpha + \frac{1}{2} C_{\max} \sin 2\alpha = \frac{P_1 - \Delta P_1}{\Omega_1}, \quad (5.5)$$

în care: P_1 este puterea absorbită de motorul sincron de la rețea;

ΔP_1 : pierderile în stator;

Ω_1 : viteza unghiulară sincronă.

Regimul termic al motorului, considerat ca un corp omogen în care au loc pierderile ΔP_1 în stator și ΔP_e în excentrație, se studiază pe baza ecuației diferențiale a încălzirii [21]:

$$T_i \frac{d\theta}{dt} + \theta = \theta_{\max} \quad (5.6)$$

unde: θ este încălzirea (supratemperatura) motorului;

$$\theta_{\max} = \frac{\Delta P_1 + \Delta P_e}{\alpha_r S_r} = \text{încălzirea maximă(de regim);}$$

$T_i = \frac{cm}{\alpha_r S_r}$ - constanta de timp a încălzirii, considerată aceeași cu constanta de timp a răcirii;

α_r : coeficientul de transmisie termică globală a căldurii;

S_r : suprafața exterioară de cedare a căldurii.

Mărimile și parametrii care intervin în ecuațiile (5.1), (5.2), (5.3), (5.4), (5.5), (5.6) sunt:

(5.1) u_1, R_1, i_1, ψ_1, t ;

(5.2) U_e, R_e, i_e, ψ_e, t ;

(5.3) R_d, i_d, ψ_d, t ;

R_q, i_q, ψ_q, t ;

(5.4) $J, \alpha, t, D, C_{\max}, C_s$;

(5.5) $C_{max}, \ell, P_1, \Delta P_1, \Omega;$

(5.6.) $T_i, \theta, t, \theta_{max}.$

Parametrii p și ξ fiind adimensionali și legați direct de alte mărimi (Ω , și I_e) nu au fost luati în considerație. În total numărul mărimilor și parametrilor este $m=26$, dintre care numai $m'=12$ sunt de natură diferită, în sensul că au dimensiuni distincte.

Pe baza teoremei $\tilde{\pi}$ [124,126], numărul criteriilor de similitudine este:

$$n_s = m - k, \quad (5.7)$$

unde k este numărul parametrilor independenți (a căror valori se pot alege arbitrar). Pentru determinarea lui k , se scriu mai întîi relațiile dimensionale în sistemul de unități SI ale celor m' mărimi.

Aceste relații dimensionale sunt:

$$\begin{aligned} [u_1] &= L^2 M^1 T^{-3} I^{-1} R^0 K^0; \\ [R_1] &= L^2 M^1 T^{-3} I^{-2} R^0 K^0; \\ [i_1] &= L^0 M^0 T^0 I^1 R^0 K^0; \\ [\Psi_1] &= L^2 M^1 T^{-2} I^{-1} R^0 K^0; \\ [t] &= L^0 M^0 T^1 I^0 R^0 K^0; \\ [J] &= L^2 M^1 T^0 I^0 R^{-2} K^0; \\ [\ell] &= L^0 M^0 T^0 I^0 R^1 K^0; \\ [D] &= L^2 M^1 T^{-1} I^0 R^{-2} K^0; \\ [C_{max}] &= L^2 M^1 T^{-2} I^0 R^{-1} K^0; \\ [P_1] &= L^2 M^1 T^{-3} I^0 R^0 K^0; \\ [\Omega] &= L^0 M^0 T^{-1} I^0 R^1 K^0 \\ [\theta] &= L^0 M^0 T^0 I^0 R^0 K^1 \end{aligned} \quad (5.8)$$

unde R este unitatea radian pentru unghi iar K este unitatea pentru temperatură absolută (grad Kelvin). Prin logaritmare se obține un sistem de ecuații liniare, cu următoarea matrice a coeficienților (puterile dimensiunilor fundamentale):

$$\left[\begin{array}{cccccc} 2 & 1 & -3 & -1 & 0 & 0 \\ 2 & 1 & -3 & -2 & 0 & 0 \\ 0 & 0 & 0 & 1 & 0 & 0 \\ 2 & 1 & -2 & -1 & 0 & 0 \\ 0 & 0 & 1 & 0 & 0 & 0 \\ 2 & 1 & 0 & 0 & -2 & 0 \\ 0 & 0 & 0 & 0 & 1 & 0 \\ 2 & 1 & -1 & 0 & -2 & 0 \\ 2 & 1 & -2 & 0 & -1 & 0 \\ 2 & 1 & -3 & 0 & 0 & 0 \\ 0 & 0 & -1 & 0 & 1 & 0 \\ 0 & 0 & 0 & 0 & 0 & 1 \end{array} \right] \quad (5.9)$$

Numărul k al mărimilor independente este egal cu ordinul celui mai superior determinant conținut de matricea coeficientelor. Rezultă $k = 5$.

Deci, numărul criteriilor de similitudine este:

$$n_s = 26 - 5 = 21,$$

iar formele posibile de scriere a acestora, rezultate din considerarea tuturor combinațiilor posibile privind alegerea din cele 26 de mărimi și parametri ai celor $k=5$ mărimi independente, este:

$$C_{21}^5 = 20349.$$

Să observă, deasemenea, că nu este necesară scrierea relațiilor dimensionale pentru cele $m=26$ mărimi și parametri, deoarece mărimile și parametrii de aceeași natură au aceleași dimensiuni. Ca urmare, este suficientă scrierea acestor relații numai pentru cele $m' = 12$ mărimi și parametri.

Se aleg ca mărimi independente: u_1, R_e, t, C_{\max} și θ , cu care se obțin următoarele criterii de similitudine (rapoarte adimensionale):

$$\tilde{\pi}_1 = \frac{R_1}{R_e} ; \quad \tilde{\pi}_2 = \frac{u_1}{U_e} ; \quad \tilde{\pi}_3 = \frac{i_e R_e}{u_1} ; \quad \tilde{\pi}_4 = \frac{i_1 R_1}{u_1} ;$$

$$\tilde{\pi}_5 = \frac{J u_1^2}{C_{\max}^2 \cdot R_1 \cdot t} ; \quad \tilde{\pi}_6 = \frac{\theta_{\max}}{\theta} ; \quad \tilde{\pi}_7 = \frac{\Delta P_1 \cdot R_1}{u_1^2} ;$$

$$\tilde{\pi}_8 = \frac{i_e^2 R_e}{P_1} ; \quad \tilde{\pi}_9 = \frac{T_1}{t} ; \quad \tilde{\pi}_{10} = \frac{\Delta L_1 C_{\max} R_1}{u_1^2} ;$$

$$\begin{aligned}\tilde{\pi}_{11} &= \frac{u_1 i_1}{U_e i_e} ; \quad \tilde{\pi}_{12} = \frac{C_s}{u_1 i_1 t} ; \quad \tilde{\pi}_{13} = \frac{R_d}{R_e} ; \\ \tilde{\pi}_{14} &= \frac{R_q}{R_e} ; \quad \tilde{\pi}_{15} = \frac{i_d^2 R_d}{U_e R_e} ; \quad \tilde{\pi}_{16} = \frac{i_q^2 R_q}{U_e R_e} ; \\ \tilde{\pi}_{17} &= \frac{D \Omega_1}{C_{\max}} ; \quad \tilde{\pi}_{18} = \frac{\psi_q}{u_1 t} ; \quad \tilde{\pi}_{19} = \frac{\psi_1}{i_1 R_1 t} ; \quad \tilde{\pi}_{20} = \frac{\psi_e}{i_e R_e t} ; \quad \tilde{\pi}_{21} = \frac{\psi_d}{u_1 t}\end{aligned}\quad (5.10)$$

Rapoartele care reprezintă criteriile de similitudine s-au format având în vedere că fiecare trebuie să conțină cel puțin una din mărimile alese ca independente, și o combinație de mărimi alese dintre cele $m-k=21$, astfel ca raportul care reprezintă criteriul de similitudine să rezulte adimensional, iar în criteriile de similitudine să fie cuprinse toate mărimile.

Similitudinea între motorul sincron original și modelul său este asigurată de condiția:

$$\tilde{\pi}_j = \text{idem } (j = 1, 2, \dots, 21). \quad (5.11)$$

In criteriile de similitudine (5.10) unele mărimi și parametri sunt funcții neliniare de curent sau de unghiul de rotație. Ca urmare, la criteriile de mai sus trebuie adăugate și criterii suplimentare [126].

Interpretarea criteriilor de similitudine

1. Criteriul $\tilde{\pi}_{17}$ arată că, în condițiile alimentării modelului tot de la rețea de frecvență industrială, viteza unghiulară sincronă Ω_1 fiind aceeași, raportul D/C_{\max} trebuie să fie același la model ca și la original.

2. In mod inevitabil, constanta de timp a încălzirii T_i la model va fi mai mică decât la original. Aceasta conduce, conform criteriului $\tilde{\pi}_9$, la schimbarea scării timpului pentru model.

3. Rezistențele electrice la model sunt, datorită secțiunii conductoarelor, mai mari decât la original, iar inducțivitățile mai mici, ceea ce conduce inevitabil la concluzia că la model constantele electromagnetice sunt mai mici decât la original, ceea ce, conform criteriilor $\tilde{\pi}_{19}$ și $\tilde{\pi}_{20}$, conduce la aceeași concluzie: necesitatea schimbării scării timpului.

4. Iată se păstrează, în cazul modelării motoarelor de joasă tensiune, pentru model aceeași tensiune u_1 ca și pentru original, conform criteriului $\tilde{\pi}_4$ curentul absorbit de motor i_1

trebuie să scadă în raportul în care a crescut rezistența R_1 a modelului față de original.

5. Conform criteriului $\tilde{\gamma}_{10}$, dacă u_1 și Ω_1 sunt aceleasi la model și la original, cuplul maxim trebuie să scadă la model în raportul în care crește rezistența.

6. Criteriul $\tilde{\gamma}_{11}$ arată că raportul între puterea aparentă și puterea de excitație trebuie să fie același la model și la original.

7. Criteriul $\tilde{\gamma}_5$ permite determinarea momentului de inertie la model.

8. Încălzirea și încălzirea maximă trebuie să fie în același raport la model și la original (criteriul $\tilde{\gamma}_6$).

Analizarea și a celorlalte criterii de similitudine permite aprecierea cantitativă și a rapoartelor în care trebuie să se găsească și celealte mărimi care caracterizează construcțiv modelul și originalul. Deoarece aceste mărimi nu intervin în caracterizarea motorului sincron din punct de vedere al funcționării în cadrul sistemului de acționare studiat, nu se mai analizează aici.

Din cele arătate mai sus rezultă că, cel puțin teoretic, este posibilă modelarea simultană prin similitudine fizică a fenomenelor electromagnetice, mecanoenergetice și termice ce au loc în motorul sincron folosit în sistemele de acționare electrică.

Practic însă este dificil să se respecte egalitatea simultană a tuturor criteriilor de similitudine corespunzătoare acestor fenomene, ceea ce conduce la necesitatea modelării parțiale numai a celor fenomene care prezintă interes în problema de rezolvat.

Pornind de la cele arătate mai sus, s-a realizat de către autor un model al unui motor sincron, care va fi prezentat în capitolul următor.

6. MODELUL EXPERIMENTAL AL SISTEMULUI DE ACTIONARE AL UNEI STATII DE COMPRESOARE

6.1. Punerea problemei

In întreprinderile industriale necesarul de aer comprimat utilizat în procesele tehnologice este asigurat în prezent de către compresoarele pentru aer cu piston. Acestea funcționează grupate în stații de compresoare, amplasate de regulă în centrele de greutate ale rețelei de distribuție. In întreprinderile miniere în special, unde consumul de aer comprimat este mare, în stațiile de compresoare funcționează obisnuit 2-5 agregate simultan, iar în aceeași întreprindere se găsesc amplasate mai multe stații. Frecvent, stațiile de compresoare din întreprinderile miniere sunt unități energetice distințe, amplasate în locuri izolate și alimentate de la sistemul energetic prin linii electrice de lungime însemnată. In multe din aceste stații funcționează alături de compresoarele pentru aer cu piston, acționate de motoare sincrone, și alte utilaje (pompe, ventilatoare, mașini de extracție,etc.), acționate cu motoare asincrone.

In momentul de față, la noi în țară se utilizează aproape în exclusivitate compresoarele pentru aer fabricate la I.C.M. Reșița, de tip 1V15, 2V30 și 3V45 (seria veche de fabricație) și L25, L50 și L100 (seria nouă de fabricație). Parametrii acestor compresoare și ai motoarelor sincrone care le acționează sunt date în anexă.

La toate aceste tipuri de compresoare, excitația motorului sincron se alimentează fie de la un generator de curent continuu (excitatoare), acționat individual sau de la arborele motorului sincron, fie de la un redresor trifazat prevăzut cu prize pe transformator.

In condițiile în care economisirea energiei electrice reprezintă un deziderat major al economiei naționale, optimizarea regimului de funcționare al motoarelor sincrone de acționare ale compresoarelor pentru aer, în sensul reducerii pierderilor de energie, este deosebit de actuală. Dar sistemul actual de alimentare al excitării, precum și necesitatea funcționării neîntrerupte a stațiilor de compresoare reale, fac deosebit de dificilă sau chiar imposibilă experimentarea într-o stație reală.

Aceasta a condus la necesitatea realizării în laborator a unui model experimental al unei stații de compresoare, pe care să se poată experimenta metodele de optimizare propuse și un sistem de reglare automată a excitației motoarelor sincrone original, având la bază aceleași metode.

6.2. Schema bloc a modelului experimental

La elaborarea schemei modelului experimental s-a avut în vedere o stație reală de compresoare[139], care a fost studiată îndeaproape în cadrul unui contract de cercetare. În această stație erau în funcțiune la data efectuării măsurătorilor următoarele utilaje:

- compresor 2V30 (motor sincron $P_N = 200 \text{ kW}$)
- compresor 2V30 (motor sincron $P_N = 200 \text{ kW}$)
- pompă tip JIUL (motor asincron $P_N = 55 \text{ kW}$)
- compresor tip EC-lo (motor asincron $P_N = 75 \text{ kW}$)

Dealtfel, această stație a fost studiată, sub aspectul minimalizării pierderilor de energie prin repartizarea optimă a puterii reactive, în cadrul capitolului 3. Din acest motiv, nu se mai indică aici parametrii nominali și de funcționare ai utilajelor și motoarelor electrice, aceștia fiind dați în capitolul 3. În același capitol s-a indicat metoda de calcul a puterii reactive pe care trebuie să o asigure fiecare motor sincron pentru ca pierderile pe ansamblul stației să fie minime, calculul făcîndu-se în ipoteza că puterea reactivă totală care trebuie repartizată motoarelor sincrone $Q_t = \text{const.}$ ori, în practică aceasta corespunde unor intervale de timp destul de scurte. Prin conectarea și deconectarea unor utilaje de la rețea, prin variația încărcării acestora, se modifică în limite largi și puterea reactivă care trebuie repartizată motoarelor sincrone, ceea ce face ca, la schimbări frecvente ale puterii reactive, personalul de deservire să nu mai poată interveni în timp util asupra excitației motoarelor sincrone.

ÎnPornind de la aceste considerante, s-a conceput un sistem original de reglare automată a excitației motoarelor sincrone, care are la bază metodele de optimizare prezentate în capitolul 3. Acest sistem a fost realizat în întregime de către autor, și aplicat modelului experimental a cărui schemă bloc este prezentată în figura 6.1.

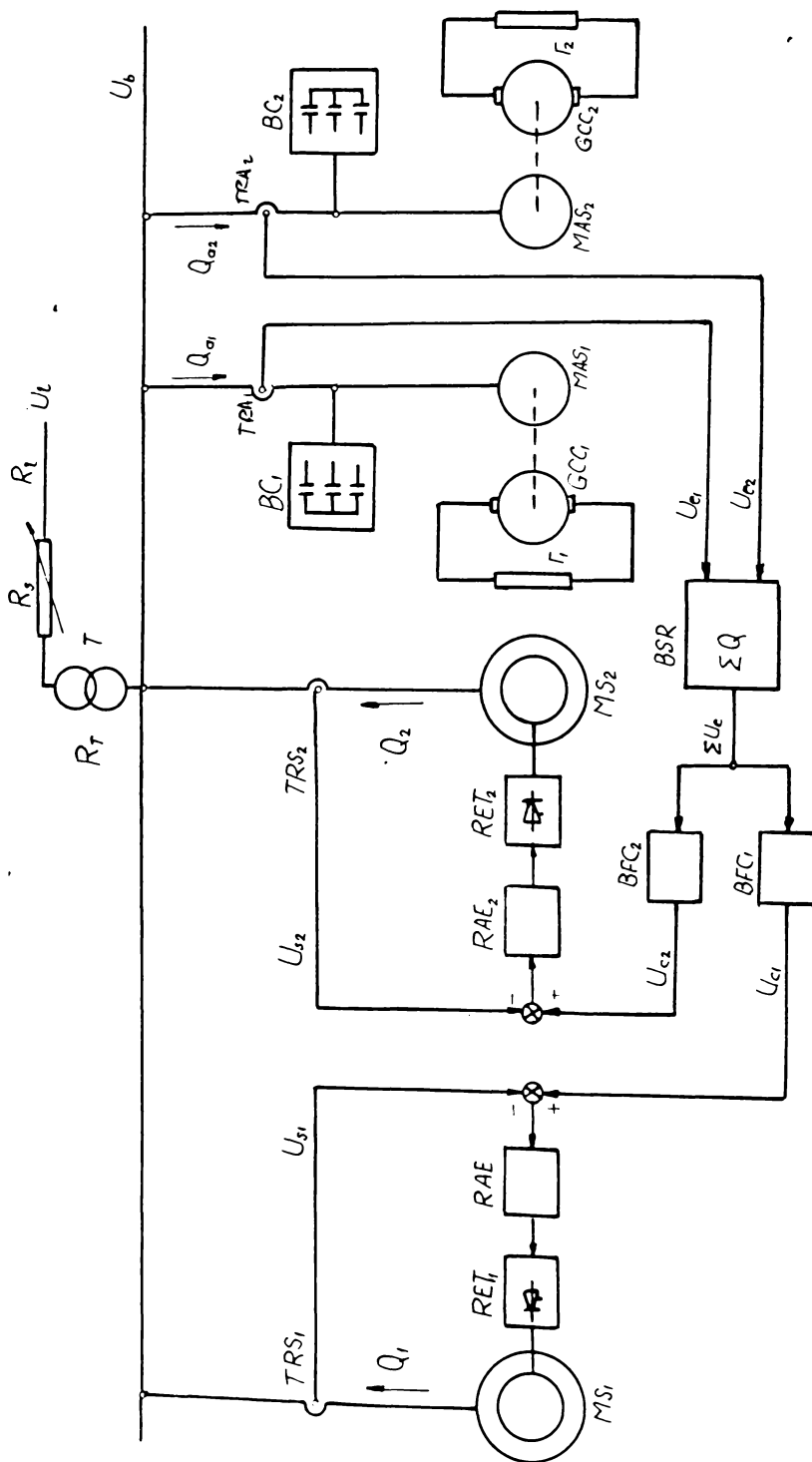


Fig. 6.1. Schema bloc a modelului experimental al stației de compresoare.

Modelul experimental constă din două motoare sincrone MS_1 și MS_2 , care modelează motoarele sincrone reale, realizate deasemenea de către autor, și care vor fi prezentate la punctul 6.2. Acestea se alimentează de la sistemul de bare al stației prin traductoarele de putere reactivă TRS_1 și TRS_2 . Excitația motoarelor sincrone este asigurată de la redresoarele de excitație cu tiristoare RET_1 și RET_2 . Redresoarele de excitație sunt comandate de către sistemele de reglare automată a excitației RAE_1 și RAE_2 . La intrările de reacție ale acestora se aduc semnale în funcție de puterile reactive ale motoarelor sincrone de la traductoarele de putere reactivă TRS_1 și TRS_2 . La intrările de prescriere se aduc semnalele de la ieșirea blocurilor de comandă BFC_1 și BFC_2 .

In stație, denumire dată în continuare modelului experimental, funcționează și două motoare asincrone MAS_1 și MAS_2 . Acestea se alimentează de la barele stației prin traductoarele de putere reactivă TRA_1 și TRA_2 , care sunt identice cu traductoarele TRS_1 și TRS_2 , fiind realizate integral de către autor. Semnalele de la ieșirea traductoarelor TRA_1 și TRA_2 sunt insumate în blocul de insumare a puterii reactive BSR . Semnalul de la ieșirea acestui bloc, proporțional cu suma puterilor reactive a celor două motoare asincrone, este prelucrat de blocurile de formare a semnalelor de comandă BFC_1 și BFC_2 . Acestea au implementate relațiile de optimalitate stabilite în capitolul 3, atât pentru repartiția optimă a puterii reactive, cât și pentru cazul funcționării unui singur motor, cînd se determină pentru aceasta puterea reactivă optimă, care asigură pierderi minime pe ansamblul stației.

Deoarece variația sarcinii motoarelor asincrone în limite largi conduce la variații mici a puterii reactive absorbite, pentru o mai largă posibilitate de experimentare s-au prevăzut bateriile de condensatoare BC_1 și BC_2 , legate la bornele motoarelor asincrone. Acestea sunt prevăzute cu modificare în trepte a capacitatii și deci și a puterii reactive.

Motoarele sincrone acționează fiecare cîte un compresor pentru aer cu piston. S-au utilizat în acest scop două compresoare pentru aer cu piston de pe autovehicolele de tip „Roman Diesel”, care au corespuns pe deplin necesităților cercetării, avînd următoarele caracteristici:

- Turația nominală: 750 rot/min

- Presiunea nominală de refulare: $p_2 = 7 \text{ at}(68,67 \cdot 10^4 \text{ N/m}^2)$;

- Debitul: $G = 2,887 \cdot 10^{-2} \text{ m}^3/\text{s}$.

Cu aceste date, din relația (2.3) rezultă puterea necesară pentru acționare, considerind compresia politropică:

$$P_p = \frac{n}{n-1} G \cdot p_1 v_1 \left[\left(\frac{p_2}{p_1} \right)^{\frac{n}{n-1}} - 1 \right] = \\ = \frac{1,3}{1,3-1} 2,887 \cdot 10^{-2} \cdot 9,81 \cdot 10^4 \cdot 0,0788 \cdot \left[\left(\frac{68,67 \cdot 10^4}{9,81 \cdot 10^4} \right)^{\frac{1,3}{1,3-1}} - 1 \right] = 548 \text{ W},$$

cu: $n = 1,3$

$p_1 = 9,81 \cdot 10^4 \text{ N/m}^2$

$v_1 = 0,0788 \text{ m}^3/\text{N}$.

Experimental s-au determinat, prin acționare în gol, pierderile mecanice în compresor:

$$P_c = 420 \text{ W}$$

Ca urmare, s-a considerat pentru motorul sincron model puterea nominală:

$$P_N = 1000 \text{ W},$$

adică 1/200 din puterea motorului sincron real ($P_N = 200 \text{ kW}$).

Compresorul real are parametrii: Tip: 2V-30;

- Turația nominală: 300 rot/min;

- Presiunea nominală de refulare: $p_2 = 7 \text{ at}(68,67 \cdot 10^4 \text{ N/m}^2)$;

Debitul nominal: $30 \text{ m}^3/\text{min}$. ($G = 6,341 \text{ N/s}$).

Se observă că raportul debitelor celor două compresoare (cel real G_r și al modelului G_m) este:

$$\frac{G_m}{G_r} = \frac{2,887 \cdot 10^{-2}}{6,341} = 0,0045,$$

adică foarte apropiat de raportul puterilor nominale ale motoarelor sincrone ($1/200 = 0,005$).

Pentru modelarea pompelor din stație, caracterizate prin aceea că absorb o putere constantă în timp, s-au utilizat două generatoare de curent continuu GCC_1 și GCC_2 , care debitează pe rezistențele r_1 și r_2 . Excitațiile separate ale generatoarelor, ale căror circuite nu sunt reprezentate în figura 6.1, sunt alimentate cu tensiune continuă variabilă, permitând astfel va-

rierea în limite largi a sarcinii motoarelor asincrone.

Stația model este alimentată fie direct, fie prin transformatorul T, având raport de transformare 1/1, pentru a simula transformatorul din stația reală (v.cap.3), având puterea aparentă nominală $S_N = 5 \text{ kVA}$ și rezistența echivalentă $R_T = 0,9 \Omega$. Linia de alimentare este constituită dintr-un cablu trifazat de lungime $l = 20 \text{ m}$ și secțiune $s = 4 \text{ mm}^2$, având $R_l = 0,0895 \Omega$. Pentru a simula linii de lungime mai mare, s-au inserat cu cablul pe fiecare fază rezistențe suplimentare R_s , astfel că rezistența totală este

$$R = R_T + R_l + R_s = 0,9895 + R_s$$

6.3. Motoarele sincrone

Pentru proiectarea și realizarea motoarelor sincrone model s-au avut în vedere următoarele elemente:

- motoarele sincrone realizate să modeleze, conform celor arătate în capitolul 5, cît mai complet motoarele sincrone reale;
- realizarea fizică a motoarelor model să fie posibilă, utilizînd cît mai multe elemente constructive de la motoare electrice realizate industrial, pentru a nu crește exagerat prețul de cost al acestora.

Se face aici precizarea că astfel de motoare sincrone, nu s-au putut procura, deoarece industria nu le produce.

Ca elemente mecanice constructive a motoarelor sincrone s-au utilizat carcasa, scuturile și arborele de la motoarele asincrone cu inele de tip ASM-132 Ma-8, având puterea nominală 4 kW și turația sincronă 750 rot/min. Diferența mare între puterea nominală a acestuia și cea a modelului realizat se justifică prin necesitatea obținerii de valori ale parametrilor modelului care să conducă la o respectare cît mai bună a criteriilor de similitudine determinate anterior. Tot de la motorul asincron s-a utilizat și pachetul de tole statoric, deși aceasta a creat dificultăți deosebite atât la proiectare, execuție și respectarea cu aproximație a unor criterii de similitudine. S-a preferat această soluție deoarece proiectarea completă a circuitului magnetic a condus la dimensiuni ale acestuia care necesitau ștanță specială, nestandardizată, imposibilitatea utilizării celorlalte elemente constructive, și în final la

imposibilitatea realizării motorului sincron.

Rotorul motorului sincron s-a realizat prin turnare din oțel cu conținut redus de carbon; construcția rotorului este arătată în figura 6.2.

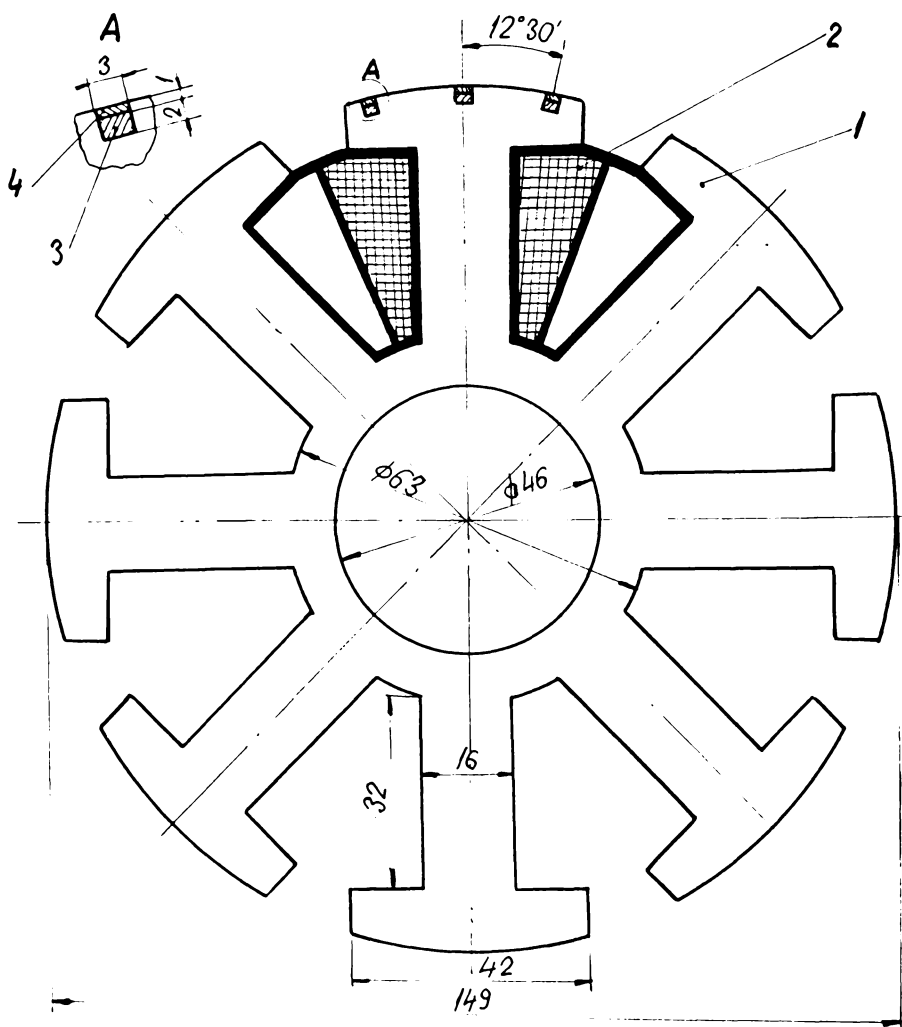


Fig.6.2. Schița constructivă a rotorului motorului sincron: 1-rotorul propriuzis; 2-bobinaj de excitație; 3-bară din cupru; 4-placă de oțel pentru închiderea crestăturii.

Bobinajul de excitație s-a realizat prin bobinare directă pe poli. Pentru pornire rotorul s-a prevăzut cu coliv

de pornire avînd 24 bare din cupru de secțiune 3x2 mm.

Datele nominale ale motorului sincron model sînt următoarele:

Puterea nominală la arbore:

$$P_N = 1 \text{ kW}$$

Tensiunea nominală de linie:

$$U_{LN} = 380 \text{ V}$$

Curentul nominal:

$$I_{LN} = 2,71 \text{ A}$$

Factor de putere nominal:

$$\cos \varphi_N = 0,8 \text{ cap}$$

Frecvența nominală:

$$f_N = 50 \text{ Hz}$$

Curent de excităție nominal

$$I_{eN} = 1,25 \text{ A}$$

Tensiunea de excităție nominală:

$$U_{eN} = 100 \text{ V}$$

Rândamentul nominal:

$$\eta_N = 0,7$$

Supraîncărcarea statică:

$$\frac{C_{max}}{C_N} = 2,3$$

Cuplul de pornire:

$$\frac{C_p}{C_N} = 1,5$$

Curentul de pornire:

$$\frac{I_p}{I_N} = 5$$

Cuplul de intrare în sincronism:

$$C_i = 0,8 C_N$$

Turația nominală:

$$n_N = 750 \text{ rot/min}$$

Conexiune: Y.

Datele constructive ale motorului sincron sînt prezentate în anexa 2.

După execuție, cele două motoare sincrone model au fost încercate pe stand, în vederea determinării caracteristicilor funcționale și a respectării criteriilor de similitudine.

Pentru o privire de ansamblu asupra similitudinii între model și motorul sincron original, se prezintă tabelul 6.1, unde s-au concentrat parametrii care intervin în scrierea criteriilor de similitudine pentru cele două motoare. Din lipsa unor date pentru motorul real nu s-au putut determina Ψ_d , Ψ_q , i_d , i_q , Ψ_e ; ca urmare, criteriile în care intervin aceste mărimi nu au putut fi calculate. Dealtfel, aceste criterii conținînd date referitoare la colivia de pornire intervin în procesele de pornire și de amortizare a oscilațiilor rotorului, și deci, în problema abordată în această lucrare nu prezintă un interes deosebit.

Tabelul 6.1.

Parametrul	Motor sincron $P_N = 200 \text{ kW}$	Motor sincron $P_N = 1 \text{ kW}(\text{model})$
$R_1 [\Omega]$	0,0228	7,163
$R_e [\Omega]$	0,293	85,89
$U_{lf} [V]$	220	220
$U_e [V]$	51	75,6
$I_e [A]$	182	0,88
$I_l [A]$	369	1,5
$J [kg \cdot m^2]$	112,5	0,056
$C_{max} [Nm]$	15925	32
$\theta_{max} [^\circ C]$	100	80
$\theta [^\circ C]$	80	59
$\Delta P_1 [W]$	9313	48,35
$P_1 [W]$	220000	900
$T_1 [s]$	5800	2300
$\Omega_1 [rad/s]$	31,4	78,5
$\lambda [rad]$	0,38	0,44
$D [Nms/rad]$	250	0,24
$C_s [Nm]$	5150	8

Mărimile centralizate în tabelul 6.1 au fost obținute în cea mai mare parte prin măsurători directe asupra celor două motoare sincrone, aflate în funcțiune la un regim de funcționare apropiat de cel nominal. Unele dintre mărimi au fost calculate cu relații cunoscute, pe baza mărimilor măsurate, iar pentru T_i a motorului sincron real s-a folosit o valoare indicată în [3]. Pentru C_s s-a folosit valoarea medie a acestuia.

Deoarece realizarea modelului motorului sincron s-a făcut utilizând elemente constructive de la un motor asincron, adică miezul magnetic statoric, arborele și carcasa, nu a fost posibil calculul parametrilor modelului pornind de la parametrii motorului real, pe baza criteriilor de similitudine, procedîndu-se invers: s-a proiectat modelul, avîndu-se în vedere pe cît a fost posibil, obținerea parametrilor rezultați din criteriile de similitudine, iar în final, prin formarea criteriilor de similitudine, s-a verificat similitudinea dintre model și motorul sincron real.

Cu aceste precizări pe baza datelor din tabelul 6.1 s-au calculat criteriile de similitudine, care sănă redate centralizat în tabelul 6.2. Pentru model s-a schimbat scara timpului, astfel că timpul pentru model t_m este:

$$t_m = \frac{t}{K_t}, \quad (6.1)$$

unde t este timpul real, [s], iar K_t este scara timpului, dedusă din criteriul $\tilde{\pi}_9$, și egală cu raportul celor două constante de timp ale încălzirii, a motorului real T_{ir} și a modelului T_{im} :

$$K_t = \frac{T_{ir}}{T_{im}} = \frac{5800}{2300} = 2,52$$

Analizînd datele prezentate în tabelul 6.2, se observă

că criteriile de similitudine

Tabelul 6.2.

Criteriul	Motor sincron $P_N = 200$ kW	Motor sincron $P_N = 1$ kW(model)
1	2	3
$\tilde{\pi}_1 = \frac{R_1}{R_e}$	0,078	0,083
$\tilde{\pi}_2 = \frac{U_{lf}}{U_e}$	4,3	2,91
$\tilde{\pi}_3 = \frac{I_e R_e}{U_{lf}}$	0,242	0,343

	2	3
$\tilde{\pi}_4 = \frac{I_1 R_1}{U_{1f}}$	0,04	0,048
$\tilde{\pi}_5 = \frac{J \cdot U_{1f}^2}{C_{max}^2 \cdot R_1 \cdot t}$	$\frac{0,941}{t}$	$\frac{0,369}{t_m} = \frac{0,93}{t}$
$\tilde{\pi}_6 = \frac{\theta_{max}}{\theta}$	1,25	1,35
$\tilde{\pi}_7 = \frac{4P_1 R_1}{U_{1f}^2}$	0,0045	0,007
$\tilde{\pi}_8 = \frac{I_e^2 R_e}{P_1}$	0,044	0,07
$\tilde{\pi}_9 = \frac{T_i}{t}$	$\frac{5800}{t}$	$\frac{2300}{t_m} = \frac{5800}{t}$
$\tilde{\pi}_{10} = \frac{L_1 C_{max} R_1}{U_{1f}^2}$	0,24	0,35
$\tilde{\pi}_{11} = \frac{U_1 I_1}{U_e I_e}$	8,7	5
$\tilde{\pi}_{12} = \frac{C_s \cdot l}{U_1 I_1 t}$	$\frac{0,024}{t}$	$\frac{0,01}{t_m} = \frac{0,025}{t}$
$\tilde{\pi}_{17} = \frac{D \Omega_1}{C_{max}}$	0,49	0,58

$\tilde{\pi}_1, \tilde{\pi}_4, \tilde{\pi}_5, \tilde{\pi}_6, \tilde{\pi}_9$ și $\tilde{\pi}_{12}$ sunt respectate cu o precizie foarte bună, iar criteriile $\tilde{\pi}_2, \tilde{\pi}_3, \tilde{\pi}_{10}$ și $\tilde{\pi}_{17}$ au abateri cuprinse între circa 15% și 30%. Pentru criteriile $\tilde{\pi}_7, \tilde{\pi}_8$ abaterile sunt de 35%, iar cea mai mare abatere, de 42% o prezintă criteriul $\tilde{\pi}_{11}$. Urmărind cu atenție criteriile care prezintă abateri mai mari, se observă că acestea cuprind de regulă grupări de mărimi care exprimă pierderile în excitație ($\tilde{\pi}_8$) și pierderile în stator ($\tilde{\pi}_7$). Cum aceste pierderi sunt mai mari la model (care are randamentul 0,70 față de 0,85 al motorului real), rezultă că s-ar fi îmbunătățit similitudinea prin realizarea modelului cu pierderi mai mici în stator și excitație. Aceasta se putea realiza dacă s-ar fi mărit diametrul mașinii, ceea ce însă ar fi condus la creșterea momentului de inerție,

și deci la afectarea altor criterii.

Se poate totuși concluziona, pe baza celor arătate mai sus, că modelarea motorului sincron este posibilă. Modelul realizat, deși este similar cu originalul numai sub aspectele arătate, pentru tema abordată în prezența lucrare corespunde pe deplin scopului urmărit.

In continuare, se prezintă sub formă tabelară rezultatele încercării celor două motoare sincrone în laborator. Motoarele sincrone au fost încercate în gol, în gol cu compresorul și în sarcină, la o presiune de refulare de $p_2=6,2$ at. Puterea reactivă se consideră pozitivă cind este produsă de motorul sincron, și negativă atunci cind este consumată. La fiecare tabel se indică regimul de încercare și puterea absorbită P_a de motor la proba respectivă. La proba de mers în sarcină sînt date și pierderile în excitație P_e , pierderile în stator P_l , pierderile totale P_t și creșterea de pierderi ΔP (v.3.1).

Motor sincron MS₁

Mers în gol

$P_{ao} = 150$ W

Tabelul 6.3.

I_l [A]	I_e [A]	U_e [V]	$\cos \varphi$	Q [Var]
1	0,38	29,6	0,285	-674,7
0,8	0,45	37	0,335	-519
0,6	0,52	41	0,445	-380,6
0,4	0,60	47	0,63	-225
0,23	0,72	56	1	0
0,4	0,83	65	0,66	207,6
0,6	0,96	75	0,39	363,3
0,8	1,04	82,2	0,295	536,5
1	1,13	90,4	0,235	685

Motor sincron MS₁

Mers în gol cu compresorul ($p_2 = 0$)

$P_{aco} = 492 \text{ W}$

Tabelul 6.4

I_L [A]	I_e [A]	U_e [V]	$\cos \varphi$	Q [VAr]
1,4	0,28	22,5	0,440	-903
1,2	0,35	28,1	0,510	-744
1	0,42	33,5	0,590	-588,2
0,8	0,5	40	0,720	-398
0,6	0,7	56	1	0
0,8	0,92	74,4	0,710	398
1	1,03	84	0,570	581,3
1,2	1,14	94	0,475	747,4
1,4	1,24	104	0,410	899,6

Motor sincron MS₁

Mers în sarcină ($p_2 = 6,4 \text{ at}$)

$P_a = 780 \text{ W}$

Tabelul 6.5.

I_L [A]	I_e [A]	U_e [V]	$\cos \varphi$	Q [VAr]	P_e [W]	P_L [W]	P_t [W]	ΔP [W]
2	0,235	20	0,54	-1124,5	4,7	83,74	88,44	-
1,8	0,295	25	0,59	-968,8	7,37	67,83	75,2	-
1,5	0,424	36	0,735	-622,8	15,26	47,1	62,36	-
1,3	0,532	44,8	0,87	-380,6	23,83	35,38	59,21	-
1,15	0,72	59	1	0	42,48	27,68	70,16	0
1,25	0,9	75	0,877	328,7	67,5	32,71	100,21	30,05
1,4	1	83,6	0,815	477,5	83,6	41,03	124,63	54,47
1,6	1,1	92,4	0,735	622,8	101,64	53,59	155,23	85,07
1,85	1,24	105,4	0,65	795,8	130,7	71,65	202,35	132,19

După stabilizarea regimului termic al motorului la mers în sarcină, s-au măsurat rezistențele statorice și a înfășurării de excitație, găsindu-se valorile ($\theta \approx 60^\circ\text{C}$):

$$R_{Al} = 7,108 \Omega$$

$$R_{Bl} = 6,812 \Omega$$

$$R_{Cl} = 7,018 \Omega$$

$$R_{11} = \frac{R_{Al} + R_{Bl} + R_{Cl}}{3} = 6,978 \Omega$$

$$R_{el} = 82,68 \Omega$$

Cu aceste valori s-a determinat temperatura motorului prin metoda rezistenței: $\theta \approx 60^\circ\text{C}$.

Deoarece s-a constatat experimental că motorul funcționează bine, fără a se supraîncălzi se consideră ca valoare nominală a puterii reactive ultima din tabelul 6.5, adică

$$Q_{N1} = 795,8 \text{ VAr},$$

ceea ce corespunde la un curent de excitație maxim admis:

$$I_{el \ max} = 1,24 \text{ A},$$

Cu valorile din rîndurile 6 și 8 ale tabelului 6.5 se formează sistemul de ecuații (3.16):

$$\left. \begin{array}{l} A_1 \left(\frac{328,7}{795,8} \right)^2 + B_1 \frac{328,7}{795,8} = 30,05 \\ A_1 \left(\frac{622,8}{795,8} \right)^2 + B_1 \frac{622,8}{795,8} = 85,07 \end{array} \right\}$$

care conduce la soluțiile:

$$A_1 = 96,53 \text{ W}$$

$$B_1 = 33,02 \text{ W}$$

Deoarece motoarele sincrone sunt racordate la rețea prin cabluri scurte, rezistența acestora se neglijeează, și din relațiile (3.27) rezultă:

$$- a_1 = 2 \cdot \frac{96,53}{795,8} = 3,048 \cdot 10^{-4} \text{ W/VAr}^2$$

$$- b_1 = \frac{33,02}{795,8} = 0,0415 \text{ W/VAr}$$

Pentru motorul sincron MS_2 rezultatele măsurătorilor sunt date în tabelele următoare.

Motor sincron MS_2

Mers în gol

$$P_{ao} = 162 \text{ W}$$

Tabelul 6.6

I_1 [A]	I_e [A]	U_e [V] ^e	$\cos \gamma$	Q [VAr]
0,54	0,5	38	0,46	-339,47
0,31	0,6	46	0,74	-138,56
0,22	0,665	51,5	1	0
0,24	0,7	54,5	0,91	51,96
0,44	0,8	62	0,48	259,8
0,67	0,9	70,2	0,31	433
0,92	1	80	0,24	623,52

Motor sincron MS₂

Mers în gol cu compresorul ($p_2 = 0$)

$P_{aco} = 420 \text{ W}$

Tabelul 6.7.

I_1 [A]	I_e [A]	U_e [V]	$\cos \varphi$	Q [Var]
0,79	0,5	39,8	0,79	-346,4
0,66	0,6	47,8	0,95	-131,63
0,64	0,665	53	1	0
0,65	0,7	56	0,98	86,6
0,75	0,8	63,5	0,82	290,97
0,9	0,9	72	0,66	484,96
1,1	1	81	0,54	665,08
1,45	1,2	98	0,44	900,64
1,7	1,3	106	0,36	1108,48

Motor sincron MS₂

Mers în sarcină ($p_2 = 6,4 \text{ at}$)

$P_a \approx 710 \text{ W}$

Tabelul 6.8

I_1 [A]	I_e [A]	U_e [V]	$\cos \varphi$	Q [Var]	P_e [W]	P_1 [W]	P_t [W]	ΔP [W]
1,25	0,5	40,5	0,85	-381	20,25	33,57	53,82	-
1,15	0,6	48,8	0,965	-166	29,28	28,42	57,7	-
1,1	0,675	55	1	0	37,12	26,00	63,12	0
1,12	0,7	57,5	0,99	51,9	40,25	26,95	67,2	4,08
1,15	0,8	65,7	0,92	259,5	52,56	24,42	76,98	13,86
1,25	0,9	74	0,81	449,8	66,6	33,57	100,17	37,05
1,5	1	82	0,72	615,8	82	48,35	130,35	67,23
1,7	1,1	91	0,64	761,2	100,1	62,1	162,2	99,08
1,9	1,2	99	0,58	899,6	118,8	77,57	196,37	133,25
2,05	1,25	104	0,55	986,1	130	90,3	220,3	157,18

Rezistențele la cald ale înfășurărilor au fost
($0 \approx 60^\circ\text{C}$):

$$R_{A2} = 7,104 \Omega$$

$$R_{B2} = 7,354 \Omega \quad R_{12} = \frac{R_{A2} + R_{B2} + R_{C2}}{3} = 7,163 \Omega$$

$$R_{C2} = 7,032 \Omega$$

$$R_{e2} = 85,89 \Omega$$

Din aceleasi motive ca la motorul sincron MS_1 , pentru motorul sincron MS_2 se consideră:

$$Q_{N2} = 986,1 \text{ VAr}$$

$$I_{e2\max} = 1,25 \text{ A}$$

Cu valorile din rîndurile 6 și 9 ale tabelului 6.8 se formează sistemul de ecuații (3.16):

$$\left. \begin{aligned} A_2 \left(\frac{449,8}{986,1} \right)^2 + B_2 \frac{449,8}{986,1} &= 37,05 \\ A_2 \left(\frac{899,6}{986,1} \right)^2 + B_2 \frac{899,6}{986,1} &= 133,25 \end{aligned} \right\}$$

care conduce la soluțiile:

$$A_2 = 142,25 \text{ W}$$

$$B_2 = 16,36 \text{ W}$$

Cu relațiile (3.27) rezultă:

$$a_2 = 2 \cdot \frac{142,25}{986,1^2} = 2,925 \cdot 10^{-4} \text{ W/VAr}^2$$

$$b_2 = \frac{16,36}{986,1} = 0,0166 \text{ W/VAr}$$

Repartiția optimă a puterii reactive între cele două motoare sincrone rezultă din (3.26):

$$Q_1 \text{ opt} = \frac{\frac{b_1 - b_2}{a_2}}{1 + \frac{a_1}{a_2}},$$

$$Q_2 \text{ opt} = \frac{a_1 Q_1 \text{ opt} + b_1 - b_2}{a_2}.$$

Inlocuind valorile coeficientilor a_1, a_2, b_1, b_2 calculate mai sus se obține pentru puterile reactive optime a celor două motoare sincrone expresiile:

$$Q_1 \text{ opt} = 0,49 Q_t - 42 \quad (6.2)$$

$$Q_2 \text{ opt} = 0,51 Q_t + 42.$$

Se observă că expresiile lui $Q_1 \text{ opt}$ și $Q_2 \text{ opt}$ sunt funcții liniare de Q_t .

Constantele de timp ale motorului sincron, definite în capitolul 2, se calculează cu relațiile [31] :

$$T_a = \frac{x_1}{2\pi f_1}, \text{ unde: } x_1 = \frac{x_d'' + x_q''}{2}$$

$T_e = \frac{x_e}{2\pi f_1 r_e}$, unde x_e este reactanța înfășurării de excitație, iar r_e rezistența înfășurării de excitație, u.r.

$$T_d' = T_e \frac{x_d'}{x_d} ;$$

$$T_d'' = \frac{x_d''}{2 f_1 x_d'} \left(x_{kkd} = \frac{x_{ad}^2}{x_e} \right) \frac{1}{r_{kkd}} ;$$

$$T_{kd} = \frac{x_{kkd}}{2\pi f_1 r_{kkd}} .$$

Parametrii motorului sincron model care intervin în expresiile constantelor de timp, calculați cu relațiile (2.48)... (2.51) și cu relațiile date în [31], pe baza datelor de proiecțare, sînt:

$$x_d'' = 0,2 \text{ u.r.} \quad x_d' = 1,019 \text{ u.r.}$$

$$x_q'' = 0,22 \text{ u.r.} \quad x_d' = 0,3 \text{ u.r.}$$

$$r_1 = 0,02 \text{ u.r.} \quad x_{kkd} = 0,907 \text{ u.r.}$$

$$x_e = 1,039 \text{ u.r.} \quad r_{kkd} = 10,97 \text{ u.r.}$$

$$r_e = 0,015 \text{ u.r.} \quad x_{ad} = 0,903 \text{ u.r.}$$

Cu aceste valori, pentru constantele de timp ale motorului sincron model rezultă valorile:

$$T_a = 0,033 \text{ s}$$

$$T_e = 0,22 \text{ s}$$

$$T_d' = 0,064 \text{ s}$$

$$T_d'' = 23,8 \cdot 10^{-6} \text{ s}$$

$$T_{kd} = 263 \cdot 10^{-6} \text{ s.}$$

6.4. Traductoarele de putere reactivă

La realizarea sistemelor de reglare automată o importanță deosebită o prezintă traductorul, al cărui rol în cazul de față este de a converti mărimea reglată, adică puterea reactivă, într-o mărime proprie sistemului de reglare automată, adică o tensiune continuă. Pentru ca traductorul de putere reactivă să corespundă scopului propus, este necesar ca acesta să îndeplinească cîteva cerințe de bază, și anume:

- la ieșirea traductorului să se obțină un semnal (tensiune continuă) unificat, care să permită introducerea sa comodă în cadrul sistemului de reglare automată;

- pentru întreg domeniul de variație al mărimei de intrare să fie asigurată proporționalitatea între mărimea de intrare și cea de ieșire;

- constanța de timp a traductorului să fie mică, pentru a permite utilizarea lui în sisteme de reglare rapidă;

- nivelul de pulsărie al tensiunii de ieșire să fie redus (sub 1,5%).

In literatura de specialitate se prezintă mai multe variante posibile de realizare a unor astfel de traductoare [127]. Deoarece nu a fost posibilă obținerea traductoarelor necesare (4 bucăți), s-a proiectat și realizat un traductor a cărui schemă de principiu este arătată în figura 6.3. Traductorul este un demodulator tranzistorizat cu două semiperioade

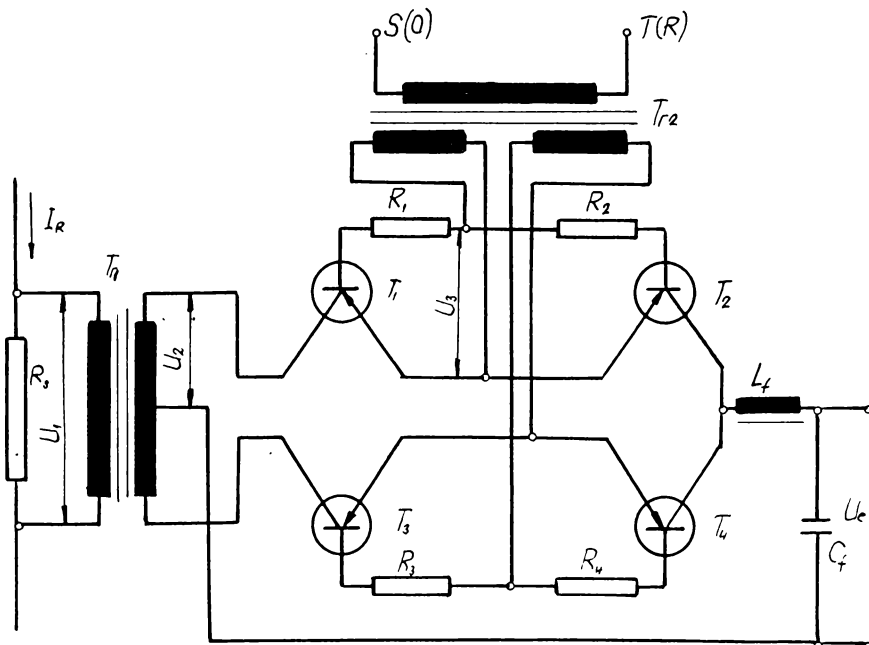


Fig.6.3. Schema de principiu a traductorului de putere reactivă.

realizat cu tranzistoarele T_1-T_4 , comandate de tensiunea de comutare. Tranzistoarele funcționează în regim de cheie. Fiecare din cele două chei este formată din perechile de tranzistoare

re T_1, T_2 și T_3, T_4 legate antiserie. Un asemenea mod de legare a tranzistoarelor prezintă avantajul că reduce derivă de nul, deoarece curentii și tensiunile remanente, determinate de regimul de cheie, se vor compensa reciproc.

Tensiunea de comutare se aplică la baza tranzistoarelor de la înfășurările transformatorului T_{r2} , a cărui înfășurare primară este alimentată între fazele S și T. Alimentarea tranzistoarelor se face cu tensiune alternativă proporțională cu curentul absorbit de consumator, obținută de la transformatorul de adaptare T_{rl} . Acesta este montat ca transformator ridicător de tensiune, fiind alimentat în primar cu cădere de tensiune produsă de curentul fazei R pe șuntul R_s . La aplicarea semiperioadei negative la baza tranzistoarelor din cheie, aceasta va permite trecerea curentului în ambele direcții, funcție de polaritatea tensiunii de intrare.

Dacă în calitate de tensiune de comutare se utilizează, așa cum s-a spus, tensiunea între fazele S și T, atunci traductorul este traductor de curent reactiv, iar dacă se utilizează ca tensiune de comutare tensiunea O-R, traductorul este traductor de curent activ, așa cum rezultă din diagramele tensiunii și curentului de fază, reprezentate în figura 6.4, pentru situația în care traductorul este legat la un motor sincron supraexcitat.

In adevăr, dacă drept tensiune de comutare se utilizează tensiunea de fază $U(0-R)$, atunci o cheie tranzistorizată, de exemplu T_1-T_2 , este deschisă în intervalul $0-\pi$, iar cealaltă cheie va fi deschisă în intervalul $\pi - 2\pi$ (fig. 6.4, b). In acest caz, valoarea medie a tensiunii la ieșirea traductorului, în perioada în care cheia este deschisă, este:

$$U_e = \frac{1}{\pi} \int_{\pi}^{\pi + \gamma} 2 U_2 \sin \omega t d(\omega t) = 0,9 U_2 \cos \gamma \quad (6.3)$$

unde U_2 este tensiunea efectivă la bornele unei jumătăți a înfășurării secundare a transformatorului T_{rl} . Dar U_2 este proporțională cu curentul fazei R, I_R , și deci tensiunea de ieșire a traductorului U_e este proporțională cu $I_R \cos \gamma$, adică cu componenta activă a curentului.

Dacă drept tensiune de comutare se utilizează tensiunea între fazele S și T (care este rotită cu $\frac{\gamma}{2}$ față de tensiunea fazei R), atunci cheile se vor deschide în intervalele $\pi/2 - 3/2\pi$,

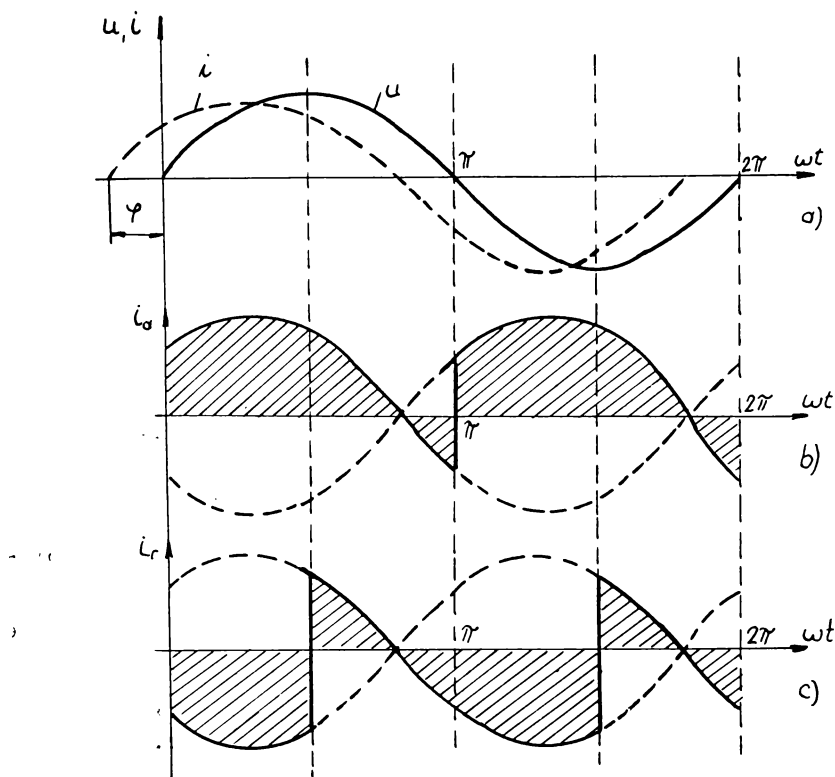


Fig.6.4. Diagramele tensiunii și curentului de fază
 a)diagrama tensiunii și a curentului de fază ale motorului; b) diagrama curentului activ;
 c)diagrama curentului reactiv.

respectiv $3/2\pi - 5/2\pi$ (fig.6.4,c). În acest caz, tensiunea la ieșirea traductorului va fi proporțională cu componenta reactivă a curentului de fază, și îi va corespunde ca semn:

$$U_e = 0,9 U_2 \cos \left(\pm \frac{\pi}{2} + \varphi \right) = 0,9 U_2 \sin \varphi, \quad (6.3'),$$

iar traductorul este de curent reactiv.

Având în vedere că puterea activă se exprimă prin relația $P = 3 U I_a$, U fiind tensiunea de fază și $I_a = I \cos \varphi$ componentă activă a curentului de fază, iar puterea reactivă este $Q = 3 U I_r$, cu $I_r = I \sin \varphi$; atunci în ipoteza $U = \text{ct}$, traductorul poate fi utilizat și ca traductor de putere activă, respectiv reactivă.

Pentru dimensionarea traductorului s-a considerat ca valoare maximă pentru curentul fazei R valoarea

$$I_{R \text{ max}} = 5 \text{ A}$$

Această valoare a fost adoptată în ideea de a permite utilizarea traductorului și la curenți mai mari, prin intermediul unui transformator de curent.

Suntul R_s se alege de valoare cît mai mică, pentru a nu influența circuitul în care se introduce, dar având în vedere obținerea unei căderi de tensiune de valoare convenabilă. Se stabilește pentru sunt valoarea

$$R_s = 0,4 \Omega$$

rezultînd tensiunea în primarul transformatorului Tr_1

$$U_1 = I_{R \text{ max}} R_s = 5 \cdot 0,4 = 2 \text{ V.}$$

Prezența suntului în circuitul de alimentare a motorului, avînd în vedere valoarea sa $R_r = 0,4 \Omega$, la curentul absorbit de motor la sarcină nominală, produce o cădere de tensiune de $\Delta U = I_N R_s = 2,71 \cdot 0,4 = 0,984 \text{ V}$; aceasta raportată de tensiunea nominală de fază $U = 220 \text{ V}$ reprezintă 0,44 %, valoare pe deplin acceptabilă în cazul măsurătorilor efectuate.

Se alege tensiunea maximă la ieșirea traductorului

$$U_e \text{ max} = 7,5 \text{ V.}$$

Din relația (3) punînd $\sin \gamma = 1$, rezultă

$$U_2 = \frac{U_e \text{ max}}{0,9} = \frac{7,5}{0,9} = 8,3 \text{ V}$$

iar raportul de transformare al transformatorului Tr_1 este

$$n_T = \frac{U_1}{U_2} = 0,24$$

Cu aceste valori se poate calcula acum, în ipoteza că transformatorul Tr_2 este alimentat la tensiunea de linie $U_{ST} = 380 \text{ V} = \text{const.}$ și considerînd curentul fazei R pur reactiv ($\sin \gamma = 1$), factorul de transfer al traductorului

$$K_T^r = \frac{\Delta U_e}{\Delta Q} = \frac{U_e \text{ max}}{Q_{\text{max}}} = \frac{7,5}{\sqrt{3} \cdot 380 \cdot 0,24} = 0,0022 \text{ V/VAr.}$$

Tensiunea secundară a transformatorului Tr_2 se stabilește după datele de catalog a tranzistorerelor folosite, care trebuie să fie de comutare, egală cu tensiunea emitor-bază $U_{E \text{ Bo}}$ a

tranzistoarelor. În acest caz

$$U_3 = 7 \text{ V}$$

Rezistoarele R_1, R_2, R_3 și R_4 se aleg din condiția de limitare a curentului de bază al tranzistorului.

În acest caz

$$R_1 = R_2 = R_3 = R_4 = 150 \Omega$$

Transformatoarele Tr_1 și Tr_2 se dimensionează în continuare ca orice transformator de mică putere [91].

Filtrul de la ieșirea traductorului (L_f, C_f) se dimensionează din condiția ca pulsătia tensiunii de ieșire să nu fie mai mare de 1,5% [55]. În aceste condiții constanta de timp a traductorului a rezultat $T_t \approx 8 \mu\text{s}$.

Pe baza datelor calculate mai sus s-au executat 4 traductoare, care au fost etalonate în laborator, utilizând pentru efectuarea măsurătorilor aparate de clasă de precizie 0,2 și 0,5%. Pentru etalonare, traductoarele au fost legate la unul din motoarele sincrone model care a funcționat la sarcină constantă și curent de excitație variabil, debitind putere reactivă. S-au măsurat puterea reactivă debitată de motor Q, tensiunea de ieșire a traductorului U_e , curentul absorbit de motor I_1 și factorul de putere $\cos \varphi$. Rezultatele măsurătorilor sunt date în tabelul 6.9, iar caracteristica de transfer a traductorului este prezentată în anexa 3.

Tabelul 6.9

Q [Var]	U_e [V]	$\cos \varphi$	I_1 [A]
-381	-0,8	0,85	1,42
-166	-0,35	0,965	1,3
0	0,08	1	1,25
346	0,75	0,865	1,27
692	1,45	0,67	1,48
1038	2,15	0,535	1,88
1384	2,75	0,465	2,32
2076	4,3	0,337	3,35

Pe baza rezultatelor măsurătorilor prezentate în tabelul 6.9 s-a determinat factorul de transfer real al traductorului:

$$K_T = \frac{\Delta U_e}{\Delta Q} = \frac{4,3}{2076} = 0,00207 \text{ V/VAr},$$

valoare care este apropiată de cea calculată ($K_T^* = 0,0022 \text{ V/VAr}$).

6.5. Blocul de însumare

Așa cum s-a arătat în capitolul 3, puterea reactivă repartizată fiecărui motor sincron în parte este o funcție de puterea reactivă totală Q_t , adică de suma puterilor reactive a acestor consumatori racordati la barele stației care absorb din rețea putere reactivă. Ca urmare, în sistemul conceput este necesar un element (bloc funcțional) care să furnizeze în permanentă un semnal (tensiune continuă) proporțional cu suma puterilor reactive a acestor consumatori.

Pentru realizarea acestui element s-a optat, dintre posibilitățile cunoscute din literatură, pentru schema prezentată în figura 6.5. Acesta constă dintr-un amplificator operațional

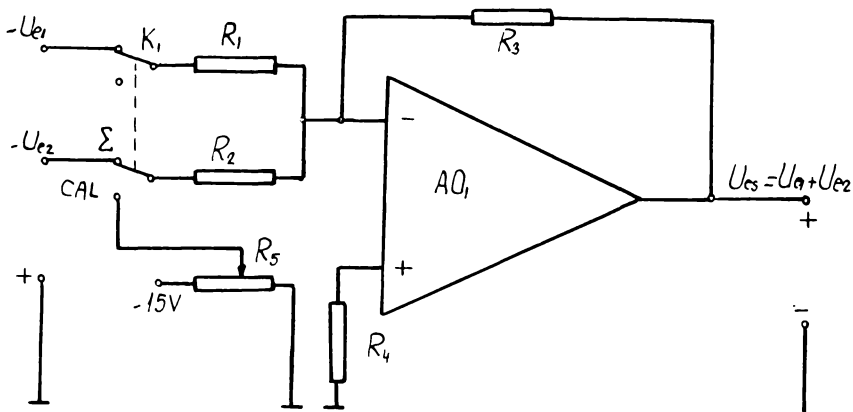


Fig.6.5. Schema de principiu a blocului de însumare

AO_1 , la intrarea inversoare a căruia se aduc tensiunile de ieșire U_{el} și U_{e2} a celor două traductoare de putere reactivă TRA_1 și TRA_2 a celor două motoare asincrone MAS_1 și MAS_2 . Tensiunea la ieșirea lui AO_1 va fi [6] :

$$U_e = - \left(- U_{el} \frac{R_3}{R_1} - U_{e2} \frac{R_3}{R_2} \right)$$

Alegind

$$R_1 = R_2 = R_3 = 8,2 \text{ k}\Omega$$

$$R_4 = \frac{R_1}{3} = 2,733 \text{ k}\Omega$$

rezultă:

$$U_{es} = U_{el} + U_{e2},$$

adică tensiunea la ieșirea amplificatorului operațional este suma tensiunilor de la ieșirile celor două traductoare de putere reactivă.

6.6. Blocurile de formare a semnalului de comandă

Așa cum s-a arătat la punctul 6.3, expresiile puterilor reactive optime a celor două motoare sincrone sunt funcții liniare de puterea reactivă totală Q_t :

$$Q_1 \text{ opt.} = 0,49 Q_t - 42 = \alpha_1 Q_t - \beta \quad (6.4)$$

$$Q_2 \text{ opt.} = 0,51 Q_t + 42 = \alpha_2 Q_t + \beta$$

In capitolul 3 s-a arătat că dacă în stație funcționează un singur motor sincron, puterea reactivă optimă a acestuia este

$$Q_s \text{ opt.} = \frac{Q_t - b \frac{U_b^2}{2R}}{1 + a \frac{U_b^2}{R}} = \alpha_s Q_t - \beta_s, \quad (6.5)$$

$$\text{unde } \alpha_s = \frac{1}{1 + a \frac{U_b^2}{R}}$$

$$\beta_s = \frac{b \frac{U_b^2}{2R}}{1 + a \frac{U_b^2}{R}} \quad (6.6)$$

Relațiile (6.5) și (6.6) evidențiază că și în acest caz puterea reactivă optimă a motorului sincron este tot o funcție liniară de puterea reactivă Q_t . Deasemenea, și în cazul mai multor motoare sincrone, așa cum rezultă din relațiile (3.26), puterile reactive optime ale fiecărui motor sincron sunt tot de forma (6.4).

Deasemenea, relațiile (3.26), (6.4), (6.5) și (6.6) evidențiază clar că în toate cazurile coeficienții α ai lui Q_t sunt subunitari ($\alpha < 1$), iar termenii β au dimensiune de putere reactivă. Tot din aceste relații rezultă că pentru o configurație dată a sistemului în funcțiune valorile lui α și

β sunt constante.

Pornind de la cele arătate mai sus, rezultă că semnalul de comandă U_c care trebuie aplicat la sistemul de reglare automată a excitației motorului sincron trebuie să rezulte din însu-marea a două semnale:

$$U_c = \alpha U_{es} \pm \beta \cdot K_T = U_1 \pm U_2 \quad (6.7)$$

Schema de principiu a blocului de formare a semnalului de comandă, pe baza relației (6.7), este redată în figura 6.6. La intrarea inversoare a amplificatorului operational AO_2 , mon-tat tot ca circuit de însumare ($R_1 = R_2 = R_3 = 8,2 \text{ k}\Omega$; $R_4 = 2,7 \text{ k}\Omega$),

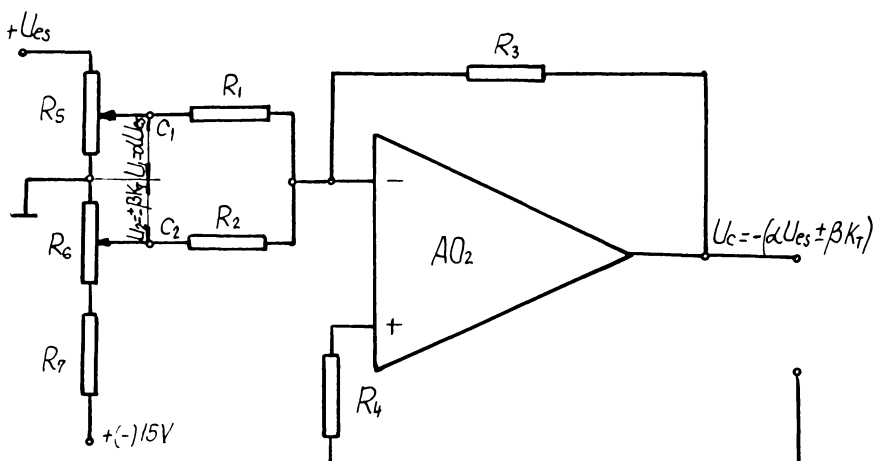


Fig.6.6. Schema de principiu a blocului de formare a semnalului de comandă.

se aplică de pe potențiometrul R_5 ($10 \text{ k}\Omega$) tensiunea

$$U_1 = \alpha U_{es}, \quad (6.8)$$

valoarea lui α stabilindu-se din poziția cursorului potențiometrului. De pe potențiometrul R_6 (500Ω) se culege tensiunea

$$U_2 = \pm \beta \cdot K_T, \quad (6.9)$$

semnal stabilindu-se conform relațiilor (6.4), prin alegerea co-respunzătoare a semnului tensiunii stabilizate de 15 V aplicat divizorului format de R_7 ($10 \text{ k}\Omega$) și R_6 . În acest fel, la ieșirea lui AO_2 se obține suma celor două tensiuni, cu semn schimbat:

$$U_c = - (\alpha U_{es} \pm \beta K_T)$$

Pentru stabilirea exactă la reglare a poziției cursoarelor

celor două potențiometre R_5 și R_6 , se procedează astfel:

- prin intermediul comutatorului K_1 (fig.6.5) fixat pe poziția "CAL" (calibrare) se aplică la intrarea circuitului de însumare o tensiune fixă, stabilizată, de -10 V, obținută de pe potențiometrul semireglabil R_5 . Ca urmare, la ieșirea amplificatorului operational AO_1 se obține $U_{es} = +10$ V. Se manevrează R_5 pînă cînd la borna C_1 tensiunea este

$$U_{c1} = 10 \text{ V} \quad (6.10)$$

- se manevrează apoi R_6 pînă cînd la borna C_2 tensiunea este

$$U_{c2} = \pm \beta K_T. \quad (6.10')$$

Cu aceasta operație de calibrare, a blocului de formare a semnalului de comandă este terminată, comutatorul K_1 fiind trecut pe poziția " Σ ", care este poziția de lucru (însumare).

6.7. Redresoarele semicomandate

Pentru alimentarea excitației motoarelor sincrone s-au proiectat și realizat de către autor două redresoare monofazate în punte semicomandată, a căror schemă de principiu este arătată în figura 6.7. Puntea redresoare p_1 este formată din

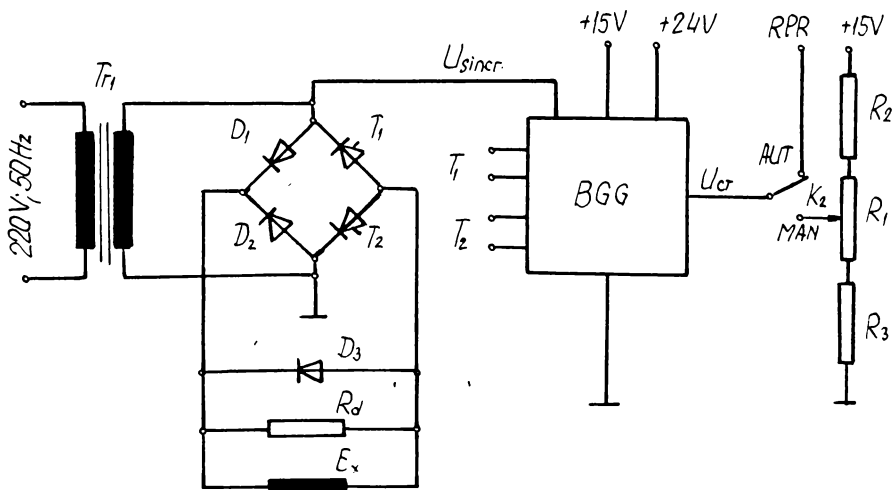


Fig.6.7. Schema de principiu a redresorului semicomandat.

tiristoarele T_1 , T_2 și diodele D_1 și D_2 . Impulsurile de comandă a tiristoarelor sunt furnizate de blocul de comandă pe

grilă BCG, realizat pe baza circuitului integrat μ AA 145. În anexa 4 sunt prezentate schemele de execuție a redresorului și blocului de comandă pe grilă.

Blocul de comandă pe grilă este comandat cu tensiune continuă U_{CT} prin intermediul lui K_2 , care alege modul de lucru. Astfel, pe poziția "MAN" (manual) tensiunea de comandă se culege de pe potențiometrul R_1 , iar pe poziția "AUT" blocul de comandă pe grilă și redresorul sunt înglobate în sistemul automat de reglare al excitării, tensiunea de comandă fiind furnizată de blocul de formare al semnalului de comandă BFC.

Pentru determinarea coeficientului de transfer al redresorului semicomandat, acesta a fost încercat experimental, direct pe excitarea motorului sincron, pentru un domeniu larg de variație a tensiunii de excitare, care cuprinde domeniul de lucru. Rezultatele experimentale sunt redate în tabelul 6.10.

Tabelul 6.10

I_e [A]	U_e [V]	U_{CT} [V]
0,5	40,5	3,85
0,6	48,5	4,25
0,7	97,5	4,6
0,8	65,7	5
0,9	74	5,35
1	82	5,65
1,1	91	5,87
1,2	99	6,21
1,25	104	6,68

Conform relației (4.28) coeficientul de transfer al redresorului semicomandat rezultă pe baza datelor din tabelul 6.10 :

$$K_o = \frac{\Delta U_e}{\Delta U_{CT}} = \frac{104-40,5}{6,68-3,85} = 22,44 \text{ V/V}$$

Timpul mort pentru redresorul semicomandat este [119]:
 $T = 5 \cdot 10^{-3} \text{ s}$

Cu aceste date, funcția de transfer a redresorului semicomandat este:

$$Y_{CT}(s) = \frac{22,44}{0,005 \text{ s} + 1} \quad . \quad (6.11)$$

6.8. Sistemul de reglare automată al excitării

La proiectarea și realizarea sistemului de reglare automată a excitării s-au avut în vedere cîteva particularități ale sistemului automatizat, particularități care pretind sistemului de reglare anumite calități statice și dinamice.

Astfel, se cunoaște că la un motor asincron în funcții une la variația largă a puterii la armorele motorului, puterea reactivă absorbită de acesta se modifică în limite foarte strîns. La acționarea utilajelor miniere specifice (pompe, ventilație de mină, exhaustoare, etc), sarcina motorului asincron este constantă în timp, și deci puterea reactivă absorbită de fiecare motor asincron în parte este constantă. În astfel de cazuri, pentru ca motoarele sincrone să asigure puterea reactivă cerută conform criteriului de optimizare propus este necesar ca abaterea staționară a sistemului să fie nulă, deci regulatorul trebuie să prezinte și o acțiune integrală.

La intrarea sau ieșirea din funcțiune a unui motor asincron se produc variații de tip treaptă ale puterii reactive, deci pentru accordarea regulatorului se va utiliza criteriul modulului.

Pentru funcționarea corespunzătoare a motorului sincron este necesar ca curentul său de excitare (respectiv tensiunea de excitare) să se încadreze între două limite, valoarea superioară fiind dată de încălzirea motorului iar cea inferioară de condiția de a nu funcționa în regim inductiv. Ori, aceste limite depind de sarcina motorului. Dar, cercetările experimentale efectuate în cadrul unor contracte de cercetare [136,137,138, 139], urmărirea la diferite întreprinderi a regimului de funcționare a acestor agregate, precum și încercările efectuate de autor pe modelul experimental realizat au arătat că motoarele sincrone de acționare a compresoarelor pentru aer funcționează practic la sarcină constantă, apropiată de cea nominală. În aceste condiții, stabilirea a două limite fixe pentru tensiunea de excitare este pe deplin satisfăcătoare.

Avînd în vedere cele de mai sus, pentru sistemul de reglare automată a excitării motoarelor sincrone ale modelului s-au studiat și încercat două variante:

- a) reglarea excitării în cascadă, cu două regulatoare, unul de curent de excitare și unul de putere reactivă, conform

celor arătate în capitolul 4;

b) reglarea automată a excitării cu un singur regulator de putere reactivă.

Amândouă sistemele au fost realizate practic de autor și încercate pe modelul experimental. Deoarece varianta b) este mai simplă și mai ieftină, și a corespuns pe deplin scopului propus, se prezintă în continuare aceasta.

Funcția de transfer $Y_{MS}(s)$ a motorului sincron considerind ca mărime de intrare tensiunea de excitare și ca mărime de ieșire puterea reactivă, conform relațiilor (4.15) și (4.16) (fig.4.3) este:

$$Y_Q(s) = Y_e(s) \cdot Y_r(s) = K_M \frac{T_{kd} s + 1}{(T_d' s + 1)(T_d'' s + 1)} \quad (6.12)$$

Schema bloc a sistemului de reglare automată realizat este arătată în figura 6.8.

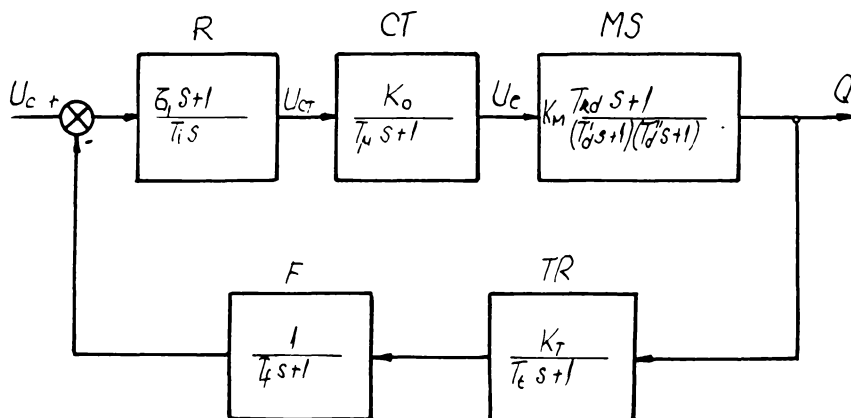


Fig.6.8. Schema bloc a sistemului de reglare automată.

Funcția de transfer a circuitului exterior regulatorului este:

$$\begin{aligned} Y_{EX}(s) &= Y_{CT}(s) \cdot Y_{MS}(s) \cdot Y_{TR}(s) \cdot Y_F(s) = \\ &= K_o K_M K_T \frac{T_{kd} s + 1}{(T_d' s + 1)(T_d'' s + 1)(T_f s + 1)(T_t s + 1)} \end{aligned} \quad (6.13)$$

Dimensionînd filtrul F astfel încît constanta sa de timp

$T_f = T_{kd}$ se compensează polul funcției de transfer, și înlocuind constantele de timp mici T_t și T_d^* prin

$$T_z = T_t + T_d^* = 8 \cdot 10^{-6} + 23,8 \cdot 10^{-6} = 31,8 \cdot 10^{-6} \text{ s} \quad (6.14)$$

funcția de transfer a circuitului exterior regulatorului devine:

$$Y_{EX}(s) = \frac{K_{EX}}{(T_d^* s + 1)(T_z s + 1)} \quad (6.14)$$

unde

$$K_{EX} = K_o \cdot K_M \cdot K_T \quad (6.15)$$

Coefficientul de transfer al motorului sincron K_M se determină pe baza rezultatelor experimentale prezentate la punctul 6.2, tabelul 6.8:

$$K_M = \frac{\Delta Q}{\Delta U_e} = \frac{986,1}{104 - 55} = 20,12 \text{ VAr/V.}$$

Deci coeficientul de transfer al circuitului exterior regulatorului va fi:

$$K_{EX} = K_o \cdot K_M \cdot K_T = 22,44 \cdot 20,12 \cdot 0,00207 = 0,934$$

Regulatorul ales prin criteriul modulului este de tip PI cu funcția de transfer

$$Y_R(s) = \frac{\zeta_1 s + 1}{T_1 s}, \quad (6.16)$$

cu ajustările:

$$\zeta_1 = T_d^* = 0,064 \text{ s}$$

$$T_1 = 2K_{EX}T_z = 2 \cdot 0,934 \cdot 31,8 \cdot 10^{-6} = 59,4 \cdot 10^{-6} \text{ s.}$$

Regulatorul realizat are schema de principiu reprezentată în figura 6.9.

Pe baza recomandărilor din lucrarea [119] se aleg $C_2 = 0,5 \mu F$ și $R_4 = 200 \text{ k}\Omega$, iar din relația

$$\zeta_1 = x \cdot R_4 \cdot C_2 \quad (6.17)$$

rezultă poziția cursorului potențiometrului R_6 :

$$x = \frac{T_1}{R_4 C_2} = \frac{0,064}{200 \cdot 10^3 \cdot 0,5 \cdot 10^{-6}} = 0,64 ,$$

déci aproksimativ la jumătatea cursei, permitind astfel evenuale corectii la reglare.

Din relatiile:

$$T_1 = R_3 \cdot C_2 \dots \dots \quad (6.18)$$

rezulta valoarea rezistenței R_3 :

$$R_3 = \frac{T_1}{C_2} = \frac{59,4 \cdot 10^{-6}}{0,5 \cdot 10^{-6}} = 118,8 \Omega \approx 120 \Omega$$

Filtrul de pe calea de reacție se dimensionează din condiția $T_f = T_{kd}$; pe baza recomandărilor din [119] se iau $R_1 = R_2 = 10 K\Omega$, iar din relația

$$T_f = C_1 \frac{R_1 R_2}{R_1 + R_2} \quad (6.19)$$

rezulta

$$C_1 = T_f \frac{R_1 + R_2}{R_1 R_2} = 263 \cdot 10^{-6} \frac{10 + 10}{10 \cdot 10 \cdot 10^3} = \\ = 0,0526 / F \approx 0,05 / F .$$

Rezistențele R_9 și R_{13} de la ieșirea regulatorului servesc la reglarea limitelor tensiunii de comandă U_{CT} a redresorului semicomandat, și deci implicit a tensiunii de excitare.

Dioda Zenner D_{Z1} limitează valoarea abaterii la șocuri de putere reactivă.

Stabilitatea sistemului de reglare automată se va aprecia utilizând criteriul de stabilitate Mihailov - Leonhard.

Pentru un sistem de reglare automată funcția de transfer în circuit închis este:

$$Y(s) = \frac{E(s)}{I(s)} = \frac{Y_d(s)}{1 + Y_d(s) Y_r(s)} \quad (6.20)$$

unde:

$Y_d(s)$ este funcția de transfer a căii directe;

$Y_r(s)$: funcția de transfer a căii de reacție.

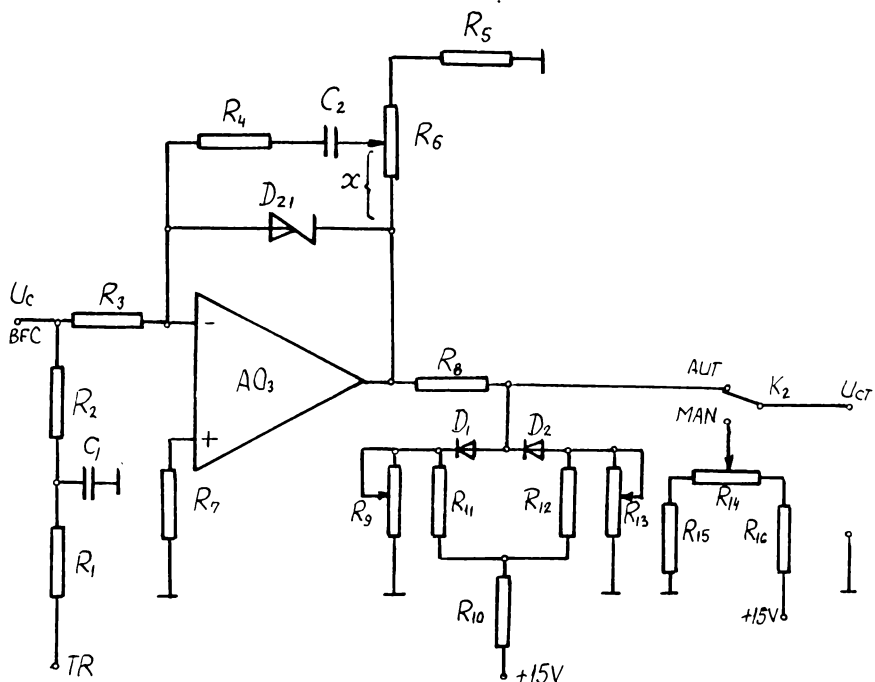


Fig.6.9. Schema de principiu a regulatorului puterii reactive (RPR).

Polii ecuației (6.20) sunt date de zerourile ecuației:

$$1 + Y_d(s) Y_r(s) = 1 + Y_o(s) = 0 \quad (6.21)$$

unde $Y_o(s) = Y_d(s) Y_r(s)$ reprezintă funcția de transfer a sistemului în circuit deschis.

Punind

$$1 + Y_o(s) = \frac{C(s)}{A(s)} = 0, \quad (6.22)$$

conform criteriului Mihailov-Leonhard sistemul este stabil dacă înlocuind în polinomul caracteristic $C(s)$, s cu $j\omega$, atunci cînd ω variază de la 0 la ∞ , vectorul complex astfel obținut

$$C(j\omega) = P(\omega) + jQ(\omega) \quad (6.23)$$

parcurge în sens trigonometric n cadrane, n fiind gradul polinomului caracteristic.

In cazul sistemului de reglare automată analizat avem (fig.6.8):

$$Y_o(s) = Y_R(s) \cdot Y_{CT}(s) \cdot Y_{MS}(s) \cdot Y_F(s) \cdot Y_T(s).$$

După înlocuire, și ținând seama că $\zeta_1 = T_d^{\prime}$, $T_f = T_{kd}$ iar $K_{EX} = K_o K_M K_T$ este factorul de transfer al circuitului exterior regulatorului, funcția de transfer a sistemului deschis devine:

$$Y_o(s) = \frac{K_{EX}}{sT_1(T_M s+1)(T_d^{\prime} s+1)(T_t s+1)}$$

cu $K_{EX} = 0,934$

$$T_1 = 59,4 \cdot 10^{-6} s$$

$$T_M = 5 \cdot 10^{-3} s$$

$$T_d^{\prime} = 23,8 \cdot 10^{-6} s$$

$$T_t = 8 \cdot 10^{-6} s,$$

determinate în paragrafele (6.2) și (6.3).

Polinomul caracteristic $C(s)$ este numitorul expresiei:

$$1 + Y_o(s) = \frac{sT_1(T_M s+1)(T_d^{\prime} s+1)(T_t s+1)}{sT_1(T_M s+1)(T_d^{\prime} s+1)(T_t s+1)}.$$

După desfacerea parantezelor și înlocuirea valorilor numerice se obține

$$C(s) = C_4 s^4 + C_3 s^3 + C_2 s^2 + C_1 s + C_0,$$

pentru coeficienții polinomului rezultând valorile:

$$C_4 = 5,654 \cdot 10^{-15}$$

$$C_3 = 9,456 \cdot 10^{-12}$$

$$C_2 = 2,988 \cdot 10^{-7}$$

$$C_1 = 5,94 \cdot 10^{-5}$$

$$C_0 = 0,934.$$

Inlocuind pe s cu $j\omega$ și separând partea reală de cea imaginară rezultă:

$$P(\omega) = C_0 - C_2 \omega^2 + C_4 \omega^4$$

$$Q(\omega) = C_1 \omega - C_3 \omega^3$$

Vectorul complex are modulul:

$$|C(j\omega)| = \sqrt{P^2(\omega) + Q^2(\omega)}$$

și argumentul

$$\arg C(j\omega) = \arctg \frac{Q(\omega)}{P(\omega)}.$$

În tabelul 6.11 sunt concentrate calculele pentru deter-

minarea vectorului complex $C(j\omega)$.

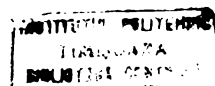
Tabelul 6.11

ω	P	Q	φ	$ C(j\omega) $
0	0,934	0	0	0,933
$1 \cdot 10^0$	0,934	$5,94 \cdot 10^{-4}$	5°	0,933
$1 \cdot 10^2$	0,931	$5,94 \cdot 10^{-3}$	22°	0,93
$1 \cdot 10^3$	0,635	$4,99 \cdot 10^{-2}$	4°30'	0,637
$1,768 \cdot 10^3$	0	$5,27 \cdot 10^{-2}$	90°	0,052
$2,1 \cdot 10^3$	-0,382	$3,72 \cdot 10^{-2}$	174°25'	0,384
$2,51 \cdot 10^3$	-0,946	0	180°	0,946
$5 \cdot 10^3$	-6,501	-0,889	187°45'	6,561
$1 \cdot 10^4$	-28,381	-8,862	197°20'	29,7
$7,265 \cdot 10^4$	0	$-3,621 \cdot 10^3$	270°	$3,62 \cdot 10^3$
$1 \cdot 10^5$	$2,667 \cdot 10^3$	$-9,45 \cdot 10^3$	285°40'	$9,82 \cdot 10^3$
$1 \cdot 10^6$	$5,624 \cdot 10^7$	$-9,456 \cdot 10^6$	$350^{\circ}30'$	$5,7 \cdot 10^7$
$1 \cdot 10^7$	$5,654 \cdot 10^{11}$	$-9,456 \cdot 10^9$	359°	$5,65 \cdot 10^{11}$

Datele centralizate în tabelul 6.11 evidențiază că vectorul $C(j\omega)$ parcurge monoton în sens trigonometric cadrele I,II,III și IV, argumentul său crescînd continuu și modulul nefiind niciodată zero; ca urmare sistemul de reglare automată este stabil.

6.9. Instalația experimentală

In cele ce urmează se vor arăta cîteva imagini ale modelului experimental al stației de compresoare. Astfel, în figura 6.10 se vede modelul complet al stației. In prim plan sînt motoarele sincrone, în partea dreaptă se văd compresoarele, iar în stînga rezervoarele tampon în care debitează compresoarele. In planul din spate se văd generatoarele de curent continuu, iar în colțul din stînga rezistența de sarcină a acestora. In figura 6.11 se vede, din alt unghi, modelul stației, observîndu-se rezervoarele tampon pentru aer comprimat cu supapele de siguranță și menținere automată a presiunii prescrise, și manometrele de măsurare a presiunii aerului comprimat. In figura 6.12 se vede modelul stației cu aparatura de măsură și reglare. De la stînga la dreapta, pe masă se văd: oscilograful cu 8 canale, trusele de măsură a



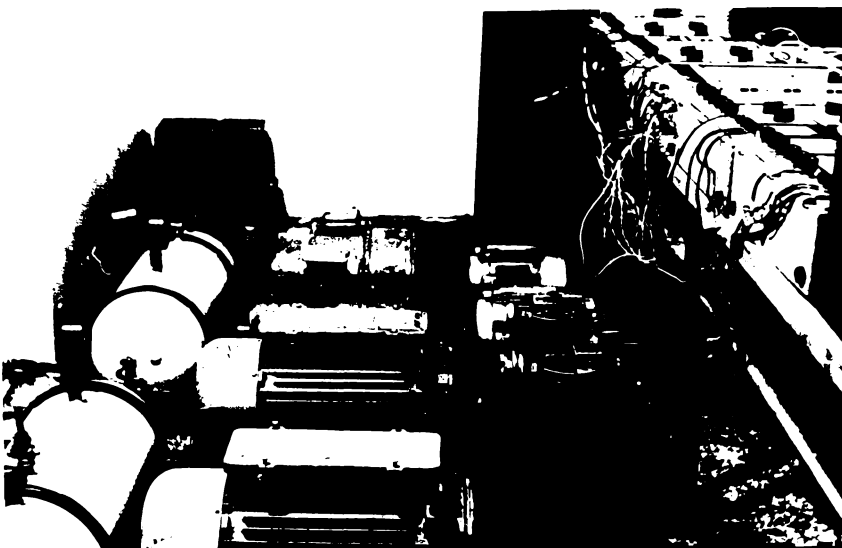


Fig.6.10. Modelul stației - mașinile electrice

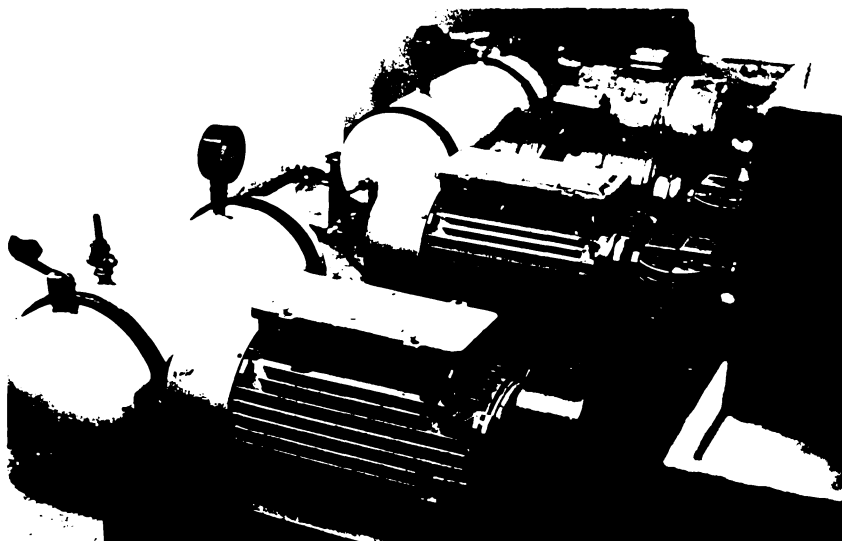


Fig.6.11. Modelul stației - rezervoarele pentru aer comprimat

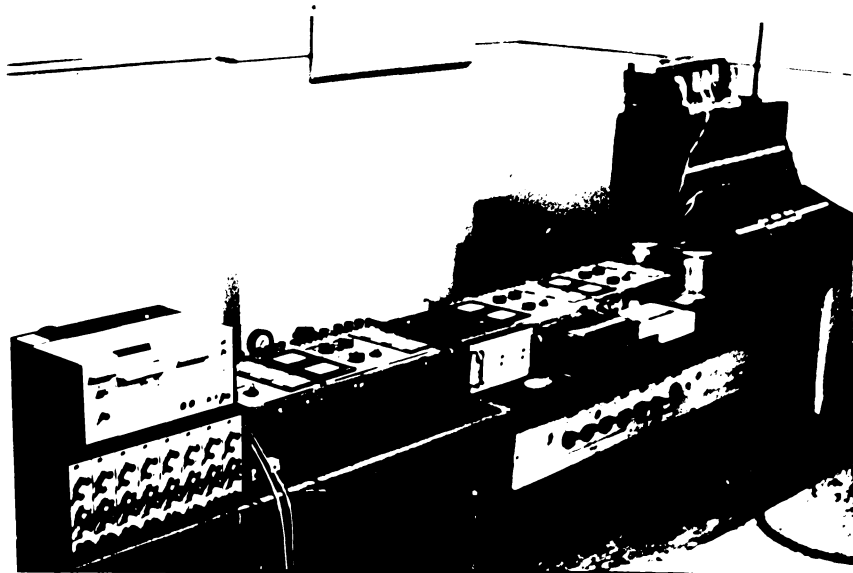


Fig.6.12. Modelul stației - aparatura de măsură și reglare.

- puterii reactive de tip QN-lo, blocul traductoarelor de însumare și reglare automată și tabloul de comandă, avînd în partea superioară redresoarele semicomandate. În partea inferioară se văd comutatoarele treptelor bateriilor de condensatoare. În figura 6.13 se vede blocul traductoarelor de putere reactivă, avînd

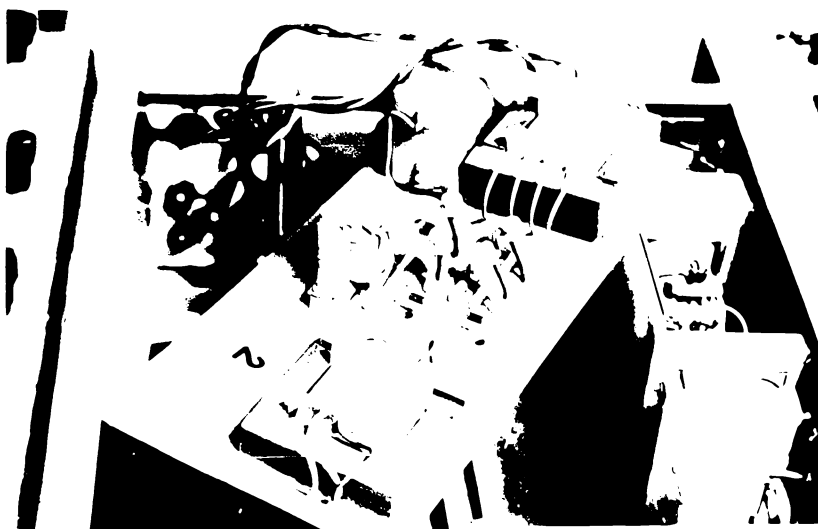


Fig.6.13. Traductoarele de putere reactivă.

unul din traductoare așezat deasupra. În figura 6.14 se vede blocul de comandă pe grilă a celor două redresoare comandate.



Fig.6.14. Blocul de comandă pe grilă

În figura 6.15 se văd cele două redresoare semicomandate, transformatorul de alimentare aferent, blocul de comandă pe grilă

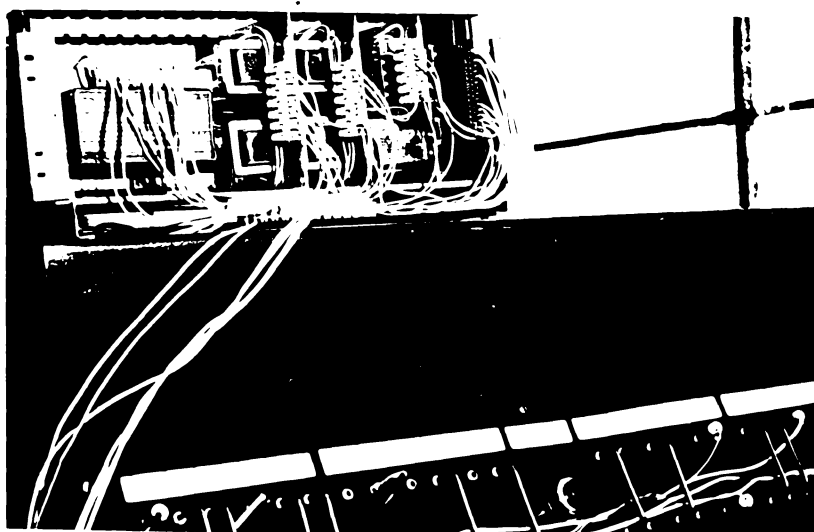


Fig.6.15. Redresoarele semicomandate

și sursa de alimentare stabilizată a circuitelor de comandă, montate pe un șasiu comun, așezat pe tabloul de comandă.

La tabloul de comandă se observă bornele de legare în diferite circuite a aparatelor de măsură. În figura 6.16 se prezintă fotografia rotorului unui motor sincron.

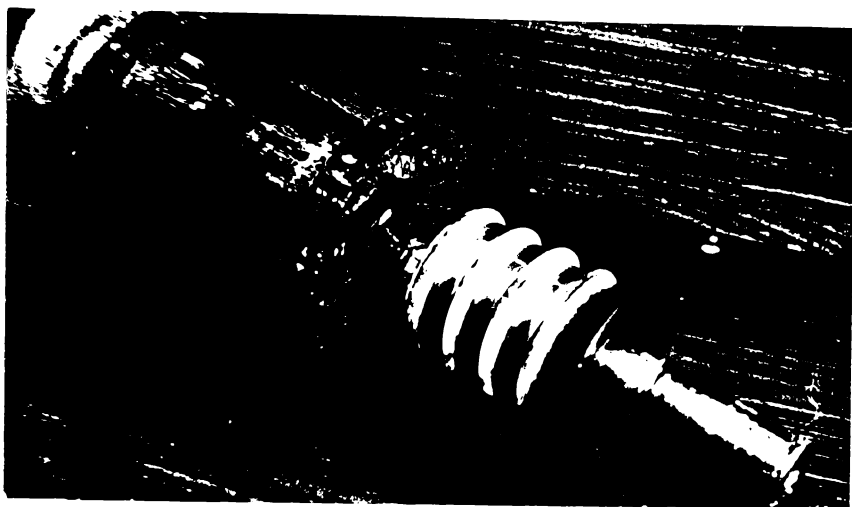


Fig.6.16. Rotorul motorului sincron

Pe fotografie se observă polii, barele coliviei de pornire și amortizare și inelele de scurtcircuitare, se văd inelele de contact, în număr de trei, deoarece, așa cum s-a mai arătat, s-a utilizat axul cu ansamblul inele de la un motor asincron trifazat.

7. REZULTATE EXPERIMENTALE

Deoarece în capitolul al șaselea au fost date cîteva elemente de calcul legate de realizarea modelului experimental, precum și încercările experimentale care s-au efectuat asupra diferitelor blocuri funcționale ale acestuia, iar în capitolele anterioare s-au dat rezultate experimentale obținute în stații reale de compresoare, în cadrul acestui capitol se vor prezenta sintetic rezultatele experimentale obținute pe modelul stației de compresoare realizat.

Încercările experimentale efectuate au vizat în ansamblu următoarele obiective:

- verificarea pe model a metodelor de optimizare propuse;
- verificarea pe model a sistemului de reglare automată propus și realizat, urmărind posibilitatea aplicării acestuia în stații reale.

Pentru efectuarea încercărilor experimentale modelul a fost completat cu aparatură de măsură, care a permis măsurarea și înregistrarea tuturor mărimilor electrice care descriu funcționarea sa. Schema electrică de principiu în care este indicată amplasarea aparatelor de măsură și legăturile între diferitele blocuri funcționale este arătată în figura 7.1. Măsurarea puterilor reactive Q_1 și Q_2 , debitate de motoarele sincrone MS_1 și MS_2 , respectiv a puterilor reactive Q_{al} și Q_{a2} absorbite de motoarele asincrone MAS_1 și MAS_2 s-a făcut cu truse de măsură de tip QN lo (W_1, W_2, W_3 și W_4), care sunt echipate și cu ampermetre pentru măsurarea curentului de linie și voltmetru pentru tensiunea de linie. Pentru măsurarea curentului de excitație al motoarelor sincrone s-au introdus ampermetrele A_1 și A_2 . Înregistrările proceselor tranzitorii și regimurilor staționare s-au realizat cu un oscilograf cu 8 canale (IR), la intrările căruia s-au adus mărimile: curentul statoric al motoarelor sincrone I_{s1} și I_{s2} , preluat prin inseriere cu trusele W_1 și W_2 , curentii de excitație I_{el} și I_{e2} , puterile reactive Q_1 și Q_2 ale motoarelor sincrone, preluate de la ieșirile traductoarelor aferente, și suma puterilor reactive $\sum Q_{ai} = Q_{al} + Q_{a2}$, preluată de la ieșirea blocului de însumare BS. Pentru măsurarea

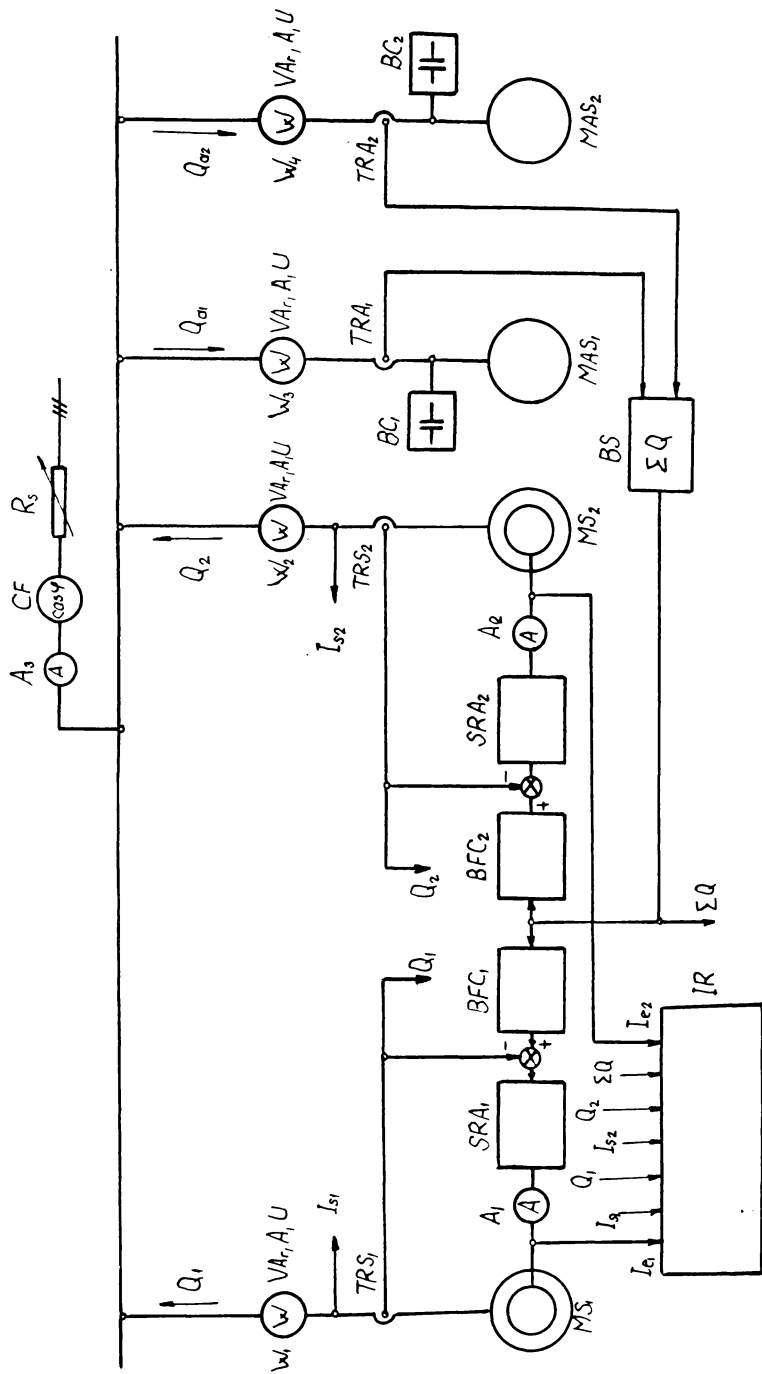


Fig. 7.1. Schema de măsură.

factorului de putere pe linia de alimentare a stației și a curentului s-au introdus cosfimetrul CF și ampermetrul A_3 .

7.1. Incercări pe motorul sincron model

Pe lîngă încercările corespunzătoare regimului staționar de funcționare al motorului sincron, rezultate care au fost prezentate la punctul 6.2, pentru verificarea comportării la pornire a motorului sincron, precum și a variației de curent la funcționarea în sarcină, s-au oscilografiat procesul de pornire și de funcționare în sarcină. Astfel, în figura 7.2 este

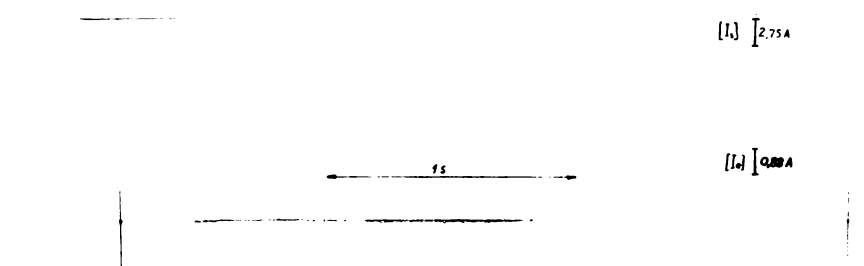


Fig.7.2. Oscilograma pornirii motorului sincron

arătată fotografiea oscilogramei procesului de pornire al motorului sincron. Pe oscilogramă s-au înregistrat curentul statotic I_s și curentul în infășurarea de excitație I_e .

Urmărind oscilograma, se pot distinge următoarele etape ale pornirii: la conectarea motorului la rețea, curentul absorbit este mare și pe măsură ce motorul accelerează, se reduce, în același timp, în infășurarea de excitație se induce o tensiune care produce în rezistență de descărcare un curent care se anulează practic din momentul în care rotorul motorului sincron a atins turăția asincronă staționară; din acest moment, curentul absorbit de motorul sincron se menține constant, pînă în momentul conectării tensiunii de excitație, cînd, după cîteva variații datorate oscilațiilor rotorului la intrarea în sincronism, se stabilește la valoarea de regim corespunzătoare mersului sincron.

Pe oscilogramă s-au trecut deasemenea și scările pentru timp și pentru curenti. Din oscilogramă rezultă următoarele date, din care valorile în paranteză reprezintă citirile, în milimetri, de pe oscilogramă, corespunzătoare amplitudinii

curenților și amplitudinea acestora:

- curentul de pornire $I_p = 10,8 \text{ A}$ (56 mm ; 15,4 A);
- curentul de mers în asincron $I_{as} = 3,9 \text{ A}$ (20 mm ; 5,5 A);
- curentul maxim la mers sincron $I_{max} = 1,17 \text{ A}$ (6 mm ; 1,65 A);
- curentul minim la mers sincron $I_{min} = 0,585 \text{ A}$ (3 mm ; 0,825 A);
- amplitudinea maximă a curentului induș în înfășurarea de excitație la pornire $I_{eimax} = 1,144 \text{ A}$ (13 mm);
- timpul de stabilire a curentului de excitație (din momentul conectării tensiunii de excitație pînă la stabilirea valorii staționare) $t_{se} \approx 0,25 \text{ s}$
- timpul de stabilire a turației staționare $t_{as} \approx 0,4 \text{ s}$ în asincron

Cu aceste date se pot calcula:

- Raportul $\frac{I_p}{I_N} = \frac{10,8}{2,71} = 4$; este mai bun decît valoarea de calcul $\left(\frac{I_p}{I_N}\right)_{calc} = 5$
- Constanta de timp a excitației $T_d' = \frac{t_{se}}{4} = 0,0625 \text{ s}$, valoare foarte apropiată de cea calculată ($T_d' = 0,064 \text{ s}$);
- Amplitudinea maximă a tensiunii indușă în înfășurarea de excitație: $U_{eimax} = I_{eimax} \cdot R_e = 1,144 \cdot 85,89 = 98,2 \text{ V}$, valoare nepericuloasă pentru izolația înfășurării de excitație.

In figura 7.3 se prezintă oscilograma curentului statoric și a curentului de excitație la mers în sarcină stabilizată a motorului sincron (presiune de refulare $p_2 = 6,4 \text{ at}$; puterea absorbită $P_a = 0,78 \text{ kW}$; curentul statoric măsurat cu ampermetrul $I_s = 1,4 \text{ A}$; curentul de excitație măsurat cu ampermeterul $I_e = 1 \text{ A}$, factor de putere $\cos \varphi = 0,815 \text{ cap}$). De pe oscilogramă se determină:

- curentul maxim $I_{max} = 1,755 \text{ A}$ (9 mm; 2,474 A);
- curentul minim $I_{min} = 1,17 \text{ A}$ (6 mm ; 1,65 A);
- curentul de excitație $I_e = 0,968 \text{ A}$ (11 mm) (valoare medie).

[I_s] [2,75 A]

0,1 s
[I_s] [0,88 A]

Fig.7.3. Oscilograma curentului statoric și de excitație la mers în sarcină stabilizată

Se poate calcula acum, cu relația (2.61) oscilația curentului (raportată la valoarea medie):

$$\Delta I = \frac{I_{\max} - I_{\min}}{\frac{I_{\max} + I_{\min}}{2}} \cdot 100 = \frac{0,585}{1,462} \cdot 100 = 40 \%$$

Calculând oscilația curentului pentru oscilograma mersului în gol (partea stabilizată, fig.7.2) rezultă valoarea $\Delta I = 66,7 \%$. Comparând cele două valori corespunzătoare mersului în gol ($\Delta I = 66,7 \%$) și mersului în sarcină ($\Delta I = 40 \%$) se observă că la mers în sarcină oscilațiile curentului, raportate la valoarea medie, scad. La sarcină nominală ($p_2 = 8$ at) a rezultat $\Delta I = 22,3 \%$, iar pentru motorul sincron al compresorului L 100 s-a măsurat la sarcină nominală $\Delta I = 17 \%$, valori mai bune decât valoarea de $\Delta I = 33 \%$ indicată în literatură [132] ca satisfăcătoare.

7.2. Incercări pe modelul stației fără sistemul de reglare automată

In cadrul acestui paragraf se prezintă cîteva rezultate obținute pe modelul de laborator al stației fără sistemul de reglare automată. S-au realizat două grupe de incercări:

- cu un singur motor sincron în funcțiune;
- cu amîndouă motoarele sincrone în funcțiune.

Pentru ambele categorii de incercări s-au păstrat permanent încărcarea motoarelor sincrone constantă ($p_2 \approx 6,4$ at), și s-a modificat puterea reactivă absorbită de cele două motoare asincrone, prin compensarea în trepte cu ajutorul bateriilor de condensatoare BC_1 și BC_2 , urmărindu-se, ca pe baza

relațiilor stabilite în capitolul 3, să se compare sub aspectul pierderilor, diferite variante de încărcare a motoarelor sincrone cu putere reactivă. Pentru aceasta, bateria de condensatoare BC_1 este prevăzută cu trei grupe de condensatoare K_{11} , K_{12} și K_{13} , iar bateria BC_2 este prevăzută cu patru grupe de condensatoare K_{21} , K_{22} , K_{23} și K_{24} ; prin gruparea corespunzătoare a acestora, se poate obține o plajă foarte largă de valori pentru puterile reactive Q_{a1} și Q_{a2} , respectiv pentru $\sum Q$. În tabelele 7.1 și 7.2 sunt date treptele de putere reactivă pentru cele două motoare asincrone, indicindu-se combinația de trepte a bateriei folosită, curentul absorbit pe linia de alimentare a motorului I (motorul împreună cu bateria legată la bornele sale), factorul de putere și componentele activă $I_a = I \cos \varphi$ și reactivă $I_r = I \sin \varphi$; încercările s-au efectuat la încărcare constantă, puterea activă absorbită P_a fiind pentru MAS_1 , $P_{a1} = 1,7$ kW, iar pentru MAS_2 , $P_{a2} = 2,932$ kW.

Tabelul 7.1.

MAS_1

Treptele bateriei BC_1	Q_a [Var]	I [A]	$\cos \varphi$	I_a [A]	I_r [A]
$-K_{11} + K_{12}$	-294	2,65	0,985 cap.	2,61	-0,459
K_{11}	225	2,55	0,990	2,52	0,36
$K_{12} + K_{13}$	623	2,65	0,945	2,50	0,866
K_{12}	1074	3,00	0,845	2,535	1,6
K_{13}	1143	3,05	0,835	2,54	1,678
Fără cond.	1628	3,50	0,74	2,59	2,355

Se observă că prima valoare din tabelul 7.1 a puterii reactive este negativă, adică, datorită supracompensării, se trimit putere reactivă pe barele stației. S-a utilizat această treaptă pentru a permite prin însumare obținerea unor valori intermedii pentru $\sum Q_1$.

MAS₂

Tabelul 7.2.

Treptele bateriei BC ₂	Q _a [VAr]	I [A]	cos φ	I _a [A]	I _r [A]
K ₂₁ + K ₂₂ + K ₂₃	0	4,1	1,00	4,1	0
K ₂₁ + K ₂₂	277	4,2	0,995	4,18	0,42
K ₂₁ + K ₂₃ + K ₂₄	381	4,21	0,99	4,16	0,588
K ₂₁ + K ₂₃	554	4,25	0,982	4,17	0,79
K ₂₁	762	4,45	0,97	4,31	1,04
K ₂₂ + K ₂₃ + K ₂₄	1281	4,5	0,91	4,1	1,7
K ₂₂ + K ₂₃	1420	4,7	0,89	4,18	1,9
K ₂₂	1662	4,95	0,87	4,3	2,12
K ₂₃	1940	5,2	0,835	4,3	2,36
Fără cond.	2113	5,5	0,81	4,4	2,58

7.2.1. Încercări cu un singur motor sincron în funcțiune

Această situație corespunde stației de compresoare studiată în capitolul 3. În acest caz s-au determinat (fig.6.1) prin măsurare și calcul:

- rezistență suplimentară a liniei: R_s = 1,51 Ω
- rezistență echivalentă a transformatorului: R_T = 0,9 Ω
- rezistență liniei: R_l = 0,0895 Ω.

Rezistență totală corespunzătoare liniei este:

$$R' = R_l + R_T + R_s = 0,0895 + 0,9 + 1,51 = 2,5 \Omega$$

Ca motor sincron s-a utilizat motorul MS₁, al cărui compresor a funcționat la p₂=6,4 at (tabelul 6.5).

S-a stabilit, pentru motoarele asincrone funcționarea la sarcină constantă, cu puterile reactive măsurate:

$$Q_{al} = 1628 \text{ VAr}$$

$$Q_{a2} = 2113 \text{ VAr}$$

rezultând

$$\sum Q_1 = Q_{al} + Q_{a2} = 1628 + 2113 = 3741 \text{ VAr.}$$

S-a determinat puterea reactivă optimă a motorului sincron, conform relației (3.9):

$$Q_{\text{sopt}} = \frac{\sum Q_i - b_1 \frac{U_b^2}{2R}}{1 + a_1 \frac{U_b^2}{R}} = \frac{3741 - 0,045 \frac{380^2}{2,2,5}}{1 + 3,048 \cdot 10^{-4} \frac{380^2}{2,5}} = 136,72 \text{ VAr}$$

Asigurînd pentru motorul sincron această valoare a puterii reactive, s-ău determinat prin măsurători și calcul pierderile conform celor arătate în capitolul 3. Pentru comparație, s-ău stabilit pentru motorul sincron încă două regimuri de funcționare: $Q_s = 0$ (minim) și $Q_s = 795,8 \text{ VAr}$ (valoarea maximă a puterii reactive pe care o poate produce). Rezultatele măsurătorilor sunt centralizate în tabelul 7.3, unde s-ău utilizat notațiile: I_l - curentul în linia de alimentare a stației, P - pierderile în linie, P_t - pierderile totale (în motorul sincron și linie), P_1 - pierderile în statorul motorului sincron, P_e - pierderile în excitație, ΔP - diferența de pierderi față de regimul optim.

Tabelul 7.3.

Q_s [VAr]	I_e [A]	I_s [A]	I_l [A]	P_e [W]	P_1 [W]	P_l [W]	P_t [W]	ΔP [W]	ΔP [%]	$\cos \varphi$
0	0,72	1,15	9,41	42,46	27,68	662,7	732,9	17	+2,3	0,87
136,72 optim	0,77	1,18	9,22	49,27	29,14	637,5	715,9	0	0	0,891
795,8	1,24	1,85	8,84	127,13	71,65	586,1	785	69,1	+9,6	0,927

Rezultatele din tabelul 7.3 evidențiază că în cazul în care motorul sincron a funcționat cu puterea reactivă optimă pierderile totale au fost minime, respectiv $\Delta P = 0$.

7.2.2. Încercări cu amîndouă motoarele sincrone în funcțiune

Aceste încercări au urmărit determinarea pierderilor la diferite moduri de repartiție a puterii reactive între motoarele sincrone.

Pe lîngă varianta de repartiție optimă a puterii reactive, pe baza relațiilor stabilite în capitolele 3 și 6, s-ău

considerat și alte patru variante de repartiție a puterii reactive, stabilite pe baza constatării unor situații frecvent întâlnite în practică. Astfel, adeseori în practică puterea reactivă se repartizează în mod egal motoarelor sincrone, unui singur motor sau proporțional cu puterea motoarelor sincrone.

Pe această bază, variantele de repartiție a puterii reactive considerate sunt:

Varianta 1
(optimă)

$$Q_{1\text{opt}} = 0,49 Q_t - 42$$

$$Q_{2\text{opt}} = 0,51 Q_t + 42$$

Varianta 2

$$Q_1 = Q_2 = \frac{Q_t}{2}$$

Varianta 3

$$Q_1 = Q_t$$

$$Q_2 = 0$$

Varianta 4

$$Q_1 = 0$$

$$Q_2 = Q_t$$

Varianta 5

$$Q_1 = 0,4 Q_t$$

$$Q_2 = 0,6 Q_t$$

Rezultatele măsurătorilor sunt concentrate în tabelul 7.4. În tabel nu se mai indică pierderile pe linia de alimentare.

Tabelul 7.4

Varianta	1 optim.	2	3	4	5
$Q_1 [\text{Var}]$	339,71	389,5	779	0	311,6
$Q_2 [\text{Var}]$	439,29	389,5	0	779	467,4
$I_{e1} [\text{A}]$	0,91	0,94	1,23	0,72	0,89
$I_{e2} [\text{A}]$	0,9	0,87	0,68	1,12	0,92
$I_1 [\text{A}]$	1,28	1,32	1,84	1,15	1,25
$I_2 [\text{A}]$	1,25	1,22	1,1	1,75	1,28
$P_{t1} [\text{W}]$	102	109,5	196,9	70,54	100,74
$P_{t2} [\text{W}]$	102,67	97,6	65,71	173,55	107,9
$P_t [\text{W}]$	204,67	207,1	262,61	244,1	208,64
$\Delta P [\text{W}]$	0	2,43	57,94	39,43	3,97
$\Delta P [\%]$	0	1,2	28,3	19,3	1,94

re a stației, deoarece compensarea fiind totală, acestea sănătă minime pentru fiecare variantă de repartiție a puterii reactivă considerată.

Comparând între ele pierderile totale $P_t = P_{t1} + P_{t2}$, se constată că cea mai dezavantajoasă repartiție este dată de variantele 3 și 4, adică atunci cînd la compensare nu participă decît un singur motor.

7.3. Incercări pe modelul stației cu sistemul de reglare automată

In cadrul acestui paragraf se prezintă sintetic rezultatele experimentărilor pe modelul stației, în instalație fiind inclus și sistemul de reglare automată a excitației. Schema completă a instalației este prezentată în fig.6.1. Incercările experimentale au vizat următoarele:

- verificarea calității dinamice a sistemului de reglare automată;
- verificarea sistemului de reglare automată sub aspectul preciziei de realizare a relațiilor care definesc puterea reactivă optimă, conform criteriului de optimizare enunțat;
- verificarea fiabilității instalației.

Se face aici precizarea că pentru problema propusă spre rezolvare în cadrul tezei, experimentările făcute atît în stații de compresoare reale cît și pe model, au arătat că în funcționarea acestor instalații apar variații însemnante de putere reactivă, cu caracter de salt, numai în situația pornirii sau opririi unor agregate (pompe, ventilatoare, etc.). Ori, aceste situații nu sănătă caracteristice pentru funcționarea unei stații de compresoare, care are un regim de funcționare de lungă durată, atît pentru compresoare, cît și pentru celelalte utilaje ale căror motoare asincrone sănătă consumatoare de putere reactivă, sarcina păstrîndu-se în timp aproape constantă. Ca urmare, s-a considerat că nu este neapărat necesar ca sistemul să aibă o acțiune deosebită de rapidă, urmărindu-se în mod deosebit ca la salturi brusce de putere reactivă, răspunsul sistemului de reglare să fie aperiodic, pentru a nu periclită stabilitatea motorului sincron. Astfel în figura 7.4 se prezintă o oscilogramă în care se evidențiază răspunsul sistemului de reglare automată la salt de tip treaptă de putere reactivă. Oscilograma s-a înregistrat cu motoarele sincrone în sarcină

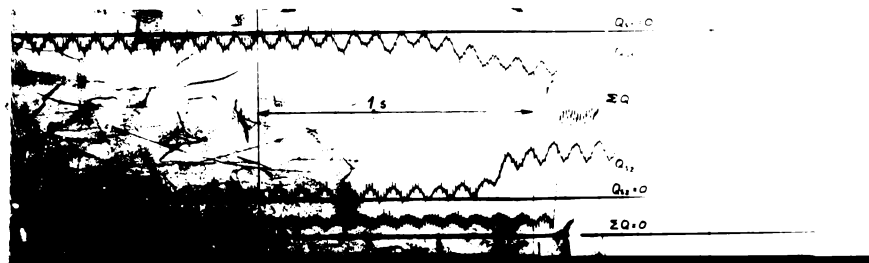


Fig.7.4. Oscilograma răspunsului sistemului de reglare la treaptă de putere reactivă.

- apropiată de cea nominală, compresoarele debitând pe același rezervor-tampon la o presiune de 6,4 at. Saltul de putere reactivă s-a realizat în ambele sensuri, funcționând motorul asincron MAS₁, prin cuplarea și decuplarea unei secțiuni a bateriei sale de condensatoare, conform tabelului 7.1 :

Functiunea MAS₁ $(\sum Q)_1 = 1628 \text{ VAR}$
 fară baterie de condensatoare

Functionare MAS, cu treapta

K₁₁ a bateriei de condensatoare $(\sum Q)_2 = 225 \text{ VAr}$

Ca urmare, saltul de putere reactivă a fost $\Delta(\Sigma Q) = (\Sigma Q)_1 - (\Sigma Q)_2 = 1403 \text{ VAr.}$

De pe oscilogramă se vede clar forma aperiodică a răspunsului motoarelor sincrone, rezultând un timp de stabilizare de circa 0,28 s, care corespunde pe deplin scopului propus, deoarece, aşa cum s-a mai arătat, pentru stațiile de compresoare este specific regimul de funcționare de lungă durată cu sarcină constantă, apărind rar variații brusce de putere reactivă, deci sistemului de reglare automată nu i se impun performante dinamice deosebite.

7.3.1. Incercări cu un motor sincron în funcțiune

Așa cum s-a arătat în capitolul 3, atunci cînd în stație funcționează un singur motor sincron, puterea reactivă optimă a acestuia este dată de relația (3.9), care pentru datele de la punctul 6.1.1., cu $R = 2,5 \Omega$, devine:

$$Q_{sopt} = \frac{\sum Q_i - b_1 \frac{U_b^2}{2R}}{1 + a_1 \frac{U_b^2}{R}} = \frac{\sum Q_i - 0,045 \frac{380^2}{2,2,5}}{1 + 3,048 \cdot 10^{-4} \frac{380^2}{2,5}} = 0,0537 \sum Q_i - 69,85,$$

adică, conform relațiilor (6.5) și (6.6), avem :

$$\begin{aligned}\alpha_s &= 0,0537 \\ \beta_s &= 69,85\end{aligned}$$

Cu aceste valori, pentru calibrarea blocului de formare a semnalului de comandă rezultă, conform relațiilor (6.10) și (6.10)', valorile:

$$U_{c1} = 10 \cdot \alpha_s = 10 \cdot 0,0537 = 0,537 \text{ V}$$

$$U_{c2} = -\beta_s \cdot K_T = -69,85 \cdot 0,00207 = -0,144 \text{ V.}$$

Având în vedere că pentru motorul sincron MS_1 se impune limitarea inferioară a puterii reactive la valoarea zero și limitarea superioară a puterii reactive la valoarea $Q_{max} = 795,8 \text{ VAr}$, s-au reglat limitele tensiunii de excitație la valorile $U_{emin} = 59 \text{ V}$ și $U_{emax} = 105,4 \text{ V}$ (tabelul 6.5).

Cu aceste ajustări ale sistemului de reglare automată, s-au efectuat încercări pe model, în aceleasi condiții ca la punctul 7.11., cu ambele motoare asincrone în funcțiune, diferențele valori ale lui $\sum Q_i$ obținindu-se prin manevrarea bateriilor de condensatoare, conform datelor din tabelele 7.1 și 7.2. Rezultatele măsurătorilor sunt centralizate în tabelul 7.5. În tabel s-au dat, pentru comparare, atîn valorile lui Q_{sopt} calculate pe baza relației (3.9), cît și valorile măsurate pe model, realizate de sistemul de reglare automată. Comparînd valorile lui Q_{sopt} calculate și măsurate, se constată o bună concordanță, cu excepția rîndului al optalea, la care apare o abatere mare relativă între mărirea realizată de sistemul de reglare $Q_{sopt} = 8 \text{ VAr}$ și mărimea calculată $Q_{sopt} = 2,7 \text{ VAr}$. Aceasta se datorește derivei de nul a traductorului de putere reactivă, ceea ce însă nu afectează performanțele sistemului în ansamblu. Din tabel rezultă de asemenea că, pentru valori ale lui $\sum Q_i$ sub 2338 VAr , factorul de putere pe linia de alimentare a stației devine mai bun decît factorul de putere neutral.

Pe baza relației (3.9) particularizată pentru acest caz, ținînd seama de limitările impuse de motorul sincron pen-

tru puterea reactivă pe care o poate produce, rezultă valorile

Tabelul 7.5.

$\sum Q_i$	Q_{sopt} (calculat)	Q_{sopt} (măsurat)	$\cos \varphi$ (calculat)	$\cos \varphi$ (măsurat)	Observ.
[Var]	[Var]	[Var]			
3741	131,041	138	0,832	0,835	
3568	121,75	129	0,843	0,847	
3256	104,99	112	0,864	0,867	
3187	101,29	104	0,868	0,87	
2736	77,07	86	0,897	0,905	
2338	55,7	60	0,921	0,93	
2182	47,32	51	0,930	0,932	
1351	2,7	8	0,970	0,98	
779	-28,02	0	0,989	0,991	Limitare inferioară a puterii reactive

extreme ale lui $\sum Q_i$ pentru care sistemul de reglare automată nu limitează puterea reactivă a motorului sincron:

$$Q_{sopt} = 0 ; (\sum Q_i)_{\min} = 1300,74 \text{ Var} ;$$

$$Q_{sopt} = 795,8 \text{ Var} ; (\sum Q_i)_{\max} = 16.120 \text{ Var}.$$

Se observă că domeniul de variație a lui $\sum Q_i$, pentru care sistemul de reglare automată realizează minimalizarea pierderilor, este foarte larg. Însă, dacă se are în vedere și necesitatea realizării factorului de putere neutral, acest domeniu se restrînge în partea superioară, limitindu-se la $(\sum Q_i)_{\max} = 2338 \text{ Var}$. Dacă se compară această valoare cu puterea reactivă absorbbită de cîte unul din motoarele asincrone MAS_1 sau MAS_2 , se observă că sunt de același ordin de mărime; ori aceste motoare au puterea nominală de același ordin de mărime cu cea a motorului sincron. Această constatare, care de altfel a rezultat și din calculele făcute pentru stații reale [139], ne permite să apreciem că metoda este pe deplin aplicabilă în stațiile în care puterea nominală a motorului este de ordinul de mărime al sunsei puterilor nominale ale motoarelor asincrone. În situația unui consum de putere reactivă mai mare, ca de exemplu în cazul modelului analizat peste 2338 Var, fie se acoperă o parte prin baterii de condensatoare, fie, după caz, se renunță la asigurarea factorului de putere neutral.

Pentru a evidenția efectul lungimii liniei de alimenta-

tare a stației, prin rezistență echivalentă R , asupra posibilității de optimizare, s-au repetat încercările, în aceleasi condiții ca mai înainte, dar pentru o linie mai scurtă, avind $R = 1,5\Omega$, expresia puterii reactive optime a motorului sincron fiind:

$$Q_{sopt} = \frac{\sum Q_i - b_1 \frac{U_b^2}{2R}}{1 + a_1 \frac{U_b^2}{R}} = \frac{\sum Q_i - 0,045 \frac{380^2}{2 \cdot 1,5}}{1 + 3,048 \cdot 10^{-4} \frac{380^2}{1,5}} = 0,033 \sum Q_i - 71,38$$

cu valorile pentru calibrarea blocului de formare a semnalului de comandă:

$$U_{c1} = 10 \cdot \alpha_s = 10 \cdot 0,033 = 0,33 \text{ V}$$

$$U_{c2} = -\beta_s \cdot K_T = -71,38 \cdot 0,00207 = -0,147 \text{ V}$$

Rezultatele măsurătorilor sunt concentrate în tabelul 7.6. Valorile extreme ale lui $\sum Q_i$ pentru care sistemul de

Tabelul 7.6

$\sum Q_i$ [VAr]	Q_{sopt} (calculat) [VAr]	Q_{sopt} (măsurat) [VAr]	$\cos \varphi$ (calculat)	$\cos \varphi$ (măsurat)	Observ.
3741	52,05	60	0,826	0,828	
3568	46,36	52	0,838	0,841	
3256	36,07	42	0,859	0,852	
3187	33,8	37	0,864	0,867	
2736	18,9	25	0,891	0,895	
2338	5,77	8-	0,918	0,92	
2182	0,62	0	0,927	0,931	
1351	-26,8	0	0,975	0,97	Limitare inferioară a pute- rii reac- tive

reglare nu limitează puterea reactivă a motorului sincron vor fi în acest caz:

$$Q_{sopt} = 0 ; (\sum Q_i)_{\min} = 2163 \text{ VAr}$$

$$Q_{sopt} = 795,3 \text{ VAr} ; (\sum Q_i)_{\max} = 26278 \text{ VAr}$$

Dacă se are în vedere și limita superioară pentru $\sum Q_i$ impusă de realizarea pe linia de alimentare a factorului neutral, săd că cel puțin $\cos \varphi = 0,92$, pentru care $\sum Q_i = 2338 \text{ VAr}$, rezultă că realizarea simultană a celor două condiții de optim,

adică pierderi minime și factor de putere $\cos \varphi = 0,92$ se poate obține numai pentru intervalul $2163 \leq \sum Q_i \leq 2338$, adică pentru $\Delta(\sum Q_i) = 2338 - 2163 = 175$ VAr. Comparând acest rezultat cu cel corespunzător cazului anterior, cu linie mai lungă ($R = 2,5\Omega$), cînd $\Delta(\sum Q_i) = 2338 - 1300,74 = 1037,25$ VAr, rezultă că metoda propusă de optimizare își găsește aplicabilitate în cazul acelor stațiilor care sănt alimentate prin linii lungi. Ori, așa cum s-a mai arătat, asemenea situații se întâlnesc frecvent în stațiile de compresoare ale întreprinderilor miniere și de explorări și prospecțiuni geologice, care datorită specificului de amplasare în teren, se racordează la sistemul energetic prin linii de lungime însemnată. În anumite cazuri concrete însă, se pot încadra în condițiile arătate mai sus și alte instalații industriale, în care se utilizează motoare sincrone pentru acționare.

7.3.2. Incercări cu amîndouă motoarele sincrone în funcțiune

In această situație, motoarele sincrone au acoperit integral, așa cum s-a arătat în paragraful 7.2.2., puterea reactivă absorbită de cele două motoare sincrone, astfel că pe linia de alimentare a stației, atît timp cît nu este depășită capacitatea de compensare a motoarelor sincrone respectiv nu acționează limitarea tensiunii de excitație, puterea reactivă este nulă ($\cos \varphi = 1$).

Expresiile puterilor reactive optime ale celor două motoare sincrone sănt date de relațiile (6.2):

$$Q_{1\text{opt}} = 0,49 Q_t - 42$$

$$Q_{2\text{opt}} = 0,51 Q_t + 42$$

unde s-a notat $\sum Q_i = Q_t$.

Tensiunile de calibrare pentru blocurile de formare a semnalului de comandă, conform celor arătate în capitolul 6, sănt:

Motor sincron MS₁

$$U_{c1} = 0,49 \cdot 10 = 4,9 \text{ V},$$

$$U_{c2} = -42 \cdot K_T = -42 \cdot 0,00207 = -0,087 \text{ V};$$

Motor sincron MS₂

$$U_{c1} = 0,51 \cdot 10 = 5,1 \text{ V},$$

$$U_{c2} = 42 \cdot K_T = 42 \cdot 0,00207 = 0,087 \text{ V}.$$

Domeniile de variație a puterii reactive, respectiv ale tensiunii și curentului de excitație ale celor două motoare sincrone au fost limitate la valorile (tabelele 6.5 și 6.8) :

Motorul sincron MS_1

$$Q_{sl\min} = 0 ; Q_{sl\max} = 795,8 \text{ VAr} ;$$

$$U_{el\min} = 59 \text{ V} ; U_{el\max} = 105,4 \text{ V} ;$$

$$I_{el\min} = 0,72 \text{ A} ; I_{el\max} = 1,24 \text{ A}.$$

Motorul sincron MS_2

$$Q_{s2\min} = 0 ; Q_{s2\max} = 986,1 \text{ VAr} ;$$

$$U_{e2\min} = 55 \text{ V} ; U_{e2\max} = 104 \text{ V} ;$$

$$I_{e2\min} = 0,675 \text{ A} ; I_{e2\max} = 1,25 \text{ A}.$$

Rezultatele măsurătorilor sunt concentrate în tabelul 7.7., unde s-au trecut și puterile reactive Q_{al} și Q_{a2} absorbi-

Tabelul 7.7

Nr. crt.	Q_{al} [VAr]	Q_{a2} [VAr]	$\sum Q_i = Q_{al} + Q_{a2}$ [VAr]	Q_{sl} (calc.)	Q_{sl} (măs.)	Q_{s2} (calc.)	Q_{s2} (măs.)	$\cos \varphi$	Obs.
1	1281	1143	2424	1146	805	1278	995	0,993	Limita- re sup. Q_{sl} și Q_{s2}
2	1662	623	2285	1078	805	1207	995	0,995	
3	762	1074	1836	858	805	978	967	0,997	Limita- re sup. Q_{sl}
4	1420	225	1645	764	753	881	875	0,999	ind.
5	277	1143	1420	654	649	766	762	0,999	ind.
6	321	623	1004	450	441	554	545	0,993	ind.
7	554	225	779	340	337	439	424	0,998	ind.
8	225	227	452	180	177	272	268	0,999	ind.
9	277	0	277	94	87	183	174	0,999	ind.
10	381	-294	87	0,63	8	86,37	78	0,999	cap.
11	0	-294	-294	-102	0	-192	0	0,998	cap. Li- mitare inf. Q_{sl} și Q_{s2} .

te de cele două motoare asincrone. Valorile negative ale lui Q_{al} arată că bateria de condensatoare atașată motorului asincron MS_1 furnizează o putere reactivă mai mare decât cea absorbă de motorul asincron (tabelul 7.1), aceasta fiind nece-

sară pentru a verifica limitarea inferioară a puterii reactive a motoarelor sincrone.

Din rezultatele centralizate în tabel rezultă că sistemul de reglare automată realizează cu o foarte bună precizie puterile reactive optime pentru motoarele sincrone, între valorile măsurate și cele calculate existând abateri mici (sub 2,5%). Deasemenea, pentru rîndurile 1 și 2 se observă limitarea puterii reactive a motoarelor sincrone la valori apropiate de Q_{smax} impuse pentru fiecare motor; pentru rîndul 3 numai puterea reactivă a motorului sincron M_1 este limitată superior, iar pentru rîndul 11 puterea reactivă a motoarelor sincrone a fost limitată inferior.

Si în acest caz, pe baza calculelor și măsurătorilor efectuate rezultă că metoda este aplicabilă în acele stații în care suma puterilor reactive a motoarelor asincrone este aproximativ egală sau mai mică decât suma puterilor reactive pe care o pot produce motoarele sincrone. La depășirea puterii reactive a unui motor sincron, se asigură pentru acesta funcționarea la putere reactivă maximă, iar pentru celelalte motoare sistemul de reglare asigură puterea reactivă optimă; se pot lua în considerare, în acest caz, două posibilități:

- sistemul de reglare automată asigură comanda puterii reactive produse de celelalte motoare sincrone fără a ține seama de limitarea puterii reactive a unuia sau mai multor motoare;

- la depășirea și deci limitarea puterii reactive a unui motor sincron, acesta să asigure puterea reactivă maximă, Q_{simax} . Diferența $Q_t - Q_{simax}$, urmează a fi din nou repartizată celorlalte motoare sincrone, avînd în vedere aceeași varianță de repartizare.

Prima posibilitate este aplicată pe modelul experimental realizat de autor; cea de a doua posibilitate a fost aplicată practic în cadrul unui contract de cercetare [139], cînd s-au determinat, pentru diferite situații de funcționare a unei stații de compresoare, puterile reactive optime ale motoarelor sincrone. Astfel, prin aplicarea metodei de determinare a puterii reactive optime la o stație de compresoare a I.P.E.G. Caransebeș, a rezultat o economie de energie de 7491,6 kWh/an, iar prin aplicarea repartiției optime a puterii reactive, pentru

o altă stație a aceleiași întreprinderi, economia de energie realizată a fost de 21.600 kWh/an. Pe ansamblul stațiilor de compresoare ale întreprinderii, economia de energie realizată a fost de cca 4%. În anexa 6 se prezintă în original scrierea de confirmare a beneficiarului a rezultatelor aplicării în practică a cercetărilor întreprinse în cadrul contractului de cercetare menționat mai sus.

CONECLUZII

Compressoarele pentru aer cu piston sunt agregate de o importanță deosebită în economia națională, având în vedere numărul mare de procese tehnologice care utilizează ca agent energetic aerul comprimat. Dat fiind specificul acționării acestor agregate, motorul sincron s-a impus astăzi ca cel mai potrivit pentru acționare, iar calculul acționării, aşa cum rezultă din sinteza făcută în capitolul 2, este tratat pe larg în literatură de specialitate.

In condițiile impuse de necesitatea economisirii energiei electrice, determinarea pentru motoarele sincrone de acționare a unor regimuri optime de funcționare, sub aspect economic și tehnic, este deosebit de actuală. Pe această linie se înscrie și prezența lucrării.

Contribuțiile originale cuprinse în lucrare sunt următoarele:

- încadrarea motorului sincron într-un sistem productiv complex bine precizat, urmărindu-se optimizarea sistemului de acționare în ansamblu, și nu numai a acționării cu un motor sincron individual (cap.3) ;
- elaborarea în formă unitară a teoriei optimizării stației de compresoare, privită ca sistem complex de acționare sub aspectul minimizării pierderilor, folosind capacitatea de compensare a motoarelor sincrone (cap.3) ;
- modelarea prin similitudini a motorului sincron (cap.5) ;
- concepția și realizarea fizică, pe baza metodei de optimizare propuse, a unui sistem original de reglare automată a excitației motoarelor sincrone (cap.6) ;
- realizarea fizică integrală, pe baza teoriei similitudinii elaborate, a modelului motoarelor sincrone, precum și a modelului stației de compresoare în ansamblu (cap.6) ;
- aplicarea în practică, pe bază de contracte, a rezultatelor cercetărilor teoretice și experimentale, cu efecte economice bune (anexa 6).

Metoda de optimizare propusă este pe deplin aplicabilă în toate stațiile de compresoare, și în mod deosebit la cele din industria minieră. Determinarea parametrilor stației de

compresoare se poate realiza cu ușurință, așa cum s-a arătat, în condiții de exploatare, fără perturbarea procesului tehnologic. Pentru motoarele sincrone aflate în funcțiune și care au fost construite la $\cos \varphi = 1$, este necesar să se determine, în condiții de exploatare, curentul de excitație maxim, pe baza încălzirii maxime admisibile a motorului și, pornind de la această valoare, ceilalți parametri, așa cum s-a arătat în capitolul 3. Se consideră oportun a se recomanda aici, ca la lucrările de reparații a acestor motoare, deja existente, să se treacă la o clasă de izolație superioară, măryind astfel capacitatea de compensare a motorului sincron respectiv.

Deasemenea, avînd în vedere progresele realizate în țară privind producerea de redresoare semicomandate, precum și numărul relativ restrîns de tipuri de motoare sincrone de putere fabricate, considerăm că este necesară fabricarea unor redresoare tipizate destinate echipașării motoarelor sincrone. În acest fel s-ar înlocui grupurile de excitație rotative cu care sunt echipate motoarele sincrone pentru compresoare, cu efect asupra randamentului acționării în ansamblu și al nivelului de zgomot în sala mașinilor. Echiparea motoarelor sincrone cu astfel de redresoare, ar permite realizarea simplă, cu elementele de automatizare curente a sistemului de reglare automată conceput și experimentat în cadrul acestei lucrări pe modelul de laborator.

Introducerea sistemului de reglare automată a excitației motoarelor sincrone, propus în această lucrare, pe lîngă efectul economic de reducere a pierderilor, care, așa cum s-a arătat poate fi de circa 1% din puterea absorbită, prezintă și o serie de alte avantaje, specifice de altfel sistemelor de reglare automată a excitației:

- asigură creșterea stabilității dinamice a motorului;
- reduce pendulările rotorului, și ca urmare perturbațiile transmise în rețea; totodată, reducîndu-se variațiile curentului statoric, se reduc și pierderilor care se produc în bobinajul statoric. Încercările experimentale au arătat că prin introducerea sistemului de reglare automată a excitației, pierderile în înfășurări scad cu pînă la 10%, crescînd astfel randamentul motorului [127] ;

- îmbunătășește tensiunea la barele stației, prin re-

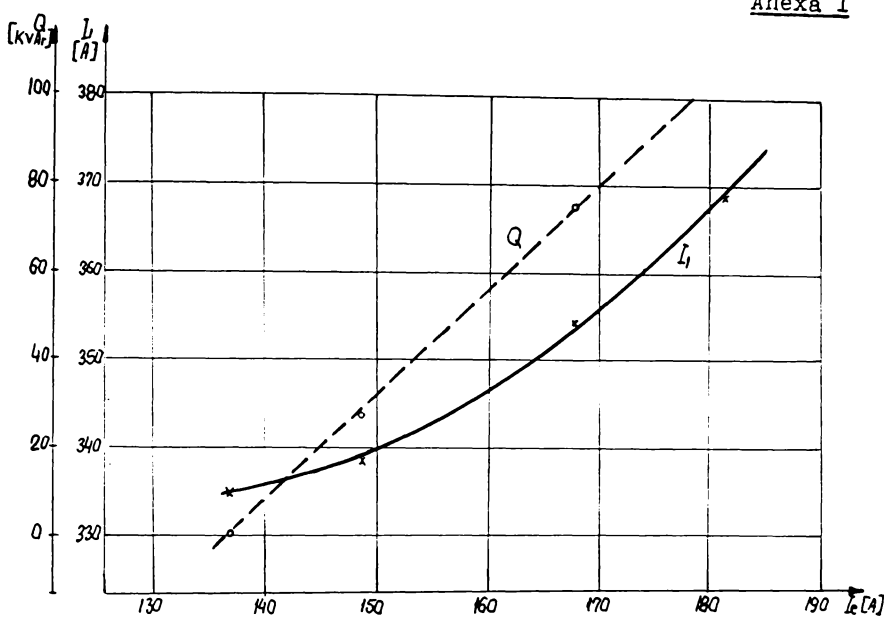
ducerea căderilor de tensiune pe linia de alimentare;
- reduce manopera de întreținere.

Cele arătate mai sus evidențiază avantajele introducerii sistemului de reglare automată a excitației motoarelor sincrone propus, lucru pe deplin justificat în cazul compresoarelor pentru aer, având în vedere numărul mare de agregate utilizate în diferite ramuri industriale, și puterea ridicată a acestora.

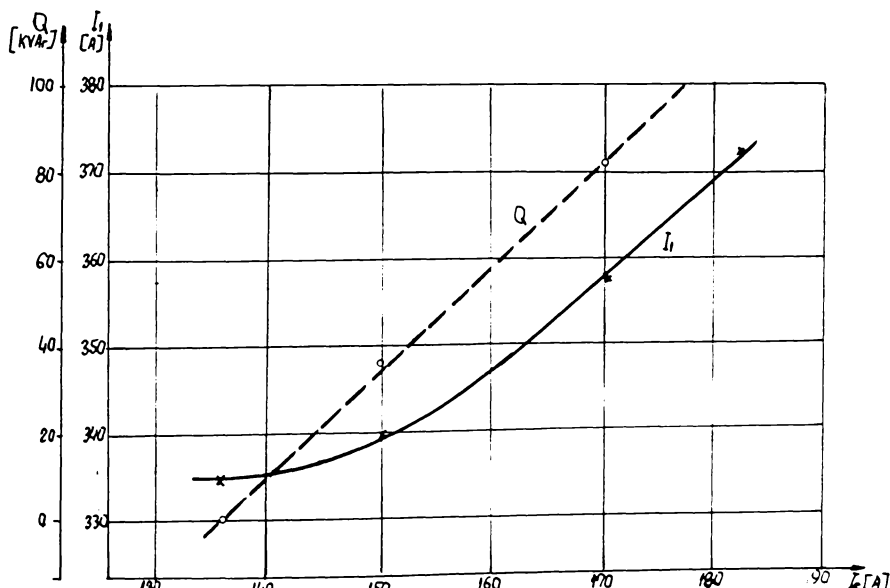
Situația este cu atât mai avantajoasă, deoarece compresoarele se fabrică într-un număr redus de tipuri, aparținând unor serii unitare, fiind astfel posibilă realizarea unui sistem unic de reglare, care să permită utilizarea lui la toate tipurile fabricate.

- 167 -
A N E X E

Anexa 1

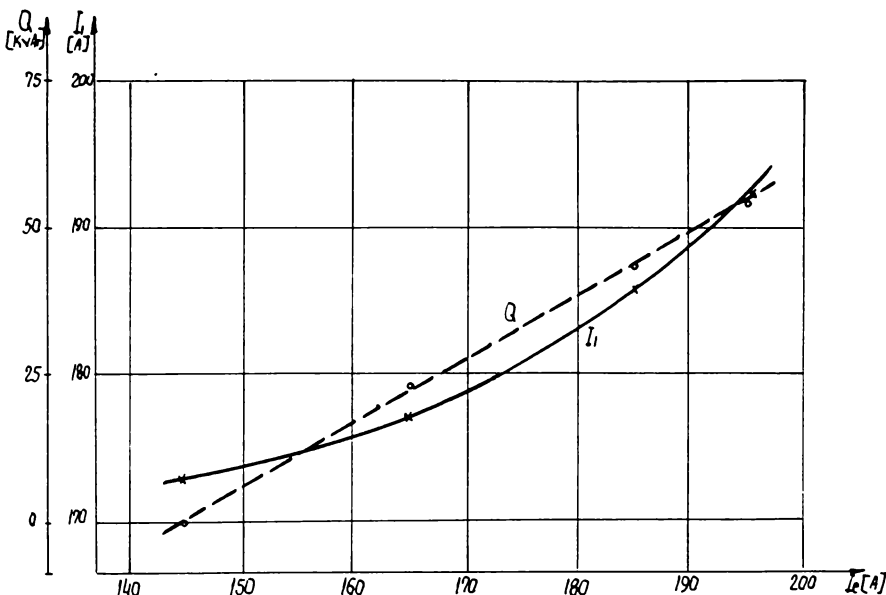


Caracteristicile $I_1 = f_1(I_e)$ și $Q = f_2(I_e)$ pentru motorul sincron MS_1 , $P_N = 200$ kW (tabel 3.3).



Caracteristicile $I_1 = f_1(I_e)$ și $Q = f_2(I_e)$ pentru motorul sincron MS_2 , $P_N = 200$ kW (tabel 3.4).

Anexa 1 (continuare)



Caracteristicile $I_1=f_1(I_e)$ și $Q=f_2(I_e)$ pentru motorul sincron MS₃, $P_N = 100$ kW (tabel 3.5).

Anexa 2

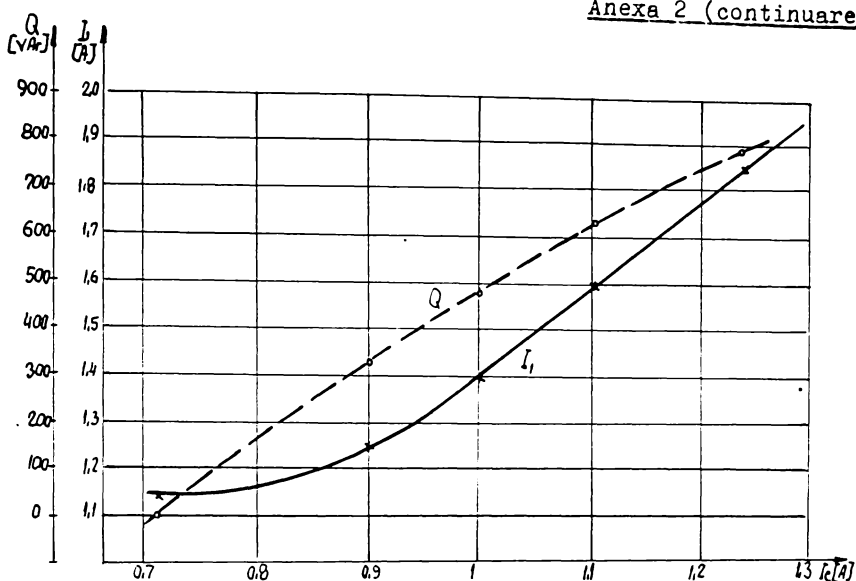
Date constructive ale motoarelor sincrone model

Stator

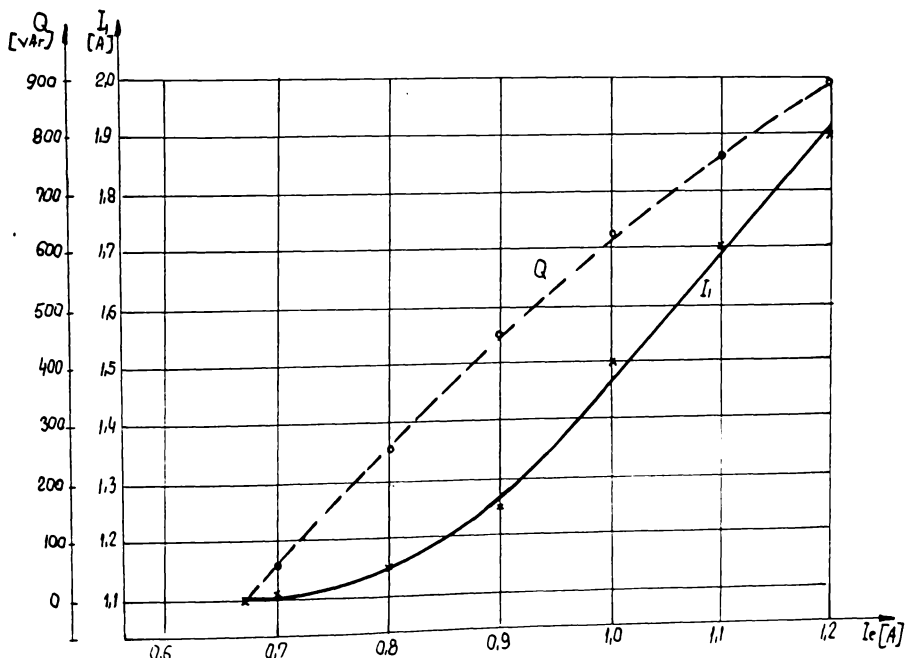
Numărul de crestături:	36	Turnat din OT42, STAS 600-65
Lățimea crestăturii :	10/7 mm	Numărul de poli : 8
Inălțimea crestăturii:	16 mm	Numărul de spire pe pol : 800
Numărul de conductoare în crestătură :	66	Diametrul conduc-
Diametrul conductorului:	1 mm	torului : 0,65 mm
Diametrul interior :	150 mm	Numărul de bare pe
Diametrul exterior :	212 mm	pol : 3
Lungimea pachetului :	142 mm	Diametrul exterior: 149,5 mm
		Lungimea activă : 142 mm
		Intrefier : 0,25 mm

Rotor

Anexa 2 (continuare)

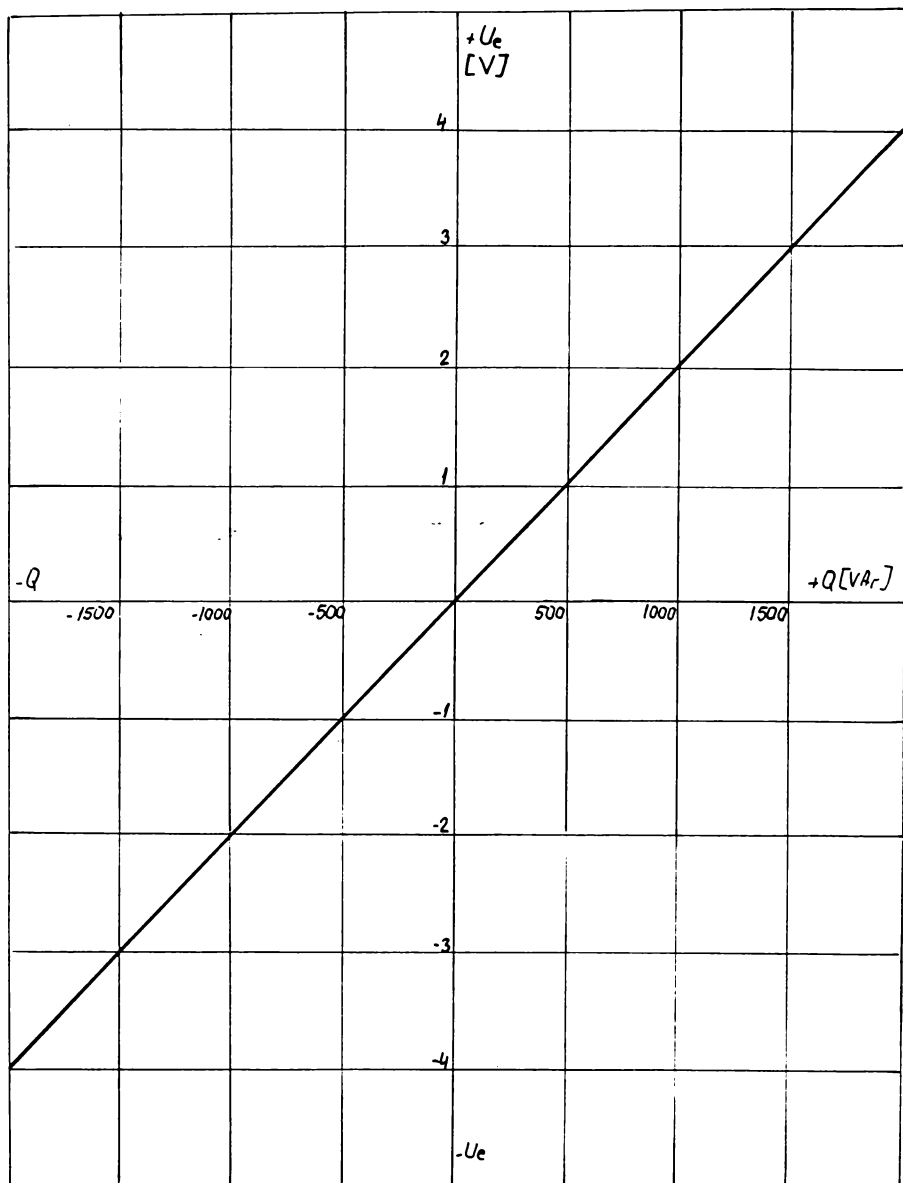


Caracteristicile $I_1 = f_1(I_e)$ și $Q = f_2(I_e)$ ale motorului sincron model MS_1 (tabel 6.5).



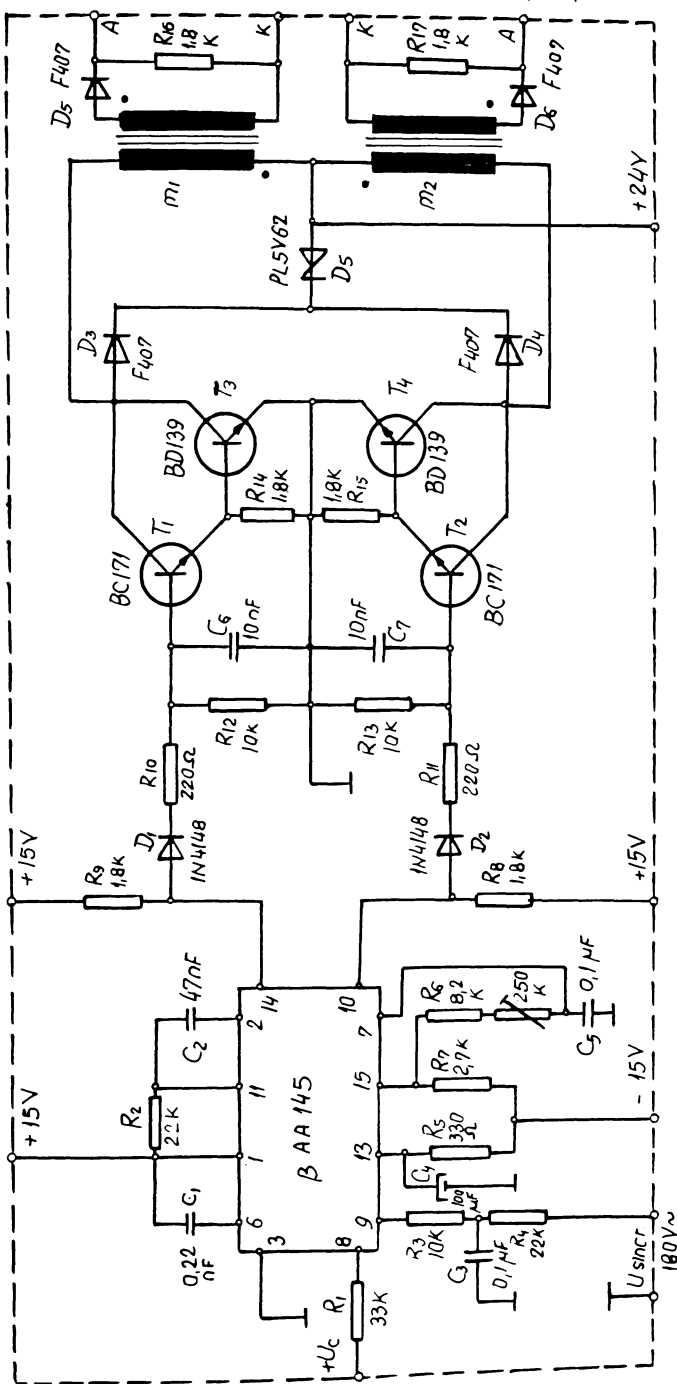
Caracteristicile $I_1 = f_1(I_e)$ și $Q = f_2(I_e)$ ale motorului sincron model MS_2 (tabel 6.8).

Anexa 3



Caracteristica de transfer $U_e = f(Q)$ a traducătoarelor de putere reactivă.

Anexa 4



Schema de principiu a blocului de comandă pe trilă.

Anexa 5

Caracteristicile tehnice ale motoarelor sincrone tip MSI-D, pentru compresoare.

Nr. crt.	Cod intern	Tip	Putere [kW]	Turărie nom. [rot/min]	Randa- ment [%]	Tens. alim. [V]	Current nouii [A]	U _{ex} [V]	I _{ex} [A]	cos ϕ	J [kg m ²]
1	19118	MSI-D	100	300	88,5	380	173	27	144	1	57,5
2	19119	MSI-D	100	300	88,5	500	130	27	144	1	57,5
3	19120	MSI-D	200	300	91	380	335	42	137	1	112,5
4	19121	MSI-D	200	300	91	500	256	42	137	1	112,5
5	29040	MSI-D	330	428	92	6000	33,5	50	135	1	400
6	29044	MSI-D	330	428	92	5000	40,5	50	135	1	400
7	29048	MSI-D	500	428	92	6000	56,2	80	120	0,9	275
		Ex.p.III.T ₃									

172

Anexa 6

I.P.E.G."BANATUL" CARANSEBES
Str. 30 Decembrie nr.1

Nr. 1803 | Q4 | 1982

Cître,

INSTITUTUL DE SUBINGINERI
R E S I T A

Prin prezenta vă comunicăm că în ședința consiliului tehnic întocmit la data de 19. februarie 1982 s-au analizat rezultatele obținute de către executant în cadrul contractului de cercetare științifică nr.137/25.05.1981, și s-a stabilit următoarele:

a) Din analiza componentelor de pierderi de energie rezultă că prin aplicarea măsurilor stabilite în lucrare se realizează economii în venoare de 105.600 lei/an.

b) În perioada de 5 ani pînă la reînlocirea bilanțului se va putea obține o economie apropiată de cea optimă stabilită prin lucrare.

c) Concluziile rezultate din feză II-a lucrării "Optimizarea regimului de funcționare al motoarelor sincrone de acționare al conpressoarelor de aer" vor permite funcționarea acestor agregate cu pierderi minime de energie. În acest fel se va putea reduce consumul de energie în stațiile de compresare cu 4-5 %, în condițiile menținerii eccezești productivității agregatelor, și fără investiții suplimentare. Funcționarea motoarelor sincrone în regim optim îmbunătățește și indicii tehnici de exploatare a acestora, prin reducerea încălzirii motoarelor și creșterea tensiunii la barele stației. Apreciem, din acest punct de vedere, că metode de optimizare a regimului de funcționare a motoarelor sincrone de acționare a compresoarelor de aer din stații este valoroasă și pe deplin aplicabilă în toate stațiile de compresare din cadrul întreprinderilor noastre.

d) Toate concluziile lucrării au fost discutate între beneficiari și executant cu o lună înainte de predarea lucrării, și parțial o parte din măsurile preconizate au fost aplicate în exploatare și rezultatele sunt bune.

Față de cele arătate mai sus apreciem că lucrarea este eficientă și prin aplicarea măsurilor stabilite se vor realiza importante economii de energie în cadrul întreprinderii noastre.

DIRECTOR
Ing. Mihaiciuc

INGINER SEF
Ing. Bozdog Anibal

| | ✓

B I B L I O G R A F I E

1. Abramovici, B.N., Kliner, A.A. Opredelenie perehodnih i sverh-perehodnih parametrov sinhronnih elektriceskikh mašin. "Elektrotehnika", 8, 1980.
2. Afanasiev, V.D. Avtomatizirovani elektroprivod v prokatrom proizvodstve, Moskva, Metalurghia, 1977.
3. Andreev, V.P., Sabinin, Iu.A. Osnovî elektroprivoda. Izd. vtoroe. Moskva, Gosenergoizdat, 1963.
4. Anisimova, N.D., Kopîlov, I.P., Kocinev, I.V. Optimizația parametruv sinhronnoi mașini s podmagnicivaniem rotora. "Elektrotehnika", 1, 1979.
5. Atanasiu, Gh. Mașini electrice speciale, I.P. "Traian Vuia", Timișoara, 1976.
6. Babuția, I., Petrușescu, M. Automatizări electronice în construcția de mașini. Timișoara, Editura Facla, 1983.
7. Barrel, A., Boulet, R., Carpentier, L. Recent progress and new possibilities for the excitation and the regulation of large synchronous machines. CIGRE Repart, 134, 1962.
8. Bartzer, St. Criteriul de optimizare a acționărilor cu motoare asincrone alimentate prin variatoare de tensiune cu tiristoare. CNEE Craiova, 20-21 sept. 1984.
9. Berinde, T.ș.a. Întocmirea și analiza bilanțurilor energetice în industrie. București, Editura Tehnică, 1976.
10. Bădulescu, N. Linii și stații electrice - îndrumător. București, Editura Tehnică, 1967.
11. Bălă, C. Mașini electrice. București, Editura Didactică și Pedagogică, 1984.
12. Bogoevici, N. Unele aspecte generale ale modelării sistemelor electrice de putere. "Electroenergetica", 4, 1969.
13. Bogoevici, N. Electrotehnica și măsuri electrice. București, Editura Didactică și Pedagogică, 1979.
14. Bogoevici, N., Petrica, I. Asupra modelizării prin similitudinea a sistemelor de acționare electrică cu motoare asincrone. Lucrări științifice și tehnice ale I.S. Reșița, 1982.

15. Bogoevici,N., Petrica,I., Biriescu,M., Liuba,Gh. Comportarea motorului sincron la variația bruscă a sarcinii. Lucrări științifice și tehnice ale I.S. Reșița, 1976.
16. Boldea,I., Atanasiu,Gh. Analiza unitară a mașinilor electrice. București, Editura Academiei R.S.R., 1983.
17. Bonfert,K. Betriebsverhalten der Synchronmaschine. Berlin - Göttingen - Heidelberg, Springer Verlag, 1962.
18. Boțan,N.V. Comanda sistemelor de acționare electrică. București, Editura Tehnică, 1977.
19. Boțan,N.V., Saal,C. Acționarea electrică a mecanismelor cu volant. București, Editura Tehnică, 1967.
20. Brașovan,M. Acționări electromecanice. București, Editura Didactică și Pedagogică, 1967.
21. Brașovan,M. Legătura între cuplul dezvoltat și încălzirea unui motor electric la încărcare variabilă. Bul.ști-tehn.al I.P.Timișoara, serie nouă, Tom 12(26), fasc.1, ian.-febr.1967.
22. Brașovan,M. Contribuții cu privire la dimensiunarea motorului de acționare și volantului la instalații care produc încărcări sub formă de socuri repetate (disertație). Timișoara, 1961.
23. Brașovan,M., Seraciu,E. Metode noi de proiectare a acționărilor electrice. București, Editura Academiei R.S.R., 1968.
24. Brașovan,M., Seraciu,E., Bogoevici,N., Kelemen,A., Trifa,V. Acționări electrice. Aplicații industriale. București, Editura Tehnică, 1977.
25. Centea,O. Protecția instalațiilor electrice de joasă tensiune. București, Editura Tehnică, 1982.
26. Cilikin,M.G., pod.red. Sincronnje privodî. Biolioteka po avtomatike, Moskva, Energiia, 1967.
27. Cioc,I., Cristea,N., Bichir,N. Mașini electrice. Îndrumar de proiectare. Craiova, Editura Scrisul Românesc,

28. Comşa, D., Darie, S., Maier, V., Chindriş, M. Proiectarea instalaţiilor electrice industriale. Bucureşti, Editura Didactică şi Pedagogică, 1979.
29. Cosoroabă, V. Compresoare de aer cu piston. Bucureşti, Editura Tehnică, 1964.
30. Condruc, M. Contribuţii la îmbunătăţirea funcţionării motoarelor sincrone prin reglarea cîmpului. Teză de doctorat. Institutul Politehnic Iaşi, 1984.
31. Danilevici, Ia.B., Dombrovski, V.V., Kazovski, E.Ia. Parametrii maşinilor de curent alternativ. Bucureşti, Editura Tehnică, 1968.
32. Danilevici, Ia.B., Kašarski, E.G. Dobavocinie poteri yelektriceskikh mašinah. Moskva-Leningrad. Gosenergoizdat, 1963.
33. Dordea, T. Maşini electrice. Bucureşti, Editura Didactică şi Pedagogică, 1970.
34. Dragomir, T.L., Preitl, St. Teoria sistemelor şi reglării automate. I.P."Traian Vuia" Timişoara, 1978.
35. Epifanov, A.D. Nadejnosti avtomaticeskikh sistem. Moskva, Mašinostroenie, 1964.
36. Fedorov, A.A.ş.a. Alimentarea cu energie electrică a întreprinderilor industriale. Bucureşti, Editura Tehnică, 1965.
37. Feldman, V., Văleanu, V. Utilizarea raţională a energiei electrice. Bucureşti, Editura Tehnică, 1966.
38. Frankeli, M.I. Porsnevie kompressorî. Moskva-Leningrad, Maşghiz, 1960.
39. Fransua, Al., ş.a. Maşini şi sisteme de acŃonare electrice. Bucureşti, Editura Tehnică, 1978.
40. Fransua, Al., Măgureanu, R., Tocaci, M. Maşini şi acŃonări electrice. Culegere de probleme. Bucureşti, Editura Didactică şi Pedagogică, 1980.
41. Fransua, Al., Saal, C., Topa, I. AcŃonări electrice. Bucureşti, Editura Didactică şi Pedagogică, 1975.
42. Gârlaşu, St., Coloşiu, T., Feştilă, L. Electronică şi automati-

zări industriale. Bucureşti, Editura Didactică și Pedagogică, 1982.

43. Ghendelman, B.R., Vaintrub, O.S. Datici moşcinosti i napriajenia dlja sistemî upravlenia elektroprivodami s sinhronnîmi dvigateli. "Elektrotehnika", 3, 1981.
44. Glebov, I.A., Loghinov, S.I. Sistemî vozbuđenja i regulirovania sinhronnih dvigateli. Leningrad, Energhia, 1972.
45. Goldin, R.G., Golmakov, Iu.I., Zborovski, I.A. Bestransformatornaia tiristornaia sistema vozbuđenja sinhronno-vo elektrodvigatelja. "Elektrotehnika", 11, 1969.
46. Golovan, A.T. Osnovî elektroprivoda. Moskva, G.E.I., 1959.
47. Heiler, L. Eine neue allgemeine Methode für die Berechnung der Stossantriebe mit Schwungmassen. E.u.M. 78, 1961.
48. Hore, R.A. Metode moderne de calcul și proiectare a sistemelor electrice. Bucureşti, Editura Tehnică, 1970.
49. Ijać, Gh., s.ă. Cercetări experimentale privind mărirea stabilității în funcționare și optimizarea unor procese ale sistemelor de acționare cu motoare sincrone. Energetica, 28, 3, 1980.
50. Ionescu, Vl., Popeea, G. Optimizarea sistemelor. Bucureşti, Editura Didactică și Pedagogică, 1981.
51. Kazanțev, V.N., Kuşnir, G.Z., Slodarj, V.M. Upravlenie reaktivnoi moşcinosti i napriajeniem v energosistemah na osnove optimizaționnih rascetov. "Elektricestvo", 3, 1982.
52. Kelemen, A. Acționări electrice. Bucureşti, Editura Didactică și Pedagogică, 1979.
53. Kelemen, A., Imecs, M., Matlac, J., Titz, G. Mutatoare. Aplicații. Bucureşti, Editura Didactică și Pedagogică, 1980.
54. Kriventev, V.J. Optimizația stepeni izbîtocinosti elementov v avtonomnih sistemah raspredelenia elektriceskoi energhii transportnih sredstv. "Elektricestvo", 10, 1983.
55. Kulikovski, A.A. Indreptar de radioelectronică. Bucureşti, Editura Tehnică, 1963.

56. Laible, Th. Die Theorie der Synchronmaschine in nicht stationaren Betrieb. Berlin, Springer Verlag, 1952.
57. Lange, W. Das Signalflussbild der Synchronmaschine als Hilfsmittel zur Beschreibung dynamischer Vorgänge und zum Entwurf optimaler Regler. "Elektrotechnik", 24(1970), H.11.
58. Lasdon, L.S. Teoria optimizării sistemelor mari. Bucureşti, Editura Tehnică, 1975.
59. Lăzăroiu, D.F., Slaiher, S. Mașini electrice de mică putere. Bucureşti, Editura Tehnică, 1973.
60. Lebedev, E.D., Neimark, V.E., Pistrak, M.Ia., Slejanovski, O.V. Upravlenie ventilnimi elektropoprivodami postoianogo toka. Moskva, Energhia, 1970.
61. Ledr, Z. Sisteme de excitație a motoarelor sincrone (în: "Elektrotechnicky obzor", nr. 9, 1962, p. 484-489).
62. Leonhard, A. Elektrische Antriebe. Stuttgart, Ferdinand Enke Verlag, 1959.
63. Leonhard, W. Regelung in der elektrischen Antriebstechnik. Stuttgart, B.G. Teubner, 1974.
64. Lindorf, L.S. Nadejnosti raboty sinhronnykh elektrodvigatelyei. Moskva-Leningrad, Gosenergoizdat, 1960.
65. Lișcenko, A.I. Sinhronnie dvigateli s avtomaticeskim regulirovaniem vozbuđdenia. Kiev, Tehnika, 1969.
66. Litvak, L.V. Racionalinaia kompensatsiya reaktivnykh nagruzok na promislenykh predpriatiah. Moskva-Leningrad, Gosenergoizdat, 1963.
67. Litvak, L.V. Problemele ameliorării factorului de putere în întreprinderile industriale. Bucureşti, Editura Tehnică, 1952.
68. Loghinov, S.I. Sinhronnie dvigateli s sistemami vozbuđdenia na poluprovodnikah. Tr.N.T.O. sudostroj.prom. vyp. 38, 1960.

69. Looke, G. Der synchronmotor als Industrie antrieb."Elektrotehnika", 49(1967) 25, S. 437-439.
70. Markușevici, N.S. Upravlenie reaktivnoi moșčinosti v ener-gosisteme."Elektricestvo", 9, 1982.
71. Melnikov, L.T. Avtomatizația sahtnîh kompressornîh stańtii. Mośkva, Gosgortehizdat, 1963.
72. Melnikov, N.A., Rosman, A.V. Printipî avtomatičeskova reguli-rovania napriajenia i reaktivnoi moșčinosti v pitaiušcikh elehtriceskikh setiah."Elektricestvo" 8, 1971.
73. Mihnevici, G.V. Síntez structurí sistemí avtomatičeskovo regulirovania vozbuđdenia sinhronnîh maşin. Moskva, Nauka, 1964.
74. Morozov, D.P. Principiile de bază ale dispozitivelor elec-trice de acŃionare. Bucureşti, Editura Tehni-că, 1952.
75. Möltgen, G. Tiristoarele în practică. Mutatoare cu comuta-Ńie de la reŃea. Bucureşti, Editura Tehnică, 1970..
76. Müller, G. Elektrische Maschinen. Theorie rotierender elek-trischen Maschinen. Berlin, VEB Verlag Technik, 1967.
77. Nedelcu, V. Maşini electrice. Bucureşti, Editura Didactică și Pedagogică, 1968.-
78. Neiman, Z.B., Súr, G.I. Sinhronnîe elektrodvigateli dlja privoda kompressorov."Elektricestvo", 4, 1956.
79. Nicolaide, A. Maşini electrice. Teorie. Proiectare. Craiova, Editura Scrisul Românesc, 1975.
80. Novac, I., ş.a. Maşini şi acŃionări electrice. Bucureşti, Editura Didactică şi Pedagogică, 1982.
81. Orel, O.A. Zavisimosti poteri aktivnoi moșčinosti v sin-hronnîh maşinah ot ih reaktivnoi nagruzki. Elektricestvo", 7, 1983.
82. Orel, O.A. O regulirovanií bîstrodeistwuiušcikh sinhronnîh kompensator."Elektricestvo", 2, 1974.

83. Orel,O.A.Regulirovanie reaktivnoi moščinosti krupnovo sinronnovo dvigatelia. "Elektricestvo",3, 1976.
84. Pavliuk,K.,Bednarek,C. Pusk i asinhronnie rejimi sinhronnih dvigatelei. Per.s.polisk. Moskva,Energhia,1971.
85. Penescu,C.I. Automatica și telemecanica sistemelor energetice. Editura Academiei R.P.R., 1960.
86. Penescu,C.,Ionescu,Vj., Rosinger,E. Procese optimale. București,Editura Academiei R.S.R., 1970.
87. Persina,L.M.,Perşin,Iu.S. Rascet toka vozbuđenja i poteri v sinhronnih mašinah v.zavisimosti ot haraktera nagruzki."Elektricestvo", 3, 1978.
88. Petelin,D.P. Avtomaticeskoe upravlenie sinhronnymi elektroprivodami. Moskva,Energhia, 1968.
89. Petrica,I. Air compressor driving with synchronous motors at optimal parameters. The second national conference on electrical drives, Cluj-Napoca,may 16-17, 1980.
90. Petrica,I. Modelizarea prin similitudine a motorului sincron Lucr.șt.și tehnice ale I.S.Reșița, 1983.
91. Petrica,I. Model de laborator al unei stații de compresoare. Lucr.șt.și tehnice al I.S.Reșița, 1983.
92. Petrica,I. Optimizarea regimului de funcționare al motoarelor sincrone de acționare a compresoarelor de aer dintr-o stație de compresoare. C.N.E.E. Timișoara, 17-18 sept.,1982.
93. Piotrovski,L.M. Mașini electrice. București,Editura Tehnică, 1953.
94. Postnikov,J.M. Proektirovanie elektriceskikh mašin.Kiev, Gosudarstvennoe izdatelstvo tehnicheskoi literaturi USSR, 1960.
95. Rácz,J. Villamos haytások. Budapest, Tankönyvkiadó, 1974.
96. Rădulet,R.,Opaschi,M. Proiectarea hidrogeneratoarelor și motoarelor sincrone.București, Editura Tehnică, 1981.

97. Răduți,C., Nicolescu,E. Mașini electrice rotative fabricate în România. Îndreptar.București.Editura Tehnică, 1981.
98. Richter,R. Mașini electrice.București,Editura Tehnică, 1956-1961.
99. Saal,C., Szabo,W. Sisteme de acționare electrică.Determinarea parametrilor de funcționare. București, Editura Tehnică, 1981.
100. Saprîkin,A.A. Sredstva avtomaticheskovo kontroliarejima rabotî kompressorov."Energheticeskii biuletini", 2, 1957..
101. Săvulescu,F. Instalații pentru producerea și distribuția aerului comprimat.București,Editura Tehnică, 1977.
102. Schlett,Z., Hoffman,J., Câmpeanu,A.. Semiconductoare și aplicații.Timișoara,Editura Facla, 1981.
103. Sebastian,L. Automatica. București,Editura Didactică și Pedagogică, 1973.
104. Senciuk,B.M. Zaščita sinhronnovo dvigatelia s bestransformatormim vozbutitelem."Elektrotehnika",1,1978
105. Seraciu,E. Utilajul électromecanic al întreprinderilor industriale. București,Editura Didactică și Pedagogică, 1973.
106. Seraciu,E. Contribuții cu privire la metodele de dimensiune ale acționărilor electrice cu mecanism bielă-manivelă (disertație),Timișoara, 1964.
107. Seraciu,E. O metodă nouă pentru calculul acționărilor cu mecanism bielă-manivelă"Electrotehnica",14,6, p.212-216, 1966.
108. Seraciu,E. Acționări electrice.I.P."Traian Vuia" Tîmisoara,1980.
109. Seraciu,E. Beitrag zur Berechnung der elektrischen Antriebe mit zeitveränderlicher Belastung, Elektrică, 22 1962

110. Seraciu, E., Popovici, D. Tehnica acționărilor electrice. București, Editura Tehnică, 1985.
111. Seraciu, E., Bartzer, St. Cu privire la determinarea randamentului acționărilor electrice. Bul. st. și tehn. al I.P. Timișoara, Seria Electrotehnică, 19(23), 175-178, 1974.
112. Seraciu, E., Bartzer, St. Studiu asupra modelării matematice a motorului de curent continuu cu excitație derivată. "Electrotehnica", 16, 4, 121-135, 1968.
113. Silling, V. Tiristornaia tehnika. Per. s. nom. Leningrad, Energhia, 1971.
114. Sirotin, A.A. Comanda automată a acționărilor electrice. București, Editura Tehnică, 1952.
115. Sîromiatnikov, I.A. Sinhronnîe dvigateli. Moskva-Leningrad, Gosenergoizdat, 1959.
116. Sîromiatnikov, I.A. Rejimî rabotî asinhronnîh i sinhronnîh elektrodvigatelei. Moskva, G.E.I., 1963.
117. Sîromiatnikov, I.A. Zarisimosti poteri aktivnoi moșcinoi v sinhronnîh mașinah ot ih reaktivnoi nagruzki "Elektricestvo", 3, 1961.
118. Tait, A.A., Meşeli, B.S. Begulirovaniye napriajenia i reaktivnoi moșcinoi v elektriceskikh setiakh promîšlenîh predpriatii. Moskva-Leningrad, Gosenergoizdat, 1960.
119. Tunsoiu, G., Seraciu, E., Saal, C. Acționări electrice. București, Editura Didactică și Pedagogică, 1982.
120. Urusov, I.D. Lineinaia teoria kolebanii sinhronnoi mașinî. Moskva, Izd.A.N. SSSR, 1960.
121. Vadaturski, V.M., i.dr. Tiristornîe vozbuťitelinoe ustroistva dlia sinhronnîh dvigatelei 14-20 gabaritov. Moskva, Informstandartelektro, 1963.
122. Vaintrub, O.S., Veingher, A.M., Ghendelman, B.R. Sistema upravlenia sinhronnym dvigatelem s podcinennoi strukturoi regulirovania. "Elektricestvo", 4, 1975.

123. Vajinov,A.I. Osnovî perehodnîh protessov sinhronnoi ma-
şinî. Moskva, Gosenergoizdat, 1960.
124. Vasilescu,Al.A. Analiza dimensionalăşi teoria similitudi-
nii. Bucureşti, Editura Academiei RSR, 1969.
125. Vogel,J. Grundlagen der elektrischen Antriebstechnik mit
Berechnungsbeispielen. Berlin Verlag Technik,
1980.
126. Venikov,V.M. Aplicarea teoriei similitudinii şi modelării
în electro-energetică. Bucureşti, Editura
Tehnică, 1972.
127. Verşimin,P.P.,Haşper,L.Ia. Primenenie sinhronnih elek-
tropridov v metalurghii. Moskva, Metalurghia,
1974.
128. Weinrich,G.,s.a. Sisteme de reglare unificate pentru pro-
cese rapide. Bucureşti, Editura Tehnică, 1970.
129. Zărnescu,H. Utilizarea motorului sincron în acŃionări e-
lectrice. Bucureşti, Editura Tehnică, 1967.
130. Zărnescu,H. Utilizarea optimală a motorului sincron. Bucu-
reşti, Editura Tehnică, 1984.
131. xxx Sinhronnîe dvigatelei. Sbornik statei pod
redakŃii I.A. Sîromiatnikov. Moskva, G.E.I, 1959
132. xxx Manualul inginerului electrician, vol.V şi VII
Bucureşti, Editura Tehnică, 1959.
133. xxx VEM Handbuch. Die Technik der elektrischen
Antriebe. Antriebstechnik in der Praxis. Ber-
lin VEB Verlag Technik, 1984.
134. xxx Indrumător matematic şi tehnic. Bucureşti,
Editura Tehnică, 1964.
135. xxx Mică enciclopedie matematică. Bucureşti, Edi-
tura Tehnică, 1983.
136. xxx Elaborarea bilanŃurilor electroenergetice la Exploa-
tarea Minieră Banat OraviŃa. Protocol contract
de cercetare nr.409/1979.
137. xxx Elaborarea bilanŃurilor energetice la I.C.M.
Protocol contract cercet.nr.412/1979.

138. xxx Cercetări privind posibilitățile reducerii consumului de energie electrică la acționările de la secția "Laminor degrosisor și de semifabricate" din cadrul C.S.Reșița. Protocol contract de cercetare nr.199/1980.
139. xxx Cercetări privind posibilitățile reducerii consumurilor de energie electrică și termică la unitățile Sasca, Moldova Nouă, Anina, Ruschița și Caransebeș din cadrul Întreprinderii de proiecții și explorări geologice "Banatul" Caransebeș. Protocol contract de cercetare nr.137/1982.
140. xxx Cartea mașinii. Echipamentul electric al compresoarelor de aer L25, L50 și Llo. U.C.M. Reșița, 1972.
141. xxx Указания по компенсации реактивной мощности в распределительных сетях. Moskva, Energhia, 1974.
142. xxx PE 931/75. Instrucțiuni privind compensarea puterii reactive la consumatorii industriali și similari.
143. xxx PE 120/75. Instrucțiuni privind compensarea puterii reactive în rețelele de distribuție exploataate de I.R.E.
144. xxx E(2-7)-70. Normativ privind metodica de întocmire și analiză a bilanțurilor energetice în întreprinderile industriale și similare.
145. xxx E 43-67 Instrucțiuni privind ameliorarea factorului de putere la consumatorii industriali și similari de energie electrică.
146. xxx ICEMENERG. - Metodologie privind determinarea soluțiilor optime de distribuție a energiei electrice prin rețelele de medie și joasă tensiune pentru marii consumatori industriali, București, 1974.

147. **xxx** PE 124/78 Normativ privind alimentarea cu energie electrică a consumatorilor industriali și similari.